

INSTITUTUL POLITEHNIC "TRAIAN VUIA" TIMIȘOARA  
FACULTATEA DE ELECTROTEHNICĂ

ING. PRODAN MANOILA

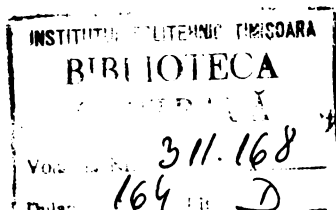
STUDIUL COMPORTĂRII MOTOARELOR ASINCRONE DE  
ACȚIONARE LA ALIMENTAREA LOR PRIN CONVERTI-  
ZOARE DE TENSIUNE ȘI FRECVENȚĂ

TEZA DE DOCTORAT

BIBLIOTECA CENTRALĂ  
UNIVERSITATEA "POLITEHNICĂ"  
TIMIȘOARA

CONDUCĂTOR ȘTIINȚIFIC:  
PROF.DR.ING. SERACIARU

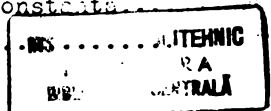
- 1975 -



✓

C U P R I N S

	Pag.
Introducere .....	6
1. Metode de modificare a vitezei maşinilor asincrone....	11
1.1. Probleme generale.....	11
1.2. Ecuatiile acţiunii şi caracteristicile mecanice.....	11
1.2.1. Ecuatiile maşinii asincrone şi caracteristica mecanică naturală.....	12
1.2.2. Ecuatia mişcării şi caracteristicile mecanice ale maşinilor de lucru.....	16
1.3. Metode de modificare a vitezei maşinilor asincrone.....	17
1.3.1. Modificarea vitezei maşinilor asincrone prin impulsuri.....	19
1.3.2. Modificarea vitezei prin modificarea tensiunii de alimentare.....	24
1.3.3. Modificarea vitezei prin modificarea frecvenţei.....	26
1.3.4. Modificarea vitezei prin aplicarea unei tensiuni suplimentare în rotor.....	
1.4. Concluzii.....	
2. Analiza comportării maşinilor asincrone pentru diferite legi de variaţie tensiune-frecvenţă.....	
2.1. Generalităţi.....	22
2.2. Curenţii şi cuplul maşinii asincrone alimentate cu tensiuni şi frecvenţe variabile .....	22
2.3. Funcţionarea maşinii asincrone la diferite legi de variaţie între tensiune şi frecvenţă.....	25
2.3.1. Lege de variaţie tensiune-frecvenţă liniară.....	25
2.3.2. Flux constant prin maşină.....	
2.3.3. Curent statoric constant .....	25
2.3.4. Tensiune de alimentare constantă.....	
2.3.5. Putere constantă.....	
2.3.6. Capacitate de suprasarcină constantă.....	
2.4. Concluzii.....	



5. Scheme de principiu tipice de convertizare statice destinate alimentării mașinilor asincrone.....	6
3.1. Noțiuni introductive.....	8
3.2. Convertizoare statice pentru modificarea vitezei mașinilor asincrone cu inele.....	
3.2.1. Convertizoare statice în cascadă subinversă.....	
3.2.2. Convertizoare statice în cascadă supraasincronă.....	
3.3. Convertizoare statice pentru modificarea vitezei mașinilor asincrone cu rotorul în colivie.....	
3.3.1. Convertizoare statice directe.....	
3.3.2. Convertizoare (statice) indirecte.....	
3.3.2.1. Convertizoare cu tensiune continuă variabilă.....	
3.3.2.2. Convertizoare cu tensiune continuă constantă.....	75
3.4. Concluzii.....	82
4. Analiza armonică a tensiunii mașinilor asincrone alimentate prin convertizoare statice.....	84
4.1. Generalități.....	84
4.2. Analiza armonică a tensiunii furnizate de convertizoarele directe.....	
4.2.1. Tensiunea medie și armonicile mutatoarelor cu trei și șase pulsuri.....	
4.2.2. Tensiunea mutatoarelor reversibile în regim de convertizor direct.....	
4.3. Analiza armonică a tensiunii furnizate de convertizoarele indirecte.....	
4.3.1. Convertizoare cu modificare a tensiunii defazaj.....	
4.3.2. Convertizoare cu tensiune a circuitului intermediar variabilă.....	
4.3.3. Convertizoare cu modificare a tensiunii prin modulare în durată a impulsurilor.....	
4.3.3.1. Modulare liniară a impulsurilor.....	
4.3.3.2. Modulare de tip sinusoidal a impulsurilor.....	
4.4. Concluzii.....	

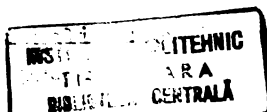
5. Incercări și rezultate experimentale.....	130
5.1. Probleme generale.....	130
5.2. Conceperea și realizarea comenzii pentru convertizorul cu modulare în durată a impulsurilor	132
5.2.1. Semnalele de comandă.....	132
5.2.2. Sinteza circuitului de comandă.....	135
5.2.3. Obținerea semnalelor logice.....	136
5.2.4. Valoarea tensiunii de ieșire funcție de tensiunea continuă reglabilă $u'$ .....	138
5.2.4.1. Cazul $u' = 0$ .....	138
5.2.4.2. Cazul $u' > 0$ .....	140
5.2.4.3. Cazul $u' < 0$ .....	140
5.2.5. Schemele bloc ale elementelor de comandă	142
5.3. Armonicile tensiunii convertizorului cu modulare în durată a impulsurilor de tip liniar.....	145
5.3.1. Valoarea efectivă a tensiunii de ieșire	145
5.3.2. Amplitudinea armonicilor de tensiune....	148
5.3.3. Verificări experimentale.....	152
5.4. Armonicile curentului mașinii asincrone alimentate prin convertizoare statice. Influența armonicilor de tensiune și curent asupra cuplului	158
5.4.1. Armonicile curentului.....	159
5.4.1.1. Calculul analitic al armonicilor de curent.....	159
5.4.1.2. Verificări experimentale.....	163
5.4.2. Influența armonicilor de tensiune și curent asupra cuplului mașinii asincrone	164
5.4.2.1. Cupluri de tip asincron.....	164
5.4.2.2. Cupluri pendulare.....	168
5.5. Pierderile și randamentul mașinilor asincrone alimentate prin convertizoare statice.....	171
5.6. Comportarea mașinii asincrone alimentate prin convertizoare statice la șocuri de sarcină.....	174
5.7. Concluzii.....	175
6. Concluzii generale .....	176
Bibliografie.....	177

## I N T R O D U C E R E

Modernizarea și automatizarea proceselor tehnologice de producție ce se desfășoară în diferite ramuri ale economiei necesită instalații industriale din ce în ce mai perfecționate cu caracteristici tehnico-economice tot mai ridicate. Instalațiile industriale, prin intermediul cărora se execută procesele tehnologice, cuprind trei părți principale [15]: mașina de lucru, transmisia și mașina de acționare. Mașina de lucru reprezintă elementul principal al unei instalații industriale. Celelalte două - transmisia și mașina de acționare - trebuie să fie proiectate și construite ținând seama de procesul tehnologic de producție pe care-l execută mașina de lucru. Din această cauză atunci când ne referim la o mașină de acționare, la caracteristicile și performanțele ei, trebuie avut în vedere în primul rând mașina de lucru și cerințele impuse acesteia de procesul de producție. Creșterea producției pe baza creșterii productivității poate fi realizată prin îmbunătățirea parametrilor funcționali ai instalațiilor industriale și utilajelor, a reducerii consumurilor de materii de energie și manoperă reprezintă deziderate majore ale dezvoltării societății omenești. În acest context eforturile cercetătorilor, proiectanților și constructorilor din toate domeniile activității sunt îndreptate permanent spre asigurarea și creșterea condițiilor necesare creșterii producției de bunuri materiale pe baza dezvoltării și perfecționării instalațiilor industriale.

Printre problemele de bază de care sînt preocupate specialiștii din domeniul acționărilor electrice se pot număra următoarele [14], [15], [100]:

- proiectarea și construirea unor instalații de acționare electrică cu parametri energetici ridicați;
- creșterea gradului de automatizare al instalațiilor de acționare;
- fiabilitate mărită și preț de costuri scăzut;
- construcție simplă, întreținere ușoară și rapidă;
- asigurarea unor parametri funcționali ai mașinilor de lucru și procesului tehnologic de producție.



de viteze, precizie, răspuns rapid al sistemului de comandă etc.).

În tehnica modernă de acționare a instalațiilor industriale se cere tot mai frecvent un regim de funcționare cu viteză variabilă în limite largi, cu inerție mică de răspuns și cu pierderi de energie minime [14], [15], [109]. Realizarea unor astfel de cerințe se asigură pînă nu demult prin utilizarea mașinilor de curent continuu drept mașină de acționare; mașinile de curent continuu au însă un preț de cost ridicat, au colectorul torită cărui nu pot fi folosite în medii cu pericol de incendiu sau de explozie și o putere unitară maximă inferioară mașinilor de curent alternativ [109].

Din această cauză există o tendință generală de înlocuire a mașinilor de curent continuu prin mașini de curent alternativ ori de cîte ori aceasta este posibil. Problema principală care apare la mașinile de curent alternativ este problema modificării vitezei în limite largi și în mod economic [15].

Dezvoltarea studiilor și cercetărilor în ultimele decenii în domeniul acționărilor electrice cu viteză variabilă cu mașini asincrone au la bază realizările remarcabile din domeniul construcției elementelor semiconductoare de putere (diode, tiristoare) și în domeniul tehnologiilor de fabricație al sistemelor de comandă (tranzistoare, circuite integrate etc) [14], [22], [40], [79]. Proiectarea, construirea și utilizarea unor instalații speciale de alimentare a mașinilor asincrone, care să permită obținerea parametrilor funcționali impuși de mașinile de lucru, a devenit problema la ordinea zilei în domeniul acționărilor electrice. Aplicarea pe scară industrială a acestor instalații, cunoscute sub denumirea de mutatoare și convertizoare statice, este însă limitată în special din cauza prețului și cost relativ ridicat și a construcției lor complicate [22]. Este însă de semnalat faptul că în prezent alimentarea mașinilor de acționare de la astfel de instalații și dispozitive permite obținerea unor caracteristici mecanice care satisfac toate punctele de vedere cerințele impuse de mașinile de lucru [73]. Literatura tehnică de specialitate scoate în evidență faptul că toate firmele mari constructoare de instalații electrice de acționare au preocupări în acest domeniu și realizări importante [2], [3], [4], [30], [44], [70], [72], [112], [114], etc.

Tipurile constructive de mutatoare și convertizoare statice destinate alimentării mașinilor electrice de lucru sunt foarte variate, prezintă avantaje și dezavantaje c

trebuie luate în considerare atunci când se pune problema acționării unei instalații industriale concrete.

Lucrarea de față urmărește ca pornind de la anumite elemente cunoscute ale mașinilor de lucru și ale proceselor tehnologice de producție să prezinte într-o formă unitară problemele principale ridicate de utilizarea mașinilor asincrone în acționările electrice cu modificare de viteză în limite largi, folosind drept instalații de alimentare convertizoare statice.

Scopul lucrării de față este de a evidenția unele aspecte legate de comportarea mașinilor asincrone ținând seama de faptul că alimentarea lor se face de la convertizoare statice de tensiune și frecvență și că ele se folosesc pentru acționarea unor mașini de lucru care impun anumite condiții în ce privește caracteristicile mecanice de funcționare.

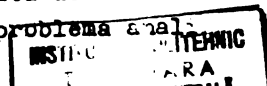
Problemele principale care se abordează în cele 6 capitole sînt expuse în cele ce urmează.

În capitolul 1 se prezintă ecuațiile acționării, caracteristicile mecanice și metodele de modificare a vitezei mașinilor asincrone. Dintre diferitele metode de modificare a vitezei se insistă asupra acelor care se folosesc mai frecvent în sistemele de acționare electrică cu mașini asincrone alimentate prin convertizoare statice.

Capitolul 2 cuprinde analiza comportării mașinilor asincrone la diferite legi de variație între tensiunea și frecvența de alimentare. Comportarea mașinii asincrone este urmărită din punct de vedere al realizării unor anumite caracteristici mecanice, adecvate caracteristicilor mecanice ale mașinilor de lucru care sînt acționate. Au fost prezentate cazurile mai des întîlnite în sistemele de acționare electrică.

Capitolul 3 se referă la schemele de principiu ale convertizoarelor statice destinate alimentării mașinilor asincrone. Introducerea în practica curentă a sistemelor de acționare cu mașini de curent alternativ alimentate prin convertizoare statice necesită cunoașterea principiilor de funcționare și a schemelor principale de convertizoare statice, clasificarea lor, performanțele și tendințele de dezvoltare. În cadrul lucrării se prezintă cîteva scheme tipice de convertizoare statice destinate alimentării mașinilor asincrone.

În capitolul 4 se face analiza armonică a tensiunii statorice a mașinilor asincrone alimentate prin convertizoare statice. Dat fiind faptul că tensiunea furnizată de convertizoarele statice nu este sinusoidală, se pune problema analizei



rii acestei tensiuni și a comparării conținutului de armonici din tensiunea de ieșire a diferitelor tipuri de convertizoare, care se aplică la statorul mașinii asincrone. Acest lucru este necesar pentru ca în funcție de construcția mașinii asincrone, de caracteristicile mecanice și performanțele care trebuie să le realizeze să se aleagă unul sau altul dintre tipurile de convertizoare statice.

Capitolul 5 cuprinde încercări și rezultate experimentale. Pe baza considerentelor din celelalte capitole se pune problema conceperii și realizării unei instalații care să permită efectuarea unor măsurători și verificări experimentale. Cu instalația realizată se poate modifica viteza mașinii asincrone în limite largi, poate fi studiată comportarea ei la diferite legi de variație tensiune-frecvență și poate fi urmărită funcționarea în cazul unor sarcini de formă specială.

În capitolul 6 de concluzii generale, în urma studiului efectuat, sînt scoase în evidență principalele aspecte cu privire la acționările cu mașini asincrone de viteză variabilă alimentate prin convertizoare statice de tensiune și frecvență.

Contribuțiile principale ale autorului constau în următoarele:

- prezentarea unitară și interpretarea legilor de variație tensiune-frecvență și influența acestora asupra caracteristicilor mecanice ale mașinilor asincrone ținînd seama de cerințele instalațiilor industriale acționate (Cap.2);

- clasificarea și sistematizarea schemelor tipice de convertizoare statice destinate alimentării mașinilor asincrone, (Cap.3);

- dezvoltarea analizei armonice a tensiunii de alimentare a mașinilor asincrone furnizată de convertizoarele directe și indirecte, (Cap.4);

- realizarea unei instalații experimentale cu unele elemente de noutate privind alegerea schemei de comandă a tiristoarelor și a posibilităților de modificare a tensiunii de ieșire (§5.2);

- efectuarea analizei armonice-teoretic și experimentale a tensiunii și a curentului mașinii asincrone pentru cazul alimentării de la un convertizor static de tensiune și frecvență cu modulare în durată a impulsurilor ( $N = 12$ ) și influența acestor armonici asupra cuplului mașinii (§ 5.3 - 5.4);

- evidențierea posibilității de apreciere a creșterii pierderilor prin mașina asincronă la alimentare nesinusoidală pe baza măsurărilor de la funcționarea în gol (§ 5.5);

- urmărirea experimentală a comportării mașinilor asincrone alimentate prin convertizoare statice de tensiune și frecvență, în cazul unei sarcini sub formă de jocuri (§ 5.6).

Aduc pe această cale un pios omagiu fostului conducător științific, prof.emerit dr.ing. M.Brașovan pentru îndrumările și sfaturile date privind lucrarea de față. De asemenea aduc mulțumirile mele tov.prof.dr.ing.E.Seracin pentru ajutorul acordat la definitivarea și redactarea lucrării. Mulțumesc colegilor de catedră care, sub diferite forme, m-au ajutat la terminarea lucrării.

## 1. METODE DE MODIFICARE A VITEZEI MASINILOR ASINCRONE

### 1.1. Probleme generale

Acționarea electrică a instalațiilor industriale în vederea realizării unor procese tehnologice de producție se poate face în general prin:

- mașini de curent continuu;
- mașini asincrone;
- mașini sincrone.

Dintre aceste tipuri de mașini electrice în cadrul lucrării se va urmări acționarea numai cu mașini asincrone, mașini foarte răspândite în instalațiile de acționare electrică datorită avantajelor pe care le au față de celelalte tipuri de mașini [15], [22], [34]: sînt de construcție simplă și robustă, sînt mai ieftine și mai ușoare, nu au colector și sînt sigure în funcționare.

Mașinile de lucru care execută anumite operații în cadrul procesului tehnologic de producție provoacă la arborele mașinii de acționare un cuplu rezistent și necesită o anumită viteză. Există instalații la care în diferite perioade ale procesului de producție sînt necesare viteze diferite, fie la valoarea constantă a cuplului, fie la cupluri diferite [15]. Prin termenul de modificare a vitezei sau a altor mărimi în prezenta lucrare se va înțelege schimbarea sau varierea vitezei corespunzător cerințelor procesului tehnologic de producție, operație care se realizează prin accelerarea; frînarea sau reversarea mașinii de acționare [15]. Procesul de accelerare, frinare sau reversare a mașinilor electrice <sup>rezultă</sup> în urma modificării unor parametri ai circuitului mașinii și ai alimentării cum sînt rezistențe, inductivități, capacități introduse în circuitul statoric sau rotoric al mașinii, schimbarea valorii tensiunii sau frecvenței circuitului de alimentare etc.

Prin termenul de reglare a vitezei se va înțelege operația prin care - manual sau automat - se urmărește menținerea constantă sau în limite restrînse a acesteia, în urma unei operații efectuate într-un circuit închis de comandă, pe baza schimbării valorii mărimii de ieșire cu o valoare

## 1.2. Ecuatiile acționării și caracteristicile mecanice

În scopul definirii noțiunilor, a mărimilor și notațiilor care se vor utiliza în cadrul lucrării este necesar a se prezenta pe scurt ecuațiile acționării și caracteristicile mecanice.

### 1.2.1. Ecuatiile mașinii asincrone și caracteristica mecanică naturală

Studiul comportării mașinii asincrone în diferite regimuri de funcționare se face pe baza ecuațiilor ei. Aceste ecuații se scriu avându-se în vedere schemele echivalente ale mașinii asincrone, ele fiind valabile în anumite condiții de funcționare determinate de ipotezele simplificatoare luate în considerare.

Printre ipotezele simplificatoare care pot fi luate în considerare la scrierea ecuațiilor mașinii asincrone și la studiul comportării ei amintim [51], [78], [86]:

- fenomenele mecanice și electrice din mașină sînt cvazistaționare;
- alimentarea mașinii se face de la un sistem trifazat simetric de tensiuni sinusoidale;
- curenții prin înfășurări sînt sinusoidali (se neglijează armonicile din curba curentului);
- distribuția inducției în întrefier se presupune a fi sinusoidală;
- parametrii electrice ai mașinii sînt constanți, nu apare efectul pelicular și nici efectul de saturație;
- pierderile în fier (histerezis, Foucault), prin frecare și ventilație sînt mici și în anumite situații se pot neglija.

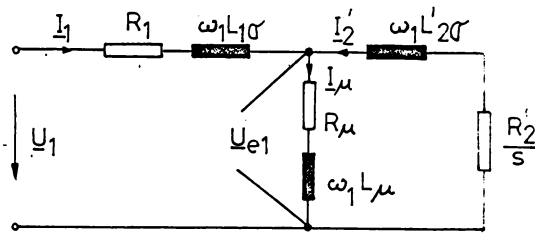
La mașinile reale aceste ipoteze sînt îndeplinite în măsură mai mare sau mai mică în funcție de construcția, puterea și regimul de funcționare al mașinii, precum și în funcție de valoarea tensiunii de alimentare.

Pe baza schemei echivalente a unei faze a mașinii asincrone, reprezentată în fig.1.1 se pot scrie ecuațiile mașinii în mărimi complexe sub forma:

$$\left. \begin{aligned} \underline{U}_1 &= R_1 \underline{I}_1 + j\omega_1 L_{1\sigma} \underline{I}_1 - \underline{U}_{e1} \\ \underline{U}'_2 &= -\frac{R'_2}{s} \underline{I}'_2 - j\omega_1 L'_{2\sigma} \underline{I}'_2 + \underline{U}_{e1} \\ \underline{U}_{e1} &= -(R_\mu + j\omega_1 L_\mu) \underline{I}_\mu \\ \underline{I}_\mu &= \underline{I}_1 + \underline{I}'_2 \end{aligned} \right\}$$

Fig.1.1

Schema echivalen-  
tă a mașinii a-  
sincrone.



unde  $\underline{U}_1$  reprezintă tensiunea aplicată la bornele statorului;

$\underline{I}_1$  - valoarea curentului prin înfășurarea statorului;

$\underline{U}_2'$  - tensiunea la bornele înfășurării rotorice, redusă la stator care, în cazul mașinii cu rotorul în co-livie este nulă;

$\underline{I}_2'$  - curentul rotoric redus la statorul mașinii;

$\underline{I}_\mu$  - curentul din circuitul de magnetizare;

$\underline{U}_{e1}$  - tensiunea electromotoare statorică dată de fluxul util al mașinii;

$R_1$  - rezistența înfășurării statorice;

$L_{1\sigma}$  - inductivitatea de dispersie a înfășurării statorice;

$R_2'$  - rezistența înfășurării rotorice redusă la stator;

$L_{2\sigma}$  - inductivitatea de dispersie a rotorului redusă la stator;

$R_\mu, L_\mu$  - rezistența, respectiv inductivitatea circuitu-lui de magnetizare;

$\omega_1$  - pulsația curentului din înfășurarea statorică;

$s$  - alunecarea rotorului față de cimpul magnetic învita-tor statoric.

Introducînd notațiile:

$$\left. \begin{aligned} \omega_1 L_{1\sigma} &= X_1 \\ \omega_1 L_{2\sigma}' &= X_2' \\ \omega_1 L_\mu &= X_\mu \\ R_1 + jX_1 &= Z_1 \\ \frac{R_2'}{s} + jX_2' &= Z_2' \\ R_\mu + jX_\mu &= Z_\mu \end{aligned} \right\}$$

ecuațiile mașinii asincrone devin:

$$\left. \begin{aligned} \underline{U}_1 &= \underline{I}_1 Z_1 - \underline{U}_{e1} \\ \underline{U}_2' &= - \underline{I}_2' Z_2' + \underline{U}_{e1} \\ \underline{U}_{e1} &= - \underline{I}_\mu Z_\mu \\ \underline{I}_\mu &= \underline{I}_1 + \underline{I}_2' \end{aligned} \right\}$$

Cuplul electromagnetic dezvoltat de mașina asincronă se determină cu relația:

$$M = \frac{m_1 p}{\omega_2} R_2' I_2'^2 \quad (1.4)$$

în care  $m_1$  reprezintă numărul de faze statorice;

$p$  - numărul perechilor de poli ai mașinii;

$\omega_2$  - pulsația curentului rotoric.

Relația (1.4) poate fi scrisă și în funcție de alunecarea  $s$  sub forma:

$$M = \frac{m_1 p}{2\pi f_1} \frac{R_2'}{s} I_2'^2 = \frac{m_1}{\Omega_1} \frac{R_2'}{s} I_2'^2 \quad (1.5)$$

unde  $\Omega_1$  reprezintă viteza sincronă a cîmpului magnetic învîrtitor.

Curentul rotoric  $I_2'$  poate fi exprimat, din ecuațiile mașinii asincrone, funcție de tensiunea  $U_1$ . Valoarea efectivă a lui  $I_2'$  care intervine în relația cuplului este:

$$I_2' = \frac{U_1}{\sqrt{(R_1 + C_1 \frac{R_2'}{s})^2 + (X_{1\sigma} + C_1 X_{2\sigma}')^2}} \quad (1.6)$$

care introdusă în (1.5) permite exprimarea cuplului funcție de tensiunea  $U_1$ :

$$M = \frac{m_1 U_1^2}{\Omega_1} \frac{R_2'/s}{(R_1 + C_1 \frac{R_2'}{s})^2 + (X_{1\sigma} + C_1 X_{2\sigma}')^2} \quad (1.7)$$

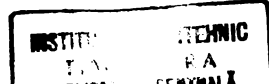
În (1.6) și (1.7),  $C_1$  reprezintă modulul constantei complexe  $\underline{C}_1$  și s-a admis ca fiind:

$$\underline{C}_1 \approx C_1 \approx 1 + \frac{X_{1\sigma}}{X_{\mu}} \quad (1.8)$$

Cuplul mașinii asincrone are valoare nulă pentru  $s = \pm \infty$  și  $s = 0$ . Valoarea maximă a cuplului mașinii denumită cuplu de răsturnare (critic) se obține la alunecarea de răsturnare determinată din  $dM/ds = 0$  și are valoarea:

$$s_k = \pm \frac{C_1 R_2'}{\sqrt{R_1^2 + (X_{1\sigma} + C_1 X_{2\sigma}')^2}} \quad (1.9)$$

în care semnul (+) corespunde regimului de funcționare al mașinii asincrone ca motor și frînă, iar semnul (-) regimului generator.



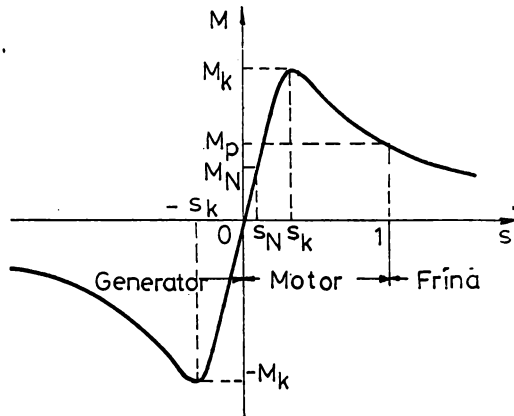
Cu (1.9) introdusă în (1.7) se obține cuplul de răsturnare:

$$M_k = \frac{m_1 U_1^2}{\Omega_1} \frac{1}{2C_1} \frac{1}{R_1 + \sqrt{R_1^2 + (X_{16} + C_1 X'_{26})^2}} \quad (1.10)$$

Caracteristica mecanică naturală a mașinii asincrone în sistemul de coordonate cuplu-alunecare este reprezentată în fig.1.2.

Fig.1.2

Caracteristica mecanică naturală  $M=f(s)$  a mașinii asincrone.



Pentru  $s = 1$  se obține cuplul de pornire  $M_p$ , iar pentru  $s = s_N$ , cuplul nominal al mașinii  $M_N$ .

Caracteristica mecanică naturală  $M = f(\Omega)$  pentru domeniul de funcționare ca motor este redată în fig.1.3.

Caracteristicile mecanice ale mașinii asincrone pot fi exprimate și în valori relative, făcînd raportul dintre cuplul mașinii  $M$  și cuplul de răsturnare  $M_k$ . Dacă se introduce notația:

$$\varepsilon_1 = \frac{R_1}{\sqrt{R_1^2 + (X_{16} + C_1 X'_{26})^2}} \quad (1.11)$$

se obține pentru cuplul relativ mașinii asincrone expresia:

$$\frac{M}{M_k} = \frac{2(1 + \varepsilon_1)}{\frac{s}{s_k} + \frac{s_k}{s} + 2\varepsilon_1}$$

Fig.1.3

Caracteristica mecanică naturală a motorului asincron  $M = f(\Omega)$ .

În funcție de parametrii mașinii și de precizia calculurilor relațiile prin care se exprimă cuplul mașinii asincrone pot fi încă simplificade.

### 1.2.2. Ecuatia mișcării și caracteristicile mecanice ale mașinilor de lucru

Pentru studiul funcționării sistemului de acționare format din mașina de acționare, transmisie și mașina de lucru, la ecuațiile mașinii asincrone se adaugă ecuația mișcării a cărei formă generală este:

$$\pm M \mp M_R = M_j = J \frac{d\Omega}{dt} \quad (1.13)$$

unde  $M$  este cuplul dezvoltat de mașina asincronă;

$M_R$  - cuplul rezistent al mașinii de lucru redus la arborii mașinii de acționare;

$M_j$  - cuplul inerțial, datorat maselor în mișcare;

$J$  - momentul de inerție echivalent al maselor în mișcare;

$\frac{d\Omega}{dt}$  - variația vitezei unghiulare în timpul desfășurării procesului tehnologic (accelerația unghiulară).

Mașinile de lucru au și ele o caracteristică mecanică, caracteristică ce reprezintă relația de legătură între cuplul rezistent  $M_R$  și viteză. Forma de variație a cuplului rezistent funcție de viteză este dependentă de tipul mașinii de lucru și al procesului tehnologic. În fig.1.4 se prezintă câteva forme tipice de caracteristici mecanice ale unor mașini de lucru care se folosesc mai frecvent în procesele de producție [15],[11].

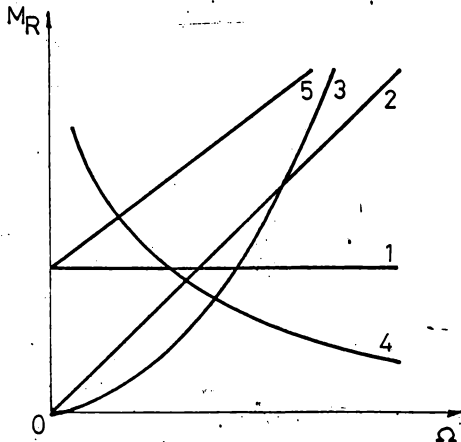


Fig.1.4

Caracteristicile mecanice  $M_R = f(\Omega)$  ale unor mașini de lucru: 1 - cuplu constant; 2 - variație liniară între cuplu și viteză; 3 - variație pătratică a cuplului cu viteza; 4 - variație hiperbolică cuplu-viteză; 5 - variație liniară (sau altă formă) adăugată unui cuplu constant.

Cuplul rezistent al mașinii de lucru poate însă varia și în funcție de spațiu și timp. În special variația în timp a cuplului rezistent are forme foarte diferite, dependente de procesul tehnologic de producție. Aceste forme de variație ale cuplului rezistent în timp numite diagrame de sarcină, pot fi însă reduse la câteva forme tipice [17].

Pentru funcționarea unei instalații de acționare în regim staționar la diferite viteze și sarcini trebuie ca mașina de acționare să permită modificarea caracteristicilor sale mecanice funcție de cea a mașinii de lucru, adică caracteristicile lor mecanice să se intersecteze în puncte situate pe porțiunile de funcționare stabilă (fig.1.5).

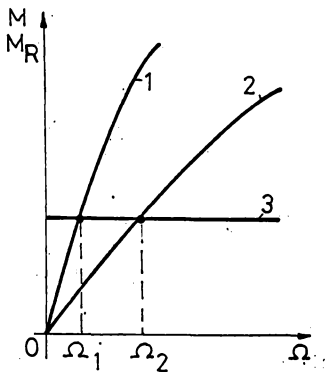


Fig.1.5

Realizarea unor puncte de funcționare staționară:  
1,2 - caracteristicile mecanice ale mașinii de acționare; 3 - caracteristica mecanică a mașinii de lucru.

Modificarea caracteristicii mecanice a mașinii asincrone astfel încât să fie asigurată funcționarea staționară a instalației de acționare în întreg cadranul I al sistemului de axe de coordonate cuplu-viteză unghiulară sau cuplu-alunecare, se realizează prin schimbarea fie a parametrilor tensiunii de alimentare, fie a parametrilor electrici ai făgurilor mașinii. Funcționarea mașinii asincrone pe aceste caracteristici artificiale asigură realizarea unor viteze impuse de procesul tehnologic la orice valoare a cuplului rezistent pentru care acționarea a fost dimensionată.

### 1.3. Metode de modificare a vitezei mașinilor asincrone

Acționarea electrică a diferitelor instalații industriale corespunzător procesului tehnologic de producție necesită printre altele condiții viteze de funcționare variabile. Metodele prin care se poate modifica viteza mașinilor asincrone sunt fie complicate, fie neeconomice [34]. Acele metode care sunt simple determină pierderi mari, care depind direct de

meniul de modificare al vitezei. Metodele complicate necesită instalații complexe, deci investiții în plus, fără a mai lua în considerare fiabilitatea lor.

Principalele metode de modificare a vitezei mașinilor asincrone rezultă din relația de definiție a acesteia:

$$\Omega = \frac{2\pi f_1}{p}(1 - s) \quad (1.14)$$

Potrivit relației (1.14), rezultă în principiu trei posibilități de modificare a vitezei mașinii asincrone, funcție de modificarea celor trei mărimi ce intervin: frecvența  $f_1$ , numărul perechilor de poli  $p$  și alunecarea  $s$ .

Metodele practice prin care se pot modifica cele trei mărimi și deci viteza mașinilor asincrone sînt numeroase și pot fi clasificate în două mari grupe.

Din prima grupă fac parte metodele de modificare a vitezei prin modificări în circuitul statoric aplicabile atât la mașinile asincrone cu inele cît și la cele cu rotorul în colivie, principale fiind [14], [15], [19], [34]:

- alimentarea mașinii asincrone prin impulsuri;
- modificarea frecvenței tensiunii de alimentare;
- modificarea numărului de perechi de poli;
- modificarea alunecării mașinii prin modificarea tensiunii de alimentare sau prin alimentare nesimetrică.

Din a doua grupă fac parte metodele de modificare a vitezei prin modificări în circuitul rotoric care pot fi aplicate numai la acționările cu mașini asincrone cu inele. Modificarea vitezei se realizează datorită modificării alunecării mașinii prin:

- introducerea de rezistențe în circuitul rotoric;
- conectarea de amplificatoare magnetice în rotor;
- aplicarea unei tensiuni suplimentare în circuitul rotoric.

În afara acestor metode de modificare a vitezei mașinilor asincrone prin schimbări directe în circuitul statoric sau rotoric viteza unei instalații de acționare se mai poate modifica prin cuplarea a două mașini pe același arbore, prin cuplaje electromagnetice [14], [34], etc.

În cele ce urmează se vor prezenta pe scurt metodele mai des utilizate de modificare a vitezei mașinilor asincrone alimentate prin convertizoare statice.

### 1.3.1. Modificarea vitezei mașinilor asincrone prin impulsuri

Metoda de modificare a vitezei prin impulsuri de tensiune constă în principiu în schimbarea periodică și de scurtă durată a tensiunii de alimentare a mașinii, astfel încât viteza să obțină o valoare medie pe durata unei perioade [13], [15]. Utilizarea acestei metode s-a impus mai ales la mașinile de putere mică, fiind simplă, sigură și relativ economică.

Schemele tipice pentru modificarea vitezei mașinilor asincrone prin impulsuri și caracteristicile mecanice ce se obțin sînt prezentate în fig.1.6 și fig.1.7.

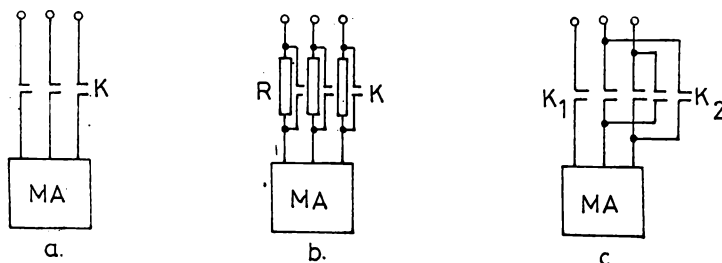


Fig.1.6

Scheme tipice pentru modificarea vitezei prin impulsuri: a - conectare și deconectare repetată la rețea; b - conectare repetată a unei rezistențe în stator; c - conectare repetată în regim de motor și de frînă în contracurent.

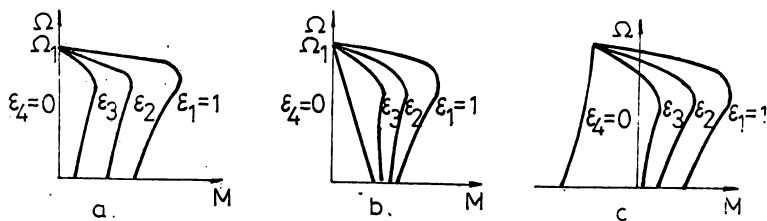


Fig.1.7

Caracteristicile mecanice corespunzătoare schemelor tipice din fig.1.6 pentru diferite durate relative de conectare:  $\epsilon_1 > \epsilon_2 > \epsilon_3 > \epsilon_4$ .

Potrivit schemelor din fig.1.6 alimentarea mașinii se face la întreaga tensiune un interval de timp  $t_1$ , după care

urmează un interval de timp  $t_2$  în care mașina este, fie deconectată de la rețea (fig.1.6.a), fie alimentată la o tensiune mai mică (fig.1.6.b), fie alimentată în regim de frână în contracurent (fig.1.6.c).

În intervalul de timp  $t_1$  mașina se accelerează, dezvoltând un cuplu superior cuplului rezistent, iar în intervalul  $t_2$  se produce o frînare a ei, ( $M < M_R$ ), rezultând o variație a vitezei de forma celei din fig.1.8.

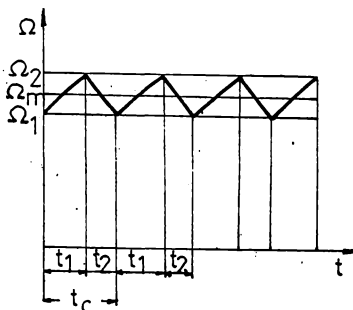


Fig.1.8

Variația vitezei mașinii într-o perioadă  $t_c$ .

Amplitudinea oscilațiilor vitezei depinde de frecvența de conectare și momentul de inerție al instalației [15], [68], [87].

Caracteristicile mecanice ale mașinii asincrone reprezintă în acest caz dependența dintre valorile medii ale cuplului dezvoltat de mașină și vitezei de rotație.

Cuplul mediu al mașinii poate fi exprimat cu aproximație sub forma [15]:

$$M_m = \frac{M_1 t_1 + M_2 t_2}{t_1 + t_2} = M_2 + (M_1 - M_2) \varepsilon \quad (1.16)$$

unde  $M_1$  reprezintă cuplul dezvoltat de mașină în intervalul  $t_1$  și corespunde unei alimentări normale a mașinii.

$M_2$  - cuplul dezvoltat în intervalul  $t_2$ , potrivit modurilor de funcționare care se fac în circuitul mașinii.

Viteza medie a mașinii pentru frecvențe de conectare relativ mari și momente de inerție mari [15], caz în care variația vitezei se poate considera liniară, este:

Conform acestui sistem de alimentare funcționarea mașinii este caracterizată prin durata relativă de conectare  $\varepsilon$ , definită prin relația:

$$\varepsilon = \frac{t_1}{t_1 + t_2} = \frac{t_1}{t_c} \quad (1.15)$$

Viteza medie în jurul căreia variază viteza mașinii în regim de funcționare staționar ( $M_R = ct$ ,  $\varepsilon = ct$ ,  $t_c = ct$ ), este dependentă de valoarea duratei relative de conectare și de sarcina

$$\Omega_m = \frac{\Omega_1 + \Omega_2}{2} \quad (1.17)$$

Pe baza relațiilor (1.16) și (1.17) este posibil a se calcula caracteristicile mecanice ale unei acționări, cunoscând valoarea duratei relative de conectare și caracteristicile mecanice  $M_1 = \varphi_1(\Omega)$  și  $M_2 = \varphi_2(\Omega)$ , corespunzătoare alimentării mașinii în cele două situații extreme.

Această metodă de modificare a vitezei se poate aplica atât în cazul acționărilor cu mașini asincrone cu rotorul în colivie, cât și la cele cu inele, la care, prin introducerea unor rezistențe în circuitul rotoric, performanțele se îmbunătățesc și utilizarea mașinii este mai completă [15],[85].

Este de remarcat faptul că la mașinile asincrone cu rotorul în colivie întreaga energie de alunecare se transformă în căldură în rotorul mașinii. Aceasta va duce la încălzirea puternică a mașinii și limitarea gamei de modificare a vitezei și a timpului de funcționare pe caracteristicile artificiale de viteză redusă.

La acționarea cu mașini asincrone cu inele la care se introduce o rezistență suplimentară în rotor, o parte din energia de alunecare se transformă în căldură în această rezistență și deci condițiile de funcționare ale mașinii sînt mai bune. O astfel de instalație este folosită de firma ASEA la acționarea aparatelor de ridicat. Soluția deși puțin elegantă, cu randament scăzut prezintă avantajul unei mari simplități.

În plus, în cazul mașinilor asincrone cu inele, comanda de conectare și deconectare repetată se poate face și în circuitul rotoric [63].

Principiul de comandă este același dar, prin introducerea unor rezistențe sau rezistențe și reactanțe în rotor, condițiile de funcționare ale mașinii sînt mai bune. Caracteristicile mecanice ce se obțin, datorită posibilității de modificare a valorii rezistenței rotorice, sînt mai adecvate cu necesitățile proceselor tehnologice [63].

Schemele de principiu care se folosesc de obicei pentru modificarea vitezei prin impulsuri cu comandă în rotor sînt prezentate în fig.1.9.

Alimentarea mașinilor asincrone prin impulsuri de tensiune se realizează cu ajutorul aparatelor de comandă mecanice, electromecanice, electromagnetice, ionice și a semiconductoarelor

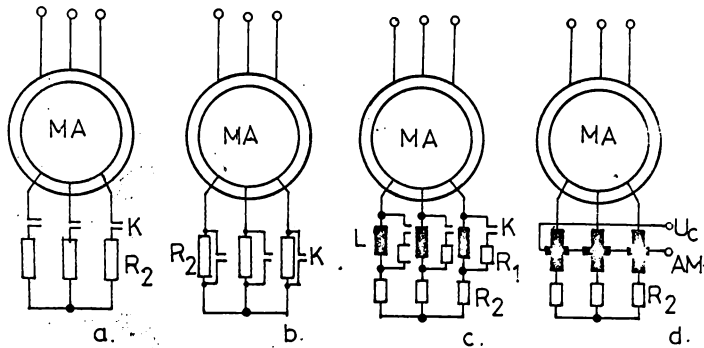


Fig.1.9

Schema de modificare a vitezei prin impulsuri cu comandă în rotor: a - închiderea și deschiderea repetată a circuitului rotoric în care se găsește înseriată rezistența  $R_2$ ; b - scurtcircuitarea repetată a rezistenței  $R_2$  introduse în rotor; c - conectarea repetată a unei bobine  $L$  sau rezistențe  $R_1$ , în serie cu  $R_2$ ; d - comanda prin amplificator magnetic în serie cu rezistența  $R_2$ .

[15],[19],[36],[68],[87]. În vederea obținerii unor performanțe cât mai ridicate este necesar ca frecvența de conectare a elementelor de comandă să fie mare, respectiv inerția lor mică [19].

Folosirea contactoarelor mecanice și electromecanice pentru comanda mașinilor a permis obținerea unor frecvențe de conectare de maximum 3000 conectări pe oră, respectiv cca. 1 Hz [68].

Prin introducerea aparatelor de comandă electromagnetice [94], a celor ionice și a semiconductoarelor [36],[87], s-a reușit creșterea frecvenței de conectare și deci reducerea amplitudinii oscilațiilor sub 4+5 % față de viteza medie chiar și în cazul unor instalații cu moment de inerție redus.

S-au realizat instalații acționate cu mașini asincrone cu domenii de modificare a vitezei de 10:1 și mai mult cu puteri de 0,6 + 155 kW, cu frecvențe de conectare de pînă la 20+30 Hz [36],[57],[68],[69],[85],[87],[94].

Schema de principiu a unei instalații de acționare folosind elemente de comandă ionice [87] este prezentată în fig.1.10.

Instalația cuprinde tiratroanele  $T_1 + T_6$  în montaj antiparalel prin care se alimentează o mașină asincronă de

0,8 kW, 1500 rot/min. Cu ajutorul acestei instalații experimentale s-a obținut o gamă de modificare a vitezei de 2:1 la sarcina de 25+100 % din sarcina nominală cu frecvențe de conectare de cca. 5 Hz.

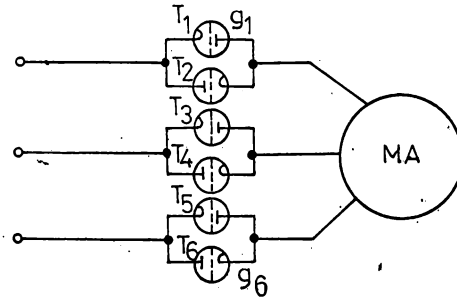


Fig.1.10

Schema de principiu pentru modificarea vitezei mașinii asincrone prin tiratiroane.

La alimentarea mașinilor asincrone prin impulsuri de tensiune apar o serie de dezavantaje de care trebuie să se țină seama la alegerea soluției privind frecvența de conectare, momentul de inerție, gama de modificare a vitezei etc. Dintre aceste dezavantaje amintim:

- curenți mari prin mașină la conectare, pierderi de putere mari și deci încălzire pronunțată a mașinii;
- șocuri mecanice în mașină și transmisii datorită variației cuplului mașinii;
- pulsații ale vitezei în jurul valorii medii;
- stabilitate redusă în funcționarea mașinii datorită formei caracteristicilor mecanice puternic căzătoare la valori mici ale duratei relative de conectare;
- reducerea cuplului mașinii asincrone pe măsură ce domeniul de modificare al vitezei se mărește.

Regimul în care funcționează mașina este mult afectat de procesele tranzitorii care au loc și care se repetă în timpul frecvenței de conectare [5]. Studiul comportării mașinii se poate face numai luând în considerare aceste fenomene, care la alimentarea normală a mașinii se neglijează [54], [86].

### 1.3.2. Modificarea vitezei prin modificarea tensiunii de alimentare

Deși în relația (1.14) a vitezei mașinii asincrone nu intervine tensiunea de alimentare, modificarea valorii tensiunii determină modificarea vitezei prin intermediul alunecării. Astfel, dacă se analizează relația (1.7) rezultă spre exemplu că la un cuplu constant al mașinii asincrone cu parametrii constanți la schimbarea valorii tensiunii de alimentare singura mărime care se poate modifica este alunecarea. Felul în care influențează valoarea tensiunii de alimentare asupra caracteristicilor mecanice rezultă din analiza relațiilor (1.7), (1.9) și (1.10). Din (1.9) rezultă că valoarea alunecării de răsturnare este constantă, indiferent de valoarea tensiunii. Cuplul de răsturnare depinde de patratul tensiunii și va apare de fiecare dată la aceeași alunecare critică. Ținând seama de porțiunea stabilă de funcționare a caracteristicii mecanice înseamnă că alunecarea mașinii asincrone și deci viteza ei poate fi modificată în domeniul de alunecări  $s = 0$  și  $s = s_k$ .

Modificarea valorii tensiunii de alimentare se poate face prin metodele clasice - transformator cu tensiunea de ieșire variabilă, rezistențe, reactanțe, amplificatoare magnetice etc - sau prin intermediul convertizoarelor statice. Spre deosebire de sistemele de alimentare prin impulsuri, care asigură în general modificarea valorii medii a tensiunii corespunzător unui interval de timp ce cuprinde mai multe perioade, în acest caz valoarea tensiunii se modifică pe fiecare perioadă a ei.

Caracteristicile mecanice ale mașinii asincrone pentru diferite valori ale tensiunii de alimentare (la alimentarea prin convertizoare se consideră numai fundamentala tensiunii) sînt prezentate în fig.1.11.

Dacă se presupune că mașina asincronă funcționează la cuplu constant și egal cu cel nominal atunci, prin micșorarea tensiunii de alimentare, alunecarea mașinii crește de la  $s_n$  la  $s_k$ , valori care fixează domeniul în care poate fi modificată viteza.

Parametrii mașinii asincrone fiind considerați constanți, valoarea cuplului de răsturnare se modifică proporțional cu patratul tensiunii. Cea mai mică valoare a tensiunii de alimentare pentru care cuplul de răsturnare este egal cu cel nominal rezultă din condiția:

$$\frac{M_k}{M_{k1}} = \frac{M_k}{M_N} = \left( \frac{U_{1N}}{U_1} \right)^2 = \lambda \quad (1.18)$$

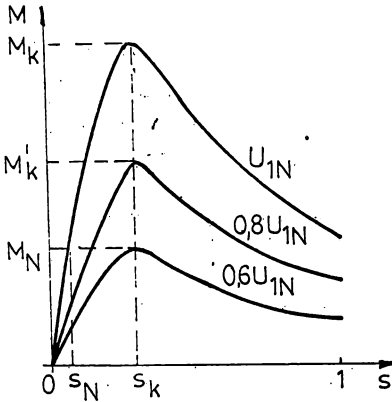


Fig.1.11

Caracteristicile mecanice pentru  $U_1 \neq ct$  și  $f_1 = ct$ .

de unde:

$$\frac{U_1}{U_{1N}} = \frac{1}{\sqrt{\lambda}} \quad (1.19)$$

sau

$$U_1 = \frac{U_{1N}}{\sqrt{\lambda}} \quad (1.20)$$

Se observă din această relație că valoarea tensiunii minime de alimentare pentru care mașina dezvoltă un cuplu egal cu cel nominal depinde de coeficientul de supraîncărcabilitate al mașinii  $\lambda$ .

Valoarea vitezei minime a mașinii asincrone care se poate

realiza este determinată de  $s_k$ :

$$\Omega_{min} = (1 - s_k) \Omega_1 \quad (1.21)$$

și deci prin această metodă, la  $M = M_N = ct$ , viteza poate fi modificată între  $\Omega_N$  și  $\Omega_{min}$ . Cu cât alunecarea critică a mașinii este mai mare cu atât domeniul de modificare al vitezei este mai mare.

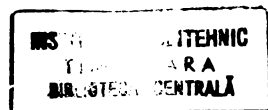
Caracteristicile mecanice ale mașinii asincrone pentru diferite valori ale tensiunii de alimentare se calculează cu relația [15]:

$$\frac{\Omega}{\Omega_1} = 1 - \frac{\lambda + \sqrt{\lambda^2 - 1}}{\lambda \left( \frac{U_1}{U_{1N}} \right)^2 + \sqrt{\lambda^2 \left( \frac{U_1}{U_{1N}} \right)^4 - 1}} s_N \quad (1.22)$$

Metoda de modificare a vitezei prin schimbarea tensiunii de alimentare este o metodă simplă și economică, în măsura în care dispozitivele de modificare a tensiunii au pierderi mici.

Dezavantajele principale ale acestei metode constau în:

- domeniu relativ redus de modificare a vitezei;
- stabilitate redusă a caracteristicilor pe măsură ce tensiunea de alimentare se micșorează;
- viteza de sincronism constantă;



- reducerea capacității de suprasarcină la reducerea tensiunii.

Aceste dezavantaje fac ca metoda de modificare a vitezei prin schimbarea tensiunii de alimentare să aibă o utilizare practică limitată la acționarea instalațiilor cu sarcină constantă sau puțin variabilă, folosind de obicei mașini asincrone cu rotorul în colivie.

### 1.3.3. Modificarea vitezei prin modificarea frecvenței

Modificarea vitezei mașinilor asincrone prin modificarea frecvenței tensiunii de alimentare permite îmbunătățirea caracteristicilor mecanice și eliminarea majorității dezavantajelor ce se manifestă la metodele de modificare a vitezei prin impulsuri și prin schimbarea tensiunii. Folosirea acestei metode de modificare a vitezei capătă pe zi ce trece o importanță tot mai mare datorită realizărilor deosebite în domeniul construcției de convertizoare statice cu elemente semiconductoare al căror preț de cost se reduce continuu, iar fiabilitatea se mărește.

Conform relației (1.14) prin modificarea frecvenței  $f_1$  se modifică viteza sincronă a mașinilor asincrone și se obțin caracteristici mecanice artificiale deasupra și sub caracteristica naturală, așa cum se arată în fig.1.12. La o valoare constantă a alunecării  $s$ , viteza mașinii asincrone variază liniar cu frecvența  $f_1$ .

Studiul comportării mașinii asincrone și forma caracteristicilor mecanice la modificarea frecvenței se face pe baza ecuațiilor mașinii.

Dacă în (1.7) se exprimă viteza sincronă în funcție de frecvența  $f_1$ , pentru cuplul dezvoltat de mașina asincronă se obține:

$$M = \frac{3 p U_1^2}{2 \pi f_1} \frac{R_2'/s}{(R_1 + C_1 R_2'/s)^2 + 4 \pi^2 f_1^2 (L_{1\sigma} + C_1 L_{2\sigma}')^2} \quad (1.23)$$

Pentru a pune în evidență dependența cuplului de răsturnare al mașinii și a alunecării critice funcție de frecvența  $f_1$ , relațiile (1.10) și (1.9) se scriu sub forma:

$$M_k = \frac{3 p U_1^2}{2 \pi f_1} \frac{1}{2 C_1} \frac{1}{R_1 \pm \sqrt{R_1^2 + 4 \pi^2 f_1^2 (L_{1\sigma} + C_1 L_{2\sigma}')^2}} \quad (1.24)$$

$$s_k = \pm \frac{C_1 R_2'}{\sqrt{R_1^2 + 4 \pi^2 f_1^2 (L_{1\sigma} + C_1 L_{2\sigma}')^2}} \quad (1.25)$$

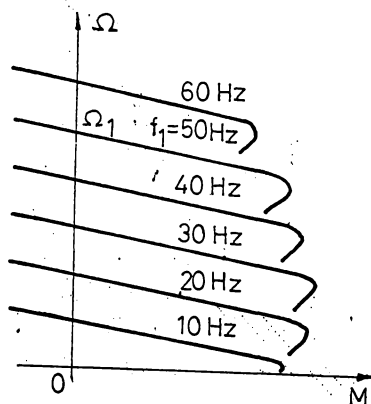


Fig.1.12

Caracteristicile mecanice ale mașinii asincrone la modificarea frecvenței.

Dacă tensiunea de alimentare a mașinii asincrone este constantă și frecvența variabilă, din analiza relațiilor (1.23), (1.24) și (1.25) la funcționarea mașinii în regim de motor rezultă următoarele:

- la creșterea frecvenței  $f_1$ , viteza mașinii crește, cuplul de răsturnare și alunecarea critică se micșorează;

- la scăderea frecvenței  $f_1$ , cuplul de răsturnare și alunecarea critică cresc, dar mașina se saturează puternic și în consecință micșorarea frecvenței nu se poate face decât în limite reduse.

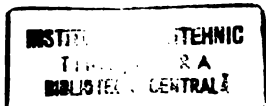
Acestea au fost considerentele care au stat la baza construcției convertizoarelor de frecvență la care odată cu modificarea frecvenței se modifică și tensiunea de alimentare. Legea de variație a tensiunii cu frecvența se determină în fiecare caz în parte, în funcție de forma caracteristicilor mecanice necesare diferitelor instalații de acționare.

Studiul comportării mașinii asincrone corespunzător diferitelor legi de variație dintre tensiune și frecvență, în concordanță cu cerințele mașinilor de lucru acționate, se tratează în cap.2.

Modificarea vitezei mașinilor asincrone prin modificarea frecvenței și a valorii tensiunii de alimentare se poate face în limite foarte largi.

1.3.4. Modificarea vitezei prin aplicarea unei tensiuni suplimentare în rotor.

Metoda de modificare a vitezei mașinilor asincrone prin introducerea unei tensiuni suplimentare în circuitul rotorului constă în principiu în alimentarea dublă a mașinii. Astfel, la bornele statorice ale mașinii se va aplica o tensiune a cărei amplitudine și frecvență este constantă iar la bornele rotorului o tensiune electromotoare de frecvență egală cu cea din rotor și a cărei valoare și sens va depinde de caracteristicile meca-



nică pe care dorim să o obținem.

Modificarea vitezei mașinii asincrone rezultă ca urmare a modificării puterii de alunecare [14]. Principiul metodei se poate stabili pornind de la schema echivalentă a mașinii asincrone din fig.1.1. Dacă pentru simplificarea demonstrației se neglijează căderea de tensiune pe impedanța statorică a mașinii asincrone se poate scrie:

$$U_1 = U_{e1} = k\phi f_1 \quad (1.26)$$

unde  $\phi$  reprezintă fluxul prin mașină.

În cazul în care mașina asincronă este alimentată la tensiune și frecvență statorică constantă și cuplul rezistent este constant, în orice regim de funcționare al mașinii, din (1.26) rezultă:

$$U_1 = U_{e1} = k_1\phi = ct. \quad (1.27)$$

Diagrama fazorială a tensiunilor mașinii este reprezentată în fig.1.13, unde prin  $\underline{U}'_{e2}$  s-a notat tensiunea indusă în înfășurarea rotorică redusă la stator a cărei valoare este:

$$U'_{e2} = s U'_{e20} \quad (1.28)$$

În relația (1.28),  $U'_{e20}$  reprezintă tensiunea electromotoare de funcționare în gol a mașinii.

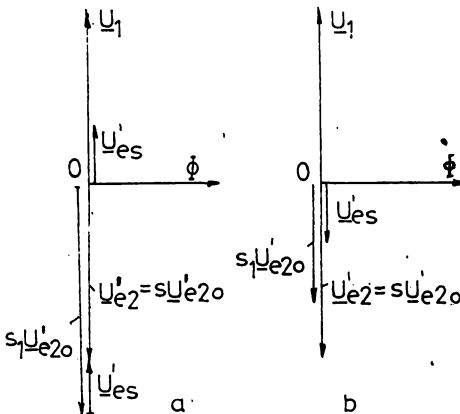


Fig.1.13

Diagrama fazorială simplificată a tensiunilor mașinii asincrone; a - tensiunea suplimentară de sens contrar cu cea rotorică; b - tensiunea suplimentară de același sens cu tensiunea rotorică.

Curentul  $I'_2$  este [14]:

$$I'_2 = \frac{s \cdot U'_{e20}}{\sqrt{R_2'^2 + (s X_{20}')^2}} \approx \frac{s U'_{e20}}{R_2'} = \frac{U'_{e2}}{R_2'} \quad (1.29)$$

Introducerea unei tensiuni electromotoare suplimentare în rotor  $U'_{es}$ , de sens contrar sau de același sens cu tensiunea  $U'_{e2}$ , va determina modificarea valorii curentului și deci a

cuplului mașinii. Noile valori sînt:

$$I'_{2s} = \frac{U'_{e2} + U'_{es}}{R'_2} = \frac{s U'_{e20} + U'_{es}}{R'_2} \quad (1.29')$$

$$M_s = K I'_{2s} \phi, \quad (1.30)$$

unde prin indicele  $s$  s-au notat valorile mărimilor la introducerea tensiunii suplimentare în rotor.

În valori raportate curentul și cuplul au expresiile:

$$\frac{I'_{2s}}{I'_2} = \frac{U'_{e2} + U'_{es}}{U'_{e2}} \quad (1.31)$$

$$\frac{M_s}{M} = \frac{U'_{e2} + U'_{es}}{U'_{e2}} \quad (1.32)$$

Datorită modificării valorii cuplului dezvoltat de mașină față de funcționarea staționară, va apărea un cuplu inerțial care va frîna sau accelera mașina, stabilindu-se un nou punct de funcționare staționară la alunecarea  $s_1$  a cărei valoare se obține din relația:

$$s_1 U'_{e20} + U'_{es} = s U'_{e20} \quad (1.33)$$

de unde:

$$s_1 = s + \frac{U'_{es}}{U'_{e20}} \quad (1.34)$$

Mașina asincronă va avea deci viteze de funcționare diferite, funcție de valoarea și sensul tensiunii  $U'_{es}$ . Dacă  $U'_{es}$  este de sens contrar tensiunii electromotoare principale  $U'_{e2}$ , alunecarea la care se stabilește noul punct de funcționare al mașinii se mărește, iar viteza se micșorează. Dacă  $U'_{es}$  este de același sens cu  $U'_{e2}$ , alunecarea scade și viteza mașinii crește, fiind posibil deci obținerea unor viteze suprasincrone.

Este de remarcat faptul că prin introducerea tensiunii suplimentare în rotor, la funcționarea în gol a mașinii ( $s = 0$ ,  $M = 0$ ), viteza nu mai este egală cu cea sincronă ci corespunde unei alunecări  $s_{01}$ , dată de relația:

$$s_{01} = + \frac{U'_{es}}{U'_{e20}} \quad (1.35)$$

Inseamnă că se vor obține caracteristici mecanice cu viteze de funcționare în gol diferite, avînd forma celor din fig. 1.14.

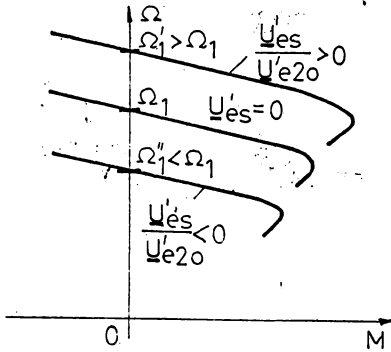


Fig.1.14

Caracteristicile mecanice ale mașinii asincrone la introducerea unei tensiuni suplimentare în rotor.

Metoda de modificare a vitezei mașinilor asincrone prin aplicarea unei tensiuni suplimentare în rotor permite obținerea unor viteze subsincrone sau suprasincrone, funcție de sensul și valoarea tensiunii suplimentare.

Pe de altă parte prin alegerea fazei tensiunii suplimentare se poate realiza și o îmbunătățire a factorului de putere al mașinii asincrone [14].

Forma caracteristicilor mecanice ale mașinii asincrone va depinde de felul de varia-

ție al tensiunii suplimentare cu sarcina mașinii. Gama de modificare a vitezei este relativ redusă datorită greutăților ce intervin în procesul de modificare a valorii tensiunii suplimentare. Instalațiile prin care se realizează acest mod de modificare a vitezei sînt cunoscute sub denumirea de cascade și vor fi prezentate în cap.3.

#### 1.4. Concluzii

Modificarea vitezei mașinilor asincrone folosite în instalațiile industriale de acționare este o necesitate determinată de procesele tehnologice de producție. Gama de viteze ce trebuie realizată, durata de funcționare la diferite viteze, cuplul mașinii corespunzător unei anumite viteze sînt mărimi ce se stabilesc pentru fiecare acționare pe baza procesului tehnologic și a diagramei de sarcină a mașinii de lucru. Alegerea corectă a mașinii de acționare și a metodei de modificare a vitezei va trebui să țină seama atât de aceste aspecte, de ordin tehnic, cît și de aspectul economic - cheltuielile de investiție și de exploatare ale instalației. Asigurarea funcționării mașinilor de acționare corespunzător cerințelor procesului de producție se realizează prin modificarea parametrilor sistemului de acționare - parametrii mașinii electrice sau parametrii tensiunii de alimentare.

Metodele de modificare a vitezei mașinilor asincrone, deși numeroase, prezintă marele dezavantaj că necesită în general scheme complicate sau se realizează cu pierderi mari de energie electrică.

Toate aceste considerente impun necesitatea unui studiu amănunțit al proceselor tehnologice de producție, al caracteristicilor mecanice ale mașinilor de lucru și ale mașinilor de acționare, atunci când se pune problema alegerii soluției finale privind acționarea electrică a unei instalații industriale.

## 2. ANALIZA COMPORTARII MASINILOR ASINCRONE PENTRU DIFERITE LEGI DE VARIATIE TENSIUNE-FRECVENTA

### 2.1. Generalități

Așa cum s-a văzut în cap.1, viteza mașinilor asincrone poate fi modificată în limite largi prin modificarea frecvenței tensiunii de alimentare. Modificarea numai a frecvenței tensiunii în scopul modificării vitezei prezintă dezavantaje care pot fi eliminate prin corelarea valorii tensiunii de alimentare a mașinii asincrone cu frecvența primară. Modul de variație a celor două mărimi și influența lor asupra caracteristicilor mecanice ale mașinii asincrone este o problemă de mare importanță în alegerea tipului sursei de alimentare, respectiv a mașinii electrice de acționare. Acestea sînt motivele care determină necesitatea analizei în detaliu a comportării mașinii asincrone alimentate prin convertizoare de tensiune și frecvență, la diferite legi de variație a tensiunii cu frecvența.

Studiul comportării mașinilor asincrone se va face pe baza ecuațiilor mașinii scrise în ipoteza unei alimentări sinusoidale. În cazul alimentării mașinilor asincrone prin convertizoare statice a căror tensiune este nesinusoidală, se va studia comportarea mașinii luîndu-se în considerare, în primă aproximatie, numai fundamentala tensiunii. Influența armoniceilor din curba tensiunii, a curentului și cuplului se poate studia separat, determinîndu-se scheme echivalente corespunzătoare acestor armonici și scriînd sisteme de ecuații care să descrie mai precis comportarea mașinii asincrone [93], [101], [116].

### 2.2. Curenții și cuplul mașinii asincrone alimentate cu tensiuni și frecvențe variabile

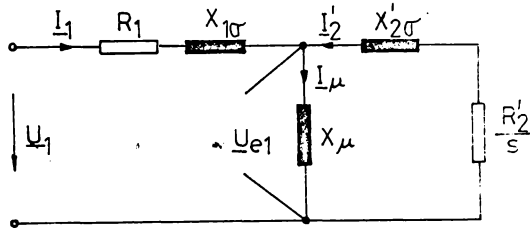
Ecuațiile mașinii asincrone (1.1) și (1.3) scrise în ipoteza unei alimentări la tensiune și frecvență constantă pot fi folosite și la studiul comportării mașinii în alte condiții de alimentare. Astfel, dacă frecvența tensiunii de alimentare este diferită de cea nominală se va ține seama de influența ei asupra parametrilor electrice - rezistențe, reactanțe, impo-

danțe - care intervin în ecuațiile mașinii [15],[84].

Dacă în schema echivalentă a mașinii asincrone dată în fig.1.1, se neglijează rezistența circuitului de magnetizare față de reactanța sa ( $R_\mu \ll X_\mu$ ) [15],[47],[86], se obține schema simplificată din fig.2.1.

Fig.2.1

Schema echivalentă a mașinii asincrone pentru  $R_\mu = 0$ .



Corespunzător acestei scheme echivalente ecuațiile mașinii asincrone sînt:

$$\begin{aligned} U_1 &= I_1(R_1 + j X_{1\sigma}) + j X_\mu I_\mu \\ 0 &= I_2' \left( \frac{R_2'}{s} + j X_{2\sigma}' \right) + j X_\mu I_\mu \\ I_\mu &= I_1 + I_2' \end{aligned} \quad (2.1)$$

sau:

$$\begin{aligned} U_1 &= I_1 [R_1 + j(X_{1\sigma} + X_\mu)] + j X_\mu I_2' \\ 0 &= I_2' \left[ \frac{R_2'}{s} + j(X_{2\sigma}' + X_\mu) \right] + j X_\mu I_1 \\ I_\mu &= I_1 + I_2' \end{aligned} \quad (2.2)$$

Introducînd notațiile:

$$X_1 = X_{1\sigma} + X_\mu = \omega_1(L_{1\sigma} + L_\mu) = \omega_1 L_1 \quad (2.3)$$

și

$$X_2' = X_{2\sigma}' + X_\mu = \omega_1(L_{2\sigma}' + L_\mu) = \omega_1 L_2' \quad (2.4)$$

ecuațiile mașinii asincrone devin:

$$\begin{aligned} U_1 &= I_1(R_1 + jX_1) + j X_\mu I_2' \\ 0 &= I_2' \left( \frac{R_2'}{s} + j X_2' \right) + j X_\mu I_1 \\ I_\mu &= I_1 + I_2' \end{aligned} \quad (2.5)$$

unde  $X_1$  reprezintă reactanța totală a statorului;

$X_2'$  - reactanța totală a rotorului redusă la stator;

$X_{1\sigma}$ ,  $X_{2\sigma}'$  - reactanțele de dispersie statorică și rotorică

Analiza comportării maşinii asincrone la modificarea frecvenţei primare se poate face mai uşor dacă se exprimă parametrii ei în mărimi raportate [14],[24],[78],[86]. În lucrare parametrii maşinii asincrone se vor raporta la valorile nominale corespunzătoare frecvenţei de 50 Hz. Se introduc următoarele mărimi raportate:

$$\begin{aligned} \varphi_1 &= \frac{f_1}{f_{1N}} = \frac{\omega_1}{\omega_{1N}} \\ \varphi_2 &= \frac{f_2}{f_{1N}} = \frac{s f_1}{f_{1N}} = \frac{\omega_2}{\omega_{1N}} = s \varphi_1 \\ \sigma_1 &= \frac{L_{1\sigma}}{L_{\mu}} \\ \sigma_2 &= \frac{L_{2\sigma}}{L_{\mu}} \\ \sigma &= 1 - \frac{L_{\mu}^2}{L_1 L_2} \\ k_1 &= \frac{R_1}{\omega_1 L_1} = \frac{k_{1N}}{\varphi_1}; \quad k_{1N} = \frac{R_1}{\omega_{1N} L_1} \\ k_2 &= \frac{R_2'}{\omega_1 L_2'} = \frac{k_{2N}}{\varphi_1}; \quad k_{2N} = \frac{R_2'}{\omega_{1N} L_2'} \\ \tau_1 &= \frac{\omega_1 L_1}{R_1} = \frac{1}{k_1}; \quad \tau_{1N} = \frac{1}{k_{1N}} \\ \tau_2 &= \frac{\omega_1 L_2'}{R_2'} = \frac{1}{k_2}; \quad \tau_{2N} = \frac{1}{k_{2N}} \end{aligned} \quad (2.6)$$

unde  $\varphi_1$  este frecvenţa statorică raportată la frecvenţa nominală ( $f_{1N} = 50$  Hz);

$\varphi_2$  - frecvenţa rotorică raportată;

$\sigma_1, \sigma_2$  - coeficienţii de dispersie, statoric şi rotoric;

$\sigma$  - coeficientul de dispersie global al maşinii;

$\tau_1, \tau_2$  - constantele de timp, statorică şi rotorică, ( $\tau_{1N}$  şi  $\tau_{2N}$  corespund frecvenţei de 50 Hz);

$k_1, k_2$  - mărimi corespunzătoare inversului constantelor de timp ( $k_{1N}$  şi  $k_{2N}$  corespund frecvenţei  $f_{1N} = 50$  Hz).

Cu aceste notaţii se pot exprima curenţii  $I_1, I_2, I_2'$  şi cuplul maşinii asincrone în funcţie de parametrii nominali ai maşinii pentru cazul alimentării la valori diferite ale frecvenţei şi tensiunii, rezolvînd sistemul de ecuaţii (2.5).

Curentul statoric este:

$$\underline{I}_1 = \frac{\underline{U}_1}{(R_1 + jX_1) + \frac{X_M^2}{\omega_1 R_2' + jX_2'}} = \frac{\underline{U}_1}{R_1} \cdot \frac{1 + j\varphi_2 \tau_{2N}}{(1 - \varphi_1 \varphi_2 \tau_{1N} \tau_{2N} \sigma) + j(\varphi_1 \tau_{1N} + \varphi_2 \tau_{2N})} \quad (2.7)$$

sau

$$\underline{I}_1 = \frac{\underline{U}_1}{X_{1N}} \cdot \frac{1 + j\varphi_2 \tau_{2N}}{\left(\frac{1}{\tau_{1N}} - \varphi_1 \varphi_2 \tau_{2N} \sigma\right) + j\left(\varphi_1 + \varphi_2 \frac{\tau_{2N}}{\tau_{1N}}\right)} \quad (2.8)$$

Valoarea efectivă a curentului statoric funcție de a-  
celeași date are expresia:

$$\begin{aligned} I_1 &= \frac{U_1}{R_1} \sqrt{\frac{1 + \varphi_2^2 \tau_{2N}^2}{(1 - \varphi_1 \varphi_2 \tau_{1N} \tau_{2N} \sigma)^2 + (\varphi_1 \tau_{1N} + \varphi_2 \tau_{2N})^2}} = \\ &= \frac{U_1}{X_{1N}} \sqrt{\frac{1 + \varphi_2^2 \tau_{2N}^2}{\left(\frac{1}{\tau_{1N}} - \varphi_1 \varphi_2 \tau_{2N} \sigma\right)^2 + \left(\varphi_1 + \varphi_2 \frac{\tau_{2N}}{\tau_{1N}}\right)^2}} \quad (2.9) \end{aligned}$$

Curentul rotoric se exprimă printr-o relație asemănă-  
toare din același sistem de ecuații:

$$\underline{I}_2' = \frac{\underline{U}_1}{R_1} \cdot \frac{-j \varphi_2 \tau_{2N} \frac{1}{1 + \sigma_2}}{(1 - \varphi_1 \varphi_2 \tau_{1N} \tau_{2N} \sigma) + j(\varphi_1 \tau_{1N} + \varphi_2 \tau_{2N})} \quad (2.10)$$

sau

$$\underline{I}_2' = \frac{U_1}{X_{1N}} \cdot \frac{-j \varphi_2 \tau_{2N} \frac{1}{1 + \sigma_2}}{\left(\frac{1}{\tau_{1N}} - \varphi_1 \varphi_2 \tau_{2N} \sigma\right) + j\left(\varphi_1 + \varphi_2 \frac{\tau_{2N}}{\tau_{1N}}\right)} \quad (2.11)$$

Valoarea efectivă a curentului rotoric redus la stator  
este:

$$\begin{aligned} I_2' &= \frac{U_1}{R_1} \sqrt{\frac{\varphi_2^2 \tau_{2N}^2 \frac{1}{(1 + \sigma_2)^2}}{(1 - \varphi_1 \varphi_2 \tau_{1N} \tau_{2N} \sigma)^2 + (\varphi_1 \tau_{1N} + \varphi_2 \tau_{2N})^2}} \\ &= \frac{U_1}{X_{1N}} \sqrt{\frac{\varphi_2^2 \tau_{2N}^2 \frac{1}{(1 + \sigma_2)^2}}{\left(\frac{1}{\tau_{1N}} - \varphi_1 \varphi_2 \tau_{2N} \sigma\right)^2 + \left(\varphi_1 + \varphi_2 \frac{\tau_{2N}}{\tau_{1N}}\right)^2}} \end{aligned}$$

Curentul de magnetizare este dat de relațiile:

$$\underline{I}_\mu = \frac{U_1}{R_1} \cdot \frac{1 + j \varphi_2 \tau_{2N} \frac{\sigma_2}{1 + \sigma_2}}{(1 - \varphi_1 \varphi_2 \tau_{1N} \tau_{2N} \sigma) + j(\varphi_1 \tau_{1N} + \varphi_2 \tau_{2N})} \quad (2.13)$$

și

$$\underline{I}'_\mu = \frac{U_1}{X_{1N}} \cdot \frac{1 + j \varphi_2 \tau_{2N} \frac{\sigma_2}{1 + \sigma_2}}{\left(\frac{1}{\tau_{1N}} - \varphi_1 \varphi_2 \tau_{2N} \sigma\right) + j\left(\varphi_1 + \varphi_2 \frac{\tau_{2N}}{\tau_{1N}}\right)} \quad (2.14)$$

Valoarea efectivă a curentului de magnetizare este:

$$\begin{aligned} I_\mu &= \frac{U_1}{R_1} \sqrt{\frac{1 + \varphi_2^2 \tau_{2N}^2 \frac{\sigma_2^2}{(1 + \sigma_2)^2}}{(1 - \varphi_1 \varphi_2 \tau_{1N} \tau_{2N} \sigma)^2 + (\varphi_1 \tau_{1N} + \varphi_2 \tau_{2N})^2}} = \\ &= \frac{U_1}{X_{1N}} \sqrt{\frac{1 + \varphi_2^2 \tau_{2N}^2 \frac{\sigma_2^2}{(1 + \sigma_2)^2}}{\left(\frac{1}{\tau_{1N}} - \varphi_1 \varphi_2 \tau_{2N} \sigma\right)^2 + \left(\varphi_1 + \varphi_2 \frac{\tau_{2N}}{\tau_{1N}}\right)^2}} \quad (2.15) \end{aligned}$$

Relația cuplului dezvoltat de mașina asincronă, funcție de mărimile raportate se obține înlocuind în relația (1.5) pe  $I'_2$  cu valoarea din (2.12):

$$\begin{aligned} M &= m_1 \frac{p}{\omega_{1N} s \varphi_1} \left(\frac{U_1}{R_1}\right)^2 \cdot \frac{(\varphi_2 \tau_{2N} \frac{1}{1 + \sigma_2})^2 R_2'}{(1 - \varphi_1 \varphi_2 \tau_{1N} \tau_{2N} \sigma)^2 + (\varphi_1 \tau_{1N} + \varphi_2 \tau_{2N})^2} = \\ &= m_1 \frac{p}{\omega_{1N} \varphi_2} \left(\frac{U_1}{R_1}\right)^2 \frac{\varphi_2^2 \tau_{2N}^2 \frac{1}{(1 + \sigma_2)^2} R_2'}{(1 - \varphi_1 \varphi_2 \tau_{1N} \tau_{2N} \sigma)^2 + (\varphi_1 \tau_{1N} + \varphi_2 \tau_{2N})^2} = \\ &= m_1 p I_\mu \left(\frac{U_1}{R_1}\right)^2 \frac{\varphi_2 \tau_{2N} \frac{1}{1 + \sigma_2}}{(1 - \varphi_1 \varphi_2 \tau_{1N} \tau_{2N} \sigma)^2 + (\varphi_1 \tau_{1N} + \varphi_2 \tau_{2N})^2} \quad (2.16) \end{aligned}$$

În cazul alimentării mașinii asincrone de la o rețea cu frecvența constantă și egală cu cea nominală se obține funcționarea normală a ei. Valoarea frecvenței rotorice raportate, pentru care cuplul electromagnetic este maxim, se calculează din derivata:

$$\frac{\partial M}{\partial \varphi_2} = 0$$



(2.17)

În urma efectuării calculelor se obține

$$\varphi_{2m} = \pm \frac{1}{\tau_{2N}} \sqrt{\frac{1 + \varphi_1^2 \tau_{1N}^2}{1 + \sigma^2 \varphi_1^2 \tau_{1N}^2}} \quad (2.18)$$

Valoarea pozitivă a lui  $\varphi_{2m}$  corespunde funcționării mașinii în regim de motor iar valoarea negativă corespunde funcționării în regim de generator.

Alunecarea de răsturnare este:

$$s_k = \pm \frac{1}{\varphi_1 \tau_{1N}} \sqrt{\frac{1 + \varphi_1^2 \tau_{1N}^2}{1 + \sigma^2 \varphi_1^2 \tau_{1N}^2}} \quad (2.19)$$

iar

$$\varphi_{2m} = \varphi_1 s_k, \quad (2.20)$$

relație care arată dependența frecvenței rotorice raportate la care apare cuplul de răsturnare față de frecvența statorică și parametrii mașinii.

Cuplul de răsturnare în funcție de mărimile raportate are expresia:

$$\begin{aligned} M_k &= \pm \frac{m_1}{2} p L_{\mu} \left(\frac{U_1}{R_1}\right)^2 \cdot \frac{1}{1 + \sigma_2} \cdot \frac{1}{\sqrt{(1 + \varphi_1^2 \tau_{1N}^2)(1 + \varphi_1^2 \tau_{1N}^2 \sigma^2) \pm \varphi_1 \tau_{1N}(1 - \sigma)}} \\ &= \pm \frac{m_1}{2} p \left(\frac{U_1}{R_1}\right)^2 \frac{(1 - \sigma)L_1}{\sqrt{(1 + \varphi_1^2 \tau_{1N}^2)(1 + \varphi_1^2 \tau_{1N}^2 \sigma^2) \pm \varphi_1 \tau_{1N}(1 - \sigma)}} \quad (2.21) \end{aligned}$$

Semnele (+) sau (-) din relația (2.21) corespund regimului de funcționare ca motor, respectiv de generator.

Raportul dintre cuplul electromagnetic dezvoltat de mașina asincronă și cuplul de răsturnare, pentru o anumită frecvență, este:

$$\frac{M}{M_k} = 2 \frac{1 + \frac{\varphi_1 \tau_{1N}(1 - \sigma)}{\sqrt{(1 + \varphi_1^2 \tau_{1N}^2)(1 + \varphi_1^2 \tau_{1N}^2 \sigma^2)}}}{\frac{\varphi_2}{\varphi_{2m}} + \frac{\varphi_{2m}}{\varphi_2} + \frac{2\varphi_1 \tau_{1N}(1 - \sigma)}{\sqrt{(1 + \varphi_1^2 \tau_{1N}^2)(1 + \varphi_1^2 \tau_{1N}^2 \sigma^2)}}} \quad (2.22)$$

La frecvențe statorice de alimentare superioare celei nominale (50 Hz) și pentru mașini mari, termenul  $(\varphi_1 \tau_{1N})^2$  este întotdeauna mult mai mare ca unitatea; în toate aceste cazuri se poate neglija valoarea rezistenței statorice, obținând pentru cuplul raportat la cel de răsturnare relația:

$$\frac{M}{M_k} = \frac{2}{\varphi_2/\varphi_{2m} + \varphi_{2m}/\varphi_2} \quad (2.23)$$

Această relație este analoagă ca formă cu cea care se folosește de obicei la calculul practic al caracteristicii mecanice a mașinii, la alimentarea sinusoidală și frecvență nominală [15],[34].

Relațiile (2.9)...(2.16) exprimă curenții și cuplul în funcție de frecvența statorică raportată, de rezistențele și reactanțele mașinii, de constantele de timp și de tensiunea aplicată.

Pe baza acestor relații se poate studia comportarea mașinii asincrone pentru diferite legi de variație dintre tensiune și frecvența aplicată mașinii, respectiv se pot stabili legile după care să varieze tensiunea cu frecvența în vederea obținerii unor caracteristici mecanice care să corespundă acționării unei instalații date din punct de vedere al domeniului de modificare a vitezei, al rigidității caracteristicilor și din punct de vedere energetic. În continuare este prezentată analiza funcționării mașinii asincrone pentru principalele legi de variație ale tensiunii cu frecvența care pot fi întâlnite în practică.

### 2.3. Funcționarea mașinii asincrone la diferite legi de variație între tensiune și frecvență

#### 2.3.1. Lege de variație tensiune-frecvență liniară

Dacă se face alimentarea mașinii asincrone de la un convertizor static a cărui tensiune variază liniar cu frecvența, valoarea constantei de proporționalitate este cea corespunzătoare alimentării la tensiune și frecvență nominală:

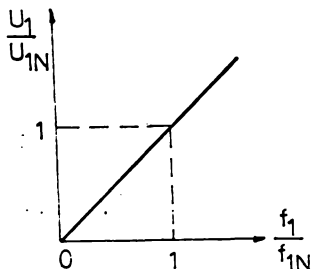


Fig.2.2

Variația tensiunii cu frecvența pentru  $U_1/f_1=ct$ .

$$k = \frac{U_{1N}}{f_{1N}} = \frac{U_1}{f_1} = ct \quad (2.24)$$

Tensiunea de alimentare pentru o frecvență oarecare rezultă din (2.24)

$$U_1 = U_{1N} \frac{f_1}{f_{1N}} = U_{1N} \varphi_1 \quad (2.25)$$

și este reprezentată în Fig.2.2.

Înlocuind pe (2.25) în (2.16), se obține pentru cuplul mașinii expresia:

$$M = m_1 p L_\mu \left( \frac{U_{1N}}{R_1} \right)^2 \varphi_2^2 \frac{1}{1 + \sigma_2} \frac{1}{(1 - \varphi_1 \varphi_2 \tau_{1N} \tau_{2N} \sigma)^2 + (\varphi_1 \tau_{1N} + \varphi_2 \tau_{2N})^2} \quad (2.26)$$

Cu (2.25) în (2.21), cuplul de răsturnare este:

$$M_k = \pm \frac{m_1}{2} p L_\mu \left( \frac{U_{1N}}{R_1} \right)^2 \varphi_2^2 \frac{1}{1 + \sigma_2} \frac{1}{\sqrt{(1 + \varphi_1^2 \tau_{1N}^2)(1 + \varphi_2^2 \tau_{2N}^2 \sigma^2) + \varphi_1 \tau_{1N}(1 - \sigma)}} \quad (2.27)$$

Din (2.7), tensiunea la bornele mașinii  $U_1$ , ținând seama și de (2.25), se poate exprima sub forma:

$$\begin{aligned} \underline{U}_1 &= \varphi_1 \underline{U}_{1N} = \underline{I}_1 \left( R_1 + j \varphi_1 \omega_{1N} L_{1\sigma} + \frac{1}{j \varphi_1 \omega_{1N} L_\mu + \frac{R_2'}{s} + j \varphi_1 \omega_{1N} L_2'} \right) = \\ &= \underline{I}_1 \left( R_1 + j \varphi_1 \omega_{1N} L_{1\sigma} + \frac{1}{\frac{1}{j \omega_{1N} L_\mu} + \frac{1}{\frac{R_2'}{\varphi_2} + j \varphi_1 \omega_{1N} L_2'}} \right) \quad (2.28) \end{aligned}$$

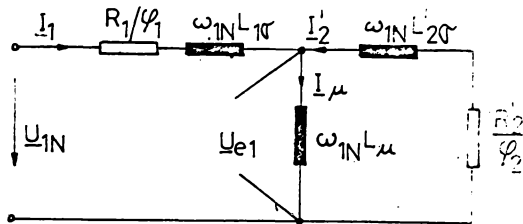
Dacă relația (2.28) se înmulțește cu  $1/\varphi_1$  se obține:

$$\underline{U}_{1N} = \underline{I}_1 \left( \frac{R_1}{\varphi_1} + j \omega_{1N} L_{1\sigma} + \frac{1}{\frac{1}{j \omega_{1N} L_\mu} + \frac{1}{\frac{R_2'}{\varphi_2} + j \omega_{1N} L_2'}} \right) \quad (2.29)$$

Acestei ecuații îi corespunde schema echivalentă din fig.2.3.

Fig.2.3

Schema echivalentă a mașinii asincrone pentru o lege  $U_1/f_1 = \text{ct.}$



Se observă că în cazul unei legi de variație  $U_1/f_1 = \text{ct.}$  ecuațiile mașinii asincrone scrise pentru regimul normal de alimentare ( $U_1 = U_{1N}$ ,  $f_1 = f_{1N}$ ) sînt valabile, cu decosebirea că rezistența statorică a mașinii trebuie redusă în raportul  $\varphi_1$ . Aceasta înseamnă că odată cu micșorarea frecvenței  $f_1$ , crește rolul rezistenței statorice a mașinii și deci căderea ohmică pe ea, ceea ce duce la o înrăutățire.

a funcționării mașinii asincrone în sensul micșorării cuplului de răsturnare. Caracteristicile mecanice ale mașinii funcție de frecvența rotorică, alunecare și viteza mașinii pentru frecvența  $f_1$  ca parametru vor arăta în acest caz ca cele din fig. 2.4.

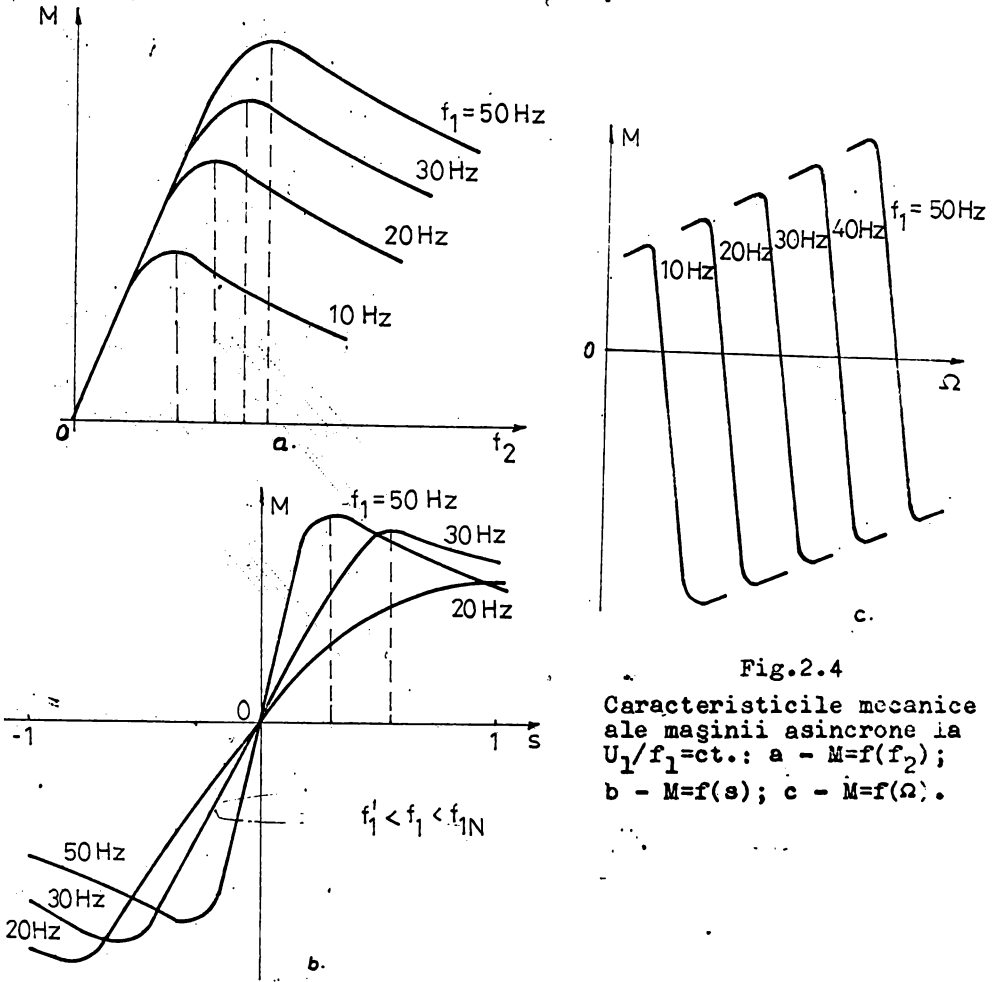


Fig.2.4

Caracteristicile mecanice ale mașinii asincrone la  $U_1/f_1=ct.$ : a -  $M=f(f_2)$ ; b -  $M=f(s)$ ; c -  $M=f(\Omega)$ .

Modificarea caracteristicilor mecanice este cu atât mai pronunțată cu cât influența rezistenței statorice este mai importantă, respectiv cu cât reducerea frecvenței este mai mare.

Forma de variație a caracteristicilor mecanice ale mașinii asincrone în funcție de frecvența  $f_1$ , pentru domeniul de funcționare subsincron, la alimentarea cu o tensiune proporțională cu frecvența, scoate în evidență faptul că:

- la scăderea frecvenței  $f_1$ , cuplul de răsturnare al mașinii se micșorează; pînă la frecvența  $f_1 > 1/2 f_{1N}$  modificarea caracteristicilor mecanice nu este mare; pentru frecvențe

$f_1 < f_{1N}/3$  înrăutățirea caracteristicilor mecanice este foarte pronunțată [14], [111] și de aceea se limitează domeniul de modificare al frecvenței, pentru o lege de variație  $U_1/f_1 = ct$ , la  $1/3$  din frecvența nominală;

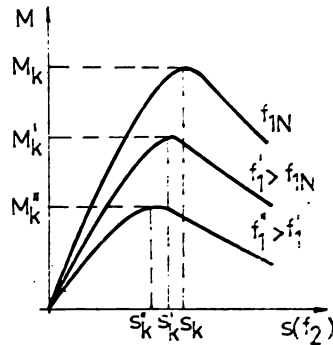
- valoarea alunecării critice scade la scăderea frecvenței  $f_1$ ;

- cuplul de pornire pentru mașinile mici scade mult cu frecvența [84], pe cînd la mașinile mari are tendința de creștere.

Pentru viteze suprasincrone legea de variație  $U_1/f_1 = ct$  nu este corespunzătoare deoarece, chiar în cazul păstrării acestui raport constant, datorită creșterii căderii de tensiune pe reactanțele mașinii, fluxul va scădea, avînd urmări asemănătoare cu funcționarea la frecvențe mici.

Pe de altă parte, creșterea tensiunii peste valoarea nominală nu este admisă din cauza puterii limitate a sursei, a izolației și a regimului termic prin mașină. Acest fapt face ca în acest domeniu, fluxul să scadă invers proporțional cu frecvența ( $U = \text{constant}$ ) caracteristicile mașinii funcție de alunecare (sau  $f_2$ ), arătînd ca cele din fig.2.5.

Fig.2.5  
Caracteristicile mecanice  $M = f(s)$  la  $U_1 = ct$  pentru  $f_1 > f_{1N}$ .



Dacă frecvența statorică devine foarte mare, expresiile cuplului tind să ia forma unor asimptote, definite prin:

$$M_{as} = m_1 p L \mu \left( \frac{U_{1N}}{R_1} \right)^2 \frac{\varphi_2^2 \tau_{2N} \frac{1}{1+\sigma_2}}{\tau_{1N}^2 (1+\sigma_2^2 \varphi_2^2 \tau_{2N}^2)} \quad (2.30)$$

și

$$M_{kas} = \frac{m_1}{2} p L \mu \left( \frac{U_{1N}}{R_1} \right)^2 \frac{1}{6 \tau_{1N}^2 (1+\sigma_2)} \quad (2.31)$$

Raportul  $M_{as}/M_{kas}$  are expresia:

$$\frac{M_{as}}{M_{kas}} = \pm \frac{2}{\sigma \varphi_2^2 \tau_{2N} + \sigma \varphi_2^2 \tau_{2N}} \quad (2.32)$$

relație asemănătoare cu (2.23) în care însă, valoarea frecvenței rotorice raportate este:

$$\varphi_{2mas} = \pm \frac{1}{\sigma \tau_{2N}} \quad (2.33)$$

Această valoare asimptotică a frecvenței rotorice pentru care cuplul este maxim, este aceea care se obține pentru cazurile mașinilor mari la care se poate neglija rezistența statorică ( $R_1 = 0$ ).

Valoarea asimptotică a cuplului de răsturnare fiind o mărime caracteristică a mașinii, atât pentru funcționare în regim de motor, cât și în regim de generator, se va putea alege ca element de referință pentru raportarea cuplului dezvoltat de mașină (în locul cuplului nominal sau a cuplului de răsturnare care variază cu frecvența). Analizarea funcționării mașinii la frecvență variabilă se va putea face deci, raportînd cuplul de răsturnare la valoarea asimptotică:

$$\frac{M_k}{M_{kas}} = \frac{\sigma \varphi_1^2 \tau_{1N}^2}{\sqrt{(1 + \varphi_1^2 \tau_{1N}^2)(1 + \varphi_1^2 \tau_{1N}^2 \sigma^2)} + \varphi_1 \tau_{1N}(1 - \sigma)} \quad (2.34)$$

Valoarea raportului  $M_k/M_{kas}$  arată că acesta depinde de  $\tau_{1N}$ , adică de rezistența statorică, după o relație destul de complicată. Existența unei asimptote corespunde faptului că, pe de-o parte, pentru  $R_1 = 0$ , cuplul maxim are o valoare constantă funcție de frecvență și că, pe de altă parte, dacă frecvența crește, efectul căderii ohmice devine neglijabil față de efectele inductive, care sînt proporționale cu frecvența de alimentare. Într-adevăr domeniul frecvențelor ridicate este puțin interesant din punct de vedere al păstrării constante a raportului  $U_1/f_1$ , deoarece la frecvențe mai mari decît frecvența nominală el este limitat de posibilitățile de creștere a tensiunii. În schimb, este foarte interesant a se urmări funcționarea mașinii sub frecvența nominală.

Așa cum se va arăta și la partea experimentală, legea de variație proporțională a tensiunii statorice cu frecvența, duce la o diminuare a fluxului prin mașină și deci a cuplului la frecvențe mai mici decît cea nominală pentru regimul de motor și o creștere a fluxului și a cuplului în regim de generator (fig.2.4.c).

Creșterea fluxului în regim de generator este un fenomen nedorit, deoarece poate produce o saturație puternică a circuitului mașinii.

Dacă ținem seama de relațiile de legătură între tensiunea electromotoare  $U_{e1}$  și fluxul prin mașină [14],[73]:

$$U_{e1} = K f_1 \dot{\Phi} = I_{\mu} Z_{\mu} \quad (2.35)$$

se poate determina fluxul nominal al mașinii corespunzător alimentării la 50 Hz [14],[86]:

$$\Phi_N = I_{\mu N} L_{\mu} \quad (2.36)$$

Pe baza relației (2.15) pentru  $I_{\mu} = I_{\mu N}$ ,  $\varphi_2 = 0$  rezultă:

$$\Phi_N = L_{\mu} \frac{U_1}{R_1} \frac{1}{1 + \tau_{1N}^2} \quad (2.37)$$

Pentru o alimentare a mașinii la alte frecvențe, fluxul raportat la fluxul nominal  $\Phi_N$  este:

$$\Phi_r = \frac{\Phi}{\Phi_N} = \varphi_1 \frac{\sqrt{\left[ 1 + \varphi_2^2 \tau_{2N}^2 \frac{\sigma_2^2}{(1 + \sigma_2)^2} \right] (1 + \tau_{1N}^2)}}{\sqrt{(1 - \varphi_1 \varphi_2 \tau_{1N} \tau_{2N} \sigma)^2 + (\varphi_1 \tau_{1N} + \varphi_2 \tau_{2N})^2}} \quad (2.38)$$

relație din care rezultă modul de variație al fluxului pentru  $U_1/f_1 = ct.$

Valoarea fluxului raportat corespunzător frecvenței rotorice pentru care se obțin cuplurile de răsturnare în regimul de funcționare ca motor și generator sînt:

$$\Phi_{rk} = \varphi_1 \frac{\sqrt{\left[ 1 + \varphi_2^2 \tau_{1N}^2 \sigma^2 + \frac{\sigma_2^2}{(1 + \sigma_2)^2} (1 + \varphi_1^2 \tau_{1N}^2) \right] (1 + \tau_{1N}^2)}}{\sqrt{2(1 + \varphi_1^2 \tau_{1N}^2 \sigma^2)(1 + \varphi_1^2 \tau_{1N}^2) \pm 2\varphi_1 \tau_{1N} \sqrt{(1 + \varphi_1^2 \tau_{1N}^2 \sigma^2)(1 + \varphi_1^2 \tau_{1N}^2)}}} \quad (2.39)$$

a căror valoare asimptotică este:

$$\Phi_{rkas} = \frac{\sqrt{\left[ \sigma^2 + \left( \frac{\sigma_2}{1 + \sigma_2} \right)^2 \right] (1 + \tau_{1N}^2)}}{\sqrt{2} \sigma \tau_{1N}} \quad (2.40)$$

Relația (2.40) arată că valoarea asimptotică a fluxului nu depinde decît de  $\sigma$ ,  $\sigma_2$  și  $\tau_{1N}$ .

În concluzie, din analiza comportării mașinii asimptotic la o lege de variație  $U_1/f_1 = ct.$  pot fi evidențiate următoarele aspecte:

- comportarea mașinii asincrone și caracteristicile mecanice ce se obțin sînt cîorespunzătoare pentru frecvențe  $f_1 < f_{1N}$  și pentru un domeniu nu prea larg de modificare a frecvenței; aceasta deoarece la valori mici ale frecvenței de alimentare caracteristicile mecanice se înrăutățesc, valoarea cuplului de răsturnare se reduce mult și mașina nu mai asigură capacitatea de suprasarcină necesară [55]; scade în același timp și cuplul de pornire al mașinilor mici;

- la frecvențe  $f_1 > f_{1N}$ , legea  $U_1/f_1 = ct.$  nu poate fi păstrată, deoarece tensiunea nominală a mașinii nu poate fi depășită, în consecință valoarea fluxului scade cu frecvența, se reduce cuplul de răsturnare al mașinii și alunecarea critică;

- mașina se comportă mult diferit în regim de motor și generator.

Avînd în vedere aceste aspecte, rezultă că alimentarea mașinii asincrone de la un convertizor cu o lege de variație  $U_1/f_1 = ct.$  este adecvată la acționarea instalațiilor la care modificarea vitezei se face sub viteza sincronă și la care cuplul rezistent scade odată cu viteza (curba 2 și 3, fig.1.4). Este cazul spre exemplu al acționării ventilatoarelor, pompelor, compresoarelor, calandrelor, generatoarelor de curent continuu cu excitație independentă și sarcină constantă etc.

### 2.3.2. Flux constant prin mașină

Eliminarea dezavantajelor ce apar la funcționarea mașinii asincrone după o lege de variație proporțională a tensiunii cu frecvența statorică se realizează prin menținerea fluxului prin mașină constant [3], [4], [60] etc. Pentru aceasta, tensiunea la bornele mașinii se modifică în așa fel încît în orice regim de funcționare și la orice sarcină fluxul mașinii să rămînă același, cîorespunzător alimentării la tensiune și frecvență nominală avînd valoarea:

$$\phi_N = \frac{U_{e1}}{kF_1} = ct. \quad (2.14)$$

Dacă din relațiile (2.14) și (2.15) se exprimă curentul rotorîc al mașinii asincrone în funcție de curentul de magnetizare și se introduce în (1.5), expresia cuplului devine:

$$M = m_1 p \frac{1 + G_2}{G_2} \frac{1 - G}{\phi_2 \tau_{2N} G_2 + \phi_2 \tau_{2N} G_2} L_1 I_M^2 \quad (2.15)$$

relație din care rezultă dependența cuplului mașinii de curentul de magnetizare și de frecvența rotorîcă  $\phi_2$ .

vă din această relație că indiferent de valoarea frecvenței  $f_1$ , cuplul mașinii este același pentru o valoare constantă a lui  $\varphi_2$ .

Valoarea frecvenței rotorice raportate pentru care se obține cuplul de răsturnare este:

$$\varphi_{2k\dot{\varphi}} = \pm \frac{1}{r_{2N} \sigma_2}, \quad (2.43)$$

iar expresia cuplului de răsturnare corespunzător fluxului nominal:

$$M_{k\dot{\varphi}} = n_1 p \frac{1+\sigma_2}{\sigma_2} \frac{1-\sigma_2}{2} L_1 I_{\mu N}^2 \quad (2.44)$$

Făcînd raportul dintre cuplul mașinii și cel de răsturnare, pentru cazul păstrării constante a fluxului, se obține relația:

$$\frac{M}{M_{k\dot{\varphi}}} = \pm \frac{2}{\frac{\varphi_2}{\varphi_{2k\dot{\varphi}} + \frac{\varphi_{2k\dot{\varphi}}}{\varphi_2}} \left( \frac{I_{\mu}}{I_{\mu N}} \right)^2, \quad (2.45)$$

unde  $I_{\mu N}$  reprezintă curentul de magnetizare la alimentare nominală a mașinii ( $U_1=U_{1N}$ ,  $f_1 = f_{1N}$ ) și funcționare în gol.

Si curentul statoric poate fi exprimat în funcție de frecvența rotorică și curentul de magnetizare  $I_{\mu}$  din relațiile (2.9) și (2.15) [65]:

$$I_1 = I_{\mu} \sqrt{\frac{1 + \varphi_2^2 \frac{r_{2N}^2}{2N}}{1 + \left(\frac{\sigma_2}{1+\sigma_2}\right)^2 \varphi_2^2 \frac{r_{2N}^2}{2N}}} \cong I_{\mu} \sqrt{\frac{1 + \varphi_2^2 \frac{r_{2N}^2}{2N}}{1 + \sigma_2^2 \frac{\varphi_2^2 r_{2N}^2}{2N}}} \quad (2.46)$$

În condițiile nominale de alimentare ale mașinii se obține:

$$I_{1N} = I_{\mu N} \sqrt{\frac{1 + \varphi_2^2 \frac{r_{2N}^2}{2N}}{1 + \sigma_2^2 \frac{\varphi_2^2 r_{2N}^2}{2N}}} \quad (2.47)$$

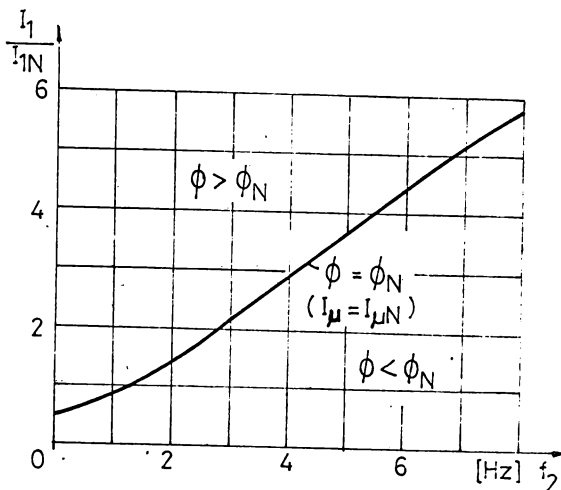
Folosind această valoare a lui  $I_{1N}$  se poate exprima raportul  $I/I_{1N}$  în funcție de flux, curentul de magnetizare și frecvența rotorică sub forma:

$$\frac{I}{I_{1N}} = \frac{I}{I_{\mu N}} \frac{I_{\mu N}}{I_{1N}} \sqrt{\frac{1 + \varphi_2^2 \frac{r_{2N}^2}{2N}}{1 + \sigma_2^2 \frac{\varphi_2^2 r_{2N}^2}{2N}}} = \frac{\varphi}{\varphi_N} \frac{I_{\mu N}}{I_{1N}} \sqrt{\frac{1 + \varphi_2^2 \frac{r_{2N}^2}{2N}}{1 + \sigma_2^2 \frac{\varphi_2^2 r_{2N}^2}{2N}}}$$

Pentru flux constant prin mașina asincronă și egal cu cel nominal, forma de variație a curentului statoric raportat, în funcție de frecvența rotorică  $f_2$  [86], este dată în Fig. 2.5.

Fig.2.6

Variația curentului sta-  
toric în funcție de  
frecvența rotorică la  
flux nominal prin mașină.



La funcționarea mașinii asincrone la flux mai mare decât fluxul nominal, valoarea curentului  $I_1/I_{1N}$  se va situa deasupra curbei din fig.2.6. La un flux prin mașină  $\phi < \phi_N$  curentul raportat, la aceeași valoare a frecvenței  $f_2$ , se va situa sub curba de flux nominal.

Din relația (2.48) se poate deduce valoarea fluxului raportat în funcție de curentul  $I_1$ :

$$\frac{\phi}{\phi_N} = \frac{I_1}{I_{1N}} = \frac{I_{1N}}{I_{\mu N}} \sqrt{\frac{1 + 6_2^2 \varphi_2^2 \tau_{2N}^2}{1 + \varphi_2^2 \tau_{2N}^2}} \quad (2.49)$$

Legea de variație a tensiunii care trebuie aplicată mașinii, pentru ca aceasta să lucreze la flux constant, este dată de relația:

$$\frac{U_1}{U_{1N}} = \frac{I_{\mu}}{I_{\mu N}} \sqrt{\frac{(1 - \varphi_1 \varphi_2 \tau_{1N} \tau_{2N} 6_2)^2 + (\varphi_1 \tau_{1N} + \varphi_2 \tau_{2N})^2}{(1 + \tau_{1N}^2) \left[ 1 + \varphi_2^2 \tau_{2N}^2 \frac{6_2^2}{(1 + 6_2)^2} \right]}} \quad (2.50)$$

Corespunzător acestei legi dacă fluxul se păstrează la valoarea nominală, rezultă o variație a tensiunii funcție de frecvența  $f_1$  de forma celei din fig.2.7.[84].

Așa cum rezultă și din fig.2.7 pentru întreg domeniul de frecvențe inferior celei nominale, valoarea tensiunii de alimentare este superioară celei obținute la  $U_1/f_1 = \text{ct}$ . Valoarea tensiunii de alimentare la diferite frecvențe poate fi determinată prin relații de forma:  $U_1 = a + bf_1$ , unde  $a$  și  $b$  sînt coeficienți constanți ai căror valoare se stabilește pentru

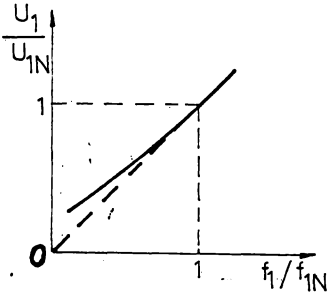


Fig.2.7  
Variația tensiunii cu frecvența pentru flux constant prin mașină.

care tip de mașină. In[84] se remarcă faptul că valoarea tensiunii de alimentare pentru diferite frecvențe depinde și de parametrii electrici ai mașinii.

La alimentarea mașinii astfel încât fluxul să fie constant rezultă o creștere a cuplului de pornire, ceea ce este de cele mai multe ori avantajos.

Caracteristicile mecanice ale mașinii pentru o lege de variație a tensiunii cu frecvența astfel încât fluxul să fie constant, sînt de forma celor prezentate în fig.2.8.

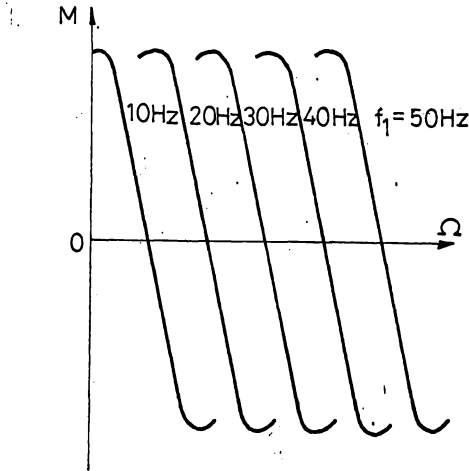


Fig.2.8  
Caracteristicile mecanice  $M = f(\Omega)$  la flux constant.

Alimentarea mașinii asincrone la flux constant, asigură menținerea valorii cuplului de răsturnare și a rigidității caracteristicilor mecanice. Dacă se are în vedere și compensarea căderii de tensiune pe impedanța statorului, valoarea cuplului de răsturnare se mărește față de alimentarea la tensiune și frecvența nominală [111].

Menținerea constantă a cuplului de răsturnare permite asigurarea unei capacități de suprasarcină constantă în selecționările la care cuplul rezistent este constant, indiferent

viteză, cum este cazul aparatelor de ridicat (curba 1, fig.1.2).

### 2.3.3. Curent statoric constant

Există și sisteme de acționare electrică cu mașini asincrone în care este necesară modificarea tensiunii în așa fel încât indiferent de viteză, curentul statoric să se mențină constant [8], [78].

Dacă din relațiile (2.9) și (2.12) se exprimă curentul rotor în funcție de curentul statoric, se obține pentru cuplul mașinii asincrone expresia:

$$M = m_1 p \frac{1 - \sigma}{\frac{1}{\varphi_2^2 \tau_{2N}} + \varphi_2^2 \tau_{2N}} I_1 I_1^2 \quad (2.51)$$

din care rezultă că, la o valoare dată a curentului statoric  $I_1$ , cuplul nu depinde decât de frecvența rotorică  $\varphi_2$ .

Valoarea cuplului de răsturnare se obține pentru alunecarea:

$$\varphi_2 k I_1 = \pm \frac{1}{\tau_{2N}}, \quad (2.52)$$

și are expresia:

$$M_{kI_1} = m_1 p \frac{1 - \sigma}{2} L_1 I_1^2 \quad (2.53)$$

Cuplul dezvoltat de mașina asincronă raportat la cuplul de răsturnare calculat pentru un curent statoric egal cu cel nominal are expresia:

$$\frac{M}{M_{kI_1N}} = \pm \frac{2}{\frac{\varphi_2}{\varphi_2 k I_1} + \frac{\varphi_2 k I_1}{\varphi_2}} \left( \frac{I_1}{I_{1N}} \right)^2 \quad (2.54)$$

Curentul de magnetizare se poate exprima în funcție de curentul  $I_1$  din (2.9) și (2.15) și se obține:

$$I_\mu = I_1 \sqrt{\frac{1 + \frac{\varphi_2^2 \tau_{2N}^2 \sigma^2}{(1 + \sigma)^2}}{1 + \varphi_2^2 \tau_{2N}^2}}, \quad (2.55)$$

relație care permite determinarea fluxului raportat prin mașină:

$$\frac{\phi}{\phi_N} = \frac{I_1}{I_{1N}} \frac{I_{1N}}{I_{1N}} \sqrt{\frac{1 + \frac{\varphi_2^2 \tau_{2N}^2 \sigma^2}{(1 + \sigma)^2}}{1 + \varphi_2^2 \tau_{2N}^2}} \quad (2.56)$$

Rezultă de aici că, prin fixarea curentului statoric și a frecvenței rotorice, valoarea cuplului dezvoltat și a fluxului prin mașină sînt bine determinate, conform relațiilor (2.54) și (2.56).

Legea după care trebuie să varieze tensiunea statorică, funcție de frecvență pentru ca mașina să funcționeze la un curent  $I_1$  constant este:

$$\frac{U_1}{U_{1N}} = \frac{I_1}{I_{1N}} \frac{(1 + \varphi_2^2 \tau_{2N}^2) [(1 - \varphi_1 \varphi_2 \tau_{1N} \tau_{2N} \delta)^2 + (\varphi_1 \tau_{1N} + \varphi_2 \tau_{2N})^2]}{(1 + \varphi_2^2 \tau_{2N}^2) [(1 - \varphi_2 \tau_{1N} \tau_{2N} \delta)^2 + (\tau_{1N} + \varphi_2 \tau_{2N})^2]} \quad (2.57)$$

În cazul alimentării mașinii la o valoare constantă a curentului statoric, din (2.53), rezultă că valoarea cuplului de răsturnare depinde numai de valoarea acestuia și anume de patratul curentului [8]. Fluxul prin mașină este dependent de valoarea curentului  $I_1$  și frecvența  $\varphi_2$ , iar tensiunea la borne depinde de valoarea curentului  $I_1$  și de frecvențele  $\varphi_1$  și  $\varphi_2$ .

Menținerea constantă a curentului prin mașina asincronă indiferent de valoarea vitezei, respectiv a frecvenței, se realizează printr-o modificare a tensiunii conform relației (2.53). Astfel, presupunând curentul prin mașină constant și egal cu cel nominal, valoarea tensiunii ce se aplică mașinii la schimbarea frecvenței variază după o lege diferită de  $U_1/f_1 = \text{ct.}$ , avînd valori superioare acestuia [12].

Valoarea curentului prin mașină se stabilește în funcție de valoarea cuplului necesar, cunoscînd că micșorarea curentului statoric determină micșorarea cuplului dezvoltat de mașină.

#### 2.3.4. Tensiune de alimentare constantă

Alimentarea unei mașini asincrone se poate face și condițiile unei tensiuni la borne constante și a unei frecvențe variabile. Acest mod de alimentare a mașinii asincrone este de interesant pentru frecvențe mai mici decît frecvența nominală, deoarece la tensiune constantă rezultă [59]:

$$U_1 \approx U_{e1} = k f_1 \phi = \text{ct.} \quad (2.58)$$

ceea ce înseamnă că fluxul variază invers proporțional cu frecvența. La reducerea frecvenței fluxul crește și mașina se saturează puternic, funcționarea ei înrăutățindu-se.

Alimentarea mașinii la tensiune constantă și frecvență variabilă este interesantă pentru frecvențe mai mari decît cea nominală, respectiv pentru viteze suprasincrone. În acest caz, creșterea frecvenței și deci micșorarea fluxului are ca consecință fie reducerea cuplului, fie creșterea curentului prin mașină [14], [40]. Menținerea constantă a tensiunii este impusă din considerente de izolație, încălzire și putere

sursei de alimentare [15], [59]. Relația care permite determinarea cuplului mașinii asincrone se obține pornind de la impedanța mașinii asincrone prin introducerea coeficientului de dispersie global și presupunând că frecvența statorică este suficient de mare pentru a putea neglija rezistența statorului față de reactanța sa [86]. Făcând această aproximație și la o frecvență egală cu cea nominală rezultă pentru curentul de funcționare în gol [86]:

$$I_0 \cong \frac{U_1}{\omega_{1N} L_1} \quad (2.59)$$

adică valoarea lui  $I_0$  este proporțională cu valoarea tensiunii de alimentare  $U_1$ . Cuplul dezvoltat de mașina asincronă, introducând pe (2.59) în (2.16) este:

$$M = m_1 p \frac{1-s}{6} \frac{L_1}{\frac{1}{6\varphi_2^2 \tau_{2N}} \left(1 + \frac{1}{\varphi_1^2 \tau_{1N}^2}\right) + 6\varphi_2^2 \tau_{2N} \left(1 + \frac{1}{6^2 \varphi_1^2 \tau_{1N}^2}\right) + 2 \frac{1}{\varphi_1 \tau_{1N}} \frac{1-s}{6} \left(\frac{\tau_{1N}}{\varphi_1}\right)^2} \quad (2.60)$$

Din (2.60) se vede că la micșorarea fluxului (a curentului  $I_0/\varphi_1$ ), cuplul dezvoltat de mașină scade.

La o frecvență statorică dată se obține cuplul de răsturnare pentru o valoare a frecvenței rotorice raportate:

$$\varphi_{2kU} = \pm \frac{1}{\tau_{2N}} \sqrt{\frac{1 + \varphi_1^2 \tau_{1N}^2}{1 + \varphi_1^2 \tau_{1N}^2 6^2}} \quad (2.61)$$

La alimentarea mașinii asincrone la o tensiune egală cu cea nominală, curentul de funcționare în gol este  $I_{0N}$  și relația cuplului de răsturnare devine:

$$M_{kU} = m_1 p \frac{1-s}{26} \frac{L_1 I_{0N}^2}{\pm \frac{1}{\varphi_1^2 \tau_{1N}^2 6} \sqrt{(1 + \varphi_1^2 \tau_{1N}^2)(1 + 6^2 \varphi_1^2 \tau_{1N}^2)} + \frac{1-s}{6} \frac{1}{\varphi_1 \tau_{1N}}} \quad (2.62)$$

Din (2.62) rezultă că valoarea cuplului de răsturnare este dependentă numai de frecvența  $f_1$  și parametrii mașinii. Valoarea cuplului de răsturnare este maximă pentru  $f_1 = f_{1N}$ , situație ce corespunde unei alimentări la flux constant. Pentru orice frecvențe  $f_1 > f_{1N}$ , dacă tensiunea este constantă, cuplul de răsturnare se micșorează (v. fig. 2.5).

Raportând cuplul dezvoltat de motor la cuplul de răsturnare se obține:

$$\frac{M}{M_{kU}} = 2 \frac{1 + (1-\sigma)\varphi_1\tau_{1N} \sqrt{\frac{1}{(1+\varphi_1^2\tau_{1N}^2)(1+\sigma^2\varphi_1^2\tau_{1N}^2)}}}{\frac{\varphi_{2kU}}{\varphi_2} + \frac{\varphi_2}{\varphi_{2kU}} + 2(1-\sigma)\varphi_1\tau_{1N} \sqrt{\frac{1}{(1+\varphi_1^2\tau_{1N}^2)(1+\sigma^2\varphi_1^2\tau_{1N}^2)}}} \cdot \left(\frac{I_0}{I_{oN}}\right)^2 \frac{1}{\varphi_1} \quad (2.63)$$

Pentru mașinile mari, pentru care valoarea rezistenței  $R_1$  poate fi neglijată, adică  $\tau_{1N} \cong \infty$ , expresia (2.63) ia forma [86]:

$$\frac{M}{M_{kU}} = 2 \frac{1}{\frac{\varphi_{2kU}}{\varphi_2} + \frac{\varphi_2}{\varphi_{2kU}}} \left(\frac{U_1}{U_{1N}}\right)^2 \frac{1}{\varphi_1^2} \quad (2.64)$$

în care frecvența rotorică  $\varphi_{2kU}$  are valoarea:

$$\varphi_{2kU} = \pm \frac{1}{\sigma\tau_{2N}} \quad (2.65)$$

Corespunzător acestui caz, valoarea cuplului de răsturnare este:

$$M_{kU}^* = m_1 p \frac{1-\sigma}{\sigma} L_1 I_{oN}^2 \quad (2.66)$$

relație din care rezultă dependența valorii cuplului de răsturnare de coeficientul de dispersie total  $\sigma$ . Obținerea unei valori mari a cuplului de răsturnare necesită mașini cu valori mici ale coeficientului de dispersie  $\sigma$ .

Dacă în (2.9) se înlocuiește valoarea tensiunii  $U_1$  cu valoarea din (2.59) se obține:

$$\begin{aligned} I_1 &= I_0 \frac{\omega_{1N} L_1}{R_1} \sqrt{\frac{1 + \varphi_2^2 \tau_{2N}^2}{(1 - \varphi_1 \varphi_2 \tau_{1N} \tau_{2N} \sigma)^2 + (\varphi_1 \tau_{1N} + \varphi_2 \tau_{2N})^2}} = \\ &= \frac{I_0}{\varphi_1} \sqrt{\frac{1 + \varphi_2^2 \tau_{2N}^2}{\frac{1}{\varphi_1 \tau_{1N}} - \varphi_2 \tau_{2N} \sigma)^2 + (1 + \frac{\varphi_2 \tau_{2N}}{\varphi_1 \tau_{1N}})^2}} \quad (2.67) \end{aligned}$$

La alimentarea mașinii cu tensiune nominală și la frecvențe statorică și rotorică nominale (2.67) devine:

$$I_{1N} = I_{oN} \sqrt{\frac{1 + \varphi_2^2 \tau_{2N}^2}{\left(\frac{1}{\tau_{1N}} - \varphi_2 \tau_{2N}\right)^2 + \left(1 + \frac{\varphi_2 \tau_{2N}}{\tau_{1N}}\right)^2}} \quad (2.68)$$

Făcînd raportul dintre curentul  $I_1$  prin mașină la alimentarea ei la tensiunea  $U_1$ , frecvența  $\varphi_1$  și curentul nominal

$I_{1N}$ , ținând seama de (2.9), (2.67) și (2.67') rezultă:

$$\frac{I_1}{I_{1N}} = \frac{U_1}{U_{1N}} \cdot \frac{I_{oN}}{I_{1N}} \cdot \frac{1}{\varphi_1} \sqrt{\frac{1 + \varphi_2^2 \tau_{2N}^2}{\left(\frac{1}{\varphi_1 \tau_{1N}} - \varphi_2 \tau_{2N} \sigma\right)^2 + \left(1 + \frac{\varphi_2 \tau_{2N}}{\varphi_1 \tau_{1N}}\right)^2}} \quad (2.68)$$

Această relație permite calculul valorii curentului statoric raportat, funcție de valoarea tensiunii de alimentare și variația frecvenței primare.

Valoarea curentului rotoric și a curentului de magnetizare, rezultă din (2.9), (2.12) și (2.15):

$$I_2' = I_1 \frac{1}{1 + \sigma_2} \frac{\varphi_2 \tau_{2N}}{\sqrt{1 + \varphi_2^2 \tau_{2N}^2}} \quad (2.69)$$

respectiv:

$$I_\mu = I_1 \sqrt{\frac{1 + \varphi_2^2 \tau_{2N}^2 \frac{\sigma_2^2}{(1 + \sigma_2)^2}}{1 + \varphi_2^2 \tau_{2N}^2}} \quad (2.70)$$

Fluxul statoric al mașinii se poate exprima funcție de același curent  $I_1$  sub forma:

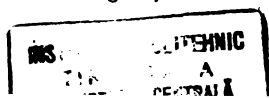
$$\Phi_1 = L_1 I_\mu = L_1 I_1 \sqrt{\frac{1 + \varphi_2^2 \tau_{2N}^2 \frac{\sigma_2^2}{(1 + \sigma_2)^2}}{1 + \varphi_2^2 \tau_{2N}^2}} \quad (2.71)$$

iar fluxul comun:

$$\Phi = L_\mu I_\mu = L_\mu I_1 \sqrt{\frac{1 + \varphi_2^2 \tau_{2N}^2 \frac{\sigma_2^2}{(1 + \sigma_2)^2}}{1 + \varphi_2^2 \tau_{2N}^2}} \quad (2.72)$$

Relațiile (2.60), (2.62) și (2.63) prin care se exprimă cuplurile mașinii asincrone arată că la creșterea frecvenței  $f_1$  și menținerea constantă a tensiunii de alimentare  $U_1$ , valoarea cuplului dezvoltat de mașină și a cuplului de răsturnare se micșorează. Pe de altă parte relațiile (2.69) + (2.72) permit determinarea curentilor prin mașină și a fluxurilor mașinii la modificarea frecvenței primare.

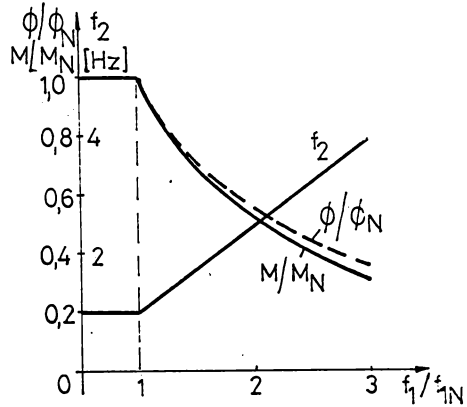
Acționarea electrică cu mașini asincrone alimentate de la convertizoare a căror tensiune este constantă, iar frecvența variabilă ( $f_1 > f_{1N}$ ), se recomandă la acele instalații la care cuplul rezistent scade cu creșterea vitezei (curba 4, fig. 1.4). Este cazul spre exemplu al acționării strungurilor, al tamburilor de înfășurat cabluri, bandă și tablă de oțel, hirtie etc.



Forma de variație a fluxului prin mașină, a cuplului și frecvenței rotorice funcție de frecvența  $f_1$  este dată în fig.2.9 [86].

Fig.2.9

Curbele de variație flux, cuplu și frecvență rotorică la  $U_1 = \text{ct.}$  și  $f_1$  variabil ( $f_1 > f_{1N}$ ).



### 2.3.5. Putere constantă

Dacă mașina asincronă este alimentată la tensiune constantă se poate considera în primă aproximație că, menținând curentul statoric constant, mașina funcționează la putere constantă.

În principiu însă mașina asincronă poate funcționa la putere constantă și frecvență variabilă, modificând în mod corespunzător valoarea tensiunii și a sarcinii mașinii. Stabilirea relației de legătură între puterea mașinii, curentul, tensiunea și frecvența de alimentare se face pornind de la valoarea cuplului din (1.5).

Puterea mașinii funcție de cuplul dezvoltat  $M$ , viteza unghiulară  $\Omega$  și frecvențele raportate  $\varphi_1$  și  $\varphi_2$  este:

$$P = M \Omega = m_1 p \frac{R_2'}{s} I_2'^2 \Omega = m_1 p R_2' I_2'^2 \Omega_1 \frac{\varphi_1 - \varphi_2}{\varphi_2} \quad (2.7)$$

Puterea nominală corespunzătoare funcționării la frecvența  $f_{1N}$ , curentul  $I_{2N}'$  și viteza  $\Omega_N$  rezultă:

$$P_N = M_N \Omega_N = m_1 p \frac{R_2'}{s} I_{2N}'^2 \Omega_N = m_1 p R_2' I_{2N}'^2 \Omega_1 \frac{1 - \varphi_{2N}}{\varphi_{2N}} \quad (2.8)$$

Dacă se face raportul  $P/P_N$  se obține:

$$\frac{P}{P_N} = \frac{\varphi_1 - \varphi_2}{1 - \varphi_{2N}} \cdot \frac{\varphi_{2N}}{\varphi_2} \left( \frac{I_2'}{I_{2N}'} \right)^2 \quad (2.9)$$

Dacă din (2.12) și (2.14) se exprimă raportul  $I_2'/I_{2N}'$  care intervine în (2.75), în funcție de  $I_1/I_{1N}$  rezultă:

$$\frac{I_2'}{I_{2N}'} = \frac{I_1}{I_{1N}} \frac{\varphi_2 \sqrt{1 + \varphi_2^2 \tau_{2N}^2}}{\varphi_{2N} \sqrt{1 + \varphi_2^2 \tau_{2N}^2}} \quad (2.76)$$

Introducând pe (2.76) în (2.75) raportul puterilor se scrie sub forma:

$$\frac{P}{P_N} = \frac{\varphi_1 - \varphi_2}{1 - \varphi_{2N}} \cdot \frac{\varphi_2}{\varphi_{2N}} \cdot \frac{1 + \varphi_2^2 \tau_{2N}^2}{1 + \varphi_2^2 \tau_{2N}^2} \cdot \left(\frac{I_1}{I_{1N}}\right)^2 \quad (2.77)$$

În cazul mașinilor mari și la frecvențe de alimentare ridicate rezistența statorului  $R_1$  poate fi neglijată față de reactanța mașinii. Pentru aceste cazuri, introducând pe (2.68) în (2.77) rezultă legea de variație a tensiunii, funcție de putere, curentul statoric și frecvențele raportate  $\varphi_1$  și  $\varphi_2$  sub forma:

$$\frac{U_1}{U_{1N}} = \frac{I_{1N}}{I_{oN}} \sqrt{\frac{P}{P_N}} \varphi_1 \sqrt{\frac{\varphi_{2N} \frac{1 - \varphi_{2N}}{\varphi_2 \cdot \varphi_1 - \varphi_2} \cdot \left(\frac{1}{\varphi_1 \tau_{1N}} - \varphi_2 \tau_{2N}\right)^2 + \left(1 + \frac{\varphi_2^2 \tau_{2N}^2}{\varphi_1 \tau_{1N}}\right)^2}{1 + \varphi_2^2 \tau_{2N}^2}} \quad (2.78)$$

Relația (2.78) permite determinarea valorii tensiunii de alimentare a mașinii asincrone la modificarea frecvenței  $f_1$ , astfel încât, la o sarcină dată, puterea mașinii să rămână constantă și egală cu valoarea impusă.

În anumite cazuri de acționare [19] raportul puterilor poate fi aproximat prin expresia:

$$\frac{P}{P_N} \approx \left(\frac{U_1}{U_{1N}}\right)^2 \cdot \frac{f_1}{f_{1N}} \quad (2.79)$$

Pentru aceste situații relația de legătură între tensiune, putere și frecvență este:

$$\frac{U_1}{U_{1N}} = \sqrt{\frac{P}{P_N} \cdot \frac{f_{1N}}{f_1}} \quad (2.80)$$

relație din care se poate calcula valoarea tensiunii corespunzătoare unei anumite puteri a mașinii asincrone și unei anumite frecvențe  $f_1$ , respectiv viteze de acționare.

Se recomandă folosirea mașinilor asincrone alimentate cu tensiune care să varieze conform relației (2.78) la acționarea instalațiilor al căror cuplu rezistent scade cu creșterea vitezei (curba 4, fig.1.4), cum este cazul străgurilor, tamburilor de înfășurat etc.

### 2.3.6. Capacitate de suprasarcină constantă

Există situații în care se cere mașinii de acționare să-și păstreze capacitatea de suprasarcină indiferent de viteza de acționare. Păstrarea capacității de suprasarcină presupune un raport constant între cuplul de răsturnare și cuplul dezvoltat de mașină la funcționarea staționară, corespunzător diferitelor cerințe ale procesului tehnologic de producție adică:

$$\frac{M_k}{M_{kN}} = \frac{M}{M_N} = \frac{M_R}{M_{RN}} \quad (2.81)$$

unde  $M_R$  și  $M_{RN}$  reprezintă cuplurile rezistențe ale instalației acționate la o viteză oarecare și la viteza corespunzătoare unei alimentări la frecvența nominală  $\Omega_N$ .

Valoarea cuplului de răsturnare la alimentarea mașinii cu tensiune și frecvență nominală, conform relației (2.21) este:

$$M_{kN} = \frac{m_1}{2} p \left( \frac{U_{1N}}{R_1} \right)^2 \frac{(1-\sigma) L_1}{\sqrt{(1+\tau_{1N}^2)(1+\sigma^2\tau_{2N}^2)} + (1-\sigma)\tau_{1N}} \quad (2.82)$$

Pentru alimentarea la alte valori ale tensiunii și frecvenței cuplul de răsturnare are expresia:

$$M_k = \frac{m_1}{2} p \left( \frac{U_1}{R_1} \right)^2 \frac{(1-\sigma) L_1}{\sqrt{(1+\varphi_1^2\tau_{1N}^2)(1+\sigma^2\varphi_1^2\tau_{1N}^2)} + (1-\sigma)\varphi_1\tau_{1N}} \quad (2.83)$$

Făcînd raportul cuplurilor de răsturnare rezultă:

$$\frac{M_k}{M_{kN}} = \left( \frac{U_1}{U_{1N}} \right)^2 \frac{\sqrt{(1+\tau_{1N}^2)(1+\sigma^2\tau_{1N}^2)} + (1-\sigma)\tau_{1N}}{\sqrt{(1+\varphi_1^2\tau_{1N}^2)(1+\sigma^2\varphi_1^2\tau_{1N}^2)} + (1-\sigma)\varphi_1\tau_{1N}} \quad (2.84)$$

Din (2.84) se obține legea de variație a tensiunii de alimentare a mașinii pentru păstrarea constantă a capacității de suprasarcină:

$$\begin{aligned} \frac{U_1}{U_{1N}} &= \sqrt{\frac{M_k}{M_{kN}}} \sqrt{\frac{\sqrt{(1+\varphi_1^2\tau_{1N}^2)(1+\sigma^2\varphi_1^2\tau_{1N}^2)} + (1-\sigma)\varphi_1\tau_{1N}}{\sqrt{(1+\tau_{1N}^2)(1+\sigma^2\tau_{1N}^2)} + (1-\sigma)\tau_{1N}}} \\ &= \sqrt{\frac{M_R}{M_{RN}}} \sqrt{\frac{\sqrt{(1+\varphi_1^2\tau_{1N}^2)(1+\sigma^2\varphi_1^2\tau_{1N}^2)} + (1-\sigma)\varphi_1\tau_{1N}}{\sqrt{(1+\tau_{1N}^2)(1+\sigma^2\tau_{1N}^2)} + (1-\sigma)\tau_{1N}}} \end{aligned}$$

Din analiza relației (2.85) rezultă că valoarea tensiunii de alimentare este dependentă atât de valoarea frecvenței de alimentare cît și de modul de variație al cuplului răsturnat cu viteza.

Pentru cazul cînd se poate neglija valoarea rezistenței statorice  $R_1$ , relația (2.85) devine [59], [60], [74], [108]:

$$\frac{U_1}{U_{1N}} = \sqrt{\frac{M_R}{M_{RN}}} \varphi_1 = \frac{f_1}{f_{1N}} \sqrt{\frac{M_R}{M_{RN}}} \quad (2.86)$$

Corespunzător acestei legi de variație a tensiunii în [15] sînt prezentate relațiile de legătură între valoarea tensiunii și frecvenței sursei de alimentare pentru diferite moduri de variație ale cuplului rezistent cu viteza.

Cercetările efectuate privind factorul de putere și randamentul mașinii [59] au scos în evidență faptul că, la modificarea tensiunii de alimentare funcție de frecvență, conform relației (2.86), valoarea lor este constantă, indiferent de viteza de funcționare.

Păstrarea constantă a capacității de suprasarcină este necesară în cazul acționării instalațiilor cu șocuri mari de sarcină, a căror valoare este independentă de viteză.

#### 2.4. Concluzii

Din cele prezentate în acest capitol se constată că mașina asincronă se comportă diferit la modificarea parametrilor sursei de alimentare - tensiune și frecvență. Alegerea unei anumite legi de variație între tensiunea și frecvența sursei de alimentare permite obținerea de caracteristici mecanice adecvate cerințelor impuse de mașinile de lucru, atât în domeniul vitezelor suprasincrone, cît și în cel al vitezelor subsincrone.

Se remarcă în acest fel că, în domeniul suprasincron, unde în general tensiunea de alimentare este constantă, cuplul mașinii asincrone se micșorează la creșterea frecvenței, datorită micșorării fluxului; funcționarea mașinii se poate face la putere constantă, curent statoric impus sau la capacitate de suprasarcină constantă.

În domeniul subsincron, comportarea mașinii asincrone este corespunzătoare, adică caracteristicile mecanice sînt convenabile la o lege de variație a tensiunii cu frecvența  $U_1/f_1 = \text{ct.}$  pentru  $f_1 > 1/2 f_{1N}$ , la flux constant prin mașină, curent constant sau capacitate de suprașarcină constantă. Este domeniul cel mai interesant de funcționare al mașinii asincrone și cel mai des utilizat. Alegerea legii de variație tensiune-frecvență trebuie să țină seama de forma de variație a sarcinii mașinii de lucru cu viteza și de încălzirea mașinii asincrone.

Fixarea parametrilor la care funcționează mașina asincronă - putere, cuplu și curent - trebuie să se facă în corelare cu valorile lor la alimentarea cu tensiune și frecvență nominală.

Analiza comportării mașinii asincrone în diferite situații de alimentare demonstrează necesitatea construirii unor convertizoare de tensiune și frecvență care să permită o comandă relativ simplă și sigură a amplitudinii tensiunii de ieșire și a frecvenței funcție de necesitățile procesului tehnologic de producție.

Studiul funcționării mașinilor asincrone la diferite legi de variație ale tensiunii cu frecvența este utilă în vederea alegerii corecte a soluției de acționare a diferitelor tipuri de instalații industriale. Relațiile de calcul stabilite pot fi folosite pentru fixarea modului de variație a mărimilor mașinii asincrone - tensiune și frecvență - astfel încât caracteristicile mecanice să corespundă cerințelor impuse de procesul tehnologic de producție. Datorită formei relativ complicate de variație a tensiunii funcție de frecvența de alimentare, de multe ori în practică se introduc ipoteze simplificatoare pe baza cărora rezultă legi mai simple.

### 3. SCHEME DE PRINCIPIU TIPICE DE CONVERTIZOARE STATICE DESTINATE ALIMENTARII MASINILOR ASINCRONE

#### 3.1. Noțiuni introductive

Modificarea vitezei mașinilor asincrone folosite în acționările cu viteză variabilă necesită, așa cum s-a văzut la pct.1.3, alimentarea acestora prin dispozitive sau instalații speciale prin care parametrii energiei electrice - tensiune, curent, frecvență - să poată fi modificați. Dispozitivele și instalațiile prin care se pot modifica parametrii energiei electrice amintiți sînt cunoscute sub denumirea de mutatoare rotative și mutatoare statice.

Avantajele mari pe care le oferă mutatoarele statice față de cele rotative - lipsa pieselor în mișcare, modificarea în limite largi a parametrilor de ieșire, gabarit redus, funcționare sigură, cheltuieli de întreținere mici etc. - au determinat dezvoltarea construcției și utilizarea tot mai frecventă a acestora în sistemele de acționare cu viteză variabilă.

Mutatoarele statice transformă parametrii energiei electrice prin intermediul unor dispozitive care permit trecerea curentului într-un singur sens astfel, încît tensiunea, respectiv curentul de ieșire să aibă o variație prescrisă în raport cu timpul [79].

Din categoria mutatoarelor fac parte redresoarele, și convertizoarele, vertoarele <sup>cu care</sup> ale căror scheme de principiu sînt reprezentate în fig.3.1.

Redresoarele sînt dispozitive care transformă energia electrică de curent alternativ în energie de curent continuu [79],[114], fiind folosite pentru alimentarea mașinilor sau altor receptoare de curent continuu (fig.3.1.a).

Inversoarele sînt dispozitive care transformă energia electrică de curent continuu în energie de curent alternativ (fig.3.1.b).

Convertizoarele statice reprezintă dispozitive prin care se transformă energia electrică de curent alternativ în

o anumită tensiune, frecvență și număr de faze în energie de curent alternativ de o altă tensiune, frecvență sau număr de faze [79](fig.3.1.c). Această transformare a energiei alternative se poate realiza și prin unirea unui redresor cu un invertor la bornele de curent continuu. Funcționarea mutatorului rezultat nu trebuie separată în regim de redresor și invertor, ci trebuie considerată ca o unitate, regim în care și la intrare și la ieșire energia electrică este alternativă dar cu alți parametrii.

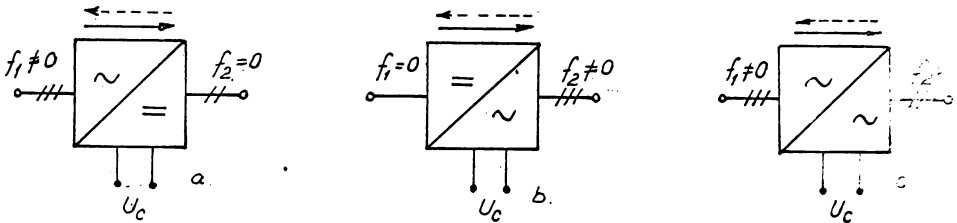


Fig.3.1

Explicativă privind regimul de funcționare al mutatoarelor: a - regim de redresor; b - regim de invertor; c - regim de convertizor static; —sensul fluxului pentru funcționare ca motor a mașinii alimentate; ---sensul fluxului pentru funcționare ca generator a mașinii alimentate.

Valoarea parametrilor energiei electrice a mutatoarelor poate fi modificată prin sisteme de comandă care, în fig. 3.1, sînt reprezentate simbolic prin tensiunea de comandă  $U_c$ .

Dat fiind faptul că mașinile electrice pot funcționa atât în regim de motor cît și în regim de generator, înseamnă că sensul fluxului de energie prin mutator se schimbă și acesta funcționează în regim de redresor sau invertor, funcție de regimul mașinii.

În tehnica convertizoarelor statice curentul continuu poate fi considerat ca un curent alternativ cu frecvența zero. Această valoare particulară a frecvenței reprezintă un punct al axei infinite de frecvențe posibile, fapt pentru care orice mutator poate fi considerat ca un convertizor static.

Tipurile constructive de convertizoare statice sînt foarte numeroase. Ele se pot clasifica după mai multe criterii, principale fiind: felul de comutație și de comandă, parametrii energiei la ieșirea din convertizor, domeniul de utilizare, modul de modificare a tensiunii funcție de necesități.

ță etc. [14], [39], [78], [79], [109].

Convertizoarele statice destinate alimentării mașinilor asincrone din sistemele de acționare cu viteză variabilă trebuie să aibă anumite proprietăți, respectiv, să îndeplinească anumite condiții, determinate de procesul tehnologic de producție. Principalele condiții de care trebuie să se țină seama la construcția convertizoarelor statice și alegerea soluției de acționare sînt [15], [54], [100]:

- să permită modificarea frecvenței în mod continuu și în limite largi;

- funcționarea lor să fie sigură și la frecvențe joase pentru a permite o pornire lină;

- modificarea tensiunii de ieșire să se facă astfel încît caracteristicile mecanice obținute cu mașina asincronă să corespundă procesului tehnologic de producție;

- să fie posibilă modificarea rapidă a frecvenței și a tensiunii de ieșire pentru o funcționare corespunzătoare a mașinii în regim dinamic;

- să permită schimbarea sensului fluxului de energie electrică, funcție de regimul de funcționare al mașinii electrice;

- conținutul în armonici al tensiunii și curentului de ieșire să fie cît mai redus, pentru ca pierderile suplimentare și cuplurile parazite datorită acestor armonici să fie mici;

- randamentul convertizorului să fie mare;

- prețul de cost să fie redus;

- fiabilitatea convertizorului să fie mare.

Există multe instalații industriale care folosesc sisteme de acționare cu mașini asincrone cu viteză variabilă alimentate prin convertizoare statice [3], [30], [70], [111], [112], [114], etc.

Performanțele acestor instalații pot fi încă mult îmbunătățite și de aceea preocupările cercetătorilor și firmelor constructoare sînt îndreptate în această direcție.

Așa cum s-a văzut și în cap.2 asigurarea unor parametri tehnici ai sistemelor de acționare cu mașini asincrone, impuși de procesul tehnologic de producție, necesită modificarea valorii tensiunii funcție de frecvența de alimentare. Aceasta face ca sistemele de comandă ale convertizorului

tice să fie relativ complicate.

În vederea alegerii corecte a sistemului de acționare, care să satisfacă cât mai multe din condițiile enumerate mai înainte, este absolut necesar a se face o clasificare și sistematizare a materialului referitor la tipurile constructive de convertizoare și performanțele lor. În acest sens în continuare se vor prezenta schemele de principiu ale citorva tipuri reprezentative de convertizoare statice destinate alimentării mașinilor asincrone, avându-se în vedere în același timp forma tensiunii de ieșire, posibilitățile de modificare ale tensiunii în funcție de frecvență, domeniul de modificare al vitezei, cerințele impuse de mașinile de lucru acționate etc.

### 3.2. Convertizoare statice pentru modificarea vitezei mașinilor asincrone cu inele

Viteza mașinilor asincrone cu inele poate fi modificată, în afara metodelor care sînt specifice tuturor mașinilor asincrone și prin modificări în circuitul rotoric, și anume prin introducerea unei tensiuni suplimentare (§ 1.3.4).

Această metodă de modificare a vitezei mașinilor asincrone se recomandă la sistemele de acționare de putere mare în domeniul redus de modificare a vitezei și cu durate mari de funcționare pe caracteristicile mecanice artificiale [14]. Montajul mașinilor și ale elementelor care formează aceste sisteme de acționare sînt cunoscute sub denumirea de cascade. În principiu legarea în cascadă constă în cuplarea în rotorul mașinii asincrone a unei alte mașini, a unor dispozitive statice și mașini electrice sau numai a unor dispozitive statice de tip convertizoarelor. Modificarea vitezei mașinii asincrone prin această metodă rezultă ca urmare a modificării puterii de alunecare.

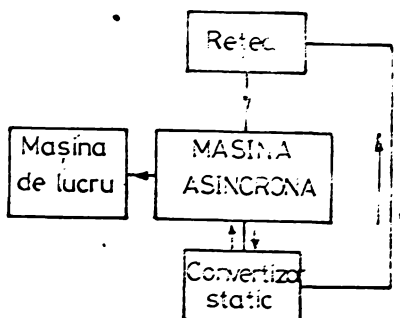
Tensiunea suplimentară de alimentare a înfășurării rotorice se poate obține, după cum se știe și prin conectarea în cascadă a convertizoarelor statice. Schema bloc a cascadei cu convertizoare statice pentru funcționarea mașinii asincrone la viteze subsincrone și suprasincrone este dată în fig. 1.13.

Forma caracteristicilor mecanice ale mașinii asincrone (fig. 1.14) depinde printre altele de felul de variație al tensiunii de ieșire a convertizorului în funcție de sarcina mașinii.

După cum rezultă și din relația (1.35) mașina asincronă are diferite viteze de funcționare în gol, determinate de valoarea tensiunii suplimentare  $U'_{es}$ .

Fig.3.2

Schema bloc a cascadei cu convertizor static:  
 —sensul fluxului de energie pentru regim subsincron; ---sensul fluxului de energie pentru regim suprasincron.



### 3.2.1. Convertizoare statice în cascadă subsincronă

Sistemele cele mai simple de legare în cascadă subsincronă a mașinii asincrone cu recuperarea energiei de alunecare prin convertizoare statice sînt reprezentate în fig.3.3 și fig.3.4.

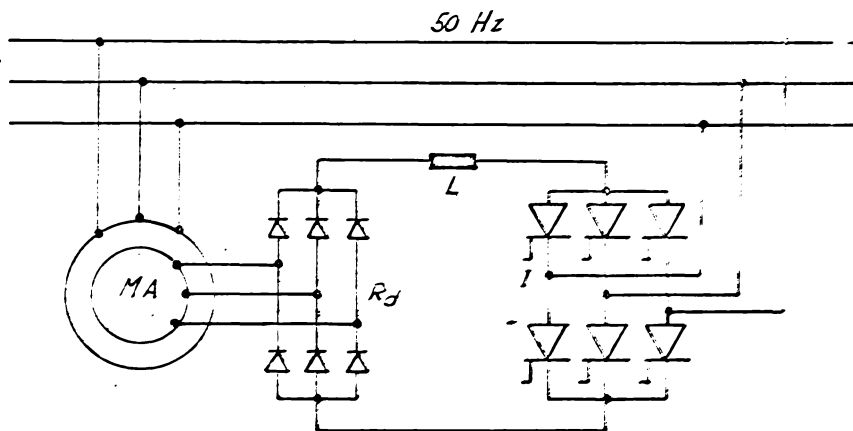
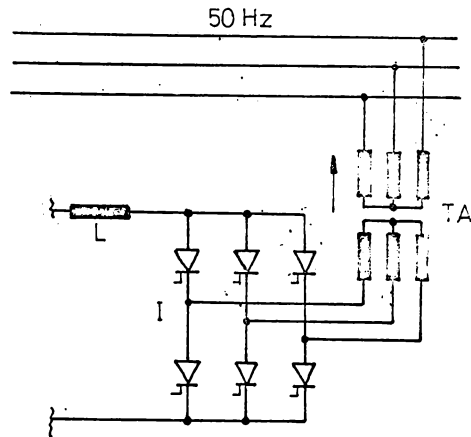


Fig.3.3

Cascada subsincronă fără transformator de adaptare.

Principiul de funcționare al acestor montaje este identic cu cel al unei cascade Krämer clasice [14],[15]. Convertizorul static cuprinde redresorul recomandat în [14] și înelul mașinii asincrone, circuitul de curent continuu cu bobina de netezire L și invertorul I cu comutație naturală legat direct la rețeaua industrială (fig.3.3), sau prin intermediul transformatorului de adaptare T.A. (fig.3.4).

Fig.3.4  
Cascadă subsincronă  
cu transformator de  
adaptare,



Puterea  $P_{cl}$ , pentru care se dimensionează convertizorul este egală cu puterea de alunecare  $P_s$ , din care se scad pierderile  $p_2$  în înfășurarea rotorică a mașinii:

$$P_{cl} = P_s - p_2 \quad (3.1)$$

și

$$P_s = s P_e \quad (3.2)$$

unde  $P_e$  este puterea electromagnetică a mașinii asincrone.

După cum rezultă din (3.1) și (3.2) puterea convertizorului depinde direct de gama de modificare a vitezei, lucru foarte important mai ales în cazul instalațiilor de putere mare.

Inconvenientul acestei scheme constă în faptul că dimensionarea riguroasă a convertizorului din punct de vedere al puterii, pentru domeniu redus de modificare a vitezei nu permite pornirea instalației. Pornirea se face în aceste cazuri prin introducerea de rezistențe în circuitul rotoric.

Puterea reactivă suplimentară consumată de invertor este și ea proporțională cu domeniul în care se face modificarea vitezei.

Transformatorul de adaptare din circuitul de recuperare (fig.3.4), permite funcționarea instalației și la sarcini și viteze mici, fără o suplimentare a puterii instalate.

Instalații de acționare cu modificare a vitezei cu scheme de convertizoare în cascadă subsincronă sînt construite în mod curent și nu prezintă dificultăți [42], [112], [114].

Convertizoarele de acest tip au avantajul unui număr relativ redus de elemente semiconductoare și caracteristicile mecanice artificiale sînt corespunzătoare din punct de vedere al formei lor.

### 3.2.2. Convertizoare statice în cascadă suprasincronă

În principiu cascada suprasincronă nu se deosebește de cea subsincronă decât prin sensul de circulație al puterii. La cascada suprasincronă, convertizorul primește energie electrică de la rețea și o cedează mașinii asincrone prin intermediul inelelor de contact. Convertizorul cuprinde și în acest caz un redresor necomandat  $R_d$ , legat la rețeaua de alimentare, un circuit de curent continuu cu o bobină de netezire  $L$  și un invertor  $I$ , prin care se alimentează rotorul mașinii asincrone (fig.3.5).

Puterea electrică absorbită de convertizor de la rețeaua de alimentare  $P_{c2}$ , acoperă pierderile în convertizor  $p_c$ , iar restul este cedat rotorului. Din puterea cedată rotorului o parte  $p_2$ , acoperă pierderile în rotor, iar o altă parte  $P_s$  - puterea de alunecare - servește la modificarea vitezei.

$$P_{c2} = P_c + p_c = P_s + p_c + p_2 \quad (3.10)$$

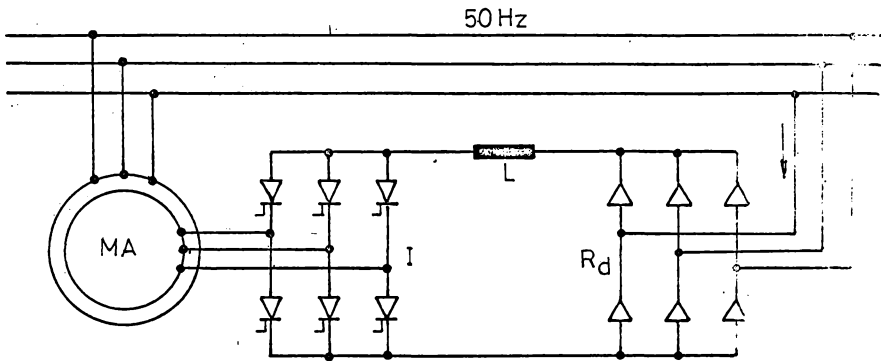


Fig.3.5

Schema cascadei suprasincrone.

Modificarea vitezei instalației de acționare se face de obicei prin modificarea valorii tensiunii circuitului de curent continuu și obținerea în acest fel a unei tensiuni de ieșire variabile, care se introduce în rotor.

Pentru cazul general de acționare în cascadă cu elemente statice, când este necesar modificarea vitezei atât în domeniul subsincron cât și în cel suprasincron, se utilizează scheme de tipul celei din fig.3.6.

Schema cuprinde un redresor și un invertor, ambii mandate, al căror regim de funcționare poate fi inversat, în funcție de sensul de modificare al vitezei. Se folosesc în astfel de scheme convertizoare cu comutație forțată sau semiforțată.

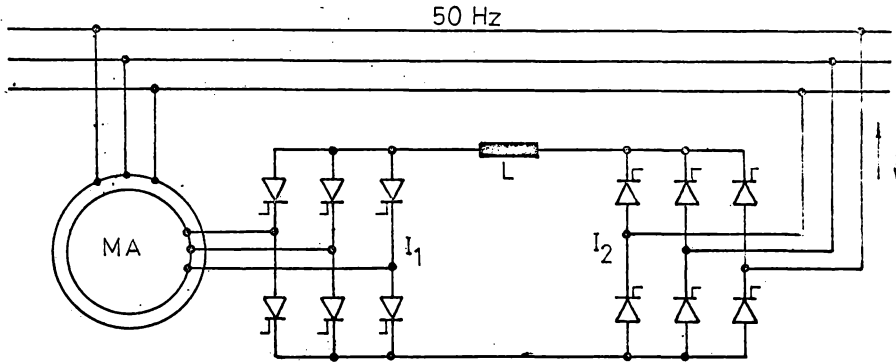


Fig.3.6

Cascadă cu convertizor static cu modificare a vitezei în domeniul subsincron și suprasincron.

În practică nu se utilizează decât cascada subsincronă cu gamă de modificare de maximum 50 % din viteza sincronă  $\Omega_1$ , pentru acționarea pompelor, compresoarelor sau a cuptoarelor rotative din industria cimentului, cu puteri pînă la cîțiva MW [85],[114]. Mărirea domeniului de modificare a vitezei peste 50 % prin convertizoare în cascadă nu este economică, recomandîndu-se în astfel de cazuri convertizoare statice de tensiune și frecvență pentru alimentarea statorului mașinilor asincrone.

### 3.3. Convertizoare statice pentru modificarea vitezei mașinilor asincrone cu rotorul în colivie

Alimentarea înfășurării statorice a mașinilor asincrone prin convertizoare statice, prin care se schimbă parametrul energiei electrice, permite modificarea vitezei în limitele atât a mașinilor asincrone cu rotorul în colivie, cît și a mașinilor asincrone cu inele. Parametrii energiei electrice care se modifică prin aceste convertizoare statice sînt frecvența și tensiunea de alimentare (v. § 1.3). Modificarea celor două mărimi, frecvență și tensiune se poate face dependent sau independent una de alta.

Comportarea mașinii asincrone și caracteristicile mecanice ce se pot obține în funcție de legea de variație a tensiune-frecvență a fost prezentată în Cap.2.

Convertizoarele statice de tensiune și frecvență folosite la alimentarea mașinilor asincrone se pot clasifica

în [15],[83],[114]:

- convertizoare directe;
- convertizoare indirecte;

Convertizoarele statice din prima grupă transformă direct energia electrică de curent alternativ în energie de curent alternativ cu alți parametrii.

Convertizoarele din a doua grupă fac această transformare indirect, adică prin intermediul curentului continuu, convertizorul cuprinzând un redresor, un circuit de curent continuu de tensiune constantă sau variabilă și un inverter. În această grupă se încadrează și convertizoarele pentru montajele în cascadă prezentate la § 3.2.

### 3.3.1. Convertizoare statice directe

Convertizoarele directe numite și convertizoare cu comutație ciclică, cu comutație naturală sau cu comutație prin rețea, sînt destinate alimentării mașinilor asincrone funcționînd la viteze mici. Principiul de funcționare al convertizoarelor directe constă în a modula la joasă frecvență tensiunea de ieșire a unui montaj de obicei de tip antiparalel.

Montajul cel mai simplu pe baza căruia se poate explica funcționarea convertizorului direct este redat în fig.3.7,

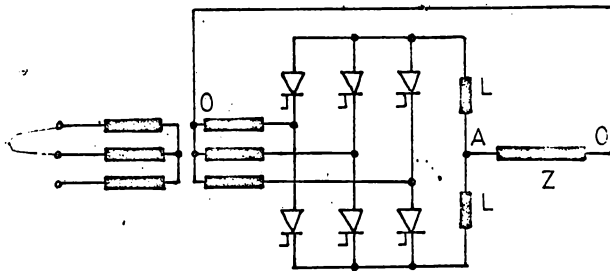


Fig.3.7

Convertizor monofazat cu 3 pulsuri.

Schema din figura 3.7 corespunde unui mutator rotativ [83], frecvența de ieșire fiind inferioară frecvenței rețelei de alimentare a mutatorului. Convertizoarele directe astfel comandate încît să alimenteze sarcina cu un curent mai apropiat de o sinusoidă.

Forma tensiunii și a curentului prin sarcină conectată la bornele convertizorului depind de numărul de pulsuri, caracterul sarcinii și unghiul de comandă.

Pentru un convertizor monofazat cu trei pulsuri (fig.3.6), în cazul unei sarcini formate dintr-o rezistență și o inductivitate și pentru un raport al frecvențelor de 1:5, în fig.3.8 s-a reprezentat forma tensiunii de ieșire și a curentului.

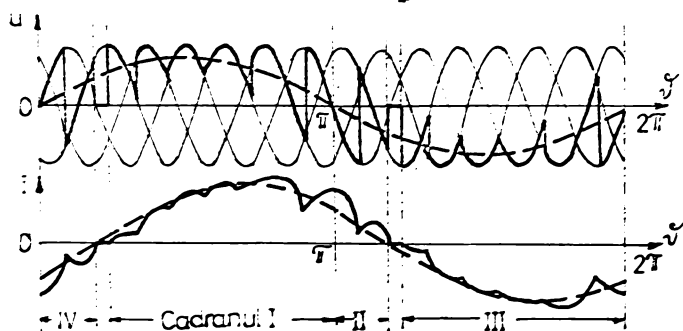


Fig.3.8

Tensiunea și curentul unui convertizor direct cu trei pulsuri și raport al frecvențelor 1:5.

Se constată că un astfel de convertizor reversibil poate funcționa în toate cele patru cadrane ale sistemului de axe de coordonate tensiune-curent [83].

La trecerea curentului prin valoarea zero, la schimbarea cadranelor în care funcționează convertizorul, se stabilește o pauză de curent. Durata de conducție a ventilelor ce intră în componența convertizorului nu este egală. Raportul dintre frecvența tensiunii rețelei și frecvența tensiunii de ieșire poate fi un număr întreg sau fracționar. La rapoarte întregi, la fiecare perioadă a tensiunii de ieșire fenomenul se repetă ceea ce duce la încălzirea inegală a ventilelor în timp.

Conținutul de armonici în tensiunea de ieșire, respectiv în curent se reduce mult prin mărirea numărului de pulsuri spre exemplu de la trei la șase.

Un astfel de montaj se poate obține cu ajutorul unui transformator cu șase înfășurări secundare (fig.3.9), dar acest caz utilizarea tiristoarelor și a înfășurărilor secundare ale transformatorului este mai puțin bună față de schema cu trei pulsuri (fig.3.6), deoarece unghiul de conducție al tiristoarelor este limitat la valoarea de  $60^\circ$  dintr-o perioadă.

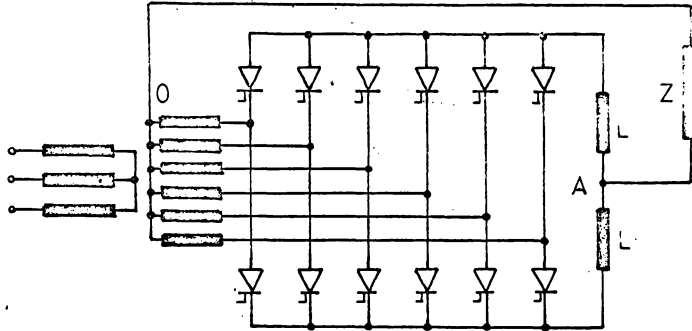


Fig.3.9

Convertizor monofazat direct cu șase pulsuri.

Un alt montaj cu șase pulsuri poate fi obținut prin punerea în paralel a două grupuri simple cu trei pulsuri alimentate prin tensiuni de intrare decalate. În acest caz dacă cele două grupuri lucrează separat, unghiul de conducție este de  $120^\circ$ .

Convertizoarele directe preiau puterea reactivă necesară funcționării lor și cea necesară consumatorului din rețeaua de frecvență mai mare.

Forma sinusoidală a curentului se obține prin prescrierea, cu ajutorul elementelor logice de comutație, a unei tensiuni în formă de trepte apropiată de forma unei sinusoidă.

Raportul dintre frecvența tensiunii rețelei de alimentare și cea a tensiunii de ieșire obținut cu convertizoarele directe cu șase pulsuri este de  $f_{1N}/f_1 \geq 2,5$  [83], ceea ce înseamnă că frecvența de ieșire a convertizorului are valori de  $0 + 20$  Hz.

Convertizoarele trifazate pentru alimentarea mașinilor asincrone rezultă din trei convertizoare monofazate. Schema unui convertizor direct pentru alimentarea mașinilor asincrone este prezentată în fig. 3.10.

Convertizoarele de acest tip au dezavantajul unui număr mare de ventile și scheme de comandă relativ complicate.

Există și alte scheme de convertizoare directe [83], care numărul de ventile este mai redus/cu sarcina pe ventile mai mare pentru aceeași putere de ieșire (montaj în triunghi).

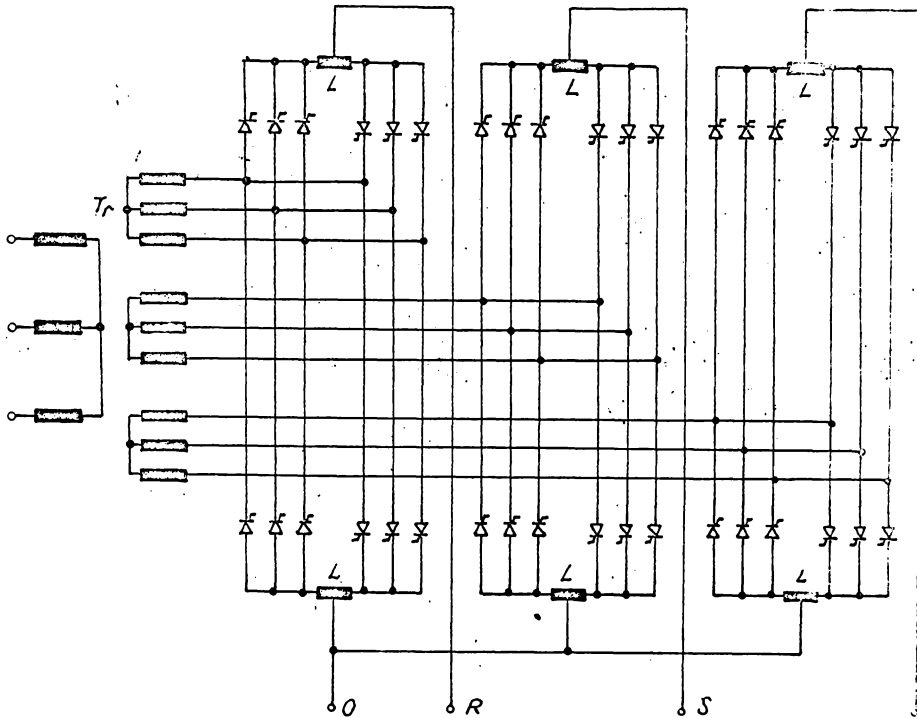


Fig.3.10

Convertizor direct trifazat cu șase pulsuri.

Se folosesc convertizoare directe pentru acționarea instalațiilor la care caracteristicile artificiale de funcționare corespund unor viteze reduse față de cea sincronă ( $\Omega \leq 0,4 \Omega_1$ ).

Schemele de convertizoare directe sînt relativ simple și deși au un număr mare de ventile prețul de cost este comparabil cu al altor tipuri de convertizoare. Totuși, dat fiind faptul că gama de modificare a vitezei este redusă și corespunde numai vitezelor mici, că au un factor de putere mic și că necesită scheme de comandă complicate pentru asigurarea legilor de variație ale tensiunii cu frecvența prezentată în § 2.3, răspîndirea lor în instalațiile de acționare este mică [14].

### 3.3.2. Convertizoare indirecte

Convertizoarele indirecte sînt convertizoare care funcționează printr-un cuit intermediar de curent continuu. Datorită faptului că există două circuite de curent alternativ între care are loc

schimbul de energie sînt separate într-o ele prin circuitul intermediar de curent continuu, frecvența tensiunii de ieșire este independentă de frecvența rețelei de alimentare. Comutația elementelor convertizorului este de obicei o comutație forțată (proprie), utilizîndu-se circuite speciale în acest scop, [79].

Tensiunea continuă a circuitului intermediar poate să fie constantă sau variabilă. Schema bloc a unui convertizor indirect pentru alimentarea mașinilor asincrone este prezentată în fig.3.11 [37],[66],[78],[82],[92].

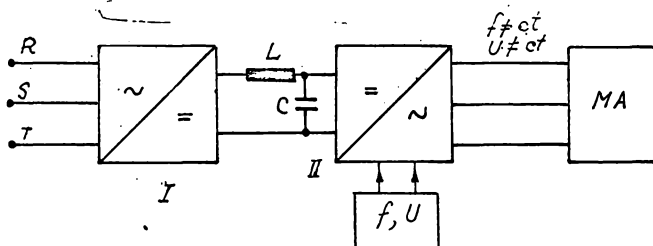


Fig.3.11

Schema bloc a convertizorului indirect, alimentînd o mașină asincronă.

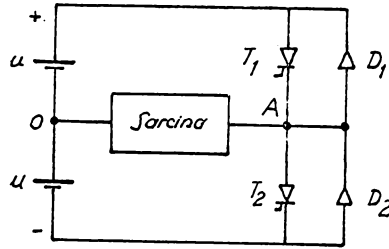
Circuitul intermediar de curent continuu împarte convertizorul în două părți I și II. Partea I-a a convertizorului constă dintr-un redresor sau un montaj redresor-invertor cuplat cu rețeaua de 50 Hz, de obicei printr-un transformator. Mașina asincronă absoarbe sau furnizează energie activă și consumă energie reactivă. Cum circuitul intermediar de curent continuu nu poate transmite energie reactivă înseamnă că aceasta va trebui să fie generată de partea II-a a convertizorului. Capacitatea C din circuitul intermediar, corect dimensionată, asigură acumularea unei energii suficiente pentru furnizarea puterii reactive. Tensiunea de ieșire a circuitului intermediar și curentul în circuit sînt menținute suficient de netede datorită filtrului de netezire L-C.

Schema de principiu a unui invertor monofazat cu punte median, care face parte dintr-un convertizor static indirect, este reprezentată în fig.3.12.

Schema cuprinde tiristoarele principale  $T_1$  și  $T_2$  prin care se asigură conectarea bornei A a sarcinii la polul pozitiv sau negativ al sursei continue, cealaltă bornă fiind permanent conectată la punctul median al sursei. În schemă sînt prezente și diodele  $D_1$  și  $D_2$  prin care circulă curentul reactiv la comutația tiristoarelor [79]. Din schemă lipsește circuitul de protecție

Fig.3.12

Schema de principiu a unui invertor monofazat.



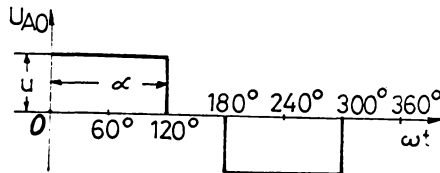
mutare al tiristoarelor prin care se comandă frecvența și tensiunea de ieșire.

Obținerea unei tensiuni alternative la bornele sarcinii de o frecvență și tensiune dată necesită ca fiecare tiristor principal să conducă în fiecare perioadă a tensiunii alternative un anumit timp care corespunde unghiului de conducție.

Astfel pentru o valoare a tensiunii circuitului intermediar de curent continuu  $u$  și un unghi de conducție al tiristoarelor  $\alpha = 120^\circ$  el, tensiunea la bornele sarcinii este reprezentată în fig.3.13.

Fig.3.13

Forma tensiunii la bornele sarcinii pentru un unghi de conducție de  $120^\circ$  el.



Modificarea valorii tensiunii de ieșire a convertizorului se poate face prin:

- modificarea valorii tensiunii continue  $u$ ;
- modificarea unghiului de conducție al tiristoarelor  $\alpha$ ;
- prin impulsuri de tensiune cu modulare în durată sau amplitudine.

### 3.3.2.1. Convertizoare cu tensiune continuă variabilă

La acest tip de convertizoare, tensiunea continuă a circuitului intermediar se modifică în așa fel încât la o anumită formă a curbei tensiunii de ieșire, valoarea ei să fie proporțională cu frecvența, conform uneia din legile de variație prezentate în § 2.3. Modificarea valorii tensiunii continue se face fie cu ajutorul unui transformator de alimentare urmat de un redresor recomandat, fie cu un redresor comandat.

Convertizoarele cu circuit intermediar de curent continuu cu tensiune variabilă prezintă două mari inconveniente

Astfel, datorită faptului că redresorul  $I_1$  și invertorul  $I_2$  (fig. 3.14) sînt legate prin circuitul L-C, nu este posibilă o variație rapidă a tensiunii continue și deci și variația vitezei alimentate va fi mai lentă. Al doilea inconvenient se referă la domeniul de modificare al vitezei mașinii asincrone care este limitat spre vitezele mici. Aceasta, deoarece la micșorarea tensiunii circuitului intermediar se micșorează sarcina condensatoarelor de comutație și stingerea tiristoarelor se face din ce în ce mai dificil. Capacitatea sistemului de comutație trebuie să asigure o anumită valoare a timpului de blocare a tiristoarelor și este proporțional, la dimensiuni date ale condensatoarelor de comutație, cu tensiunea continuă și invers proporțional cu curentul din timpul comutației. Dimensionarea condensatoarelor de comutație este în acest caz dificil de făcut. O soluție posibilă ar fi folosirea unei surse separate de tensiune continuă pentru alimentarea condensatoarelor de comutație care să le asigure o sarcină optimă.

Schema unui convertizor trifazat pentru alimentarea mașinilor asincrone se poate obține din trei invertoare monofazate de tipul celui din fig.3.12, alimentate de la același circuit de curent continuu a cărui tensiune este variabilă (fig.3.14).

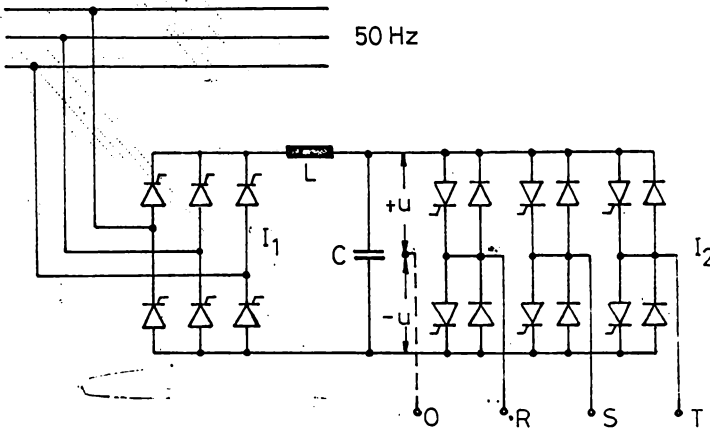


Fig.3.14

Convertizor trifazat cu circuit intermediar de curent continuu cu tensiune variabilă.

Forma tensiunii alternative la ieșirea din convertizor pentru un unghi de conducție al tiristoarelor de  $180^\circ$  este redată în fig.3.15.

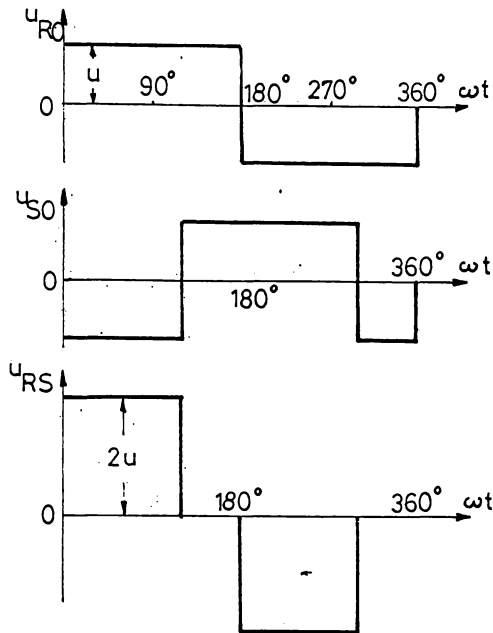


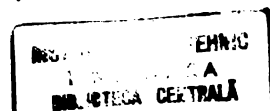
Fig.3.15

Forma tensiunii de fază și de linie a convertizorului trifazat.

Datorită formei rectangulare a unei tensiunii de ieșire a convertizorului, aceasta va conține un mare număr de armonici inferioare. Reducerea conținutului de armonici se poate face prin comanda convertizorului astfel încât forma tensiunii de ieșire să se apropie mai mult de o sinusoidă sau prin utilizarea a două sau mai multe unități de convertizoare de același tip și defazate între ele [14],[79].

Valoarea efectivă a tensiunii de ieșire a convertizorului se modifică odată cu modificarea valorii tensiunii continue  $u$  a circuitului intermediar.

Convertizoarele indirecte cu tensiune continuă variabilă se clasifică [14],[79] în convertizoare de tensiune și convertizoare de curent, după cum mărimea a cărei formă se prezintă la ieșirea din convertizor este tensiunea sau curentul. Cele două tipuri de convertizoare se clasifică la rândul lor în funcție de modul de comandă al stingerii: convertizoare de



stingere autonomă și convertizoare cu stingere independentă.

În fig.3.16 se prezintă schema unui convertizor indirect de curent, cu stingere independentă și forma de variație a curentului de fază [14].

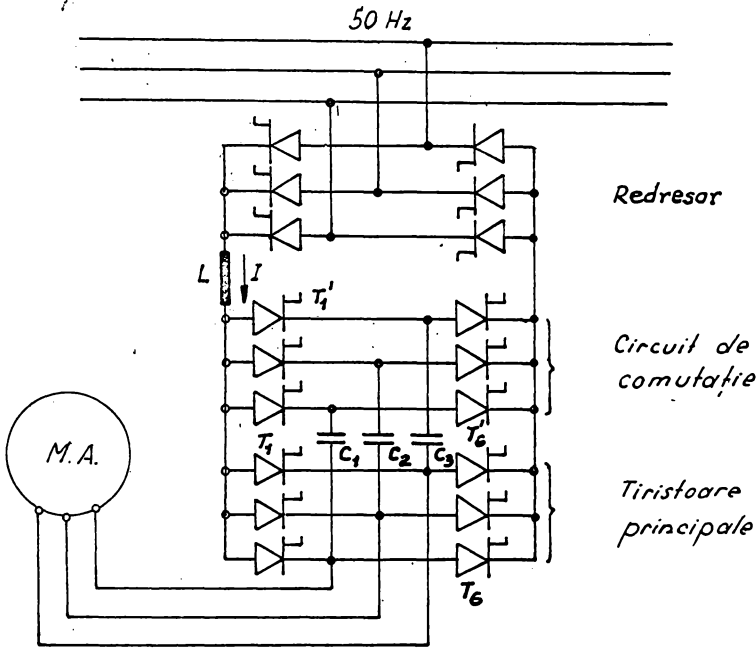
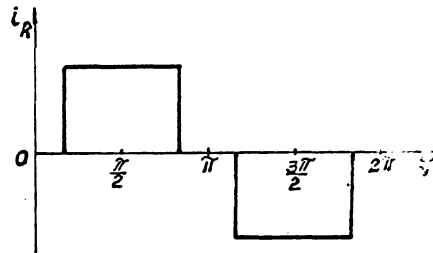


Fig.3.16

Convertizor indirect de curent cu stingere independentă: a - schema de principiu; b - variația curentului de fază:

$T_1+T_6$  - tiristoare principale;  
 $T_1'+T_6'$  - tiristoare de stingere;  
 $C_1+C_3$  - condensatoare de stingere.



Principalele particularități ale acestui tip de convertizoare constau în următoarele:

- încărcarea condensatoarelor de stingere se face prin trecerea curentului de sarcină prin condensatoare, ceea ce asigură încărcarea acestora chiar și în cazul unor tensiuni mici ale circuitului intermediar și sarcini mici, deci funcționarea convertizorului este sigură;

- frînarea cu recuperare se face prin inversarea tensiunii și nu a curentului din circuitul intermediar; în acest fel pentru frînarea cu recuperare nu este nevoie de un invertor

suplimentar, schema fiind mai simplă și mai economică;

- față de convertizorul de curent cu stingere autonomă, prezintă dezavantajul unui număr mai mare de tiristoare (tiristoarele de stingere).

Convertizoarele indirecte cu tensiune variabilă a circuitului intermediar sînt mai puțin răspîndite în acționările electrice cu viteză variabilă datorită dificultăților de dimensionare precisă a circuitelor de comutație (convertizoarele de tensiune), datorită inerției lor mai mari, a necesității unui redresor comandat, deci a numărului de tiristoare sporit și datorită conținutului mare de armonici de ordin inferior.

### 3.3.2.2. Convertizoare cu tensiune continuă constantă

Convertizoarele indirecte cu tensiune constantă a circuitului intermediar au aceeași schemă de principiu (fig.3.14) ca și cele cu tensiune variabilă. Singura deosebire dintre cele două tipuri constă în faptul că în cazul convertizoarelor cu tensiune constantă a circuitului intermediar, obținerea acesteia se face printr-un redresor simplu necomandat, alimentat fie direct de la rețea, fie printr-un transformator.

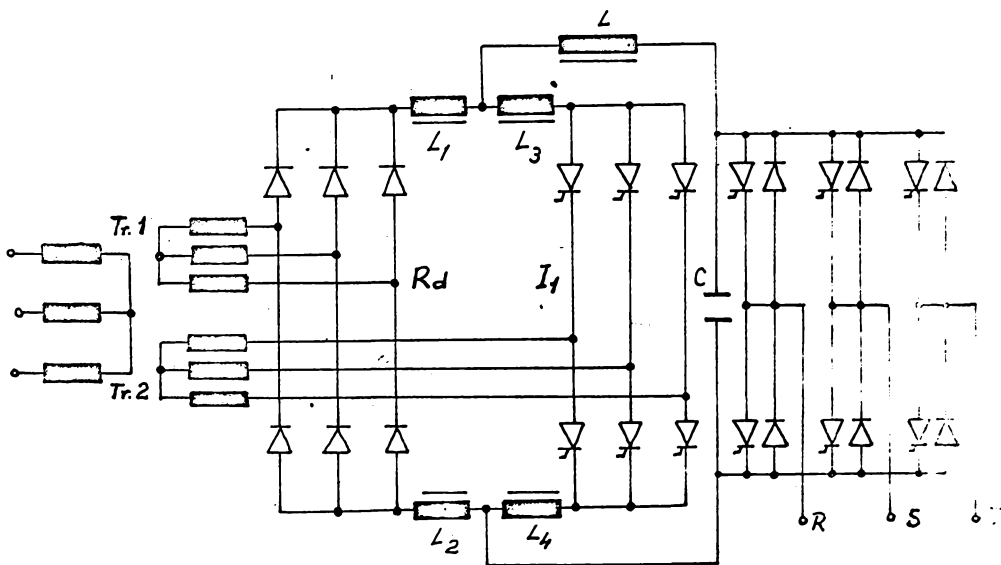


Fig.3.17

Schema unui convertizor indirect de tensiune *continuu* constantă pentru acționări reversibile.

În cazul acționărilor reversibile, pentru recuperarea unei părți din energia de frînare, se folosește un invertor  $I_1$  ce poate fi montat în cruce cu redresorul necomandat  $R_d$  așa cum se arată în fig.3.17.

Cuplajul redresorului necomandat și al invertorului comandat se realizează prin intermediul inductivităților  $L_1-L_4$ . Invertorul  $I_1$  cu comutație naturală este conectat la secundarul transformatorului Tr2 care furnizează o tensiune mai ridicată decât cea necesară punții redresoare cu diode. În acest fel se asigură blocarea unghiului de comandă al invertorului la o valoare mai mică de  $180^\circ$  și se realizează condiția ca tensiunea redresorului să fie întotdeauna inferioară sau cel mult egală cu cea a invertorului.

Energia activă poate circula în două sensuri. Energia reactivă a sarcinii (mașinii asincrone) este dată de capacitatea  $C$ , puterea reactivă cerută de la rețea fiind totdeauna minimă (redresor necomandat, invertor  $I_1$  cu unghi de aprindere maxim).

Pe lângă puterea reactivă minimă cerută de la rețea, convertizoarele cu tensiune intermediară constantă permit cuplarea mai multor unități distincte, comandate separat și alimentate de la același redresor (același circuit intermediar). În plus, acest tip de convertizoare sînt insensibile la o variație a tensiunii rețelei dacă au prevăzute în circuit:

- baterii de acumuloare tampon; aceste baterii pot reprimi o parte din energia de frînare;
- condensatoare electrolitice potrivit dimensionate care asigură filtrajul tensiunii.

Problema importantă care se pune în cazul acestor convertizoare este obținerea unei tensiuni alternative de amplitudine variabilă, pornind de la o tensiune continuă constantă. Se folosesc în principiu două metode pentru realizarea acestor tensiuni variabile:

- prin defazaj variabil între mai multe unități;
- prin impulsuri de tensiune, cu modulare în durată sau în amplitudine.

a. Convertizoare cu tensiune intermediară constantă și variație a tensiunii de ieșire prin defazaj.

Conectarea unei faze a sarcinii între ieșirile A și B a două invertoare de tipul celui din fig.3.12 și defazarea unghiului de comandă al celei de a doua unități față de prima

la  $180^\circ$  la  $0^\circ$  el, permite modificarea tensiunii aplicate sarcinii între o valoare maximă și o valoare egală cu zero [54]. Schema de principiu a unui astfel de invertor monofazat este reprezentată în fig.3.18. Forma undei de tensiune rezultante pentru diferite defazaje între a doua și prima unitate este prezentată în fig.3.19, unghiul de conducție al tiristoarelor fiind de  $1/2 T$ .

Fig.3.18

Invertor monofazat cu variație a tensiunii prin defazaj.

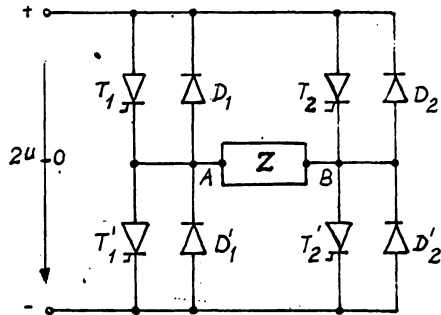
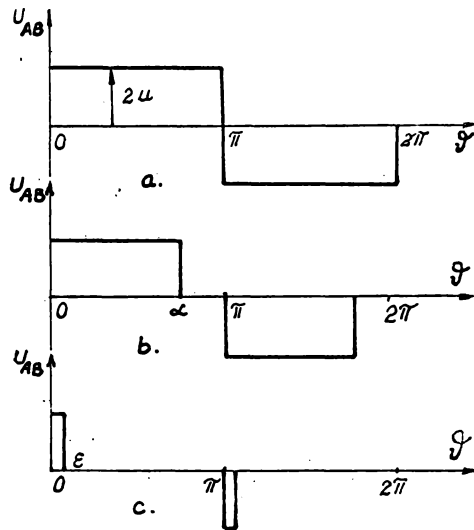


Fig.3.19

Forma tensiunii invertorului monofazat cu variație a tensiunii prin defazaj: a - defazaj  $\pi$ ; b - defazaj  $\alpha$ ; c - defazaj  $\varepsilon$ .



Valoarea relativă a armonicilor în raport cu tensiunea fundamentale crește pe măsură ce se micșorează tensiunea fundamentală prin defazaj, ajungând să aibă valori excesiv de la joase frecvențe. Eliminarea acestui inconvenient se poate face prin folosirea mai multor unități defazate și cuplate între ele prin conectarea secundarelor transformatoarelor puse la ieșirea fiecărei unități. Soluția a fost adoptată

firma Westinghouse, utilizând șase unități de invertoare monofazate, defazate cu  $30^\circ$  sau două unități trifazate defazate cu  $30^\circ$ . Soluția este relativ scumpă și complicată din punct de vedere tehnic, fapt pentru care nu s-a extins.

Schema de montaj a unui astfel de convertizor este dată în fig.3.20 [79].

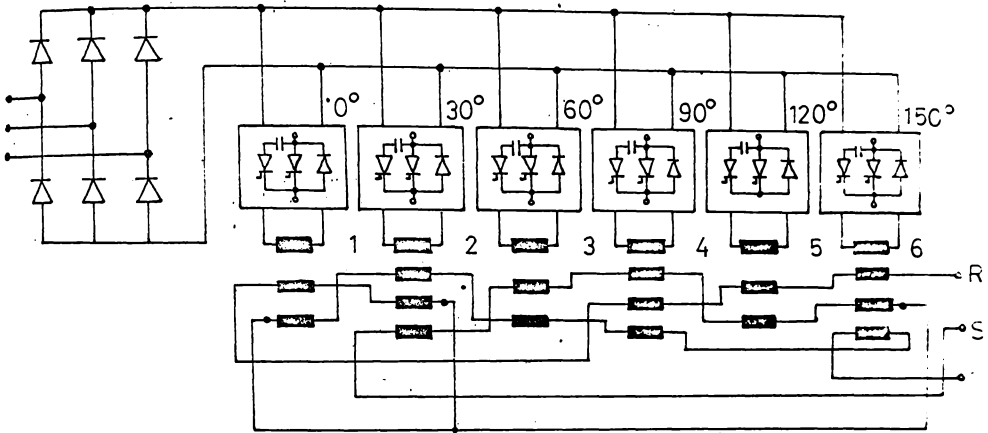


Fig.3.20

Schema de principiu a unui convertizor cu comutație proprie format din șase invertoare monofazate.

Variația în timp a tensiunii convertizorului depinde mai de unghiul de comandă al tiristoarelor.

Invertoarele monofazate din care este constituit convertizorul au ca circuit de sarcină un transformator cu două sau trei înfășurări secundare care sînt legate la bornele mașinii asincrone. Tensiunile de ieșire a celor șase invertoare sînt defazate între ele cu  $\pi/6$ . Deoarece invertoarele monofazate cu două impulsuri (pulsuri) pe perioadă (fig.3.12) permit comandarea unghiului de conducție al tiristoarelor - lățimea impulsurilor - de la zero la  $180^\circ$ , domeniul de variație al tensiunii de ieșire este mare. Astfel pentru un unghi de comandă al tiristoarelor  $\alpha = 0$ , adică o comandă completă, forma tensiunii de fază obținută cu un convertizor format din șase invertoare monofazate cu două pulsuri este dată în fig.3.21 [79].

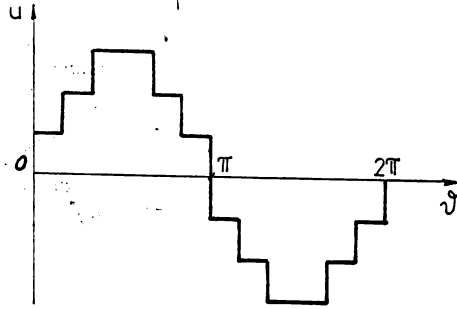


Fig.3.21

Variația tensiunii de fază a convertizorului din fig.3.20 la o comandă completă a tiristoarelor.

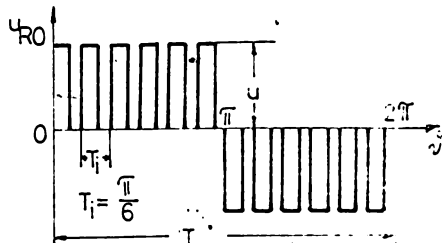
- b. Convertizoare cu tensiune intermediară constantă și modificare a tensiunii de ieșire prin impulsuri, cu modulare în durată a acestora, procedeu cunoscut sub denumirea de "suboscilații".

Modificarea tensiunii alternative prin impulsuri sau suboscilații constă în realizarea de comutații la o frecvență mai mare decât frecvența cerută la ieșirea convertizorului și modularea în durată a acestor impulsuri de tensiune. Există în principiu două moduri diferite de a realiza acest lucru:

- Prima soluție constă în a alege un anumit număr de comutații ( $n$ ), în raport cu cele produse la  $0^\circ$  și la  $180^\circ$  într-un sistem cu două comutații pe perioadă și fază (fig.3.15) și în fixarea momentelor în care aceste comutații au loc. Acest lucru va defini pentru montaj o perioadă intermediară;  $T_i = 360^\circ/n$  în care se poate modula, potrivit nevoilor, durata (lățimea) impulsurilor de tensiune. Se obține în acest fel o comandă a tensiunii de ieșire din convertizor pentru un unghi de comandă nul, ca cea din fig.3.22.

Fig.3.22

Forma tensiunii de ieșire la modularea în durată a impulsurilor, unghi de comandă nul și  $n = 12$ .



Alegerea numărului de impulsuri se face pe baza conținutului de armonici din tensiunea de ieșire [88]. Această soluție este avantajoasă deoarece este realizabilă cu ajutorul unui convertizor simplu cum este cel din fig.3.14 și care nu introduce neapărat un mare număr de comutații intermediare. În consecință pierderile de energie datorită comutației nu se măresc exagerat.

- A doua soluție [78] constă în a presupune variabile momentele în care se produc comutațiile intermediare precum și durata impulsurilor de tensiune. Acest procedeu este avantajos din mai multe considerente. Fluxul într-o fază a mașinii este determinat de tensiunea aplicată și de căderile de tensiune pe rezistența și inductivitatea de dispersie a circuitului. Dacă tensiunea aplicată și căderile de tensiune sînt constante și fără oscilații, fluxul rezultat va fi constant. Dacă tensiunea prezintă oscilații, fluxul va avea o valoare variabilă între valoarea maximă și minimă determinată de suprafața cuprinsă între părțile pozitive și negative ale curbei componentelor tensiunii și axa timpului. În cazul unei frecvențe de variație a tensiunii aplicate mașinii suficient de mari și dacă suprafețele pozitive și negative ale tensiunii de ieșire sînt suficient de mici și evoluează astfel încît determină o valoare medie a tensiunii care variază sinusoidal în timp cu o frecvență joasă, se va obține un flux cu o variație sinusoidală de aceeași frecvență cu a tensiunii și cu un conținut de armonici mic. Pentru situații în care suprafețele pozitive și negative ale unei de tensiune sînt egale, fluxul este nul. Acest mod de modificare a tensiunii de ieșire și a fluxului este folosit de firmele Brown-Boveri și AEG [3], [20].

Forma impulsurilor de tensiune și armonica fundamentală a acestora sînt prezentate în fig.3.23 și fig.3.24.

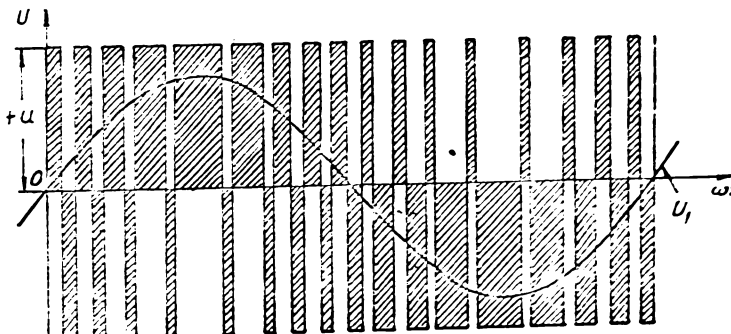


Fig.3.23

Forma tensiunii de ieșire la modularea bipozitivă cu impulsuri de durată inegale (sinusoidale).

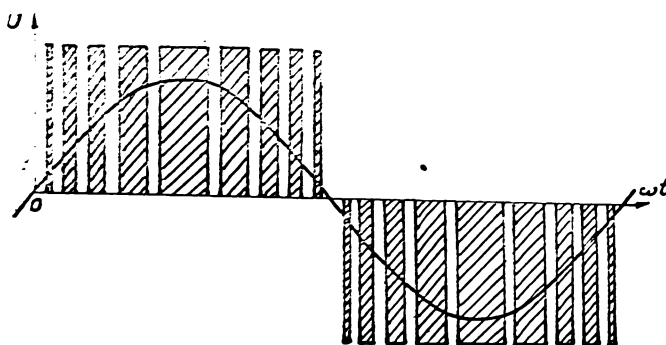


Fig. 3.24

Variația tensiunii de ieșire la un convertizor cu comportare tripozițională și modularea în durată a impulsurilor după o lege sinusoidală.

În cazul convertizoarelor funcționând după principiul suboscilațiilor, invertorul basculează între cele două potențiale cu o frecvență ridicată. Impulsurile de tensiune au formă rectangulară au amplitudinea egală cu  $u$  și frecvența determinată de invertor. Valoarea medie a acestei tensiuni poate să fie modificată variind intervalele de timp ale tensiunii de ieșire pozitive și negative. Armonica fundamentală a tensiunii de ieșire poate fi considerată ca o rezultantă a variației sinusoidale a valorii medii a tensiunii rectangulare a invertorului sau altfel spus, ca o rezultantă a suboscilațiilor unei tensiuni rectangulare de înaltă frecvență. Pentru sincronizarea momentelor de comutație ale invertorului se utilizează o tensiune auxiliară de formă triunghiulară simetrică sau un dinz de ferăstrău care se suprapune peste tensiunea sinusoidală prescrisă prin sistemul de comandă. Această tensiune auxiliară are o frecvență superioară celei prescrise așa cum se face în tehnica telecomunicațiilor pentru modularea impulsurilor. Sistemul acesta de comandă permite calculul și deci cunoașterea armonicilor de tensiune și curent și în consecință pot fi găsite mijloacele pentru reducerea lor.

Sistemul de comandă permite modificarea independent a valorii medii a tensiunii de ieșire (a unei sinusoidale fundamentale) și frecvența acesteia. Amplitudinea armonicii fundamentale a tensiunii de ieșire este inferioară valorii tensiunii auxiliare  $u$ .

Tipurile de convertizoare de tensiune și frecvență funcționând după principiul modulării în durată a impulsurilor sînt numeroase și se comportă corespunzător în exploatare [49], [72], [106]. Conținutul în armonici a tensiunii și curentului convertizorului este dependent de numărul de impulsuri pe perioadă, durata și forma impulsurilor, sistemul de comandă al inverterului etc. Frecvența impulsurilor de tensiune are valori pînă la 1400 Hz [49]. La creșterea frecvenței impulsurilor din care se formează tensiunea de ieșire cresc pierderile prin comutație și scade conținutul în armonicile inferioare ale tensiunii. La alegerea soluției de modulare se va ține seamă de cele două aspecte contradictorii.

Se folosesc convertizoare de tensiune și frecvență pentru alimentarea mașinilor asincrone de puteri de la 0,1 + 1000. În funcție de domeniul de modificare a vitezei, de puterea mașinii și de legea de variație ce se impune pentru tensiune funcție de frecvență, se pot utiliza și alte scheme de convertizare, modificarea tensiunii făcîndu-se însă după același principiu.

Forma și valoarea tensiunii de ieșire a convertizorilor poate fi modificată prin alegerea schemei de comandă a tiristoarelor, existînd o serie de metode diferite, atît din punct de vedere al complexității lor, cît și al scopului urmărit.

### 3.4. Concluzii

Sistemele de acționare cu mașini asincrone alimentate prin convertizoare statice de tensiune și frecvență sînt folosite din ce în ce mai mult, datorită competitivității lor din punct de vedere tehnic și economic cu alte sisteme de acționare.

Din punct de vedere tehnic convertizoarele statice prezintă marele avantaj că nu au piese în mișcare, au o funcționare sigură și un gabarit redus.

Din punct de vedere economic ele au devenit competitive datorită reducerii rapide a prețului de cost al elementelor semiconductoare și a progreselor realizate în domeniul sistemelor de comandă prin apariția circuitelor integrate.

Pentru alimentarea mașinilor asincrone din sistemele de acționare cu viteză variabilă se utilizează atît convertizoarele cu comutație naturală - cascade subsincrone, convertizoarele directe cu frecvențe  $f_1 = 0 + 20$  Hz - cît și convertizoarele cu comutație forțată - cascade suprasincrone, convertizoare directe cu frecvențe  $f_1 \geq 50$  Hz.

Principiile constructive ale convertizoarelor statice sînt multiple și urmăresc realizarea unor parametri de ieșire, tensiune-frecvență, astfel încît caracteristicile mecanice ale mașinilor electrice alimentate să corespundă proceselor tehnologice de producție. Se urmărește în același timp și obținerea unor parametri energetici ridicați în vederea reducerii consumului de energie electrică.

Pă baza celor prezentate în acest capitol este posibilă alegerea schemei de principiu a convertizorului static cel mai potrivit pentru alimentarea mașinii asincrone ținînd seama de tipul acesteia, sensul și domeniul de modificare a vitezei, cerințele mașinii de lucru acționată, utilizarea eficiență a elementelor semiconductoare etc.

#### 4. ANALIZA ARMONICA A TENSIUNII MASINILOR ASINCRONE ALIMENTATE PRIN CONVERTIZOARE STATICE

##### 4.1. Generalități

Forma tensiunii obținută de la convertizoarele statice nu este sinusoidală și conține un mare număr de armonici. Armonicile ce apar în curba tensiunii de alimentare a mașinilor asincrone determină armonici de curent prin mașină și cupluri parazite.

Dezavantajul principal al acestor armonici constă în următoarele:

- armonicile din curba tensiunii duc la reducerea amplitudinii armonicii fundamentale la o aceeași valoare efectivă a tensiunii și apariția de armonici în curba curentului;
- armonicile din curba curentului măresc pierderile prin mașină, micșorează randamentul ei și produc cupluri parazite;
- armonicile din curba cuplului deși sînt în general reduse în domeniul funcționării normale a mașinii asincrone (între viteza zero și  $\pm \Omega_1$ ) duc la deformarea curbei cuplului la micșorarea cuplului de pornire și la oscilații ale cuplului rezultat.

Conținutul de armonici din curba tensiunii, curentului și cuplului este dependent de forma tensiunii de alimentare și de metodele de modificare a amplitudinii acestora în funcție de modificarea frecvenței.

S-a văzut în cap.3 că există o mare diversitate de cupluri constructive de convertizoare, obținându-se tensiuni de ieșire de forme diferite. Faptul că pentru o funcționare corectă a mașinilor asincrone este necesară și o modificare a valorii tensiunii odată cu frecvența, face de multe ori să se modifice și conținutul armonicilor și ponderea acestora față de fundamentală în tensiunea de ieșire.

În acest capitol se va face analiza armonică a tensiunilor furnizate de principalele tipuri de convertizoare prezentate în cap.3 - convertizoarele directe și cele indirecte. Nu se va analiza separat tensiunea convertizoarelor montajelor în cascadă, deoarece acestea se reduc ca principiu de funcționare și formă a tensiunii de ieșire la convertizoarele indirecte.

Scopul acestei analize este acela de a cunoaște care sînt armonicile în tensiunea de ieșire a diferitelor tipuri de convertizoare, ponderea lor față de fundamentală și influența unor parametri asupra armonicilor de tensiune, pentru a ține seama de ele la studiul funcționării mașinilor asincrone alimentate prin convertizoare statice. Cunoașterea armonicilor din curba tensiunii va permite alegerea corectă a tipului de convertizor și a sistemului de comandă, funcție de cerințele mașinilor și instalațiilor alimentate. În același timp este posibil a se lua măsuri suplimentare pentru reducerea sau eliminarea acelorora dintre armonici care deranjează buna funcționare a mașinilor alimentate. Se va sublinia totodată importanța pe care o prezintă cercetările care urmăresc găsirea unor forme mai concise prin care să se exprime tensiunile de ieșire ale convertizoarelor statice și prin ecuațiile mașinii alimentate să se țină seama de ele.

#### 4.2. Analiza armonică a tensiunii furnizate de convertizoarele directe

Convertizoarele directe folosite la alimentarea mașinilor asincrone au o tensiune de ieșire de forma celei din Fig.3.8. Modificarea valorii tensiunii de ieșire se face prin schimbarea corespunzătoare a unghiului de comandă al tiristoarelor.

##### 4.2.1. Tensiunea medie și armonicile mutatoarelor cu trei și șase pulsuri

În vederea efectuării analizei armonice a tensiunii de ieșire a convertizoarelor directe este necesar a se prezenta mai întîi analiza tensiunii unui mutator monofazat cu trei pulsuri, avînd schema de principiu dată în fig.4.1.

Pornind de la acest montaj simplu se pot forma unități de mutatoare mai complexe care să permită obținerea unei tensiuni conform necesităților mașinilor electrice de acționare. Metoda de analiză se bazează pe considerentul că tensiunea de ieșire a diferitelor montaje se compune din porțiuni de sine

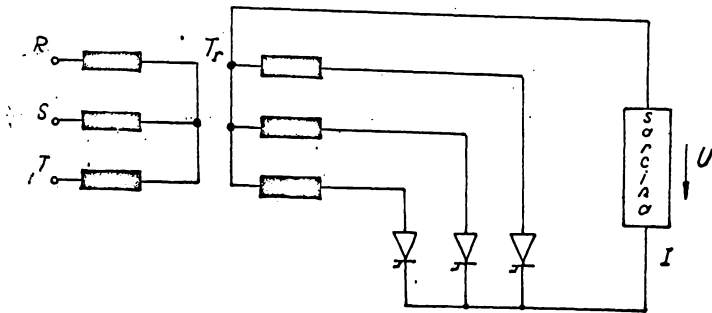


Fig.4.1

Schema de principiu a mutatorului monofazat cu trei pulsuri.

soide, astfel alese încât componenta principală a unde rezultante să fie de formă sinusoidală, la orice frecvențe de ieșire. Înseamnă că forma tensiunii de ieșire va depinde de [78]:

- numărul de pulsuri din care se compune tensiunea;
- raportul între frecvența de intrare și cea a unde fundamentale la ieșire;
- modul de determinare a unghiului de comandă al tiristoarelor și valoarea acestui unghi;
- valoarea relativă a tensiunii de ieșire;
- sarcina mașinii alimentate.

Tensiunea medie de ieșire a mutatorului din fig.4.1, pinde de unghiul de comandă  $\alpha$  al tiristoarelor. Astfel, valoarea medie a tensiunii de ieșire este maximă pentru funcționarea mutatorului în regim de redresor, unghiul de comandă fiind nul. Dacă se face raportul între valoarea medie a tensiunii de ieșire și cea maximă care se poate obține cu un astfel de montaj rezultă:

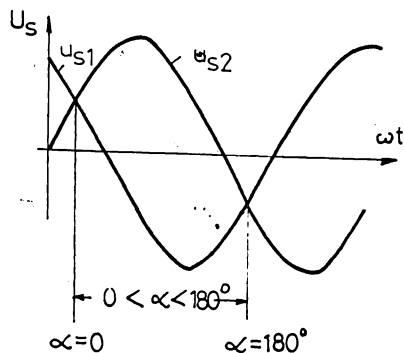
$$\frac{U_{med}}{U_{med.max}} = \cos \alpha \quad (4)$$

Unghiul  $\alpha$  este unghiul după care se dă comanda de aprindere a unui ventil (tiristor) față de poziția în care se realizează comutația lui naturală (fig.4.2).

Pentru unghiuri de comandă între zero și  $90^\circ$ , mutatorul funcționează în regim de redresor, iar pentru valori ale lui  $\alpha$  între  $90^\circ$  și  $180^\circ$  în regim de invertor [83].

Domeniul de invertor nu poate fi folosit complet din cauza timpului de blocare necesar care limitează unghiul de co-

Fig.4.2  
Domeniul de variație al unghiului de comandă la comutația naturală.



mandă la cca  $150^\circ$ .

Tensiunea continuă nefiltrată și cea filtrată pentru un unghi de comandă variabil este dată în fig.4.3.

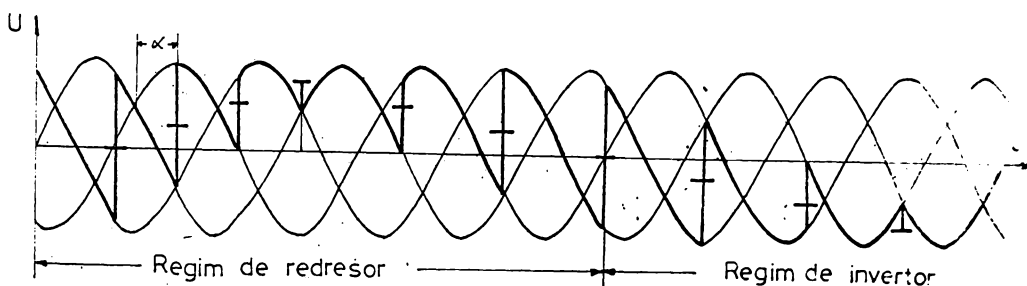


Fig.4.3

Tensiunea continuă a unui mătator cu trei pulsuri la  $\alpha$  variabil.

Valoarea raportului  $U_{med}/U_{med,max}$  conform relației (4.1) este reprezentată grafic în fig.4.4.

Orice modificare a unghiului de comandă  $\alpha$  se reflectă în modificarea valorii medii a tensiunii corespunzător relației (4.1).

Calculul conținutului armonicilor de ondulație asupra tensiunii de ieșire se face cu ajutorul seriilor Fourier. Metoda de determinare se bazează pe principiul suprapunerii unor porțiuni de sinusoidă, care matematic se poate exprima sub forma unui produs dintre o tensiune sinusoidală de intrare și o funcție discontinuă sau de tip logic, având valoarea 1 sau zero după cum tiristorul respectiv conduce sau este blocat [78].

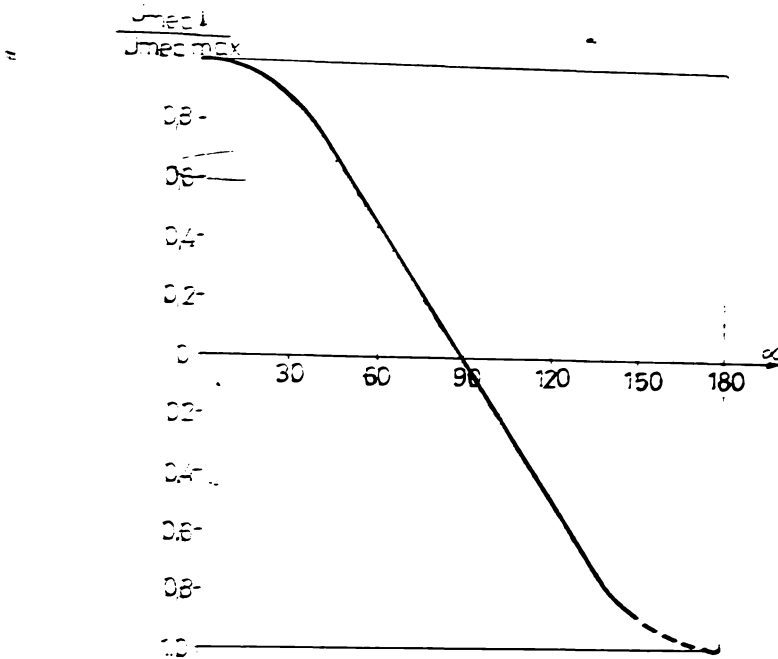


Fig.4.4

Variatia valorii medii relative a tensiunii in functie de unghiul de comandă  $\alpha$ .

Fiecare funcție discontinuă (rectangulară) se poate exprima printr-o serie Fourier, obținind seria corespondentă a tensiunii de ieșire care va conține un termen constant și componente alternative.

În același mod se procedează și pentru analiza curenților și în particular a curentului de linie.

Forma tensiunii de ieșire, pornind de la montajul bază din fig.4.1 este prezentată în fig.4.5.

Tensiunea de ieșire a mutatorului se exprimă prin relația:

$$u = U_M F(\beta - \alpha) \sin \beta + U_M F(\beta - \alpha - \frac{2\pi}{3}) \sin (\beta - \frac{2\pi}{3}) + U_M F(\beta - \alpha - \frac{4\pi}{3}) \sin (\beta - \frac{4\pi}{3})$$

unde  $\beta$  este dat prin  $\beta$  valoarea produsului  $\omega t$  ( $\beta = \omega t$ ),  $U_M$  amplitudinea tensiunii de alimentare, iar prin  $F(\beta - \alpha)$ ,  $F(\beta - \alpha - \frac{2\pi}{3})$  și  $F(\beta - \alpha - \frac{4\pi}{3})$  factorii funcției logice având valoarea 1 sau zero, potrivit comenzii tiristoarelor (fig.4.

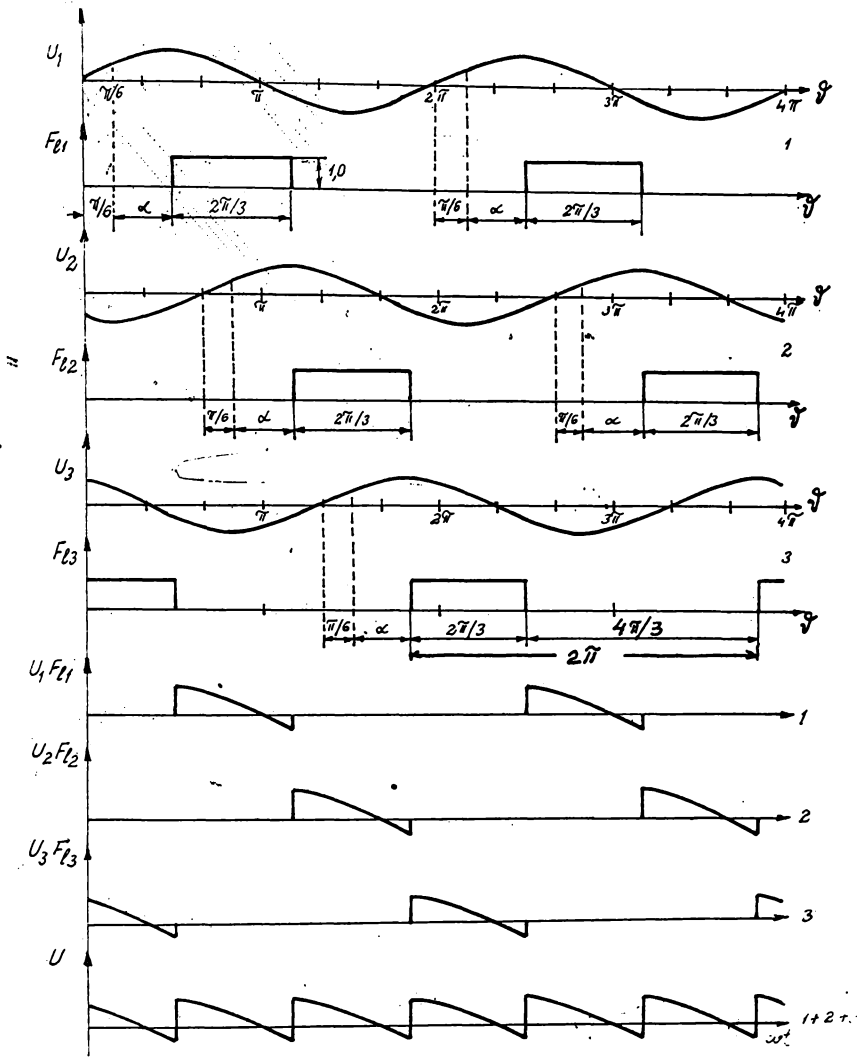


Fig.4.5

Forma tensiunii de ieșire a mutatorului cu trei pulsuri pentru un unghi de comandă  $\alpha$  și durata a funcției de comandă egală cu  $2\pi/3$ :

Unda rectangulară periodică a funcției  $F(\vartheta, \alpha)$  se descompune în armonici având forma [7], [78]:

$$\begin{aligned}
 F(\vartheta - \alpha) = & \frac{1}{3} + \frac{\sqrt{3}}{\pi} \left[ \sin(\vartheta - \alpha) - \frac{1}{2} \cos 2(\vartheta - \alpha) - \frac{1}{4} \cos 4(\vartheta - \alpha) \right. \\
 & - \frac{1}{5} \sin 5(\vartheta - \alpha) - \frac{1}{7} \sin 7(\vartheta - \alpha) + \frac{1}{8} \cos 8(\vartheta - \alpha) \\
 & \left. + \frac{1}{10} \cos 10(\vartheta - \alpha) + \dots \dots \dots \right]
 \end{aligned}$$

$$F(\nu - \alpha - \frac{2\pi}{3}) = \frac{1}{3} + \frac{\sqrt{3}}{\pi} \left[ \sin(\nu - \alpha - \frac{2\pi}{3}) - \frac{1}{2} \cos 2(\nu - \alpha - \frac{2\pi}{3}) - \frac{1}{4} \cos 4(\nu - \alpha - \frac{2\pi}{3}) - \frac{1}{5} \sin 5(\nu - \alpha - \frac{2\pi}{3}) \dots \right] \quad (4.4)$$

$$F(\nu - \alpha - \frac{4\pi}{3}) = F(\nu - \alpha + \frac{2\pi}{3}) = \frac{1}{3} + \frac{\sqrt{3}}{\pi} \left[ \sin(\nu - \alpha + \frac{2\pi}{3}) - \frac{1}{2} \cos 2(\nu - \alpha + \frac{2\pi}{3}) - \frac{1}{4} \cos 4(\nu - \alpha + \frac{2\pi}{3}) - \frac{1}{5} \sin 5(\nu - \alpha + \frac{2\pi}{3}) \dots \right] \quad (4.5)$$

Se observă imediat că o durată a fiecărei unde rectangulare egală cu  $120^\circ$  el. ( $2\pi/3$ ), duce la dispariția armonicilor de ordinul trei și a multiplilor săi în expresia funcției  $F(\nu, \alpha)$ .

Valoarea armonicilor din tensiunea mutatorului rezultă ușor pe baza relațiilor (4.2) + (4.5):

$$U = U_m \sin \nu \left\{ \frac{1}{3} + \frac{\sqrt{3}}{\pi} \left[ \sin(\nu - \alpha) - \frac{1}{2} \cos 2(\nu - \alpha) - \frac{1}{4} \cos 4(\nu - \alpha) \dots \right] \right\} + U_m \sin(\nu - \frac{2\pi}{3}) \left\{ \frac{1}{3} + \frac{\sqrt{3}}{\pi} \left[ \sin(\nu - \alpha - \frac{2\pi}{3}) - \frac{1}{2} \cos(\nu - \alpha - \frac{2\pi}{3}) - \dots \right] \right\} + U_m \sin(\nu + \frac{2\pi}{3}) \left\{ \frac{1}{3} + \frac{\sqrt{3}}{\pi} \left[ \sin(\nu - \alpha + \frac{2\pi}{3}) - \frac{1}{2} \cos(\nu - \alpha + \frac{2\pi}{3}) - \dots \right] \right\} \quad (4.6)$$

Bazându-ne pe proprietățile funcțiilor trigonometrice, relația (4.6) se poate scrie sub forma:

$$U = \frac{3}{2} \frac{\sqrt{3}}{\pi} U_m \left\{ \cos \alpha + \sum_{\nu=1}^{\infty} \left[ \frac{1}{(3\nu-1)^2} + \frac{1}{(3\nu+1)^2} - \frac{2 \cos 2\alpha}{(3\nu-1)(3\nu+1)} \right] \cdot \sin(3\nu\nu + \varphi_{3\nu}) \right\} \quad (4.7)$$

unde

$$\varphi_{3\nu} = -\frac{\nu\pi}{2} + \frac{1}{\operatorname{tg} \frac{\cos(3\nu+1)\alpha}{(3\nu+1)} - \frac{\cos(3\nu-1)\alpha}{(3\nu-1)}} \quad (4.8)$$

cu  $\nu = 1, 2, 3, \dots \infty$ .

Relația (4.7) arată că tensiunea de ieșire se compune dintr-un termen constant și o serie infinită de componente armonice de ordin multiplu de trei, pari și impari, adică de multiplii ai numărului de pulsuri.

Termenul constant ia valoarea maximă pentru cazul ceeea ce corespunde unui unghi de aprindere (de comandă) egal zero (mutatorul lucrează ca un redresor pur).

Dacă se reprezintă grafic raportul dintre valoarea efectivă a armonicilor tensiunii nefiltrate și valoarea medie maximă a tensiunii continue la comandă completă ( $U_{med.max} = \frac{3\sqrt{3}}{2\pi} U_m$ ), în funcție de valoarea unghiului  $\alpha$ , se obțin curbele din fig.4.6. Acest raport are valori maxime pentru un unghi de comandă  $\alpha = 90^\circ$  (nu există componentă continuă) și are valori minime pentru  $\alpha = 0$  și  $\alpha = 180^\circ$ , depinzând de numărul de pulsuri.

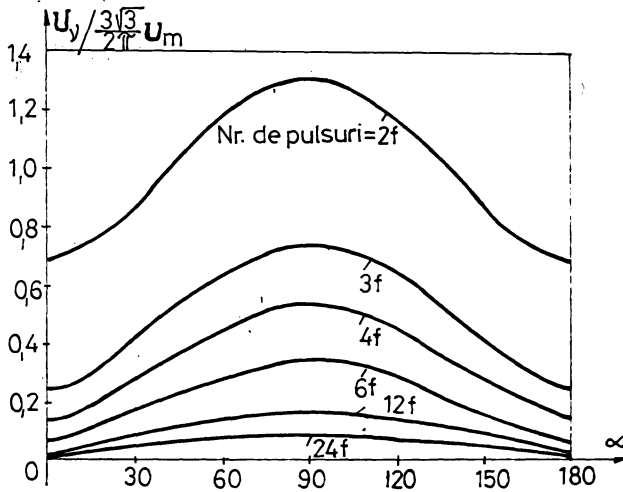


Fig.4.6

Variația valorilor efective ale armonicilor tensiunii de ieșire, funcție de unghiul de comandă  $\alpha$ .

Armonicile de ondulație ale tensiunii de ieșire a convertitoarelor se suprapun peste tensiunile continue constante obținute prin combinarea montajelor de bază. Conținutul de armonici din tensiunea de ieșire a diferitelor mutatoare depinde de defazajul relativ al tensiunilor de alimentare ale fiecărei unități de bază ce intră în componența mutatorului.

Astfel, spre exemplu, pentru mutatorul a cărui schemă de montaj este reprezentată în fig.4.7 cu șase pulsuri rezultă prin punerea în paralel a două grupuri, I și II, cu trei pulsuri fiecare, alimentate prin tensiuni defazate cu  $180^\circ$ , tensiunea de ieșire va fi:

$$U_6 = \frac{1}{2} (U_3^I + U_3^{II}) =$$

$$= \frac{3\sqrt{3}}{2\pi} \cdot U_m \left[ \cos\alpha + \left( \frac{1}{5^2} + \frac{1}{7^2} - \frac{2 \cos 2\alpha}{5 \cdot 7} \right)^{1/2} \sin(6\beta + \varphi_6) \right]$$

$$+ \left( \frac{1}{11^2} + \frac{1}{13^2} - \frac{2 \cos 2\alpha}{11 \cdot 13} \right)^{1/2} \sin(12\vartheta + \varphi_{12}) + \dots ] \quad (4.10)$$

Pentru un mutator cu o schemă ca cea din fig.4.8 care se obține prin legarea în serie a ieșirilor a două grupuri de forma celor din fig.4.1, tensiunea rezultantă este:

$$\begin{aligned} U_6' &= U_3^I + U_3^{II} = \\ &= 2 \frac{3\sqrt{3}}{2\pi} U_m \left[ \cos\alpha + \left( \frac{1}{5^2} + \frac{1}{7^2} - \frac{2 \cos 2\alpha}{5 \cdot 7} \right)^{1/2} \sin(6\vartheta + \varphi_6) + \right. \\ &\quad \left. + \left( \frac{1}{11^2} + \frac{1}{13^2} - \frac{2 \cos 2\alpha}{11 \cdot 13} \right)^{1/2} \sin(12\vartheta + \varphi_{12}) + \dots \right] \quad (4.11) \end{aligned}$$

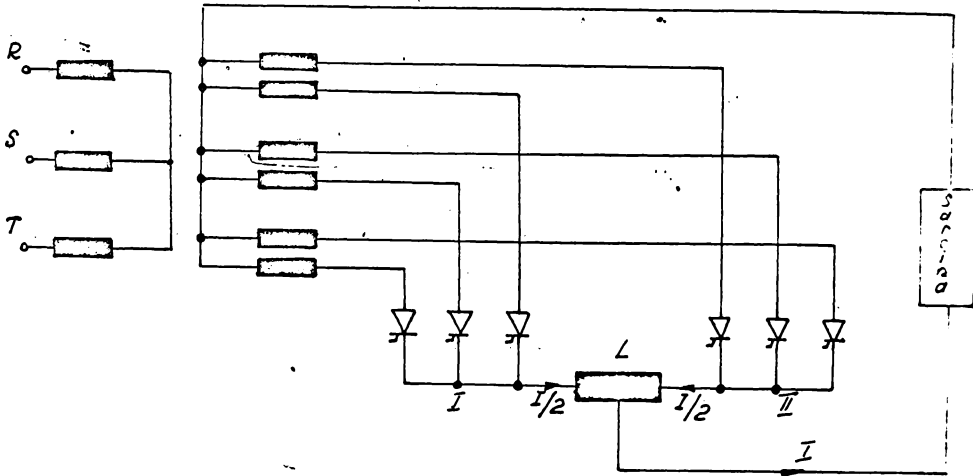


Fig.4.7

Mutator cu șase pulsuri cu unități în paralel și defazaj de  $180^\circ$ .

Se observă că relațiile (4.10) și (4.11) sînt identice, doar că pentru al 2-lea montaj tensiunea  $U_6'$  este egală cu dublul celei obținute prin relația (4.10). Conținutul în armonici pentru cele două scheme este același și aceasta se datorează faptului că în relația (4.7) a tensiunii de ieșire armonicile de ordinul  $3(2\nu-1)$ , adică multiplii impari de trei, își schimbă valoarea pentru un defazaj de  $180^\circ$  al tensiunii de alimentare. Valoarea relativă a armonicilor componente fiind aceeași, ele dispar în combinațiile exprimate prin relația (4.11), montajele

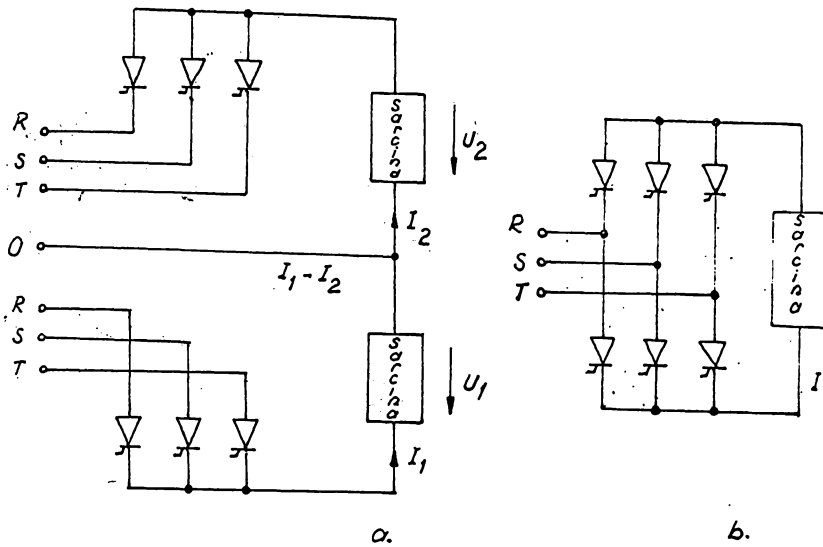


Fig.4.8

Mutator cu șase pulsuri cu unități în serie:  
 a - cu punct median; b - fără punct median.

respective avînd raport de pulsație egal cu șase.

Tensiunea continuă raportată la valoarea maximă ce poate fi obținută la mutatoarele rezultate din combinarea montajelor de bază și funcționînd în cadranele I și II, se exprimă prin relația simplă:

$$\frac{U_{med}}{U_{med.max}} = \frac{U_o}{U_{om}} = \cos \alpha \quad (4.22)$$

unde  $U_o$  reprezintă termenul de pulsație nulă în expresia tensiunii mutatorului, iar  $U_{om}$  - valoarea maximă a tensiunii medii.

Armonicile prezente în tensiunea de ieșire a mutatorului sînt multipli întregi ai raportului de pulsație. Amplitudinea acestor armonici, raportată la valoarea maximă a tensiunii medii este:

$$\frac{U_v}{U_{om}} = \left[ \frac{1}{(\nu-1)^2} + \frac{1}{(\nu+1)^2} - \frac{2 \cos 2\alpha}{(\nu-1)(\nu+1)} \right]^{1/2} \quad (4.23)$$

$\nu$  fiind ordinul armonicii.

#### 4.2.2. Tensiunea mutatoarelor reversibile în regim de convertizor direct

La alimentarea unor receptori de energie electrică care necesită inversarea curentului și a tensiunii, respectiv obținerea unei tensiuni alternative se utilizează mutatoarele reversibile care se obțin prin conectarea în antiparalel a u-

montaje de forma celor din fig.4.1 și fig.4.8. Rezultă în acest fel montaje reversibile cu trei sau șase pulsuri, schemele de principiu fiind prezentate în fig.4.9.

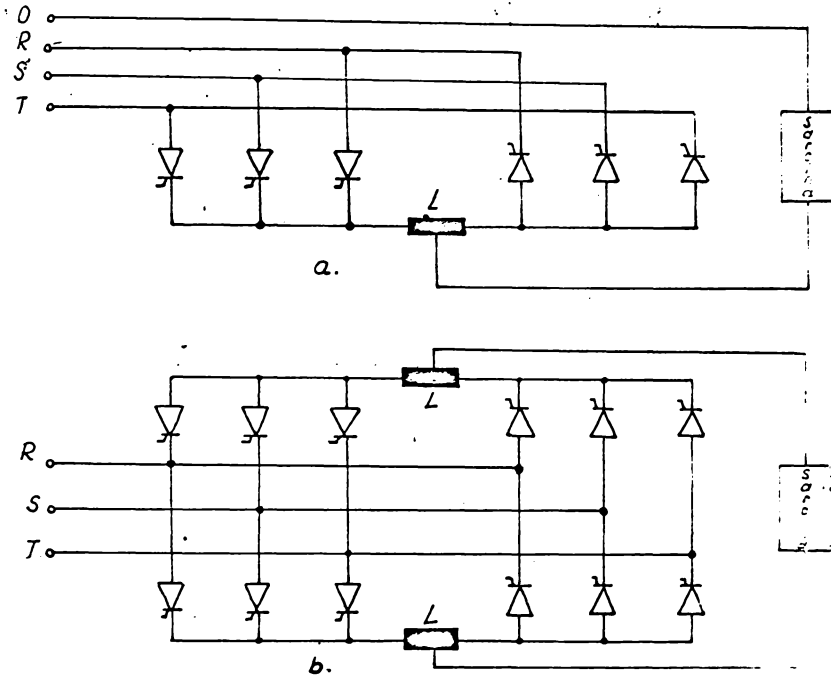


Fig.4.9

Schema de principiu a mutatoarelor reversibile: a - cu trei pulsuri; b - cu șase pulsuri.

În timpul funcționării, grupurile din care se compune mutatorul reversibil vor lucra succesiv unul ca redresor, celălalt ca inverter. Reprezentând valoarea medie a tensiunii de ieșire a fiecărui grup, în mărimi raportate, se obțin curbele din fig.4.10.

Relația între unghiurile de comandă ale celor două grupuri I și II este [78], [83]:

$$\alpha_I + \alpha_{II} = 180^\circ$$

Funcționarea în regim de convertizor direct a mutatoarelor din fig.4.9 se obține modulând continuu unghiul  $\alpha$  al celor două grupuri astfel ca tensiunea pe care o furnizează în fiecare moment să fie aceeași ca valoare și sinusoidală ca formă [83].

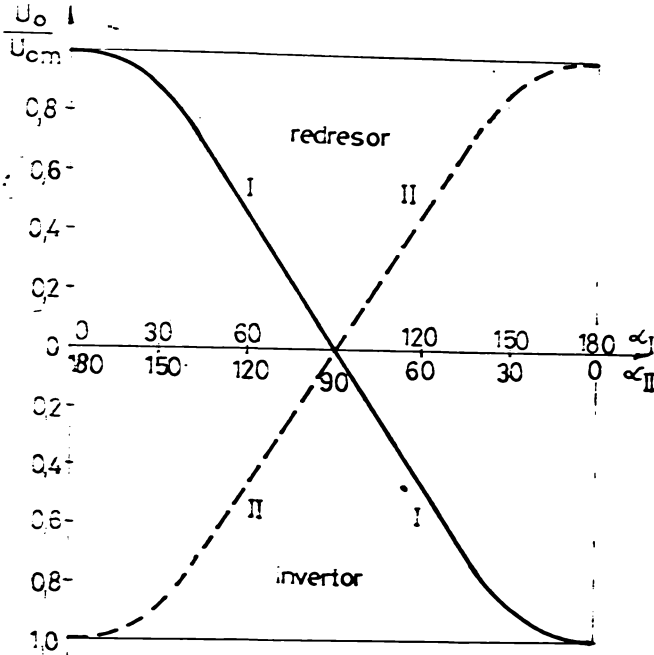


Fig.4.10

Valoarea tensiunii continue medii a grupurilor în montaj antiparalel raportată la valoarea maximă a acesteia.

Dat fiind caracterul unidirecțional al circulației de curent în fiecare grup, rezultă că fiecare semiperioadă a curentului va trebui să fie furnizată prin unul din cele două grupuri, situație ce poate fi reprezentată simbolic [78] ca în fig.4.11.

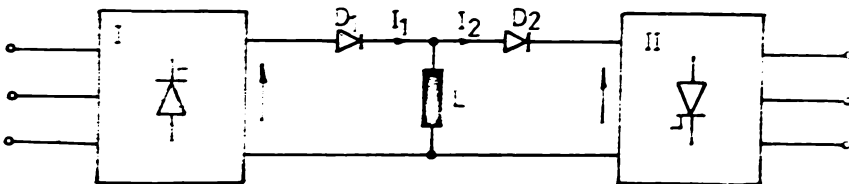


Fig.4.11

Schemă explicativă privind convertizorul direct.

În această schemă diodele  $D_1$  și  $D_2$  simoclizează caracterul unidirecțional al curentului fiecărui grup.

În cazul practic al unui convertizor direct de tensiune și frecvență, inegalitățile existente între tensiunile celor două grupuri duc la apariția unui curent de circulație care depinde de valoarea inductivității de amortizare din circuit.

Valoarea acestui curent de circulație poate fi limitat sau chiar anulat prin alegerea potrivită a bobinei de selfinducție și prin comanda unghiurilor de aprindere ale grupurilor componente conform relației (4.14).

În principiu pot fi deci analizate cele două situații de funcționare, adică cu sau fără curent de circulație.

În cazul ideal când  $\alpha_I + \alpha_{II} = 180^\circ$ , se poate scrie pentru fiecare din cele două grupuri valoarea tensiunii de ieșire, obținând relații asemănătoare cu (4.6) și (4.7).

Unghiul de comandă  $\alpha$  va trebui să oscileze în jurul poziției de echilibru definit pentru fiecare grup de convertizor astfel încât acesta să furnizeze o tensiune a cărei valoare medie este tensiunea sinusoidală dorită. Matematic aceasta se exprimă prin relația:

$$\alpha = \frac{\pi}{2} - \alpha(\vartheta_i) \tag{4.15}$$

unde  $\alpha(\vartheta_i)$  este o funcție prin care se fixează valoarea instantanee a unghiului, determinând tensiunea sinusoidală de ieșire dorită care are valoarea:

$$u_i = U_c \max \sin \vartheta_i \tag{4.16}$$

Unghiul  $\alpha$  corespunzător poziției de echilibru pentru care tensiunea de ieșire are valoarea nulă este egal cu  $\pi/2$ . Frecvența cu care oscilează unghiul  $\alpha(\vartheta_i)$  în jurul lui zero este egală cu frecvența tensiunii de ieșire. Amplitudinea tensiunii de ieșire este dependentă de amplitudinea de oscilație, putând să fie modificată între valoarea zero și cea corespunzătoare lui  $\alpha(\vartheta_i) = \pm \pi/2$ . Datorită acestui fapt rezultă că perioada dreptunghiurilor reprezentând funcția  $F(\vartheta, \alpha)$  din fig.4.5 mai avea valoarea  $2\pi/3$  din perioada tensiunii de alimentare decât în cazuri particulare, cum este cel reprezentat în fig.4.11 cu linie întreruptă corespunzătoare unei tensiuni de ieșire nule.

La o comandă cu o tensiune de referință de tip sinusoidal, sincronă cu tensiunea de alimentare, se obține variația funcției  $F(\vartheta, \alpha)$  de forma celei reprezentate cu linie plină în fig.4.12 [78].

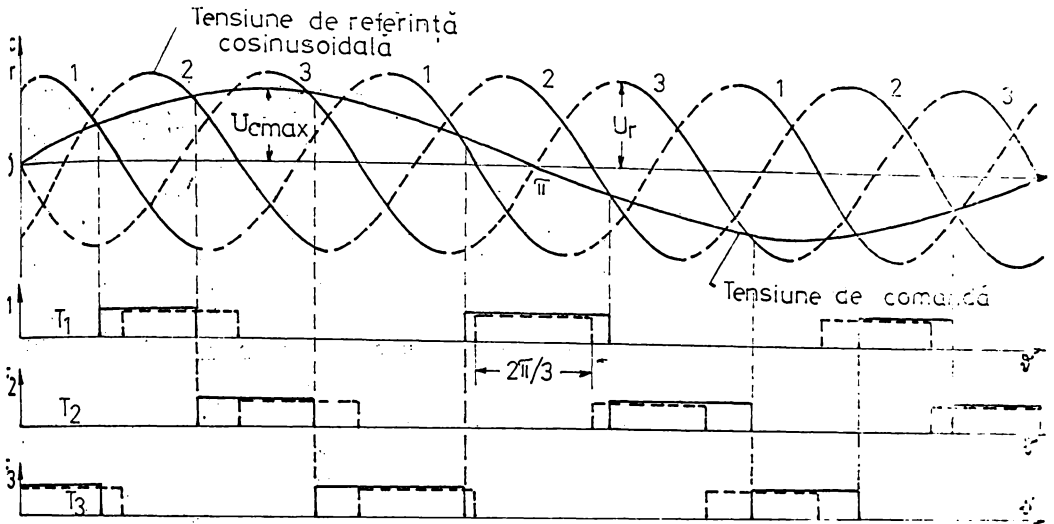


Fig.4.12

Variația funcției  $F(\psi, \alpha)$ : —funcția  $F$  pentru tensiune de comandă sinusoidală; ---funcția  $F$  pentru tensiune de ieșire nulă.

Aceste considerații duc la concluzia că tensiunea de ieșire a fiecărui grup poate fi exprimată sub forma (4.2) la care se adaugă o serie de termeni de corecție care țin cont de faptul că funcția  $F(\psi, \alpha)$  nu are o durată egală cu  $2\pi/3$  din cauza defazajului suplimentar  $\Delta\alpha(\psi_i, U_{c \max})$

Se poate scrie în acest caz pentru tensiunea celor două grupuri:

$$U_{I} = U_m \sin\psi F\left[\psi - \frac{\pi}{2} + \alpha(\psi_i)\right] \left\{ 1 - F\left[\psi + \frac{\pi}{2} + \alpha(\psi_i) + \Delta\alpha(\psi_i, U_{c \max})\right] + U_m \sin\left(\psi - \frac{2\pi}{3}\right) F\left[\psi - \frac{\pi}{2} + \alpha(\psi_i) - \frac{2\pi}{3}\right] \left[ 1 - F\left[\psi - \frac{\pi}{2} + \alpha(\psi_i) + \Delta\alpha(\psi_i, U_{c \max})\right] + U_m \sin\left(\psi + \frac{2\pi}{3}\right) F\left[\psi - \frac{\pi}{2} + \alpha(\psi_i) - \frac{4\pi}{3}\right] \left[ 1 - F\left[\psi - \frac{\pi}{2} + \alpha(\psi_i) + \Delta\alpha(\psi_i, U_{c \max})\right] \right] \right\}$$

respectiv:

$$U_{II} = U_m \sin\psi F\left[\psi + \frac{\pi}{2} - \alpha(\psi_i)\right] \left\{ 1 - F\left[\psi + \frac{\pi}{2} - \alpha(\psi_i) - \Delta\alpha(\psi_i, U_{c \max})\right] + U_m \sin\left(\psi - \frac{2\pi}{3}\right) F\left[\psi + \frac{\pi}{2} - \alpha(\psi_i) - \frac{2\pi}{3}\right] \left[ 1 - F\left[\psi + \frac{\pi}{2} - \alpha(\psi_i) - \Delta\alpha(\psi_i, U_{c \max})\right] + U_m \sin\left(\psi + \frac{2\pi}{3}\right) F\left[\psi + \frac{\pi}{2} - \alpha(\psi_i) - \frac{4\pi}{3}\right] \left[ 1 - F\left[\psi + \frac{\pi}{2} - \alpha(\psi_i) - \Delta\alpha(\psi_i, U_{c \max})\right] \right] \right\}$$

Prin transformări matematice aceste relații pot fi aduse și sub alte forme din care să rezultă expresii pentru calculul comutațiilor pentru un unghi egal cu  $2\pi/3$ .

defazajului suplimentar  $\Delta\alpha(\vartheta_1, U_{c \max})$  [78].

După același procedeu se poate obține un sistem trifazat de tensiuni de la trei convertizoare directe monofazate (mutatoare reversibile), ținând cont că între unghiurile de comandă ale celor trei convertizoare componente trebuie să existe relația:

$$\alpha_2(\vartheta_1) = \alpha_1(\vartheta_1) - \frac{2\pi}{3} \quad (4.19)$$

$$\alpha_3(\vartheta_1) = \alpha_1(\vartheta_1) + \frac{2\pi}{3} \quad (4.20)$$

în care  $\alpha_1$ ,  $\alpha_2$  și  $\alpha_3$  sînt unghiurile de comandă corespunzătoare celor trei faze.

În cazul convertizoarelor cu circulație de curent, valoarea tensiunii de ieșire este:

$$U = \frac{U_I + U_{II}}{2} \quad (4.21)$$

La convertizoarele fără circulație de curent, dat fiind că sarcina influențează direct perioada de conducție a fiecărui grup de convertizor prin unghiul  $\varphi$  și  $\cos \varphi$ , vor trebui introduse noi funcții de tip logic, avînd o valoare unitară sau nulă, funcție de durata de conducție și de blocaj a fiecărui grup în parte. Tensiunea de ieșire va fi:

$$U' = U_I F_1' + U_{II} F_2' \quad (4.22)$$

unde  $F_1'$  și  $F_2'$  sînt funcții de tip logic exprimate tot prin seriile Fourier.

Prin combinații adecvate ale montajelor de bază se pot obține și scheme cu rapoarte de pulsație superioare, reducîndu-se în acest fel conținutul de armonici, dar complicînd schema convertizorului.

Funcțiile  $\alpha(\vartheta_1)$  și  $\Delta\alpha(\vartheta_1, r)$  pentru cazul convertizoarelor directe depînd de modul de comandă al acestora. Pentru comandă cu o tensiune de referință cosinusoidală (fig.4.12) care conduce la distorsiune minimă se obține :

$$\alpha(\vartheta_1) = \arcsin(r \cdot \sin \vartheta_1) \quad (4.23)$$

unde  $r$  este raportul dintre amplitudinea tensiunii de comandă și a celei de referință.

Relația (4.23) se poate scrie și sub forma:

$$\sin \alpha(\vartheta_1) = r \sin \vartheta_1. \quad (4.24)$$

De asemenea pentru cazul cînd unghiul de defazaj este  $(\alpha + 4\alpha)$  rezultă:

$$\sin(\alpha + \Delta\alpha) = r \sin\left(\vartheta_i + \frac{f_i}{f} \frac{2\pi}{3} - \frac{f_i}{f} \Delta\alpha\right) \quad (4.25)$$

unde  $f_i$  este frecvența fundamentalei tensiunii de ieșire;  
 $f$  - frecvența tensiunii de alimentare a convertizorului.

Desigur că pot fi alese și alte tipuri de comandă, funcție de conținutul de armonici și valoarea unora dintre ele.

Analiza armonică a tensiunii de ieșire a convertizoarelor directe relevă faptul că atât valoarea tensiunii continue, deci a armonicii fundamentale cât și a celorlalte armonici este dependentă de unghiul de comandă  $\alpha$  și numărul de pulsuri. Alegerea acestor mărimi se va face ținând seama de cerințele mașinilor electrice alimentate. Un număr mic de elemente semiconductoare determină armonici de ordin inferior cu pondere mare, utilizarea lor este însă bună și schemele de comandă mai simple. Convertizoarele directe cu un număr mare de elemente semiconductoare permit obținerea unor armonici mai reduse. Trebuie remarcat faptul că asupra conținutului de armonici din tensiunea de ieșire influențează și inductivitățile din circuitul de utilizare.

#### 4.3. Analiza armonică a tensiunii furnizate de convertizoarele indirecte

Convertizoarele indirecte, mult mai răspândite în sistemele de acționare cu mașini asincrone și mult diferite din punct de vedere constructiv pot fi reduse, așa cum s-a văzut în cap.3, la combinații de montaje având schemele de principiu prezentate în fig.3.12 și 3.18 pentru alimentare monofazată și schema din fig.3.14, la alimentare trifazată.

În principiu convertizoarele indirecte destinate alimenterii mașinilor asincrone prezintă trei posibilități de modificare a tensiunii de ieșire funcție de frecvență pentru se asigura funcționarea mașinii în una din ipotezele de variație tensiune-frecvență prezentate în cap.2. Astfel, modificarea tensiunii de ieșire se poate face [20], [88], [109], [112]

- 1 - în circuitul intermediar de curent continuu, adică înainte de inverter;
- 2 - după inverter, adică în circuitul de alimentare mașinii;
- 3 - în inverter.

1. Modificarea tensiunii aplicate invertorului, adică a tensiunii continue din circuitul intermediar prezintă următoarele particularități:

a. Necesitatea unui redresor comandat care să permită obținerea tensiunii continue variabile după o lege impusă, funcție de frecvența de ieșire din convertizor.

b. Forma undei de tensiune dată de invertor se va păstra fiind independentă de valoarea tensiunii continue deoarece perioadele de conducție ale tiristoarelor principale din componenta invertorului este constantă, ceea ce înseamnă că se va modifica doar amplitudinea tensiunii continue.

c. Conținutul de armonici din tensiunea de ieșire este practic constant păstrându-se forma undei de tensiune și la valori mici ale acesteia.

d. Sistemele de comandă ale acestor convertizoare sunt relativ simple, dar, pe lângă cel al invertorului este necesar și un sistem de comandă pentru redresor fapt care face ca această soluție să fie la fel de complicată cu alte sisteme de modificare a tensiunii.

e. Constanta de timp a circuitului de modificare a tensiunii funcție de frecvență este mare, ceea ce determină un răspuns lent al sistemului.

f. Din cauza tensiunii continue variabile a circuitului intermediar energia înmagazinată în condensatoarele de comutație nu este constantă, ci dependentă de patratul tensiunii:

$$W_c = \frac{1}{2} C u^2$$

În cazul frecvențelor mici pentru care tensiunea de ieșire și tensiunea continuă  $u$  este redusă, în condensatoarele menționate pentru funcționarea la tensiunea nominală nu se va înmagazina o energie suficientă pentru asigurarea comutației, adică condensatoarele de comutație sînt dimensionate pentru asigurarea energiei necesare la tensiuni joase, la tensiuni și frecvențe mari pierderile prin comutație și curenții de disociație vor fi exagerat de mari, ceea ce ar atrage după sine necesitatea supradimensionării întregului circuit [88].

Aceste particularități au făcut ca această soluție, deși simplă în aparență, să fie utilizată relativ restrîns și numai acolo unde viteza de răspuns la modificarea regimului de funcționare al mașinii de lucru nu trebuie să fie prea mare.

2. Metoda de modificare a tensiunii alternative după ieșirea din convertizor prezintă marele avantaj al unei tensiuni continue a circuitului intermediar constante și al perioadei de conducție a tiristoarelor principale constante, deci forma tensiunii inverterului este aceeași, iar conținutul de armonici constant.

Modificarea amplitudinii tensiunii alternative funcție de frecvență se poate face prin metodele clasice [79]- autotransformatoare, amplificatoare magnetice, bobine saturate, regulatoare de inducție, inserierea mai multor convertizoare și modificarea tensiunii prin modificarea defazajului dintre tensiunile de ieșire ale lor etc.

Această soluție permite modificarea tensiunii în limite restrânse, factorul de putere al instalațiilor prin conectarea de noi elemente de circuit inductive se micșorează, schemele de comandă sînt complicate și destul de costisitoare [111], fapt pentru care se folosește rar.

3. Modificarea tensiunii în inverterul convertizorului, modificare care se realizează prin modificarea duratei de conducție a tiristoarelor principale, prezintă marele avantaj al unei tensiuni continue constante - redresorul din componența convertizorului fiind un redresor necomandat - și a posibilității de dimensionare cu precizie a condensatoarelor de comutație în vederea înmagazinării unei energii suficiente pentru asigurarea comutației corecte în orice regim de funcționare a mașinii asincrone [20], [56].

Valoarea tensiunii de ieșire a convertizorului se poate modifica prin defazajul relativ al unităților ce alimentează sarcina și prin modularea în durată sau amplitudine a impulsurilor de tensiune (§ 3.3.2).

Intrucît majoritatea convertizoarelor de tensiune de frecvență folosesc aceste procedee de modificare a tensiunii de ieșire s-a considerat necesar a le prezenta mai pe larg în cele ce urmează.

#### 4.3.1. Convertizoare cu modificare a tensiunii prin defazaj

Convertizoarele indirecte cu modificare a tensiunii de ieșire prin defazaj sînt constituite din invertoare de formă din fig.3.18, alimentarea sarcinii făcîndu-se prin comutația succesivă la polul pozitiv sau negativ al sursei de tensiune continuă, unghiul de conducție al tiristoarelor fiind de

Forma tensiunii ce se obține la bornele A și B cu schema din fig.3.19 pentru diferite defazaje între unghiul de comandă al celei de a doua unități față de prima unitate este reprezentată în fig.4.13.

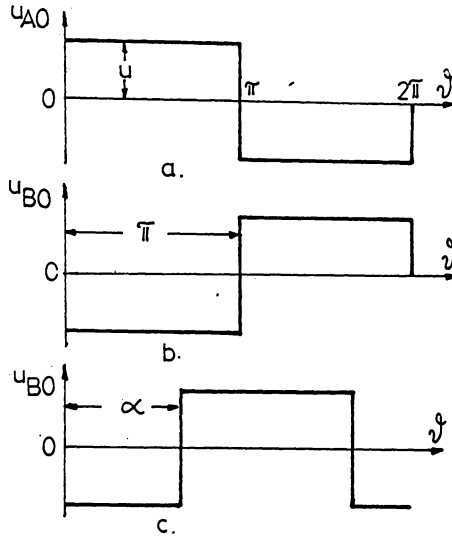


Fig.4.13

Tensiunea de ieșire în punctele A și B față de punctul median: a - tensiunea  $u_{A0}$ ; b - tensiunea  $u_{B0}$  pentru defazaj egal cu  $\pi$  al unității II față de prima; c - tensiunea  $u_{B0}$  pentru defazaj  $\alpha$ .

Tensiunile  $u_{A0}$  și  $u_{B0}$  se pot descompune în serie Fourier de forma:

$$u_{A0} = \frac{4u}{\pi} \left[ \sin v_i + \frac{1}{3} \sin 3v_i + \frac{1}{5} \sin 5v_i + \dots \right] \quad (4.26)$$

și

$$u_{B0} = \frac{4u}{\pi} \left[ \sin (v_i - \alpha) + \frac{1}{3} \sin 3(v_i - \alpha) + \frac{1}{5} \sin 5(v_i - \alpha) + \dots \right] \quad (4.27)$$

Tensiunea  $u_{AB}$  este dată de relația:

$$\begin{aligned} u_{AB} = u_{A0} - u_{B0} &= \frac{4u}{\pi} \left[ \sin v_i - \sin (v_i - \alpha) \right] + \frac{1}{3} \left[ \sin 3v_i - \sin 3(v_i - \alpha) \right] + \dots \\ &= \frac{8u}{\pi} \left[ \sin \frac{\alpha}{2} \cos \left( v_i - \frac{\alpha}{2} \right) + \frac{1}{3} \sin \frac{3\alpha}{2} \cos 3 \left( v_i - \frac{\alpha}{2} \right) + \dots \right] = \\ &= \sum_{\nu=1}^{\infty} \frac{8 \cdot u}{(2\nu-1)\pi} \sin(2\nu-1) \frac{\alpha}{2} \cos(2\nu-1) \left( v_i - \frac{\alpha}{2} \right). \end{aligned} \quad (4.28)$$

Corespunzător relației (4.28) se obțin armonicile tensiunea de ieșire pentru orice valoare a unghiului  $\alpha$  între cele două unități. Conținutul de armonici al

de ieșire este dependent de unghiul  $\alpha$ .

#### 4.3.2. Convertizoare cu tensiune a circuitului intermediar variabilă

Convertizoarele trifazate de acest tip (fig.3.14) se compun dintr-un redresor de tensiune variabilă și trei invertoare monofazate cu schema de principiu dată în fig.3.12. De aceea obținerea expresiei tensiunii de linie se face simplu, exprimând defazajul relativ al celor trei unități una în raport cu celelalte care este de  $\pm 2\pi/3$ . Rezultă deci, pentru tensiunea de linie, o expresie de forma relației (4.28), adică:

$$u_{RS} = \sum_{\nu=1}^{\infty} \frac{8u}{(2\nu-1)\pi} \sin(2\nu-1) \frac{\pi}{3} \cos(2\nu-1) (\nu_1 - \frac{\pi}{3}) \quad (4.28)$$

cu reprezentarea grafică din fig.3.16 unde însă tensiunea continuă  $u$  este variabilă.

Pentru acest caz de variație a tensiunii, armonicile de ordinul 3 și multiplii lor se anulează. Forma tensiunii de ieșire păstrându-se aceeași, înseamnă că la aceste convertizoare ponderea armonicilor este constantă, independent de tensiunea  $u$ .

#### 4.3.3. Convertizoare cu modificare a tensiunii prin modulare în durată a impulsurilor

Aceste convertizoare, cu tensiune a circuitului intermediar constantă, permit obținerea unor impulsuri (suboscilații) a căror durată sau valoare medie variază liniar sau sinusoidal în timp, după forma de variație a tensiunii de comandă.

##### 4.3.3.1. Modulare liniară a impulsurilor

Modularea de tip liniar a impulsurilor presupune înlocuirea tensiunilor de formă rectangulară (fig.3.13) prin mai multe impulsuri de durată egală. Modificarea duratei impulsurilor și deci a valorii medii a tensiunii se realizează prin variația liniară a tensiunii de comandă care, pentru fixarea acestei rate, se compară cu o tensiune de referință în dinți de ferăstrău.

Considerând un convertizor indirect având un invertoare cu schema de principiu dată în fig.3.12, care alimentează o sarcină rezistivă și divizând semiperioada de conducție de  $180^\circ$  a tiristoarelor în mai multe subintervale egale, de perioadă  $\alpha$ , se obține o tensiune de ieșire de forma celei din fig.4.1.

Corespunzător acestei forme a tensiunii de ieșire din convertizorul, fiecare tiristor trebuie să conducă și să

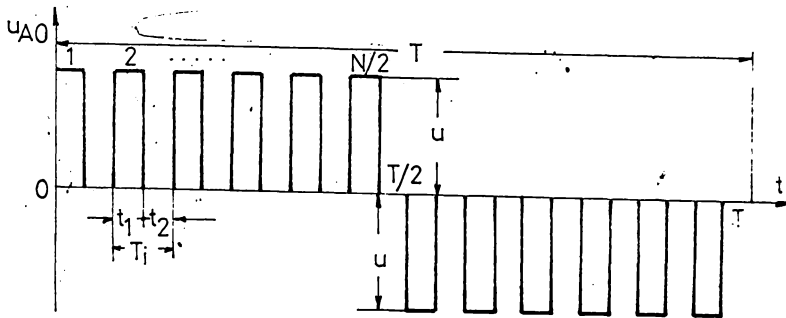


Fig.4.14

Tensiunea de ieșire a unui invertor monofazat cu punct median.

blocheze repetat pe durata unei semiperioade a tensiunii de ieșire.

Suboscilațiile ce se obțin au o durată egală și constantă la un anumit nivel al tensiunii de comandă, prin modificarea ei. Dacă se schimbă valoarea tensiunii de ieșire. Numărul de impulsuri pe o perioadă a tensiunii de ieșire depinde de mai mulți factori, cei mai importanți fiind: conținutul de armonici în tensiunea de ieșire, domeniul de modificare al tensiunii și frecvenței convertizorului, pierderile prin comutație, timpul de comutație, etc.

Conținutul de armonici din tensiunea de ieșire este dependent de durata impulsurilor. Pe măsură ce durata impulsurilor scade conținutul în armonici crește.

Totuși rezultatele ce se obțin prin acest procedeu sunt mai bune, din punct de vedere al conținutului de armonici în semiperioade, decât în cazul convertizoarelor cu modificare a tensiunii prin defazaj.

Perioada impulsurilor  $T_i$  este legată de perioada duratei tensiunii de ieșire  $T$ , prin relația:

$$T_i = \frac{T}{N} = \frac{T}{3n} \quad (4.1)$$

unde prin  $N$  s-a notat numărul de impulsuri pe o perioadă, iar prin  $n$  numărul de impulsuri pe  $1/3$  din perioadă ( $120^\circ$  cl).

Cu notațiile din fig.4.14 se poate defini mărimea  $\varepsilon$ , numită durată relativă a impulsurilor, prin relația:

$$\varepsilon = \frac{t_1}{t_1 + t_2} = \frac{t_1}{T_i}$$

În (4.30)  $t_1$  reprezintă durata impulsului, iar  $t_2$  - pauza dintre două impulsuri succesive.

Ținând seama de mărimile  $T_i$  și  $\epsilon$  introduse prin expresiile (4.29) și (4.30), relația (4.28) care exprimă tensiunea de linie a convertizorului trifazat se scrie sub forma:

$$\begin{aligned}
 u_{RS} &= \sum_{k=1}^{k=n} \sum_{\nu=1}^{\infty} \frac{8u}{(2\nu-1)\pi} \sin(2\nu-1) \epsilon \frac{\pi}{3n} \cos(2\nu-1) \left[ \varphi_i - (k-1) \frac{2\pi}{3n} - \frac{\epsilon\pi}{3n} \right] = \\
 &= \sum_{\nu=1}^{\infty} \frac{8u}{(2\nu-1)\pi} \frac{\sin(2\nu-1) \frac{\epsilon\pi}{3n}}{\sin(2\nu-1) \frac{\pi}{3n}} \sin(2\nu-1) \frac{\pi}{3n} \cos(2\nu-1) \left[ \varphi_i + (1-\epsilon) \frac{\pi}{3n} - \frac{\pi}{3n} \right]
 \end{aligned}
 \tag{4.31}$$

Din forma relației (4.31) rezultă imediat că armonicile de ordinul trei și multiplii săi sînt nuli.

În cazul unui convertizor trifazat, avînd schema de principiu din fig.3.14 și funcționînd după principiul suboscilației cu perioadă de conducție pentru fiecare tiristor de  $1/2 T$ , se obține un sistem de tensiuni trifazat, tensiunile de linie avînd forma dată în fig.4.15.

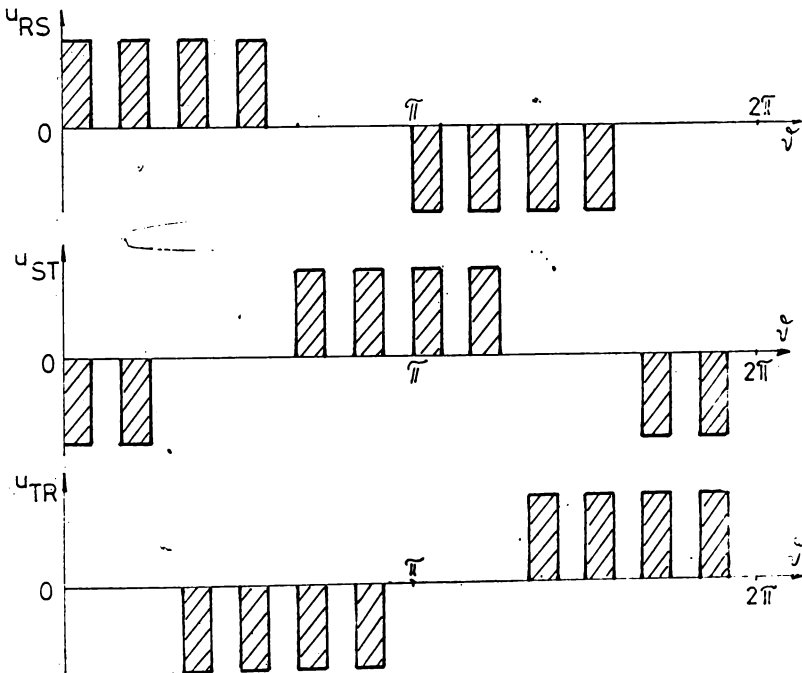


Fig.4.15

Forma tensiunilor de linie în cazul modulației...

Dacă sarcina convertizorului are caracter inductiv apar procese tranzitorii mai complicate, curenți de circulație determinați de energia înmagazinată în inductivitatea circuitului și ca urmare un conținut mai mare de armonici.

În partea experimentală a lucrării sînt calculate armonicile tensiunii convertizorului cu această formă pentru trei valori ale lui  $N$ .

Se prezintă de asemenea comparația între rezultatele teoretice și experimentale pentru valoarea lui  $N = 12$ .

#### 4.3.3.2. Modulare de tip sinusoidal al impulsurilor.

Reducerea conținutului de armonici de frecvență joasă din tensiunea de ieșire se poate face prin modularea în durată a impulsurilor astfel încît valoarea medie a acestora să varieze sinusoidal pe o perioadă [81].

Conținutul armonicilor din tensiunea convertizoarelor formată din impulsuri a căror valoare medie variază sinusoidal, depinde direct de modul de fixare al momentelor în care se face comutația tiristoarelor. Aceste momente rezultă prin compararea valorii unei tensiuni de comandă sinusoidale cu o tensiune de referință triunghiulară.

Pentru exemplificare se va considera cazul unui convertizor trifazat cu schema de principiu a inverterului dată în fig. 4.16.

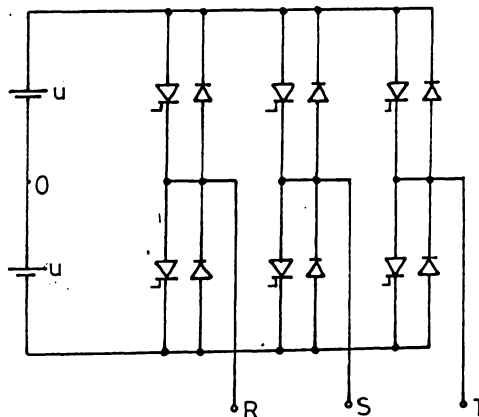


Fig.4.16

Schema de principiu a unui inverter trifazat cu modulare în durată a impulsurilor.

În principiu pot fi analizate mai multe situații de modulare după forma tensiunii de referință triunghiulară.

Tensiunea de referință folosită pentru realizarea comenzi convertizoarelor de tensiune cu modulare în durată a impulsurilor poate avea următoarele forme de variație (fig.4.17):

- tensiune de referință unilaterală nesimetrică cu front crescător liniar variabil (cu deplasarea frontului posterior), fig.4.17.a, care va fi denumită în continuare tensiune unilaterală nesimetrică cu front crescător;

- tensiune de referință unilaterală nesimetrică cu front descrescător liniar variabil (cu deplasarea frontului anterior), fig.4.17.b, care va fi denumită tensiune unilaterală nesimetrică cu front descrescător;

- tensiune de referință unilaterală simetrică, fig. 4.17.c;

- tensiune de referință bilaterală nesimetrică cu front crescător, fig.4.17.d;

- tensiune de referință bilaterală nesimetrică cu front descrescător, fig.4.17.e;

- tensiune de referință bilaterală simetrică, fig.4.17.f.

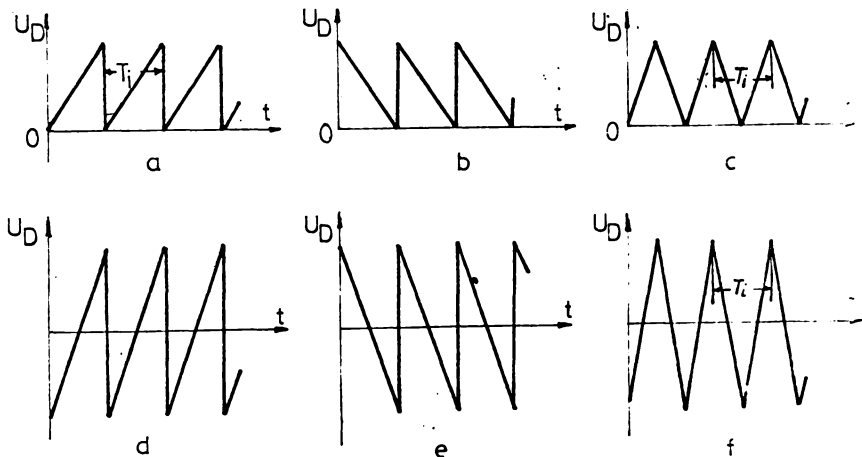


Fig.4.17.

Forma tensiunilor de referință folosite la modularea în durată a impulsurilor.

a. Modularea cu tensiune de referință unilaterală

a<sub>1</sub>. Tensiune de referință nesimetrică cu front crescător (fig.4.18).

În cazul acestei modulări, în funcție de amplitudinea tensiunii de comandă sinusoidale se modifică durata și valoarea medie a impulsurilor care constituie tensiunea de ieșire,

în vedere că momentele comutațiilor tiristoarelor principale variază.

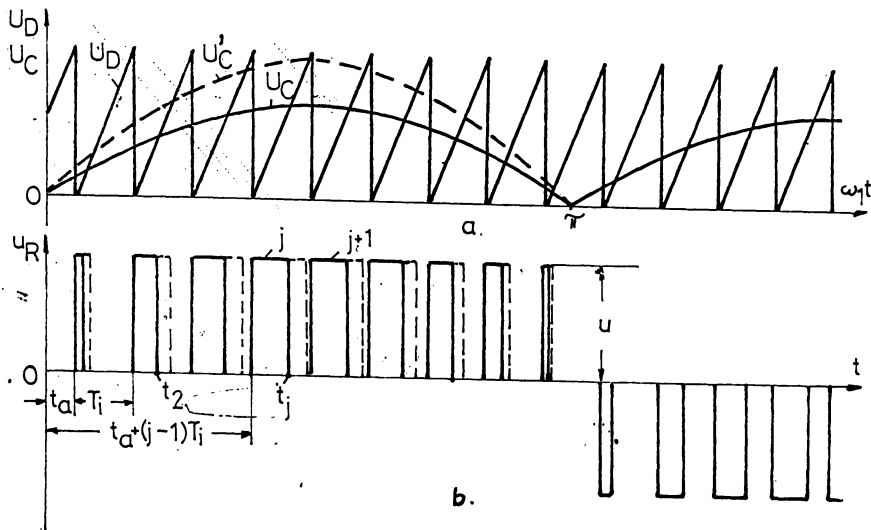


Fig.4.18

Forma tensiunilor la modularea cu tensiune de referință nesimetrică cu front crescător:  
 a - tensiunea de referință și de comandă;  
 b - tensiunea de ieșire a convertizorului.

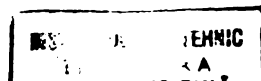
Tiristoarele principale ale convertizorului încep să conducă în momentele  $t_a$ ,  $t_a + T_i$ , ... și se blochează în momentele  $t_j$ , determinate de intersecția tensiunii de comandă cu trenul de impulsuri al tensiunii de referință (fig.4.18.a).

Tensiunea de ieșire se compune dintr-o serie de impulsuri a căror durată (lățime) evoluează după o lege sinusoidală pe perioadă în așa fel încît și valoarea medie variază sinusoidal (fig.4.18.b). Valoarea maximă a duratei impulsurilor determină direct amplitudinea maximă a fundamentalei tensiunii de ieșire care vrem să o obținem.

Perioada tensiunii de referință (triunghiulară simetrică sau nesimetrică)  $T_i$  este dependentă de perioada tensiunii de ieșire și a tensiunii sinusoidale de comandă  $T$ , între ele existînd relația:

$$T_i = \frac{T}{N} \quad (4.17)$$

unde  $N$  - numărul de impulsuri pe o perioadă - este un număr întreg și multiplu de trei.



Tensiunea de comandă sinusoidală are expresia:

$$U_c = r U_D \sin \vartheta_i \quad (4.33)$$

unde  $U_D$  este amplitudinea tensiunii de referință de formă triunghiulară nesimetrică cu deplasarea frontului crescător;

$r$  - raportul dintre amplitudinea tensiunii de comandă și amplitudinea tensiunii de referință, numit și coeficient (factor) de modulare;

$\vartheta_i = \omega_1 t$  - argumentul funcției sinusoidale.

Pentru o comandă corespunzătoare trebuie îndeplinită condiția:

$$r \leq 1 \quad (4.34)$$

Impulsurile din care este formată tensiunea de ieșire - de formă rectangulară - apar în momentele fixe  $t_a, t_a + T_i, \dots$ , stabilite prin argumentele (v.fig.4.18.a):

$$\vartheta_{ij} = \vartheta_a + (j-1) \frac{2\pi}{N} = \vartheta_a + (j-1) T_i; \quad j = 1, 2, \dots, N, \quad (4.35)$$

iar durata lor este determinată prin relația implicită:

$$r U_D \sin(\vartheta_{ij} + \Delta\vartheta_{ij}) = \frac{U_D}{2\pi} \Delta\vartheta_{ij} \quad (4.36)$$

care poate fi scrisă și sub forma:

$$r U_D \sin \vartheta_{ij} \cos \Delta\vartheta_{ij} + r U_D \cos \vartheta_{ij} \sin \Delta\vartheta_{ij} = \frac{U_D}{2\pi} \Delta\vartheta_{ij} \quad (4.37)$$

Timpii la care tiristoarele se blochează, ținând seama de notațiile din fig.4.18.b sînt:

$$t_j = t_a + (j-1) T_i + r T_i \sin \omega_1 t_j \quad (4.38)$$

$$t_{j+1} = t_a + j T_i + r T_i \sin \omega_1 t_{j+1} \quad (4.39)$$

iar unghiurile:

$$\vartheta_{ij} + \Delta\vartheta_{ij} = \omega_1 t_j \quad (4.40)$$

$$\vartheta_{i(j+1)} + \Delta\vartheta_{i(j+1)} = \omega_1 t_{j+1} \quad (4.41)$$

Tensiunea medie pe intervalele  $t_a + (j-1) T_i$  și  $t_a + j T_i$  respectiv  $t_a + j T_i$  și  $t_a + (j+1) T_i$  este:

$$U_{med j} = r \cdot u \sin \omega_1 t_j \quad (4.42)$$

$$U_{med j+1} = r \cdot u \sin \omega_1 t_{j+1} \quad (4.43)$$

Tensiunea de fază a convertizorului are valoarea:

$$u_{R(t)} \begin{cases} u \frac{\sin \varphi_i}{|\sin \varphi_i|} = u \frac{\sin \omega_1 t}{|\sin \omega_1 t|} & \text{- pentru } t \in [t_a + (j-1)T_i, t_j] \\ 0 & \text{- pentru } t \in (t_j, t_a + jT_i) \end{cases} \quad (4.44)$$

a<sub>2</sub>. La modularea duratei impulsurilor cu o tensiune de referință triunghiulară nesimetrică cu front descrescător, situația fixării momentelor de comutație se arată în fig.4.19.

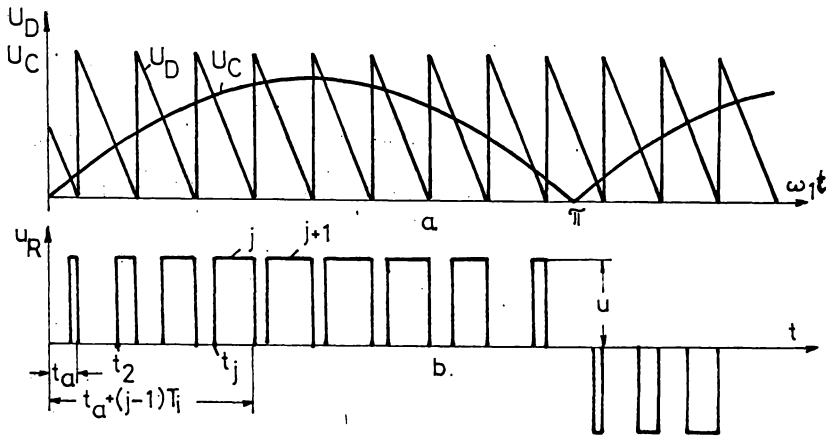


Fig.4.19

Forma tensiunilor la modularea cu tensiune de referință unilaterală nesimetrică, cu front descrescător: a - tensiunea de referință și de comandă; b - tensiunea de ieșire a convertizorului.

Tiristoarele aflate în conducție se blochează în momentele fixe definite prin timpii  $t_a, t_a + T_i, \dots, t_a + jT_i$ , respectiv unghiurile  $\varphi_{ij}$  și încep să conducă în momentele variabile  $t_j$ , determinate de valoarea relativă a amplitudinii tensiunii de comandă  $r$  și care pot fi calculate din relațiile:

$$t_j = t_a + (j-1)T_i - r T_i \sin \omega_1 t_j \quad (4.45)$$

$$t_{j+1} = t_a + jT_i - r T_i \sin \omega_1 t_{j+1} \quad (4.46)$$

Unghiurile la care se produce aprinderea tiristoarelor

sînt:

$$\varphi_{ij} - \Delta \varphi_{ij} = \omega_1 t_j \quad (4.47)$$

$$\varphi_{i(j+1)} - \Delta \varphi_{i(j+1)} = \omega_1 t_{j+1} \quad (4.48)$$

Duratele impulsurilor rezultă simplu:

$$\Delta t_j = t_a + (j-1)T_i - [t_a + (j-1)T_i - rT_i \sin \omega_1 t_j] = rT_i \sin \omega_1 t_j \quad (4.19)$$

$$\Delta t_{j+1} = t_a + jT_i - (t_a + jT_i - rT_i \sin \omega_1 t_{j+1}) = rT_i \sin \omega_1 t_{j+1} \quad (4.20)$$

Valoarea medie a tensiunilor impulsurilor în perioadele  $t_a + (j-2)T_i$  și  $t_a + (j-1)T_i$ , respectiv  $t_a + (j-1)T_i$  și  $t_a + jT_i$  este:

$$U_{med j} = r u \sin \omega_1 t_j \quad (4.21)$$

și

$$U_{med j+1} = r u \sin \omega_1 t_{j+1} \quad (4.22)$$

La bornele unei faze a convertizorului se obține tensiunea:

$$u_R(t) = \begin{cases} u \frac{\sin \omega_1 t}{|\sin \omega_1 t|} & - \text{pentru } t \in [t_j, t_a + (j-1)T_i] \\ 0 & - \text{pentru } t \in (t_a + (j-2)T_i, t_j) \end{cases} \quad (4.23)$$

a<sub>3</sub>. Modificarea valorii tensiunii de ieșire la modularea unilaterală a impulsurilor cu o tensiune de referință de formă triunghiulară simetrică este prezentată în fig.4.20.

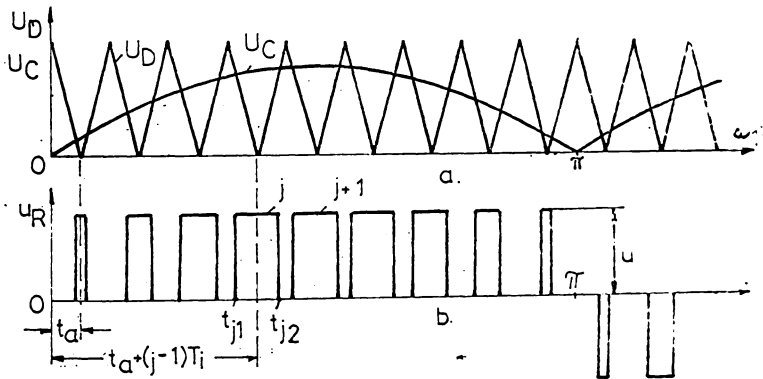


Fig.4.20

Forma tensiunilor la modularea unilaterală cu tensiune de referință simetrică: a - tensiunea de referință și de comandă; b - tensiunea de ieșire a convertizorului.

În acest caz perioada tensiunii de referință este egală cu perioada tensiunii de comandă și se modifică prin virfurile ei, modificarea intervalului de conducție realizându-se prin modificarea amplitudinii tensiunii de comandă.

Momentele de conducție și de blocare ale tiristoarelor își schimbă poziția în fiecare perioadă a tensiunii de referință.

Aceste momente se pot determina din intersecția frontului tensiunii de referință cu tensiunea de comandă rezultând relațiile implicite:

$$t_{j1} = t_a + (j-1)T_i - r \frac{T_i}{2} \sin \omega_1 t_{j1} \quad (4.54)$$

$$t_{j2} = t_a + (j-1)T_i + r \frac{T_i}{2} \sin \omega_1 t_{j2} \quad (4.55)$$

Durata impulsului modulat este:

$$\Delta t_j = t_{j2} - t_{j1} = r \frac{T_i}{2} (\sin \omega_1 t_{j1} + \sin \omega_1 t_{j2}) \quad (4.56)$$

Valoarea tensiunii medii pe o perioadă în intervalul

$t_j - \frac{T_i}{2}$  și  $t_j + \frac{T_i}{2}$  este:

$$U_{med j} = u \frac{\Delta t_j}{T_i} = \frac{1}{T_i} r u \frac{T_i}{2} (\sin \omega_1 t_{j1} + \sin \omega_1 t_{j2}) = \frac{r u}{2} (\sin \omega_1 t_{j1} + \sin \omega_1 t_{j2}) \quad (4.57)$$

iar valoarea tensiunii de fază:

$$u_R(t) = \begin{cases} u \frac{\sin \omega_1 t}{|\sin \omega_1 t|} & \text{-pentru } t \in [t_{j1}, t_{j2}] \\ 0 & \begin{cases} \text{-pentru } t \in [t_a + (j-1)T_i - \frac{T_i}{2}, t_{j1}] \\ \text{și pentru } t \in [t_{j2}, t_a + (j-1)T_i + \frac{T_i}{2}] \end{cases} \end{cases}$$

**b. Modularea cu tensiune de referință bilaterală**

Comanda convertizoarelor cu modulare prin durată a impulsurilor se poate face și cu o tensiune de referință bilaterală, caz în care tiristoarele unei faze conduc alternativ în fiecare semiperioadă a tensiunii de ieșire.

b<sub>1</sub>. Momentele în care tiristoarele se aprind și se blochează, respectiv duratele impulsurilor de tensiune la o modulare cu

tensiune de referință bilaterală nesimetrică cu front crescător (fig. 4.2)

sînt:  $t_{j1} = t_a + (j-1)T_i \quad (4.58)$

$$t_{j2} = t_a + (j-1)T_i + \frac{T_i}{2} + \frac{T_i}{2} r \sin \omega_1 t_{j2} \quad (4.59)$$

$$t_{(j+1)1} = t_a + jT_i \quad (4.60)$$

$$\Delta t_{j1} = t_{j2} - t_{ji} = \frac{T_i}{2} + \frac{T_i}{2} r \sin \omega_1 t_{j2} \quad (4.61)$$

$$\Delta t_{j2} = t_{(j+1)1} - t_{j2} = T_i - \frac{T_i}{2} - \frac{T_i}{2} r \sin \omega_1 t_{j2} = \frac{T_i}{2} - \frac{T_i}{2} r \sin \omega_1 t_{j2}$$

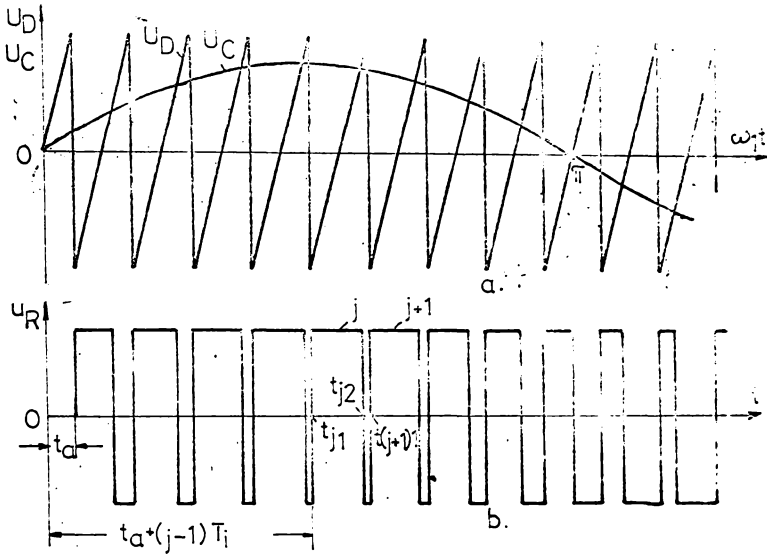


Fig.4.21

Modulare bilaterală cu tensiune de referință nesimetrică cu front crescător: a - tensiunea de referință și de comandă; b - tensiunea de ieșire a convertizorului.

Tensiunea medie pe perioada  $T_i$  a intervalului  $j$  este:

$$U_{med} = \frac{U}{T} (\Delta t_{j1} - \Delta t_{j2}) = u \cdot r \sin \omega_1 t_{j2} \quad (4)$$

iar valoarea tensiunii de fază:

$$u_R(t) = \begin{cases} u \text{-pentru } t \in [t_{j1}, t_{j2}] \\ -u \text{-pentru } t \in (t_{j2}, t_{(j+1)_1}) \end{cases} \quad (5)$$

b<sub>2</sub>. Modulare cu tensiune de referință cu front descrescător (fig.4.22).

$$\begin{aligned} t_{j1} &= t_a + (j-1)T_i \\ t_{j2} &= t_a + jT_i - \frac{T_i}{2} - \frac{T_i}{2} r \sin \omega_1 t_{j2} \\ t_{(j+1)_1} &= t_a + jT_i \end{aligned} \quad (6)$$

$$\Delta t_{j1} = t_{(j+1)_1} - t_{j2} = \frac{T_i}{2} + \frac{T_i}{2} r \sin \omega_1 t_{j2} \quad (7)$$

$$\Delta t_{j2} = t_{j2} - t_{j1} = \frac{T_i}{2} - \frac{T_i}{2} r \sin \omega_1 t_{j2}$$

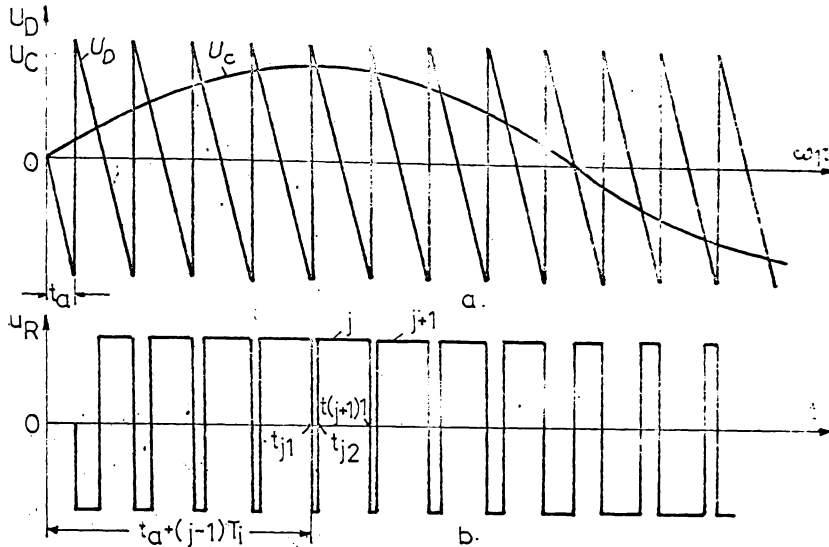


Fig.4.22

Forma de variație a tensiunilor la modularea bilaterală cu tensiune de referință nesimetrică cu front descrescător: a - tensiunea de referință și de comandă; b - tensiunea de ieșire a convertizorului.

Tensiunea medie:

$$U_{med} = u r \sin \omega_1 t_{j2} \quad (4.71)$$

Tensiunea de fază a convertizorului este:

$$u_R(t) = \begin{cases} -u & \text{pentru } t \in (t_{j1}, t_{j2}) \\ +u & \text{pentru } t \in [t_{j2}, t_{(j+1)1}] \end{cases} \quad (4.72)$$

b<sub>3</sub>. Modularea bilaterală cu tensiune de referință nesimetrică (fig.4.23).

Momentele în care încep să conducă și să se blocheze diodele

toărele sînt:

$$t_{j1} = t_a + (j-1)T_i - \frac{T_i}{4} - \frac{T_i}{4} r \sin \omega_1 t_{j1} \quad (4.73)$$

$$t_{j2} = t_a + (j-1)T_i + \frac{T_i}{4} + \frac{T_i}{4} r \sin \omega_1 t_{j2}$$

$$t_{(j+1)1} = t_a + j T_i - \frac{T_i}{4} - \frac{T_i}{4} r \sin \omega_1 t_{(j+1)1}$$

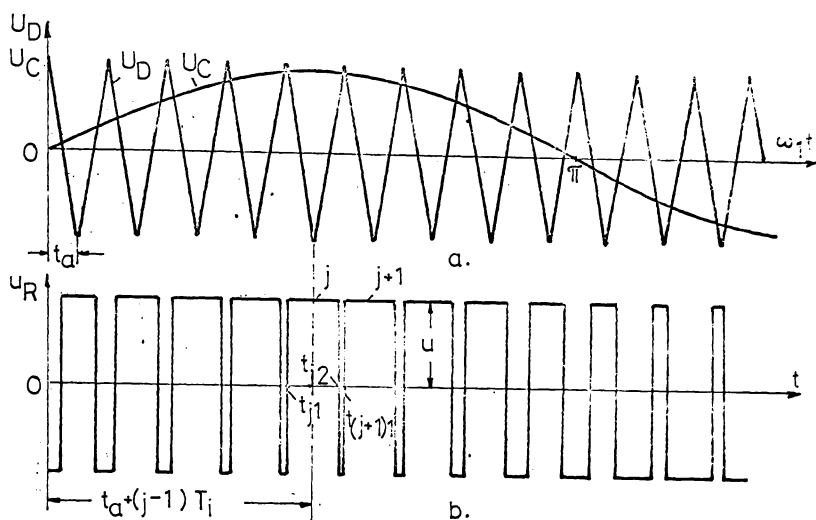


Fig.4.25

Modulare bilaterală cu tensiune de referință simetrică: a - tensiunea de referință și comandă; b - tensiunea convertizorului.

de unde rezultă ușor duratele impulsurilor:

$$\Delta t_{j1} = t_{j2} - t_{j1} = \frac{T_i}{2} + r \frac{T_i}{4} (\sin \omega_1 t_{j1} + \sin \omega_1 t_{j2}) \quad (4.76)$$

$$\Delta t_{j2} = t_{(j+1)_1} - t_{j2} = \frac{T_i}{2} - \frac{T_i}{4} r [\sin \omega_1 t_{j2} + \sin \omega_1 t_{(j+1)_1}] \quad (4.77)$$

Valoarea medie a tensiunii pe o perioadă corespunzătoare intervalului  $t_a^{(j-1)} T_i - \frac{T_i}{2}$  și  $t_a^{(j-1)} T_i + \frac{T_i}{2}$  este:

$$U_{med j} = \frac{ur}{2} (\sin \omega_1 t_{j1} + \sin \omega_1 t_{j2}) \quad (4.78)$$

iar valoarea tensiunii de fază pe diferitele intervale:

$$u_R(t) = \begin{cases} u & \text{pentru } t \in [t_{j1}, t_{j2}] \\ -u & \text{pentru } t \in (t_{(j-1)_2}, t_{j1}) \\ \text{și pentru } t \in (t_{j2}, t_{(j+1)_1}) \end{cases} \quad (4.79)$$

Pentru analiza armonică a tensiunii convertizorului se consideră dezvoltarea în serie Fourier a tensiunilor care se obțin la modularea unilaterală și bilaterală (fig.4.24).

Relația prin care se pot exprima tensiunile este [1]:

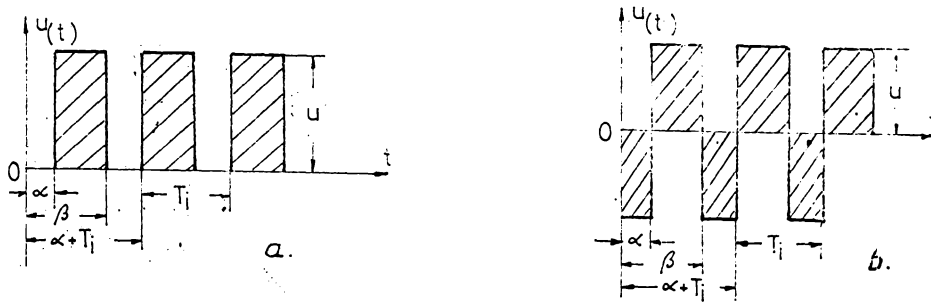


Fig.4.24

Forma tensiunii de legire a convertizcatorilor cu modulare în durată a impulsurilor; a - modulare unilaterială; b - modulare bilaterială.

$$u(t) = a_0 + \sum_{\nu=1}^{\infty} a_{\nu} \cos \nu \omega_1 t + \sum_{\nu=1}^{\infty} b_{\nu} \sin \nu \omega_1 t \quad (4.21)$$

relație în care coeficienții dezvoltării în serie sînt:

a. La modulare unilaterială:

$$a_0 = \frac{1}{T_i} \int_{\alpha}^{\alpha+T_i} u(t) dt = \frac{1}{T_i} \int_{\alpha}^{\beta} u dt = \frac{u}{T_i} (\beta - \alpha)$$

$$\begin{aligned} a_{\nu} &= \frac{2}{T_i} \int_{\alpha}^{\alpha+T_i} u(t) \cos \nu \omega_1 t dt = \frac{2}{T_i} \int_{\alpha}^{\beta} u \cdot \cos \nu \omega_1 t dt = \\ &= \frac{2}{2\pi} u \frac{1}{\nu} (\sin \nu \omega_1 \beta - \sin \nu \omega_1 \alpha) = \frac{2u}{\pi} \frac{1}{\nu} \sin \nu \omega_1 \frac{\beta - \alpha}{2} \cos \nu \omega_1 \frac{\beta + \alpha}{2} \end{aligned} \quad (4.22)$$

$$\begin{aligned} b_{\nu} &= \frac{2}{T_i} \int_{\alpha}^{\alpha+T_i} u(t) \sin \nu \omega_1 t dt = \frac{2}{T_i} \int_{\alpha}^{\beta} u \sin \nu \omega_1 t dt = \\ &= -\frac{2u}{2\pi} \frac{1}{\nu} (\cos \nu \omega_1 \beta - \cos \nu \omega_1 \alpha) = \frac{2u}{\pi} \frac{1}{\nu} \sin \nu \omega_1 \frac{\beta - \alpha}{2} \sin \nu \omega_1 \frac{\beta + \alpha}{2} \end{aligned} \quad (4.23)$$

și

$$\begin{aligned} u(t) &= \frac{u}{T_i} (\beta - \alpha) - \frac{2u}{\pi} \sum_{\nu=1}^{\infty} \left[ \frac{1}{\nu} \sin \nu \omega_1 \frac{\beta - \alpha}{2} \cos \nu \omega_1 \frac{\beta + \alpha}{2} \cos \nu \omega_1 t + \right. \\ &\quad \left. + \frac{1}{\nu} \sin \nu \omega_1 \frac{\beta - \alpha}{2} \sin \nu \omega_1 \frac{\beta + \alpha}{2} \sin \nu \omega_1 t \right] = \\ &= \frac{u}{T_i} (\beta - \alpha) + \frac{2u}{\pi} \sum_{\nu=1}^{\infty} \frac{1}{\nu} \sin \nu \omega_1 \frac{\beta - \alpha}{2} \cos \nu \omega_1 \left( t - \frac{\beta + \alpha}{2} \right) \end{aligned}$$

b. La modularea bilaterală:

$$u_o = \frac{1}{T_i} \int_{\alpha}^{\alpha+T_i} u(t) dt = \frac{1}{T_i} \int_{\alpha}^{\beta} u dt - \frac{1}{T_i} \int_{\beta}^{\alpha+T_i} u dt = \frac{u}{T_i} [2(\beta-\alpha) - T_i] \quad (4.66)$$

$$a_v = \frac{2}{T_i} \int_{\alpha}^{\alpha+T_i} u(t) \cos v \omega_1 t dt = \frac{2u}{T_i} \int_{\alpha}^{\beta} \cos v \omega_1 t dt - \frac{2u}{T_i} \int_{\beta}^{\alpha+T_i} \cos v \omega_1 t dt = \frac{4u}{\pi} \frac{1}{v} \sin v \omega_1 \frac{\beta-\alpha}{2} \cos v \omega_1 \frac{\beta+\alpha}{2} \quad (4.67)$$

$$b_v = \frac{2}{T_i} \int_{\alpha}^{\alpha+T_i} u(t) \sin v \omega_1 t dt = \frac{2u}{T_i} \int_{\alpha}^{\beta} \sin v \omega_1 t dt - \frac{2u}{T_i} \int_{\beta}^{\alpha+T_i} \sin v \omega_1 t dt = \frac{4u}{\pi} \frac{1}{v} \sin v \omega_1 \frac{\beta-\alpha}{2} \sin v \omega_1 \frac{\beta+\alpha}{2} \quad (4.87)$$

Tensiunea la borne este:

$$u(t) = \frac{u}{T_i} [2(\beta-\alpha) - T_i] + \frac{4u}{\pi} \sum_{v=1}^{\infty} \frac{1}{v} \left[ \sin v \omega_1 \frac{\beta-\alpha}{2} \cos v \omega_1 \frac{\beta+\alpha}{2} \cos v \omega_1 t + \sin v \omega_1 \frac{\beta-\alpha}{2} \sin v \omega_1 \frac{\beta+\alpha}{2} \sin v \omega_1 t \right] = \frac{u}{T_i} [2(\beta-\alpha) - T_i] + \frac{4u}{\pi} \sum_{v=1}^{\infty} \frac{1}{v} \sin v \omega_1 \frac{\beta-\alpha}{2} \cos v \omega_1 (t - \frac{\beta+\alpha}{2}) \quad (4.68)$$

În funcție de tipul de modulare folosit, se pune problema ca funcțiile  $\alpha$  și  $\beta$ , conform notațiilor din fig. 4.24, să coincidă cu funcțiile care definesc momentele de aprindere și stingere ale tiristoarelor adică:

a. Modularea unilaterală:

a<sub>1</sub>. Cu front crescător și tensiune nesimetrică:

$$\alpha_j(t) = t_a + (j-1)T_i \quad (4.69)$$

$$\beta_j(t) = t_a + (j-1)T_i + T_i r \sin \omega_1 t \quad (4.70)$$

a<sub>2</sub>. Cu front descrescător:

$$\alpha_j(t) = t_a + (j-1)T_i - T_i r \sin \omega_1 t \quad (4.71)$$

$$\beta_j(t) = t_a + (j-1)T_i \quad (4.72)$$

a<sub>3</sub>. Cu tensiune triunghiulară simetrică:

$$\alpha_j(t) = t_a + (j-1)T_i - r \frac{T_i}{2} \sin \omega_1 t \quad (4.73)$$

$$\beta_j(t) = t_a + (j-1)T_i + r \frac{T_i}{2} \sin \omega_1 t \quad (4.74)$$

b. Modularea bilaterală:

b<sub>1</sub>. Tensiune de referință nesimetrică și front descrescător:

$$\alpha_j(t) = t_{a_1} + (j-1)T_1 \quad (4.85)$$

$$A_j(t) = t_{a_1} + (j-1)T_1 + \frac{T_1}{2} + \frac{T_1}{2} r \sin \omega_1 t = t_{j_1} \quad (4.86)$$

b<sub>2</sub>. Tensiune de referință nesimetrică și front crescător:

$$\alpha_j(t) = t_{j_1} = t_{a_1} + (j-1)T_1 - \frac{T_1}{2} - \frac{T_1}{2} r \sin \omega_1 t \quad (4.87)$$

$$A_j(t) = t_{a_1} + (j-1)T_1 \quad (4.88)$$

b<sub>3</sub>. Tensiune simetrică:

$$\alpha_j(t) = t_{a_1} + (j-1)T_1 - \frac{T_1}{4} - \frac{T_1}{4} r \sin \omega_1 t = t_{j_1} \quad (4.89)$$

$$\beta_j(t) = t_{a_1} + (j-1)T_1 + \frac{T_1}{4} + \frac{T_1}{4} r \sin \omega_1 t = t_{j_2} \quad (4.90)$$

Introducând valorile lui  $\alpha_j(t)$  și  $\beta_j(t)$  în rel. (4.81) și (4.88) se obține dezvoltarea în serie a tensiunii de referință:

a. Modularea unilaterală:

a<sub>1</sub>. Tensiune de referință nesimetrică cu front descrescător:

$$u_{a_1}(t) = ur \sin \omega_1 t + \frac{2u}{\pi} \sum_{\nu=1}^{\infty} \frac{1}{\nu} \sin(\nu \omega_1 \frac{T_1}{2}) r \sin \omega_1 t.$$

$$- \cos \nu \omega_1 (t - t_{a_1} - \frac{T_1}{2}) r \sin \omega_1 t =$$

$$= ur \sin \omega_1 t + u \sum_{\nu=1}^{\infty} \frac{2}{\nu \pi} \sin(\nu \pi r \sin \omega_1 t) \cos[\nu \omega_1 (t - t_{a_1} - \frac{T_1}{2}) - \nu \pi r \sin \omega_1 t]$$

$$= ur \sin \omega_1 t + u \sum_{\nu=1}^{\infty} \frac{1}{\nu \pi} \left\{ \sin \nu \omega_1 (t - t_{a_1}) - \sin[\nu \omega_1 (t - t_{a_1}) - 2\nu \pi r \sin \omega_1 t] \right\}$$

a<sub>2</sub>. Tensiune nesimetrică cu front descrescător:

$$u_{a_2}(t) = ur \sin \omega_1 t + u \sum_{\nu=1}^{\infty} \frac{2}{\nu \pi} \sin(\nu \omega_1 \frac{T_1}{2}) r \sin \omega_1 t \cos[\nu \omega_1 (t - t_{a_1}) - \nu \pi r \sin \omega_1 t]$$

$$= ur \sin \omega_1 t + u \sum_{\nu=1}^{\infty} \left\{ \sin[\nu \omega_1 (t - t_{a_1}) + 2\nu \pi r \sin \omega_1 t] - \sin \nu \omega_1 (t - t_{a_1}) \right\}$$

a<sub>3</sub>. Tensiune simetrică:

$$u_{a_3}(t) = ur \sin \omega_1 t + u \sum_{\nu=1}^{\infty} \frac{2}{\nu \pi} \sin(\nu \omega_1 \frac{T_1}{2}) r \sin \omega_1 t \cos \nu \omega_1 (t - t_{a_1})$$

$$= ur \sin \omega_1 t + u \sum_{\nu=1}^{\infty} \frac{2}{\nu \pi} \sin(\nu \pi r \sin \omega_1 t) \cos \nu \omega_1 (t - t_{a_1})$$

b. Modulare bilaterală:

b<sub>1</sub>. Tensiune nesimetrică cu front crescător:

$$u_R(t) = u_r \sin \omega_1 t + u \sum_{\nu=1}^{\infty} \frac{4}{\nu\pi} \sin[\nu\omega_1(\frac{T_i}{4} + \frac{T_i}{4} r \sin \omega_1 t)] \cdot \cos[\nu\omega_1(t-t_a - \frac{T_i}{4} - \frac{T_i}{4} r \sin \omega_1 t)] =$$

$$= u_r \sin \omega_1 t + u \sum_{\nu=1}^{\infty} \frac{2}{\nu\pi} \left\{ \sin \nu\omega_1(t-t_a) - \sin[\nu\omega_1(t-t_a) - \nu\pi - \nu\pi r \sin \omega_1 t] \right\} \quad (4.10)$$

b<sub>2</sub>. Tensiune nesimetrică cu front descrescător:

$$u_R(t) = u_r \sin \omega_1 t + u \sum_{\nu=1}^{\infty} \frac{4}{\nu\pi} \sin[\nu\omega_1(\frac{T_i}{4} + \frac{T_i}{4} r \sin \omega_1 t)] \cdot \cos[\nu\omega_1(t-t_a + \frac{T_i}{4} + \frac{T_i}{4} r \sin \omega_1 t)] =$$

$$= u_r \sin \omega_1 t + u \sum_{\nu=1}^{\infty} \frac{2}{\nu\pi} \left\{ \sin[\nu\omega_1(t-t_a) + \nu\pi + \nu\pi r \sin \omega_1 t] - \sin \nu\omega_1(t-t_a) \right\}$$

b<sub>3</sub>. Tensiune simetrică

$$u_R(t) = u_r \sin \omega_1 t + u \sum_{\nu=1}^{\infty} \frac{4}{\nu\pi} \sin[\nu\omega_1(\frac{T_i}{4} + \frac{T_i}{4} r \sin \omega_1 t)] \cos \nu\omega_1(t-t_a)$$

$$= u_r \sin \omega_1 t + u \sum_{\nu=1}^{\infty} \frac{4}{\nu\pi} \sin[\frac{\nu\pi}{2} + \frac{\nu\pi}{2} r \sin \omega_1 t] \cos \nu\omega_1(t-t_a) \quad (4.11)$$

Funcțiile Bessel de speța I-a, pot fi folosite pentru a exprima dezvoltările în serie Fourier a relațiilor care dau tensiunea de ieșire a convertizorului.

Se vor introduce funcțiile Bessel sub forma: [7], [9]

$$\sin(z \sin \theta) = \sum_{p=-\infty}^{\infty} (-1)^p I_p(z) \sin p\theta \quad (4.12)$$

$$\cos(z \sin \theta) = \sum_{p=-\infty}^{\infty} (-1)^p I_p(z) \cos p\theta \quad (4.13)$$

$$\sin(\delta + z \sin \theta) = \sum_{p=-\infty}^{\infty} (-1)^p I_p(z) \sin(\delta + p\theta) \quad (4.14)$$

$$\sin[\delta + z \sin(-\theta)] = \sin(\delta - z \sin \theta) = \sum_{p=-\infty}^{\infty} (-1)^p I_p(z) \sin(\delta - p\theta) \quad (4.15)$$

Relațiile prin care se exprimă tensiunea de ieșire a convertizorului sînt:

a. Modularea unilaterală.

a<sub>1</sub>. Tensiune de referință triunghiulară cu front crescător.

$$u_R(t) = u r \sin \omega_1 t + u \sum_{\nu=1}^{\infty} \frac{1}{\nu \pi} \sin \nu \omega_1 (t-t_a) - \\ - u \sum_{\nu=1}^{\infty} \sum_{p=-\infty}^{\infty} \frac{1}{\nu \pi} (-1)^p I_p(2\nu \pi r) \sin[\nu \omega_1 (t-t_a) - p \omega_1 t] \quad (4.111)$$

a<sub>2</sub>. Tensiune de referință cu front descrescător:

$$u_R(t) = u r \sin \omega_1 t - u \sum_{\nu=1}^{\infty} \frac{1}{\nu \pi} \sin \nu \omega_1 (t-t_a) + \\ + u \sum_{\nu=1}^{\infty} \sum_{p=-\infty}^{\infty} \frac{1}{\nu \pi} (-1)^p I_p(2\nu \pi r) \sin[\nu \omega_1 (t-t_a) + p \omega_1 t] \quad (4.112)$$

a<sub>3</sub>. Tensiune de referință simetrică:

$$u_R(t) = u r \sin \omega_1 t + u \sum_{\nu=1}^{\infty} \sum_{p=-\infty}^{\infty} \frac{2}{\nu \pi} (-1)^p I_p(\nu \pi r) \cos \nu \omega_1 (t-t_a) \sin p \omega_1 t = \\ = u r \sin \omega_1 t + u \sum_{\nu=1}^{\infty} \sum_{p=-\infty}^{\infty} \frac{1}{\nu \pi} (-1)^p I_p(\nu \pi r) \{ \sin[\nu \omega_1 (t-t_a) + p \omega_1 t] - \\ - \sin[\nu \omega_1 (t-t_a) - p \omega_1 t] \} \quad (4.113)$$

b. La modularea bilaterală:

b<sub>1</sub>. Tensiune nesimetrică cu front crescător:

$$u_R(t) = u r \sin \omega_1 t + u \sum_{\nu=1}^{\infty} \frac{2}{\nu \pi} \sin \nu \omega_1 (t-t_a) - \\ - u \sum_{\nu=1}^{\infty} \sum_{p=-\infty}^{\infty} \frac{2}{\nu \pi} (-1)^p I_p(\nu \pi r) \sin[\nu \omega_1 (t-t_a) - \nu \pi - p \omega_1 t] = \\ = u r \sin \omega_1 t + u \sum_{\nu=1}^{\infty} \frac{2}{\nu \pi} \sin \nu \omega_1 (t-t_a) - \\ - u \sum_{\nu=1}^{\infty} \sum_{p=-\infty}^{\infty} \frac{2}{\nu \pi} (-1)^{\nu+p} I_p(\nu \pi r) \sin[\nu \omega_1 (t-t_a) - p \omega_1 t] \quad (4.114)$$

b<sub>2</sub>. Tensiune de referință nesimetrică cu front descrescător:

$$u_R(t) = u r \sin \omega_1 t - u \sum_{\nu=1}^{\infty} \frac{2}{\nu \pi} \sin \nu \omega_1 (t-t_a) + \\ + u \sum_{\nu=1}^{\infty} \sum_{p=-\infty}^{\infty} (-1)^p \frac{2}{\nu \pi} I_p(\nu \pi r) \sin[\nu \omega_1 (t-t_a) + \nu \pi + p \omega_1 t]$$

$$= u_r \sin \omega_1 t - u \sum_{\nu=1}^{\infty} \frac{2}{\nu \pi} \sin \nu \omega_1 (t-t_a) +$$

$$+ u \sum_{\nu=1}^{\infty} \sum_{p=-\infty}^{\infty} \frac{2}{\nu \pi} (-1)^{\nu+p} I_p(\nu \pi r) \sin[\nu \omega_1 (t-t_a) + p \omega_1 t] \quad (4.115)$$

b<sub>3</sub>. Tensiune simetrică:

$$u_R(t) = u_r \sin \omega_1 t + u \sum_{\nu=1}^{\infty} \sum_{p=-\infty}^{\infty} \frac{4}{\nu \pi} (-1)^p I_p\left(\frac{\nu \pi r}{2}\right) \sin\left(\frac{\nu \pi}{2} + p \omega_1 t\right) \cdot$$

$$\cdot \cos \nu \omega_1 (t-t_a) = u_r \sin \omega_1 t + u \sum_{\nu=1}^{\infty} \sum_{p=-\infty}^{\infty} (-1)^p I_p\left(\frac{\nu \pi r}{2}\right) \left\{ \sin\left[\frac{\nu \pi}{2} + \nu \omega_1 (t-t_a) + p \omega_1 t\right] + \right.$$

$$\left. \sin\left[\frac{\nu \pi}{2} - \nu \omega_1 (t-t_a) + p \omega_1 t\right] \right\} =$$

$$= u_r \sin \omega_1 t + u \sum_{\nu=1}^{\infty} \sum_{p=-\infty}^{\infty} \frac{2}{\nu \pi} (-1)^p I_p\left(\frac{\nu \pi r}{2}\right) \sin \frac{\nu \pi}{2} \cdot$$

$$\cdot \left\{ \cos[\nu \omega_1 (t-t_a) + p \omega_1 t] + \cos[\nu \omega_1 (t-t_a) - p \omega_1 t] \right\} \quad (4.116)$$

Relațiile tensiunii de ieșire (4.101) + (4.116) sînt aplicabile, fie pentru un convertizor monofazat, fie pentru faza unui convertizor trifazat, această tensiune considerîndu-se față de punctul median al sursei de curent continuu (fig.4.24).

Pentru fazele S și T ale convertizorului trifazat, totuși să se ia în considerare atît defazajul dintre tensiunile de comandă, care este de  $\pm 2\pi/3$ , cît și eventualele defazaje ale tensiunilor de referință ale fazelor S și T față de cea a fazei R.

Dacă se notează defazajele dintre tensiunile de referință triunghiulare ale fazelor S și T față de tensiunea de referință a fazei R cu  $\delta_S$  și  $\delta_T$  (fig.4.25), se obțin expresiile (4.111)+(4.116) în care apare pe lângă defazajul de  $\pm 2\pi/3$  și defazajul  $\delta_S$ , respectiv  $\delta_T$ .

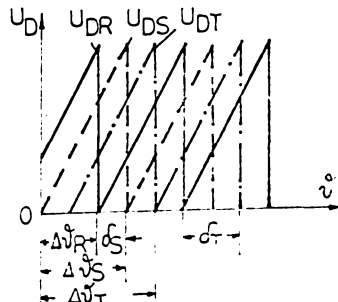


Fig.4.25

Defazajul suplimentar al tensiunilor de referință ale fazelor S și T față de faza R.

Se obțin spre exemplu pentru modularea unilaterală cu tensiune de referință nesimetrică cu front crescutor:

$$u_R(t) = u \cdot r \sin \omega_1 t + u \sum_{\nu=1}^{\infty} \frac{1}{\nu \pi} \sin \nu \omega_1 (t - t_a) -$$

$$- u \sum_{\nu=1}^{\infty} \sum_{p=-\infty}^{\infty} \frac{1}{\nu \pi} (-1)^p I_p(2\nu\pi r) \sin[\nu \omega_1 (t - t_a) - p \omega_1 t] \quad (9.17)$$

$$u_S(t) = u \cdot r \sin(\omega_1 t - \frac{2\pi}{3}) + u \sum_{\nu=1}^{\infty} \frac{1}{\nu \pi} \sin[\nu \omega_1 (t - t_a) - \nu \delta_S] -$$

$$- u \sum_{\nu=1}^{\infty} \sum_{p=-\infty}^{\infty} \frac{1}{\nu \pi} (-1)^p I_p(2\nu\pi r) \sin[\nu \omega_1 (t - t_a) - \nu \delta_S - p \omega_1 t - p \frac{2\pi}{3}]$$

și

$$u_T(t) = u \cdot r \sin(\omega_1 t + \frac{2\pi}{3}) + u \sum_{\nu=1}^{\infty} \frac{1}{\nu \pi} \sin[\nu \omega_1 (t - t_a) - \nu \delta_T] -$$

$$- u \sum_{\nu=1}^{\infty} \sum_{p=-\infty}^{\infty} \frac{1}{\nu \pi} (-1)^p I_p(2\nu\pi r) \sin[\nu \omega_1 (t - t_a) - \nu \delta_T - p \omega_1 t + p \frac{2\pi}{3}]$$

iar pentru modularea unilaterală cu tensiune simetrică:

$$u_R(t) = u \cdot r \sin \omega_1 t + u \sum_{\nu=1}^{\infty} \sum_{p=-\infty}^{\infty} \frac{1}{\nu \pi} (-1)^p I_p(\nu\pi r) \cdot$$

$$\cdot \left\{ \sin[\nu \omega_1 (t - t_a) + p \omega_1 t] - \sin[\nu \omega_1 (t - t_a) - p \omega_1 t] \right\}$$

$$u_S(t) = u \cdot r \sin(\omega_1 t - \frac{2\pi}{3}) + u \sum_{\nu=1}^{\infty} \sum_{p=-\infty}^{\infty} \frac{1}{\nu \pi} (-1)^p I_p(\nu\pi r) \cdot$$

$$\cdot \left\{ \sin[\nu \omega_1 (t - t_a) - \nu \delta_S + p \omega_1 t - p \frac{2\pi}{3}] - \sin[\nu \omega_1 (t - t_a) - \nu \delta_S - p \omega_1 t + p \frac{2\pi}{3}] \right\}$$

$$u_T(t) = u \cdot r \sin(\omega_1 t + \frac{2\pi}{3}) + u \sum_{\nu=1}^{\infty} \sum_{p=-\infty}^{\infty} \frac{1}{\nu \pi} (-1)^p I_p(\nu\pi r) \cdot$$

$$\cdot \left\{ \sin[\nu \omega_1 (t - t_a) - \nu \delta_T + p \omega_1 t + p \frac{2\pi}{3}] - \sin[\nu \omega_1 (t - t_a) - \nu \delta_T - p \omega_1 t + p \frac{2\pi}{3}] \right\}$$

Analizând relațiile (4.117)+(4.122) se constată următoarele:

a) componentele ur  $\sin \omega_1 t$ , ur  $\sin(\omega_1 t - 2\pi/3)$  și ur  $\sin(\omega_1 t + 2\pi/3)$  formează sistemul de tensiuni al fundamentalei - sistem direct - care crează câmpul magnetic învîrtitor principal;

b) componentele cu frecvență multiplă tensiunii de referință formează:

- pentru  $p = \pm 3k$  sistemul de tensiuni omopolar (au dau câmp învîrtitor),
- pentru  $p = \pm (3k + 1)$  sistem direct care dau câmpuri învîrtitoare directe,
- pentru  $p = \pm (3k - 1)$  sistem invers care dau câmpuri inverse.

În absența conductorului de nul, armonicile omopolare ale tensiunii de fază nu mai apar la sarcină, deoarece curenții omopolari nu se pot închide.

Se observă de asemenea că în cazul lipsei conductorului de nul și al defazajului dintre fazele tensiunii de referință ( $\delta_S = \delta_T = 0$ ), amplitudinea armonicilor din tensiunea aplicată mașinii asincrone se reduce.

Faptul acesta simplifică oarecum și schema de comandă și de aceea schemele uzuale nu folosesc conductor de nul și utilizează un singur semnal triunghiular de referință [121].

Tensiunile de linie ale convertizorului, deduse din tensiunile de fază pentru cazul  $\delta_S = \delta_T = 0$ , comandă cu tensiune de referință unilaterală nesimetrică cu front crescător, sînt:

$$u_{RS}(t) = u_R(t) - u_S(t) = ur \left[ \sin \omega_1 t - \sin \left( \omega_1 t - \frac{2\pi}{3} \right) \right] -$$

$$- u \sum_{\nu=1}^{\infty} \sum_{p=-\infty}^{\infty} \frac{1}{\nu\pi} (-1)^p I_p(2\nu\pi r) \left\{ \sin[\nu\omega_1(t-t_a) - p\omega_1 t] - \right.$$

$$\left. - \sin[\nu\omega_1(t-t_a) - p\omega_1 t - p\frac{2\pi}{3}] \right\} \quad (1)$$

$$u_{ST}(t) = u_S(t) - u_T(t) = ur \left[ \sin \left( \omega_1 t - \frac{2\pi}{3} \right) - \sin \left( \omega_1 t + \frac{2\pi}{3} \right) \right] -$$

$$- u \sum_{\nu=1}^{\infty} \sum_{p=-\infty}^{\infty} \frac{1}{\nu\pi} (-1)^p I_p(2\nu\pi r) \left\{ \sin[\nu\omega_1(t-t_a) - p\omega_1 t - p\frac{2\pi}{3}] - \right.$$

$$\left. - \sin[\nu\omega_1(t-t_a) - p\omega_1 t + p\frac{2\pi}{3}] \right\}$$

$$\begin{aligned}
 u_{TR}(t) &= u_T(t) - u_R(t) = u r \left[ \sin(\omega_1 t + \frac{2\pi}{3}) - \sin \omega_1 t \right] - \\
 &- u \sum_{\nu=1}^{\infty} \sum_{p=-\infty}^{\infty} \frac{1}{\sqrt{\pi}} (-1)^p I_p(2\nu\pi r) \left\{ \sin[\nu\omega_i(t-t_a) - p\omega_1 t + p\frac{2\pi}{3}] - \right. \\
 &\left. - \sin[\nu\omega_i(t-t_a) - p\omega_1 t] \right\} \quad (4.125)
 \end{aligned}$$

La modularea unilaterală cu tensiune de referință cu front descrescător și cu tensiune simetrică, precum și la modularea bilaterală în cele trei situații expresia tensiunii de linie se obține în același fel.

Din (4.123)+(4.125) rezultă că unele armonici din tensiunea de fază dispar în tensiunea de linie (în lipsa conductorului de nul).

Cunoașterea armonicilor tensiunii de fază permite calculul armonicilor tensiunii de linie. Datorită acestui fapt se vor calcula, în funcție de modul de alimentare al mașinilor, de scopul urmărit și de complexitatea relațiilor, fie armonicile tensiunii de fază fie cele ale tensiunii de linie.

Din analiza relațiilor care exprimă tensiunile convertorului pentru diferite cazuri de modulare se constată că valoarea amplitudinii armonicilor și ponderea lor în tensiunea de fază este dependentă de tipul de modulare; cel mai mic conținut de armonici se obține la modularea bilaterală simetrică, iar cel mai mare la modularea unilaterală cu tensiuni de referință nesimetrice.

Dacă în relațiile tensiunii se consideră defazajul inițial nul ( $t_a = 0$ ), expresia lor devine mai simplă. Astfel, la modularea unilaterală cu tensiune de referință cu front crescător, relația (4.117) ia forma:

$$\begin{aligned}
 u_R(t) &= u r \sin \omega_1 t + u \sum_{\nu=1}^{\infty} \frac{1}{\sqrt{\pi}} \sin \nu \omega_1 t - \\
 &- u \sum_{\nu=1}^{\infty} \sum_{p=-\infty}^{\infty} \frac{1}{\sqrt{\pi}} (-1)^p I_p(2\nu\pi r) \sin(\nu \omega_1 t - p\omega_1 t)
 \end{aligned}$$

Amplitudinea armonicilor la modularea unilaterală cu tensiune de referință nesimetrică cu front crescător, în funcție de factorul de modulare  $r$  și pentru diferite valori ale raportului  $\omega_i/\omega_1$ , sînt reprezentate grafic în fig.4.26 [11]. Pe baza acestor rezultate se pot face aprecieri din punct de vedere al

tiv asupra conținutului de armonici a tensiunii de ieșire.

În fig.4.26 prin  $U_{\nu}/u$  s-a notat amplitudinea relativă a armonicilor tensiunii de ieșire.

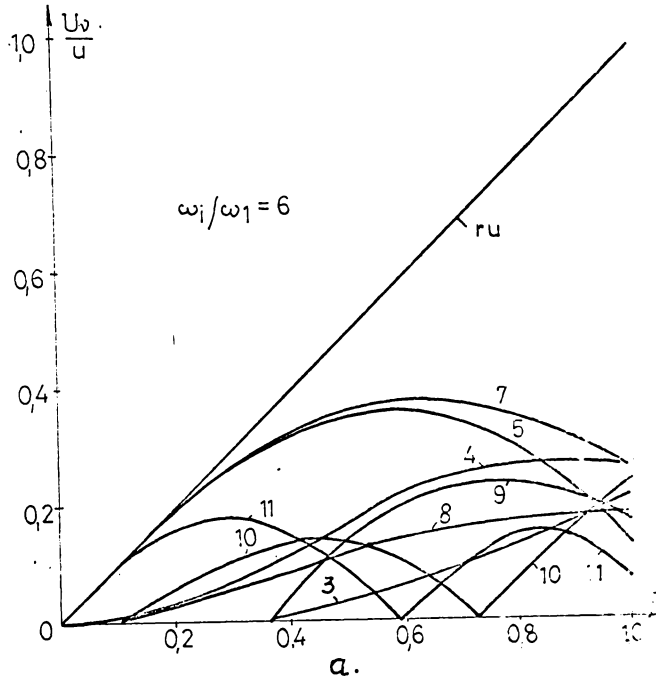
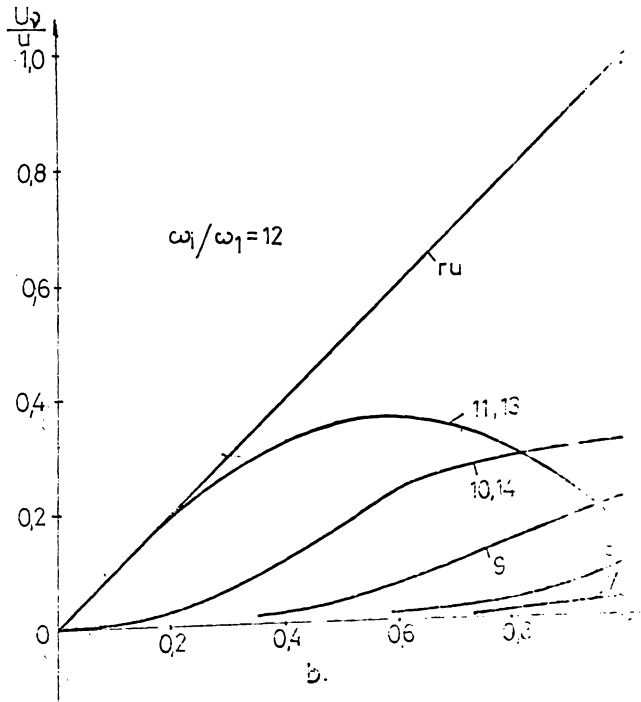


Fig.4.26

Amplitudinea relativă a armonicilor tensiunii de ieșire pentru:  
a -  $\omega_i/\omega_1 = 6$ ;  
b -  $\omega_i/\omega_1 = 12$ .



Concluziile ce se desprind în urma analizei relațiilor tensiunii de fază și de linie și a rezultatelor din fig.4.26 sînt următoarele:

Amplitudinea armonicilor din tensiunea de ieșire este dependentă de valorile factorului de modulare  $r$  și de raportul pulsațiilor  $\omega_2/\omega_1$ . La reducerea factorului de modulare  $r$ , tensiunea convertizorului se micșorează și conținutul de armonici crește. Conținutul de armonici mai ales a celor de ordin inferior se reduce odată cu creșterea lui  $\omega_2/\omega_1$ , dar acest raport este limitat de creșterea pierderilor prin comutație.

Armonicile de ordin superior au valori mai mari la creșterea lui  $\omega_2/\omega_1$ , dar ele deranjează mai puțin funcționarea mașinii asincrone.

În absența conductorului de nul armonicile omopolare prin sarcină se anulează, ceea ce este favorabil din punct de vedere al funcționării mașinilor electrice.

Se constată totodată că defazajul inițial  $t_d$  influențează conținutul de armonici, mărind amplitudinea lor mai ales la valori mici ale raportului  $\omega_2/\omega_1$ .

La stabilirea ecuațiilor tensiunii de ieșire la modularea în durată a impulsurilor s-a admis că numărul de impulsuri pe perioadă este constant, respectiv raportul  $\omega_2/\omega_1$  este constant. Prin aceasta s-a evitat introducerea unor noi armonici în tensiunea de ieșire care pot să apară la diferite valori ale raportului  $\omega_2/\omega_1$  și s-au limitat pierderile prin comutație.

Expresiile tensiunii de ieșire pot fi stabilite și în cazul general, admitînd un raport variabil  $\omega_2/\omega_1$ , respectiv un raport variabil între frecvența tensiunii de referință și cea a tensiunii de comandă (ieșire). În acest caz se va produce o modulare și a fazei tensiunii de ieșire și deci a fundamentalei acesteia, mai ales la valori mici ale raportului  $\omega_2/\omega_1$ .

Pentru stabilirea expresiilor tensiunilor de ieșire se va considera că:

- la tensiuni de referință triunghiulare nesimetrice, începutul fiecărei rampe constituie un punct de referință și se repetă periodic (fig.4.27);

- la tensiuni de referință triunghiulare simetrice, vîrfurile de același semn constituie puncte de referință și se repetă cu perioada  $T_1$  (fig.4.28).

Punctele de referință sînt indicate în cele două cazuri de unde rezultă și felul în care durata impulsurilor se modifică.

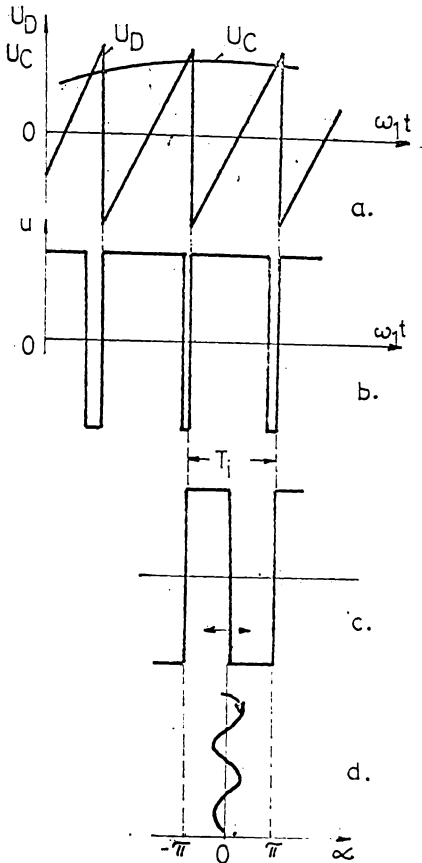


Fig.4.27

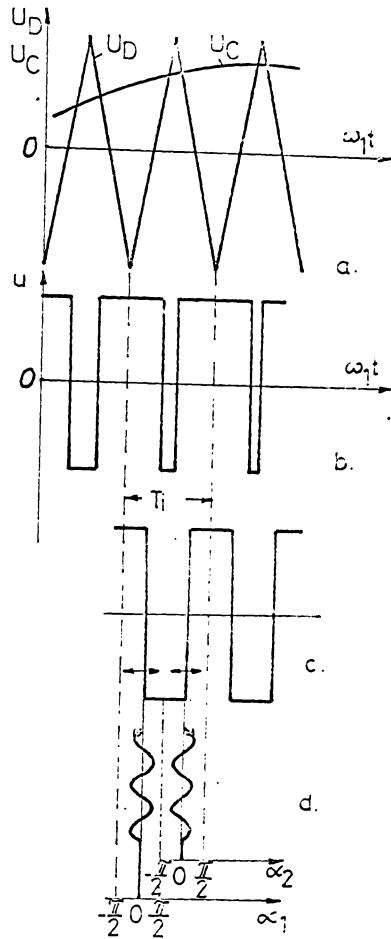


Fig.4.28

Variația unor mărimi la modularea bilaterală cu tensiune de referință nesimetrică (fig.4.27) și simetrică (fig.4.28): a - tensiunea de comandă și de referință; b - impulsurile tensiunii de ieșire; c - impulsurile tensiunii de ieșire pentru tensiune de comandă nulă; d - variația unghiului de comandă  $\alpha$ .

În raport cu perioada tensiunii de referință  $T_1$ , se definește un unghi de comandă  $\alpha$ , asemănător cu comanda convertizoarelor directe, care variază între limitele:

$-\pi$  și  $+\pi$  potrivit valorilor tensiunii de comandă presupusă constantă între două comutații succesive, în cazul tensiunii de referință triunghiulare nesimetrică (fig.4.27).

-  $(+\pi/2) + (-\pi/2)$  pentru un flanc (crescător) al tensiunii de referință simetrice și  $(-\pi/2) + (+\pi/2)$  pentru celălalt flanc, valorile fiind egale (fig.4.28.d).

Valoarea unghiului de comandă  $\alpha$  va depinde de amplitudinea relativă a tensiunii de comandă și faza acesteia avind expresia:

$$\alpha = r \cdot \pi \cdot \sin \omega_1 t, \quad (4.127)$$

la modularea sinusoidală cu tensiune de referință bilaterală nesimetrică și :

$$\alpha = \pm r \frac{\pi}{2} \sin \omega_1 t. \quad (4.128)$$

la modularea sinusoidală cu tensiune de referință simetrică.

Unghiul de comandă  $\alpha$  va avea valori diferite corespunzătoare fiecărui impuls al tensiunii de ieșire. La modularea liniară unghiul de comandă  $\alpha$  va avea o valoare dependentă numai de amplitudinea relativă a tensiunii de comandă  $r$ .

#### 4.4. Concluzii

Din cele prezentate în acest capitol se constată că tensiunea de ieșire a convertizoarelor statice conține un mare număr de armonici. Amplitudinea acestor armonici se poate calcula pentru fiecare tip de convertizor static, ținând seama de forma tensiunii de ieșire.

Analiza în detaliu a formei tensiunii de ieșire și a conținutului de armonici are mare importanță pentru studiul regimului de funcționare al mașinilor și instalațiilor electrice. Există mașini care nu permit anumite armonici în componența tensiunilor de alimentare, altele care limitează valoarea acestora. Eliminarea conținutului de armonici din tensiunea de alimentare a mașinilor asincrone permite luarea unor măsuri suplimentare de reducere a efectelor lor prin soluții constructive.

Conținutul de armonici al convertizoarelor directe este dependent de modul de comandă al unghiului de aprindere și de numărul de pulsuri din care se compune tensiunea de ieșire. Reducerea conținutului de armonici se poate face printr-o serie de metode prin alegerea corespunzătoare a bobinelor conectate în circuitul convertizorului.

Conținutul de armonici al convertizoarelor indirecte este dependent de felul de modificare a tensiunii funcției de comandă. Astfel, la convertizarea indirectă cu modificare

nii circuitului intermediar, conținutul de armonici este constant deoarece forma tensiunii nu se schimbă. La convertizările cu modificare a tensiunii prin defazaj, conținutul de armonici este dependent de unghiul de defazaj. În cazul convertizărilor cu modulare în durată a impulsurilor, conținutul de armonici depinde de tipul de modulare, valoarea factorului de modulare și numărul impulsurilor din care este formată tensiunea de ieșire.

Conținutul cel mai redus de armonici se obține la modularea bilaterală cu o tensiune de comandă sinusoidală și tensiune de referință simetrică, schema de comandă este însă relativ complicată.

Comanda modulării în durată a impulsurilor de tip liniar este mai simplă și dă rezultate comparabile din punct de vedere al conținutului de armonici cu modularea sinusoidală cu tensiune de referință unilaterală nesimetrică.

Se constată că îmbunătățirea formei tensiunii de ieșire a convertizorului necesită un număr mare de comutații, ceea ce determină pierderi de putere suplimentare.

Dispozitivele de comandă ale tiristoarelor principale din convertizoarele trifazate trebuie să permită obținerea unor defazaje de  $\pm \frac{2\pi}{3}$  între tensiunile de comandă, tensiunile de referință în fază și un număr întreg de perioade ale impulsurilor în intervalul unei perioade a tensiunii de ieșire.

## 5. INCERCARI SI REZULTATE EXPERIMENTALE

### 5.1. Probleme generale

În vederea studierii concrete a armonicilor de tensiune la alimentarea unor mașini asincrone prin convertizoare statice, a armonicilor de curent pe care le determină armonicile de tensiune și influența acestor armonici asupra cuplului dezvoltat mașină, autorul a conceput și realizat, în colaborare, o instalație experimentală în cadrul Laboratorului de mașini electrice electronice industriale a Universității Libere din Bruxelles, ocazia efectuării unui stagiu de specializare.

Dintre marea diversitate de tipuri constructive de convertizoare statice s-a ales tipul de convertizor indirect tensiune a circuitului intermediar constantă și cu modificarea valorii tensiunii de ieșire prin modulare în durată a impulsurilor după o lege de variație liniară.

Considerentele care au stat la baza alegerii acestui tip de convertizor sînt:

- convertizorul poate fi folosit pentru alimentarea unui tip de mașină asincronă;
- construcția lui nu prezintă dificultăți, schema este relativ simplă și funcționarea sigură;
- comanda convertizorului se face cu elemente de comandă tipizate;
- schema convertizorului conține un număr redus de componente (găse), deci prețul de cost este relativ mic față de alte tipuri de convertizoare;
- convertizorul asigură posibilitatea modificării caracteristicilor de ieșire - tensiune-frecvență - în limite largi. Prin urmare, studiul comportării mașinilor alimentate în diferite condiții de funcționare foarte variate:
- conținutul de armonici, în special armonicul de ordin 5, este comparabil cu al altor tipuri de convertizoare, dar schema de comandă este mult mai complicată;

- instalațiile industriale acționate cu mașini asincrone necesită funcționare sigură și convertizoarele de acest tip satisfac condițiile de fiabilitate;

- pierderile convertizoarelor de acest tip nu sînt mari, ceea ce înseamnă că vor avea un randament ridicat;

- au o inerție mică și în acest fel vor permite funcționarea corectă în regim dinamic.

Corespunzător schemei de principiu a convertizorului trifazat din fig.3.14, s-a ales schema circuitului de forță a convertizorului indirect care este prezentată în fig.5.1.

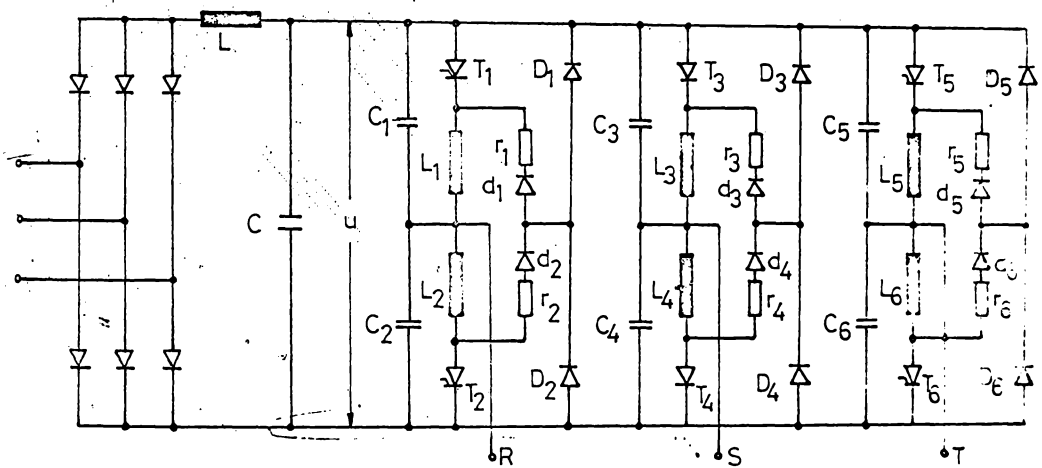


Fig.5.1

Schema circuitului de forță a convertizorului indirect cu modulare în durată a impulsurilor.

Această schemă cuprinde în principal următoarele elemente:

- redresor de tensiune static necomandat format dintr-o punte trifazată dublă cu diode;

- filtru L-C pentru filtrarea tensiunii continue;

- invertor, format din circuitul principal reprezentat prin tiristoarele  $T_1 + T_6$ , diodele de recuperare și protecție  $D_1 + D_6$ , diodele de descărcare  $d_1 + d_6$ , rezistențele de descărcare  $r_1 + r_6$ , bobinele  $L_1 + L_6$  și condensatoarele de stingere  $C_1 + C_6$ .

Alegerea elementelor circuitului de forță s-a făcut în baza puterii necesare la ieșirea convertizorului.

Ceea ce trebuie remarcat este faptul că, dat fiind de funcționare al convertizorului cu comutații multiple în timp periodică, tiristoarele din circuitul principal trebuie să aibă un timp de revenire mic.

Acest tip de convertizoare necesită o simultaneitate absolută între două aprinderi ale tiristoarelor coloanelor vecine. Din acest motiv comanda convertizorului s-a conceput în așa fel încât toate semnalele logice de aprindere ale tiristoarelor să provină de la un același semnal logic treaptă.

Schema bloc a ansamblului experimental convertizor-mașină asincronă este redată în fig.5.2.

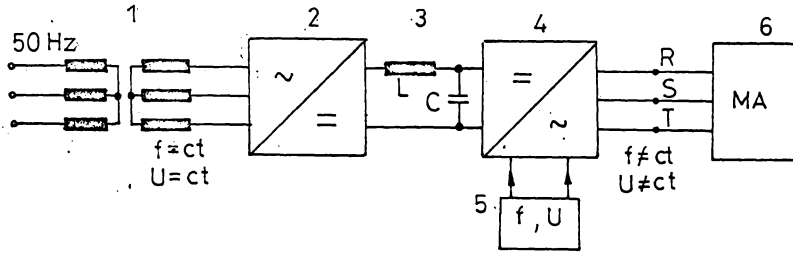


Fig.5.2

Schema bloc a instalației experimentale realizate:  
 1 - transformator de alimentare; 2 - redresor;  
 3 - circuit intermediar de curent continuu; 4 -  
 invertor; 5 - bloc de comandă a tensiunii și frecvenței; 6 - mașină asincronă alimentată.

Alimentarea redresorului se face de la rețeaua de 500/220 V, 50 Hz, prin intermediul unui transformator cu prize care realizează o separare față de rețea și permite la nevoie modificarea tensiunii continue din circuitul intermediar. Blocul de comandă al convertizorului asigură modificarea parametrilor de ieșire, tensiune-frecvență, conform cerințelor impuse de motorul de acționare alimentat.

Elementele circuitului de forță a convertizorului s-au dimensionat pentru o putere de 15 kVA, folosind tiristoare tip Westinghouse 2191 S, 800 V, 55 A, cu timp maxim de revenire de 15  $\mu$ s.

## 5.2. Conceperea și realizarea comenzii pentru convertizorul cu modulare în durată a impulsurilor

### 5.2.1. Semnalele de comandă

Pentru asigurarea alimentării mașinilor asincrone la tensiuni corelate cu valoarea frecvenței, s-a adoptat o schemă de convertizor cu modulare în durată a impulsurilor și cu comandă succesivă a tiristoarelor unei coloane a invertorului (fig.5.3). Tensiunea de ieșire a unui astfel de invertor pentru cazul unui număr de  $N = 12$  impulsuri pe o perioadă a tensiunii de ieșire este reprezentată în fig.5.4.

Fig.5.3

Schema simplificată a unui inverter cu modulare în durată a impulsurilor și conducție pe  $1/2 T$  a tiristoarelor superioare.

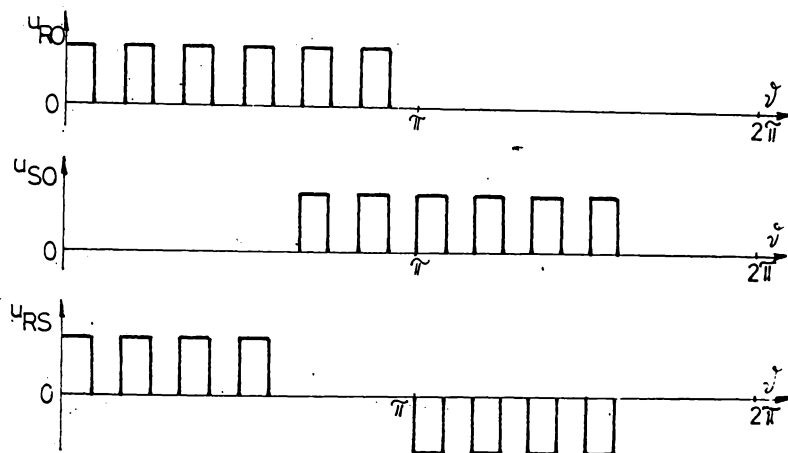
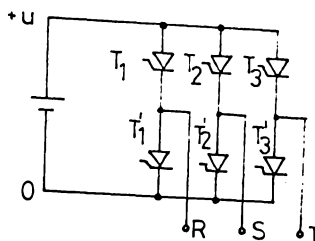


Fig.5.4

Forma tensiunii de fază și de linie dată de inverterul din fig.5.3.

Comanda de aprindere, a tiristoarelor din schemă se face printr-o creștere a semnalului pe electrod de la 0 la 1. Această comandă se dă prin semnalul logic treaptă.

Dacă două tiristoare primesc comanda de aprindere în momente puțin diferite, aprinderea lor efectivă nu se va produce decât la creșterea semnalului treaptă la valoarea 1, folosindu-se același semnal pentru toate tiristoarele superioare.

În același fel se asigură și aprinderea tiristoarelor inferioare, semnalele logice de comandă obținându-se prin negarea funcțiilor logice ce comandă tiristoarele superioare.

Corespunzător comenzii ce se dă, în funcție de starea de conducție a tiristoarelor, punctul median al coloanelor R, S și T se va găsi la potențial  $+u$  sau zero.

Impulsurile de comandă ce se aplică la electrodul tiristorului  $T_1$  (fig.5.3) sînt obținute din semnalul logic treaptă  $S_t$ , dintr-un semnal logic suplimentar  $X$  și semnalul de tact  $H$ , avînd expresia logică:

$$E = S_t \cdot X \cdot H \quad (5.1)$$

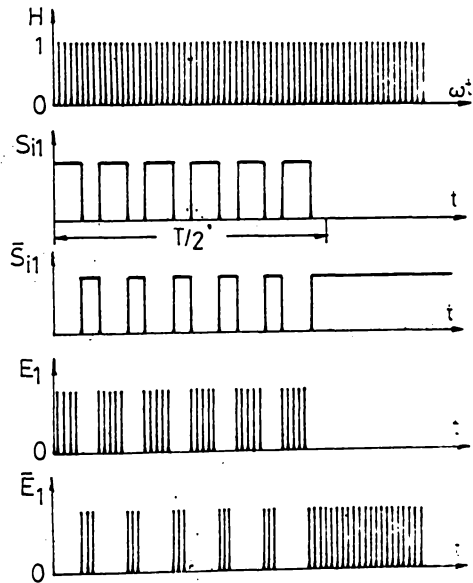
Semnalul logic de comandă al tiristoarelor are practic aceeași formă ca și tensiunea punctului median al coloanei.

Comanda tiristorului inferior se face în așa fel încît atunci cînd nu conduce tiristorul superior, care asigură un potențial diferit de zero punctului median, să conducă tiristorul inferior. Prin acesta se realizează punerea la potențial zero a punctului median. Aceasta înseamnă că semnalul de comandă al tiristorului inferior al fiecărei coloane are o formă asemănătoare cu inversul tensiunii de ieșire al acelei coloane.

În fig.5.5 se prezintă două unde de impulsuri care pot servi la comanda celor două tiristoare  $T_1$  și  $T_2$  ale aceleiași coloane.

Fig.5.5

Forma semnalelor de comandă ale tiristoarelor din schema invertoarelor din fig.5.3: a - semnal de tact; b, c - semnal logic intermediar; d - impulsuri de comandă pentru tiristorul  $T_1$ ; e - impulsuri de comandă pentru tiristorul  $T_2$ .



Pentru coloanele vecine, impulsurile de comandă de aceeași formă globală sînt decalate cu  $120^\circ$ , respectiv  $240^\circ$  electrice.

Prin  $\bar{S}_{11}$  și  $\bar{E}_1$  s-a notat negarea funcțiilor  $S_{11}$  și  $E_1$ .

Semnalul intermediar  $S_i$  este semnalul ce rezultă din produsul logic al semnalului treaptă  $S_t$  și semnalul logic suplimentar  $X$ , care are valoarea "1" în timpul primei semiperioade și "0" în timpul următoarei semiperioade.

Semnalul intermediar  $S_i$  are aceeași formă cu tensiunea de ieșire a invertorului.

### 5.2.2. Sinteza circuitului de comandă

Dispozitivul de comandă este conceput în așa fel încât el să schimbe semnalele la electrozii de comandă ai celor trei coloane după un număr bine precizat de impulsuri, funcție de durata impulsurilor tensiunii de ieșire. Acest dispozitiv realizează în același timp și numărarea semnalelor-impulsuri pentru comanda tiristoarelor.

Corespunzător celor trei coloane și deci celor trei faze ale tensiunii de ieșire, semnalele logice suplimentare de comandă sînt X, Y, Z, decalate între ele cu  $120^\circ$  el.

Pe  $360^\circ$  el. este nevoie în cazul unei tensiuni de ieșire cu  $N = 12$  impulsuri de un contor binar cu 4 ieșiri, cu care se formează cele trei semnale X, Y și Z printr-un sistem combinatoriu. După cele 12 impulsuri este nevoie de un alt semnal de repunere la zero  $R_z$ , format de asemenea prin sistemul combinatoriu al celor 4 ieșiri.

Dacă se notează cele patru ieșiri ale contorului  $\alpha_1, \alpha_2, \alpha_3$  și  $\alpha_4$ , fazele contorului sincron pot fi prezentate în binar prin valorile informaționale din tabelul 5.1.

Tabelul 5.1.

Nr. crt.	Ieșirile contorului				Semnalele logice				Obs.
	$\alpha_1(8)$	$\alpha_2(4)$	$\alpha_3(2)$	$\alpha_4(1)$	X	Y	Z	$R_z$	
1	0	0	0	0	1	0	1	0	
2	0	0	0	1	1	0	1	0	
3	0	0	1	0	1	0	0	0	
4	0	0	1	1	1	0	0	0	
5	0	1	0	0	1	1	0	0	
6	0	1	0	1	1	1	0	0	
7	0	1	1	0	0	1	0	0	
8	0	1	1	1	0	1	0	0	
9	1	0	0	0	0	1	1	0	
10	1	0	0	1	0	1	1	0	
11	1	0	1	0	0	0	1	0	
12	1	0	1	1	0	0	1	1	
13	1	1	0	0	1	0	1	0	

Ecuatiile logice ale semnalelor suplimentare X, Y, Z și  $R_z$  sînt:

$$\begin{aligned} X &= \bar{\alpha}_2 \bar{\alpha}_1 + \alpha_2 \bar{\alpha}_3 \\ Y &= \alpha_2 \bar{\alpha}_1 + \alpha_1 \bar{\alpha}_2 \bar{\alpha}_3 \\ Z &= \alpha_1 + \bar{\alpha}_2 \bar{\alpha}_3 \\ R_z &= \alpha_1 \bar{\alpha}_2 \alpha_3 \alpha_4 \end{aligned} \quad (5.3)$$

Tabelul de valori informaționale și ecuațiile logice ale semnalelor suplimentare stau la baza realizării schemei logice a circuitului de comandă.

Semnalul de repunere la zero  $R_z$ , trebuie să fie asociat situației  $\alpha_1 \alpha_2 \alpha_3 \alpha_4 = (1011)$ , situație ce reprezintă echivalentul decimal al lui 11, deoarece repunerea la zero a contorului are loc pentru o cădere de la unu la zero a semnalului.

### 5.2.3. Obținerea semnalelor logice

Perioada corespunzătoare fundamentalei tensiunii convertizorului cuprinde 12 intervale ale semnalului logic treaptă -  $S_i$ . Lățimea (durata) intervalelor semnalului logic treaptă este proporțională cu frecvența și aceasta va servi la generarea lui.

Nivelul de tensiune reprezentînd frecvența este introdus într-un dispozitiv generator de tensiuni de referință triunghiulare nesimetrice (fig.5.6), panta (frontul) tensiunii triunghiulare fiind proporțională cu frecvența (fig.5.7).

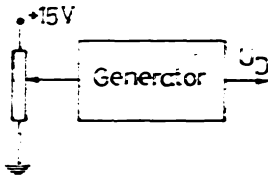


Fig.5.6

Schema bloc a generatorului de tensiuni triunghiulare.

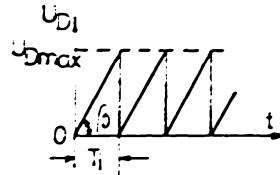


Fig.5.7

Tensiunea triunghiulară nesimetrică (în dinți de ferăstrău), cu front crescător liniar variabil.

Semnalul de ieșire din generator  $U_D$ , este însumat cu o tensiune continuă reglabilă  $U'$  care fixează poziția tensiunii triunghiulare față de poziția de zero (fig.5.8).

Semnalul astfel obținut  $U_D'$ , se va compara cu tensiunea reprezentînd frecvența  $U_z$  și în funcție de semnul diferenței  $U_D' - U_z$  semnalul logic rezultat va avea valoarea 1 sau 0, fiind de fapt semnalul logic treaptă  $S_i$ .

În fig.5.9 se prezintă simplificat schema obținerii semnalului logic treaptă și a semnalului de intrare în contorul sincron.

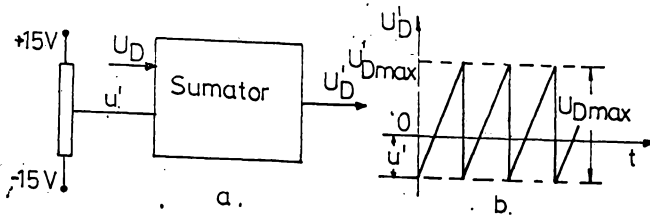
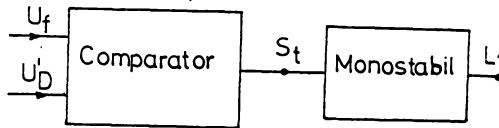


Fig.5.8

Insumarea tensiunii de referință cu o tensiune continuă reglabilă: a - schema bloc; b - forma tensiunii de referință rezultante.

Fig.5.9

Schema pentru obținerea semnalului logic treaptă și a semnalului de intrare în contorul sincron.



Semnalul de intrare în contorul sincron  $L_1$ , se obține prin trecerea semnalului logic treaptă  $S_t$  printr-un monostabil. Semnalul logic  $L_1$  servește și pentru mărirea siguranței de aprindere a tiristorului superior prin decalarea impulsului de comandă.

Eliminarea oricărui risc în comanda aprinderii tiristorului  $T_1$  se realizează prin aplicarea pe electrodul de comandă al tiristorului și a semnalului obținut din semnalul suplimentar  $X$  și  $\bar{L}_1$ , adică a semnalului  $X\bar{L}_1$ . În același fel se procedează pentru celelalte coloane 2 și 3, adăugându-se  $Y\bar{L}_1$  și  $Z\bar{L}_1$  la semnalele logice de comandă.

La fiecare început de perioadă a tensiunii triunghiulare, semnalul  $S_t$  trece de la valoarea 0 la 1, iar semnalul  $L_1$  trece de la valoarea 1 la 0. Această cădere a lui  $L_1$  determină trecerea contorului binar în starea următoare. Contorul binar numără în intervalele corespunzătoare semnalului treaptă  $S_t$ .

Semnalul  $\bar{S}_t$  este introdus și el într-un monostabil a cărui ieșire va servi pentru asigurarea aprinderii tiristorului inferior  $T_1$ .

Variația semnalelor care asigură comanda tiristoarelor poate fi reprezentată așa cum se arată în fig.5.10.

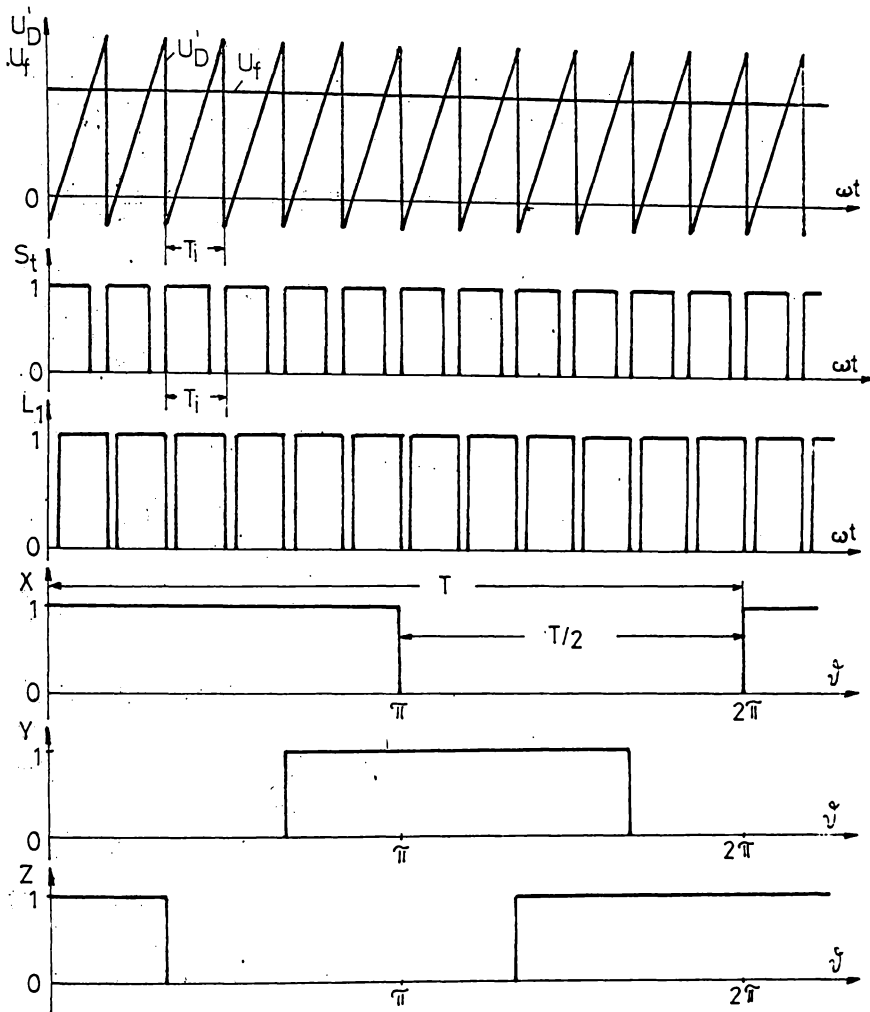


Fig.5.10

Tensiunea de referință și semnalele logice  $St$ ,  $L_1$ ,  $X$ , și  $Z$  pentru comanda unui invertor cu  $N = 12$ .

5.2.4. Valoarea tensiunii de ieșire funcție de tensiunea continuă reglabilă  $u'$

5.2.4.1. Cazul  $u' = 0$  (fig.5.11)

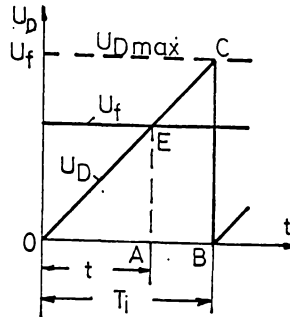
Considerînd o perioadă a tensiunii triunghiulare de referință  $T_i$ , se pot scrie următoarele relații între mărimi:

$$U_D = k_1 f t \quad (5.11)$$

Punctul de intersecție al tensiunii  $U_D$  cu tensiunea prezentînd frecvența  $U_f$  este determinat de egalitatea:

$$U_D = U_f \quad (5.12)$$

Fig.5.11  
Formă de variație a  
tensiunii de referin-  
ță pentru  $u' = 0$ .



unde:

$$U_f = k_2 \cdot f \quad (5.5)$$

și reprezintă o tensiune proporțională cu frecvența.

Rezultă deci:

$$k_1 f \cdot t = k_2 f \quad (5.6)$$

$$t = \frac{k_2}{k_1} = k = ct \quad (5.7)$$

Aceasta înseamnă că la un nivel de frecvență  $f$  și o anumită perioadă  $T_i$ , timpul la care are loc intersecția celor două tensiuni este constant, adică durata impulsurilor tensiunii de ieșire este constantă.

Dacă se consideră deci deplasarea tensiunii triunghiulare față de origine nulă ( $u' = 0$ ), durata relativă a impulsului de ieșire este:

$$\frac{t}{T_i} = \frac{k}{\frac{U_{Dmax}}{k_1 f}} = K \cdot f \quad (5.8)$$

iar valoarea efectivă (v. § 5.3.1):

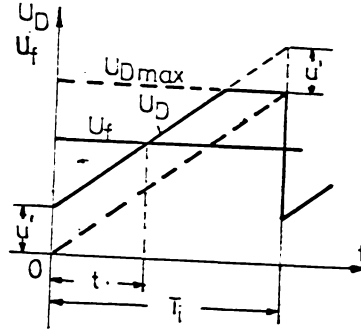
$$U = K \sqrt{f} \cdot u \quad (5.9)$$

Această lege de variație a tensiunii efective cu frecvența este foarte ușor de realizat din punct de vedere al comenzii. Legea după care trebuie să varieze valoarea tensiunii cu frecvența pentru obținerea unor performanțe ridicate la acționarea cu mașini asincrone a diferitelor instalații industriale este în general mult diferită de aceasta.

În cazul instalației experimentale, prin modificarea parametrului  $u'$ , este posibilă obținerea și a altor legi de variație între tensiune și frecvență.

5.2.4.2. Cazul  $u' > 0$  (fig.5.12)

Fig.5.12  
Forma de variație a tensiunii de referință pentru  $u' > 0$ .



Ecuția tensiunii  $U_D$  este:

$$U_D = u' + k_1 f \cdot t \quad (5.10)$$

iar a tensiunii  $U_f$ :

$$U_f = k_2 \cdot f \quad (5.11)$$

Din egalitatea lor rezultă:

$$t = \frac{k_2 f - u'}{k_1 f} = \frac{k_2}{k_1} - \frac{u'}{k_1 f} = k - \frac{u'}{k_1 f} \quad (5.12)$$

și durata relativă a impulsului:

$$\frac{t}{T_i} = \frac{k - \frac{u'}{k_1 f}}{T_i} = \frac{k - \frac{u'}{k_1 f}}{\frac{U_{Dmax}}{k_1 f}} = k' f - \frac{u'}{U_{Dmax}} \quad (5.13)$$

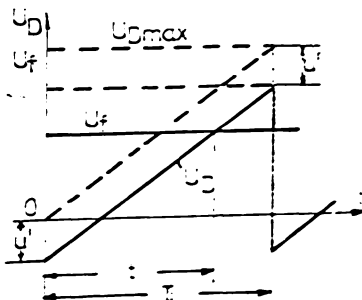
Valoarea efectivă a tensiunii de ieșire, notând raportul  $u'/U_{Dmax}$  cu  $f_1$ , este:

$$U = K \sqrt{f - f_1} \cdot u \quad (5.14)$$

care reprezintă o parabolă decalată pe orizontală cu  $f_1$  înspre dreapta, față de curba dată de (5.9).

5.2.4.3. Cazul  $u' < 0$  (fig.5.13)

Fig.5.13  
Forma tensiunii de referință pentru  $u' < 0$ .



Pe baza acelorasi considerente se obtine:

$$U_D = k_1 f \cdot t - u' \quad (5.15)$$

$$U_f = k_2 f \quad (5.16)$$

$$t = \frac{k_2 f + u'}{k_1 f} = k + \frac{u'}{k_1 f} \quad (5.17)$$

$$\frac{t}{T_i} = \frac{k + \frac{u'}{k_1 f}}{\frac{U_{Dmax}}{k_1 f}} = k'f + \frac{u'}{U_{Dmax}} \quad (5.18)$$

Cu notația

$$\frac{u'}{U_{Dmax}} = f_2 \quad (5.19)$$

se obtine pentru valoarea efectivă a tensiunii de iesire cu modulare in durată a impulsurilor relația:

$$U = K \sqrt{f + f_2 u} \quad (5.20)$$

Tensiunea variaza parabolic cu frecvența, parabola fiind decalată pe orizontală spre stînga cu  $f_2$  față de parabola cu  $u'=0$ .

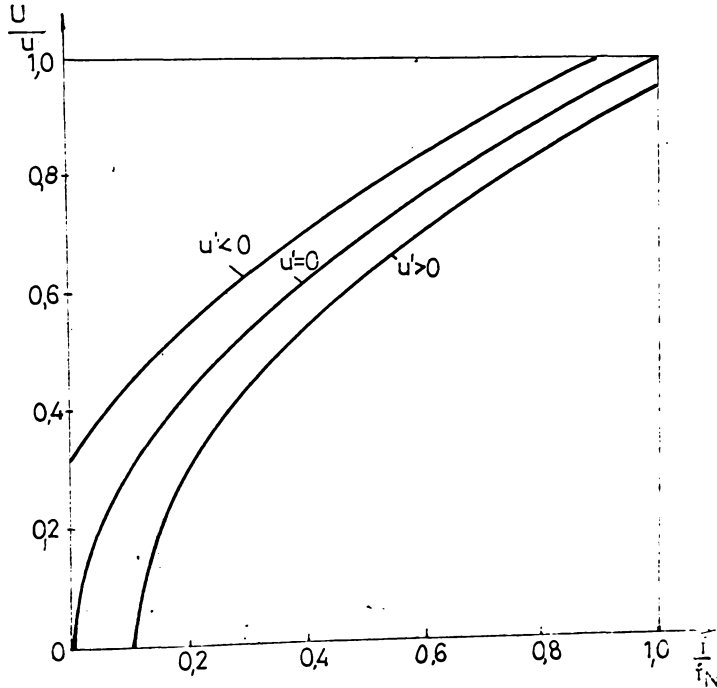


Fig.5.14

Curbele de variație a valorii efective a tensiunii cu frecvența pentru  $u'$  ca parametru.

Parametrul suplimentar  $u'$  servește deci pentru deplasarea pe orizontală a curbei  $U = \varphi(f)$ . În acest fel, pentru orice frecvență, prin parametrul  $u'$  poate fi schimbată valoarea efectivă a tensiunii, ceea ce este foarte important din punct de vedere al legii de variație  $U-f$  ce poate fi realizată.

Curbele de variație ale valorii efective ale tensiunii pentru trei valori ale parametrului  $u'$ , sînt reprezentate în fig. 5.14.

Obținerea unei legi dorite de variație tensiune-frecvență la ieșirea convertizorului se realizează prin alegerea corespunzătoare a parametrului  $u'$ , respectiv a dependenței mărimilor  $f_1$  și  $f_2$  față de frecvența convertizorului  $f$ . Dat fiind faptul că există posibilitatea de modificare a valorii tensiunii continue  $u'$  este posibil obținerea unei legi dorite de variație tensiune-frecvență.

#### 5.2.5. Schemele bloc ale elementelor de comandă

Pentru obținerea semnalului logic treaptă  $S_t$  și a semnalului  $L_1$ , se folosește schema bloc din fig. 5.15.

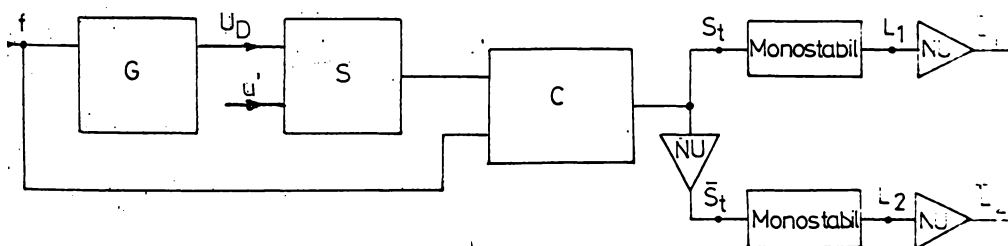


Fig. 5.15

Schema bloc pentru obținerea semnalelor  $S_t$  și  $L_1$ .

Așa cum s-a prezentat la § 5.2.3. semnalul logic treaptă se obține pe baza tensiunii de referință generate de generatorul de tensiune triunghiulară  $G$ , tensiune care după ce se însumează în sumatorul  $S$  cu tensiunea continuă  $u'$ , se compară în comparatorul  $C$  cu tensiunea ce reprezintă frecvența și are valoarea 0 sau  $U_D$ , după cum diferența  $U_D - U_f \cong 0$  (fig. 5.10). Perioada semnalului este determinată de perioada impulsurilor tensiunii de ieșire:  $T_i = T/N$ .

Semnalul logic treaptă constituie unul din semnalele principale pentru comanda aprinderii tiristoarelor și pentru obținerea semnalului  $L_1$  care mărește siguranța de aprindere a tiristoarelor și constituie semnalul de intrare în contorul sincron. El

semnalul  $S_t$  se obține și semnalul  $\bar{S}_t$ ,  $L_2$  și  $\bar{L}_2$  care vor servi la comanda tiristorului inferior al coloanei.

Contorul sincron servește pentru obținerea semnalelor logice suplimentare X, Y, Z. Astfel pe baza tabelului 5.1 de valori informaționale și a ecuațiilor logice (5.2) semnalele logice suplimentare rezultă prin combinarea logică a celor 4 intrări  $\alpha_1 + \alpha_2$  ale contorului sincron, schema bloc fiind prezentată în fig.5.16.

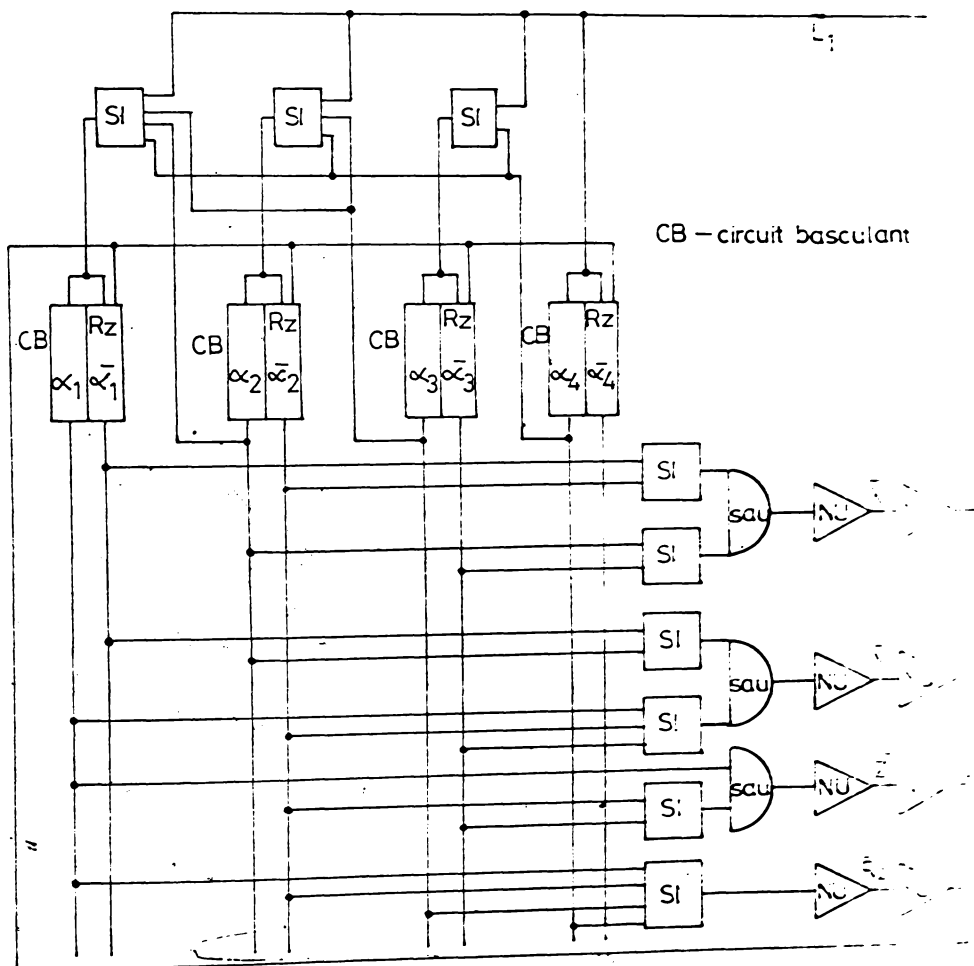


Fig.5.16

Schema bloc a contorului sincron.

Semnalele logice suplimentare au forma din fig.5.16 și apariția lor este determinată de prezența semnalului  $L_2$ .

Semnalul de tact H care se obține cu schema bloc prezentată în fig.5.17, are forma unui tren de impulsuri care se repetă periodic cu durata ciclului de aproximativ 75 μs.

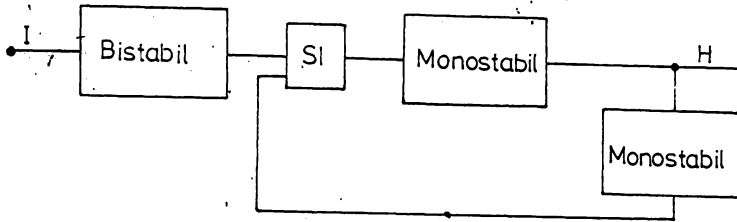


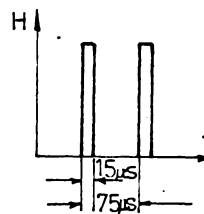
Fig.5.17

Schema bloc pentru obținerea semnalului de tact.

Forma impulsurilor semnalului de tact sînt reprezentate în fig.5.18.

Fig.5.18

Forma semnalului de tact.



Semnalele logice obținute de la diferite dispozitive de comandă sînt aplicate electrozilor de comandă ai tiristoarelor, asigurîndu-se starea de conducție a acestora. Schema bloc de obținere a acestor impulsuri este prezentată în fig.5.19. Din schemă se observă că, pentru comanda tiristorului superior al coloanei 1 spre exemplu, este nevoie de un semnal obținut din expresia logică:

$$E_1 = S_t \cdot X \cdot H + \bar{L}_1 \cdot X \quad (5.21)$$

iar pentru comanda tiristorului inferior:

$$\bar{E}_1 = \bar{S}_t \cdot H + \bar{X} \cdot H + \bar{L}_2 \quad (5.22)$$

Printr-un astfel de sistem de comandă se poate asigura o funcționare corectă și sigură a convertizorului.

Pe baza schemelor bloc din fig.5.15 + 5.19 s-a realizat sistemul de comandă al convertizorului cu posibilitate de modificare independentă a valorii frecvenței și amplitudinii tensiunii de ieșire. Alegerea elementelor componente și ale parametrilor acestora s-a făcut ținînd seama de condițiile concrete de funcționare.

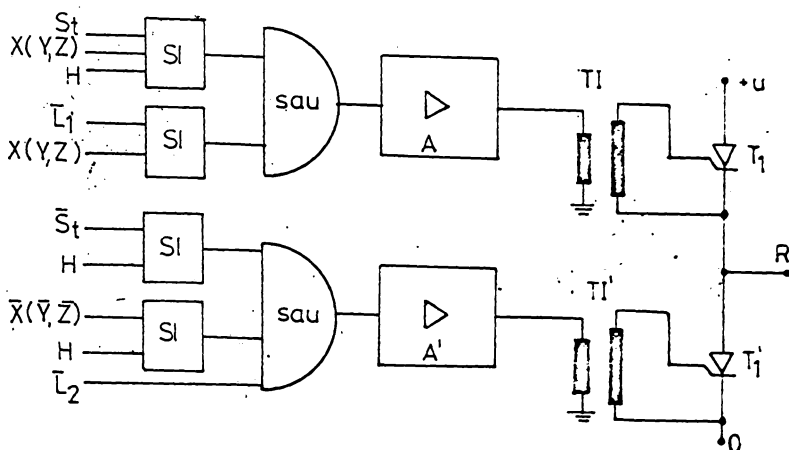


Fig.5.19

Schema bloc pentru obținerea impulsurilor de comandă ale tiristoarelor: A, A' - amplificatoare de putere; TI, TI' - transformatoare de impuls.

ționare ale convertizorului. S-a urmărit pe de -o parte o funcționare sigură într-un domeniu de variație a tensiunii și frecvenței cât mai larg, iar pe de altă parte, obținerea unor mărimi de ieșire conform cu cerințele impuse de mașina electrică alimentată.

Astfel, frecvența convertizorului poate fi modificată în intervalul  $10 \div 75$  Hz, iar a valorii tensiunii între  $25 \div 220$  V, mărimi care asigură posibilitatea de modificare a vitezei în limitele  $(0,2 \div 1,5) \Omega_1$ .

### 5.3. Armonicile tensiunii convertizorului cu modulare în durată a impulsurilor de tip liniar

#### 5.3.1. Valoarea efectivă a tensiunii de ieșire

În scopul determinării armonicilor de curent și a cuplerilor parazite ale mașinilor asincrone alimentate de la convertizorul cu modulare liniară a impulsurilor este necesar stabilirea armonicilor de tensiune- ordinul, amplitudinea, faza și ponderea lor.

Forma tensiunii de linie a convertizoarelor indirecte cu modulare în durată a impulsurilor după o lege de comandă liniară este reprezentată în fig.5.20.

Din fig.5.20 se observă că în cazul convertizoarelor cu unghi de conducție al tiristoarelor superior de  $180^\circ$  și impulsurile din care este formată tensiunea de linie există

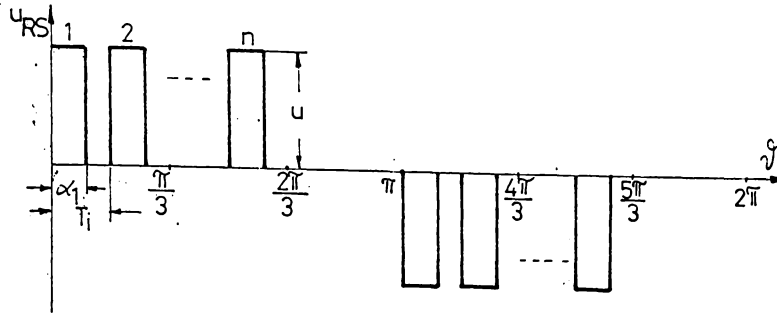


Fig.5.20

Tensiunea de linie a convertizorului cu modulare liniară a impulsurilor.

pe  $2\pi/3$  dintr-o semiperioadă. Mărimile care definesc forma impulsurilor de tensiune sînt valoarea tensiunii continue  $u$  (fixează înălțimea impulsurilor), durata unui impuls  $\alpha_1$  și perioada unui impuls  $T_i$ , determinată de numărul de impulsuri  $N$  ce pot exista pe o perioadă a fundamentalei tensiunii de ieșire.

Cu notațiile din fig.5.20, durată relativă a unui impuls este:

$$\varepsilon = \frac{\alpha_1}{T_i} \quad (5.23)$$

Intre perioada impulsurilor și perioada tensiunii de ieșire există relația de legătură:

$$T_i = \frac{T}{N} = \frac{2\pi}{3n} \quad (5.24)$$

unde prin  $n$  s-a notat numărul de impulsuri pe  $1/3$  din perioada fundamentalei tensiunii de ieșire (fig.5.20).

Introducînd pe (5.24) în (5.23) rezultă:

$$\varepsilon = \frac{\alpha_1}{T} 3n = \alpha_1 \frac{3n}{2\pi} \quad (5.25)$$

și aria unui impuls:

$$A_1 = \alpha_1 u = \frac{2\pi}{3n} \varepsilon u \quad (5.26)$$

Tinînd seama că o perioadă a tensiunii de ieșire este formată din  $2n$  impulsuri, rezultă pentru valoarea efectivă a tensiunii de linie expresia:

$$U = \sqrt{\frac{2}{3}} \varepsilon u \quad (5.27)$$

Expresia (5.27) ne arată că valoarea efectivă a tensiunii convertizorului depinde parabolic de durată relativă a impulsurilor  $\varepsilon$  și liniar de valoarea tensiunii continue  $u$ . Obținerea unei

tensiuni adecvate frecvenței de funcționare a convertizorului se poate deci realiza prin modificarea corespunzătoare a lui  $\epsilon$  și  $u$ .

Pe de altă parte, din forma tensiunii de linie rezultă că pentru a avea un număr întreg de impulsuri pe restul de  $1/3$  dintr-o semiperioadă este necesar ca  $n$  să fie un număr par.

Făcând raportul dintre valoarea efectivă a tensiunii de ieșire și valoarea tensiunii continue  $u$ , se obține:

$$\frac{U}{u} = \sqrt{\frac{2}{3}\epsilon} \quad (5.28)$$

a cărei reprezentare grafică este dată în fig.5.21 și care arată dependența valorii efective a tensiunii de ieșire funcție de durata relativă a impulsurilor.

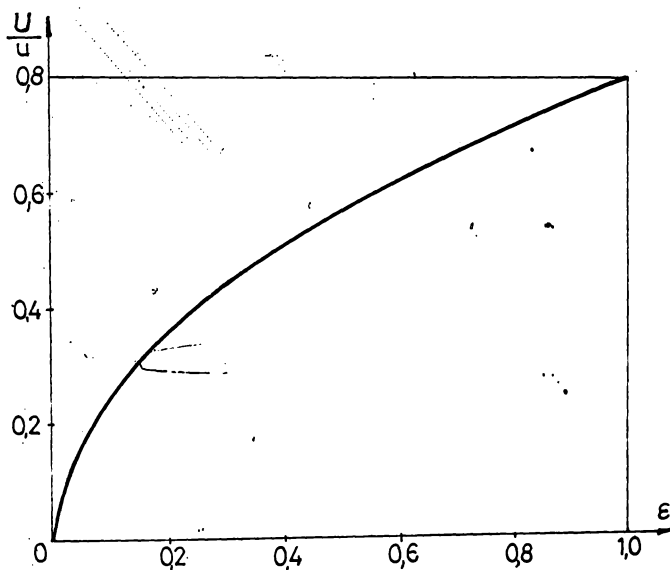


Fig.5.21

Forma de variație a valorii efective a tensiunii convertizorului funcție de durata relativă a impulsurilor.

Alimentarea convertizorului de la un transformator cu prize s-a făcut cu scopul de a permite la nevoie obținerea de tensiuni de ieșire diferite la o anumită durată relativă a impulsurilor. Prin aceasta se evită funcționarea convertizorului la valori ale duratei relative  $\epsilon$  apropiate de 0 sau 1, caz în care timpul de conducție al tiristoarelor superioare, respectiv inferioare ar fi prea mic.

Dacă valoarea numărului de impulsuri  $N$  nu are importanță asupra valorii efective a tensiunii convertizorului acesta

mare importanță asupra conținutului de armonici din tensiunea de ieșire și al pierderilor prin comutație.

### 5.3.2. Amplitudinea armonicilor de tensiune

Tensiunea de linie a convertizorului, avînd o formă simetrică față de axa absciselor, poate fi descompusă în serie Fourier și va conține numai termeni impari de forma [7]:

$$u_{RS} = \sum_{\nu=1}^{\infty} (a_{\nu} \cos \nu \omega t + b_{\nu} \sin \nu \omega t) \quad (5.29)$$

unde indicele  $\nu$  reprezintă ordinul armonicii de tensiune din seria Fourier.

Dacă se introduc notațiile:

$$A_{\nu} = \sqrt{a_{\nu}^2 + b_{\nu}^2} \quad (5.30)$$

$$\varphi_{\nu} = \arctg \frac{b_{\nu}}{a_{\nu}} \quad (5.31)$$

relația care exprimă tensiunea de linie devine:

$$u_{RS} = \sum_{\nu=1}^{\infty} A_{\nu} \cos(\nu \omega t - \varphi_{\nu}) \quad (5.32)$$

Pentru a da calculelor un caracter general, valoarea tensiunii continue se consideră egală cu unitatea, iar amplitudinea armonicilor se exprimă în valori raportate (în procente) față de tensiunea continuă  $u$ .

Valorile coeficienților seriei Fourier se determină cu relațiile:

$$a_{\nu} = \frac{2}{\nu \pi} \sum_{p=0}^{p=n-1} [\sin \nu (\varepsilon + p) T_i - \sin \nu p T_i] \quad (5.33)$$

$$b_{\nu} = \frac{2}{\nu \pi} \sum_{p=0}^{p=n-1} [\cos \nu p T_i - \cos \nu (\varepsilon + p) T_i] \quad (5.34)$$

Calculul teoretic al armonicilor în care se descompune tensiunea convertizorului s-a efectuat pe un calculator numeric pentru trei valori ale parametrului  $N$  și pentru durate relative ale impulsurilor variînd între 0 și 1. Rezultatele calculelor sînt centralizate în tabelele 5.2 + 5.4. La alegerea valorilor parametrului  $N$  s-a ținut seama de faptul că în cazul unor valori mici ale lui  $N$ , conținutul de armonici de ordin inferior este mare, iar la alegerea unor valori mari ale lui  $N$ , pierderile prin comutație cresc mult.

Pe baza rezultatelor din tabelele 5.2 + 5.4 s-au reprezentat curbele de variație ale amplitudinilor armonicilor în fig.5.22

Tabelul 5.2

ε	Amplitudinea armonicilor A <sub>j</sub> /u [%] N = 6									
	0,1	0,2	0,3	0,4	0,5	0,6	0,7	0,8	0,9	1,0
1	11,54	23,05	34,49	45,85	57,07	68,14	79,03	89,69	10,01	110,2
3*	29,80	38,32	30,39	42,14	41,72	34,75	97,02	29,80	59,60	31,78
5	11,41	22,05	31,18	38,19	42,60	44,10	42,60	38,19	31,18	22,05
7	11,29	21,08	23,07	31,33	30,43	25,48	17,15	6,55	4,92	13,75
9*	27,64	38,16	21,23	6,83	29,80	27,41	71,57	72,14	40,60	63,57
11	10,91	18,31	19,80	14,89	5,18	6,19	15,58	19,93	17,86	10,02
13	10,67	16,59	15,11	6,89	4,39	13,72	16,94	12,60	2,65	8,48
15*	37,82	57,22	59,49	19,07	33,23	44,50	102,5	82,65	21,03	101,7
17	10,08	12,68	5,88	5,27	12,53	10,49	0,67	9,64	12,81	6,45
19	9,73	10,60	1,81	8,62	11,21	3,58	7,30	11,54	5,26	5,80
21*	54,48	147,5	36,60	82,64	79,97	26,70	171,3	27,56	57,29	72,06
23	8,95	6,41	4,35	9,53	2,48	7,75	8,04	1,99	9,47	4,79
25	8,52	4,41	6,23	7,63	2,28	8,82	2,28	7,63	6,23	4,41
27*	147,9	24,04	119,0	36,82	77,21	105,1	89,04	116,0	56,62	56,51
29	7,59	0,79	7,51	1,58	7,34	2,34	7,09	3,09	6,77	3,80
31	7,10	0,73	7,02	1,47	6,87	2,19	6,64	2,89	6,33	3,53
33*	96,83	37,28	92,15	48,76	54,77	55,52	38,78	87,99	46,19	46,23
35	6,08	3,15	4,45	5,45	1,63	6,30	1,63	5,45	4,45	3,15
37	5,56	3,98	2,70	5,92	1,54	4,82	4,99	1,23	5,88	2,98

Tabelul 5.3

ε	Amplitudinea armonicilor A <sub>j</sub> /u [%] N = 12									
	0,1	0,2	0,3	0,4	0,5	0,6	0,7	0,8	0,9	1,0
1	11,15	22,29	33,42	44,53	55,60	66,64	77,63	88,57	99,45	110,2
3*	37,93	30,39	7,07	42,52	24,02	5,96	0,0	29,80	29,80	0,0
5	2,98	5,90	8,73	11,41	13,89	16,14	18,11	19,77	21,09	22,05
7	2,97	5,84	8,52	10,91	12,93	14,53	15,63	16,21	16,25	15,75
9*	61,25	35,36	18,50	43,39	32,03	131,2	19,37	39,93	64,47	53,84
11	11,00	21,09	29,45	35,38	38,39	38,25	34,93	28,78	20,23	10,02
13	10,93	20,62	27,94	32,05	32,49	29,19	22,55	13,32	2,57	8,48
15*	31,17	33,02	61,73	46,55	51,27	10,35	18,43	14,21	71,58	103,1
17	2,89	5,21	6,52	6,56	5,32	3,04	0,17	2,73	5,10	6,45
19	2,86	5,03	5,98	5,48	3,65	0,93	2,00	4,46	5,84	5,80
21*	44,36	22,02	60,83	6,06	11,56	45,76	37,94	27,46	27,53	0,0
23	10,49	17,29	18,01	12,39	2,41	8,40	16,27	18,42	14,03	4,77
25	10,37	16,46	15,74	8,52	2,22	12,05	16,89	14,75	6,52	4,77
27*	25,33	58,46	22,01	13,22	5,37	49,49	57,85	34,34	47,30	1,23
29	22,70	3,93	2,99	0,41	2,39	3,88	3,24	0,81	2,05	3,53
31	2,67	3,67	2,39	0,38	2,92	3,63	2,08	0,76	3,13	3,53
33*	24,26	30,83	35,60	21,12	36,01	29,58	34,38	60,45	45,57	0,37
35	9,65	11,75	4,65	6,08	12,06	8,60	1,58	10,54	11,24	3,15
37	9,48	10,74	2,68	7,70	11,41	5,22	5,49	11,45	7,49	2,98

Tabelul 5.4

ε	Amplitudinea armonicilor $A_n / u$ [%] $N = 18$									
	0,1	0,2	0,3	0,4	0,5	0,6	0,7	0,8	0,9	1,0
1	11,08	22,16	33,23	44,29	55,34	66,37	77,38	88,37	99,33	110,2
3*	37,18	7,11	32,00	42,25	43,39	18,84	71,52	54,95	35,76	0,0
5	2,50	4,99	7,45	9,84	12,16	14,39	16,51	18,50	20,35	22,05
7	2,04	4,05	6,00	7,86	9,61	11,21	12,65	13,89	14,93	15,75
9*	14,68	32,44	28,51	26,91	43,39	79,52	70,28	35,91	30,71	52,09
11	2,03	3,99	5,80	7,41	8,73	9,74	10,39	10,66	10,53	10,04
13	2,49	4,85	6,96	8,72	10,03	10,83	11,07	10,74	9,86	8,48
15*	69,88	98,25	154,8	162,2	59,61	54,52	65,46	29,80	133,4	162,8
17	10,92	20,88	29,02	34,63	37,21	36,53	32,66	25,94	16,95	6,43
19	10,88	20,57	28,02	32,42	33,29	30,53	24,44	15,69	5,22	5,80
21*	98,25	82,15	110,9	100,9	115,7	68,36	132,6	96,65	68,31	1,49
23	2,44	4,50	5,84	6,25	5,67	4,18	2,03	0,43	2,84	4,79
25	1,98	3,59	4,53	4,62	3,84	2,34	0,40	1,60	3,31	4,41
27*	58,56	32,13	116,4	48,48	18,25	59,16	18,39	32,95	47,64	0,0
29	1,96	3,43	4,04	3,63	2,32	0,42	1,58	3,18	3,99	3,50
31	2,39	4,09	4,63	3,84	1,96	0,48	2,79	4,30	4,58	3,50
33*	57,08	14,91	106,9	42,57	69,99	24,68	18,26	78,10	66,25	0,37
35	10,40	17,04	17,52	11,66	1,58	9,07	16,44	17,86	12,82	3,15
37	10,32	16,49	16,02	9,04	1,49	11,48	16,84	15,42	7,79	2,30

\* Amplitudinea armonicilor multipli de trei din tabelele 5.2+5.4 sînt amplificate de  $10^6$  ori.

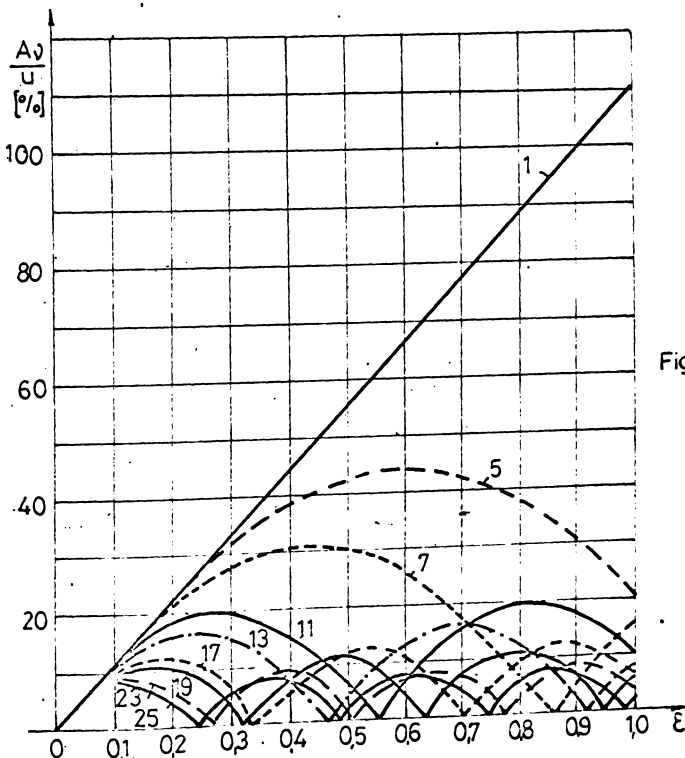


Fig.5.22a

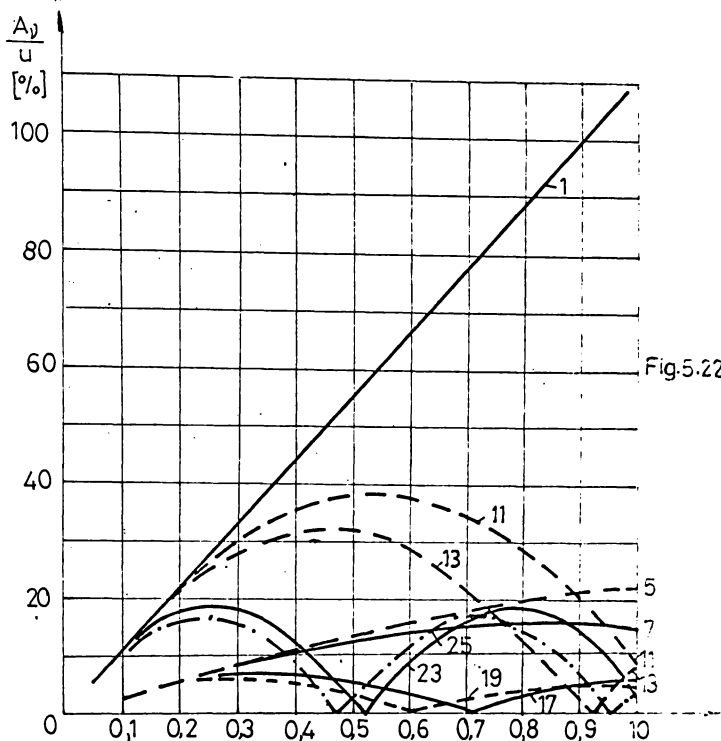
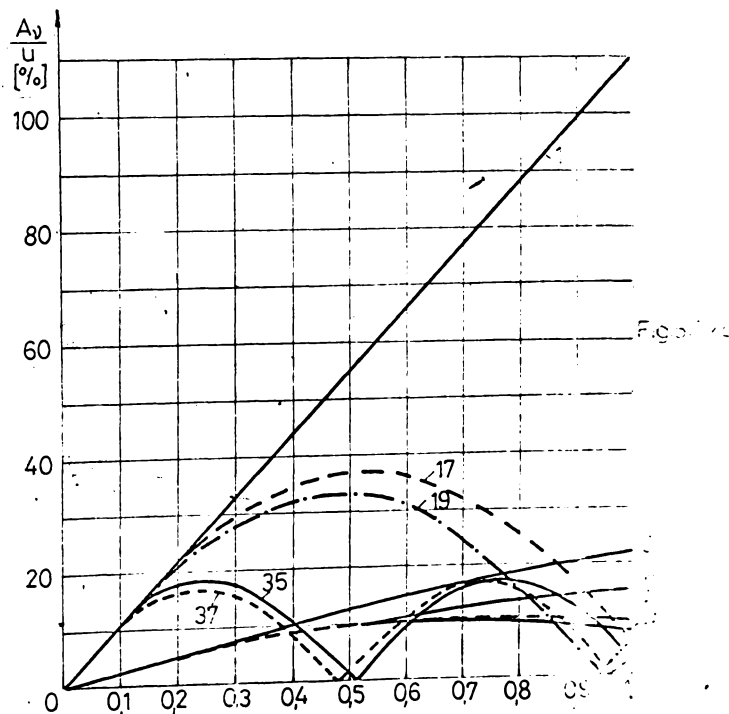


Fig. 5.22

Variația amplitudinii armoni-  
cilor tensiunii  
de linie a con-  
vertizorului  
funcție de du-  
rata relativă a  
impulsurilor:  
a - pentru  $N=6$ ;  
b - pentru  $N=12$ ;  
c - pentru  $N=18$ .



Rezultatele calculelor efectuate scot în evidență faptul că în tensiunea de linie ponderea armonicilor de ordinul trei și multiplii săi, este mică în comparație cu celelalte armonici. În absența conductorului de nul, tensiunea de linie nu va conține aceste armonici.

Compararea rezultatelor privind conținutul de armonici pentru cele trei valori ale parametrului  $N$  arată că:

- pentru cazul  $N = 6$ , durata absolută a impulsurilor de tensiune este mare, pierderile prin comutație relativ reduse, dar armonicile de ordinul 5 și 7 au o pondere mare, mai ales la valori mici ale tensiunii de ieșire, ceea ce va influența negativ funcționarea mașinii asincrone alimentate;

- pentru  $N = 12$ , durata impulsurilor este mai mică, pierderile prin comutație cresc, în schimb se reduc foarte mult armonicile 5 și 7, mărindu-se ponderea armonicilor 11 și 13, care însă nu sînt așa de defavorabile din punct de vedere al funcționării mașinii asincrone;

- pentru  $N = 18$ , durata impulsurilor se reduce mult (mai ales la frecvențe mici), pierderile prin comutație se măresc, armonicile 5, 7, 11 și 13 sînt relativ reduse dar cresc mult armonicile 17 și 19.

Din calcule reiese că de fiecare dată armonicile de ordinul  $N \pm 1$  au ponderea cea mai mare după fundamentală în tensiunea de ieșire, la valori normale ale lui  $\varepsilon$  (0,15 + 0,85).

Fuind în considerare toate aceste aspecte s-a ales pentru instalația experimentală  $N = 12$ , respectiv  $n = 4$ .

### 5.3.3. Verificări experimentale

Pentru verificarea calculelor analitice, pe instalația experimentală s-au măsurat valorile efective ale armonicilor cunoscute în tensiunea de ieșire a convertizorului cu ajutorul unui analizor de armonici. Rezultatele acestor măsurători, pentru diferite valori ale parametrului  $\varepsilon$ , adică ale valorii tensiunii de ieșire și diferite frecvențe, sînt prezentate în tabelul 5.5.

Măsurătorile experimentale privind conținutul de armonici din tensiunea de ieșire s-au executat în următoarele condiții:

- pentru diferite frecvențe de lucru s-a modificat valoarea duratei relative a impulsurilor de tensiune, astfel încît valoarea efectivă a fundamentalei din tensiunea de ieșire să varieze în limitele de 40-120 % față de tensiunea nominală, conform fiecărei frecvențe de lucru determinată pentru fiecare legi de variație  $U - f$  liniare;

- ansamblul convertizor-motor asincron cu rotorul în colivie a funcționat în gol și în sarcină, încărcarea realizându-se pînă la sarcina nominală;

- pentru tensiunea circuitului intermediar de curent continuu s-a admis tensiunea  $u = 330$  V, care asigură o valoare a parametrului  $\epsilon$  acceptabilă, atât la frecvența de 50 Hz, cît și la frecvența de 15+20 Hz;

- s-au determinat armonicile de ordinul 1+25, neglijîndu-se cele de ordin superior, a căror valoare efectivă și amplitudine deși relativ mare față de fundamentală deranjează puțin funcționarea mașinilor asincrone.

Tabelul 5.5.

$f_1$ [Hz]	$\epsilon$	U [V]	Valorile efective ale armonicilor de tensiune $U_n$ [V]							
			1	5	7	11	13	17	23	25
50	0,386	168	96	26,5	22,4	90	71	19	44,4	26,4
	0,463	183	117	31,8	26,4	100	75,6	17,7	25,6	11
	0,540	198	140	37,0	30,0	103	74,4	14,4	1,6	7,1
	0,617	212	161	41,5	32,6	102	67,6	9,2	24	21,0
	0,695	225	183	46,0	34,6	95	56	2,4	42,6	30,0
	0,773	237	204	49,0	36,0	82	40	4,4	51,6	34
	0,850	249	220	51,5	37,0	60	20	8,2	48,5	30
40	0,308	150	75	20,6	18,4	74,2	62	17,6	52,7	36
	0,386	168	96	26,5	22,8	89	71	18,6	44	20,4
	0,463	183	118	31,9	26,6	98	75,5	17,2	25,6	11
	0,540	198	140	36,8	29,8	101	73,7	14	1,4	7,5
	0,617	212	162	41,5	32,4	99	66,6	8,5	22,4	21,0
	0,695	226	183	46	34	91	54	2,5	41	30
	30	0,231	130	54	15,4	13,4	57,6	51,7	14,4	48,7
0,308		150	75	20,8	17,8	75	65	17,6	50,2	30
0,386		168	96	26,8	22,6	87,2	74	18,3	41	20,4
0,463		183	117	32	26,2	95,6	77,4	18	22,7	11
0,540		198	139	36,6	29	98,4	75,4	14,9	1,7	7,5
20		0,154	106	34	9,2	8,7	38,2	34	9,4	36,6
	0,231	130	55,4	14,6	13,3	58	50,8	13,4	47,8	38
	0,308	150	77,4	20,2	17,8	74	64,3	15,8	49	36
	0,386	168	99	25	22,4	87	72,5	16,4	38,6	24
10	0,097	84	21	6,1	5,8	23,2	22,4	7,1	24,6	22,4
	0,116	92	26,2	7,2	7,0	29,4	28	7,5	28,4	20,4
	0,154	106	36,4	9,8	9,4	38,8	36,4	9,6	36,8	20,4
	0,174	112	41,8	10,8	10,4	44,4	40,6	10,4	39,2	35,4
	0,193	118	46,4	11,9	11,6	48,4	45,4	11	41,2	36,4
	0,212	124	51,6	13,3	13,0	52	48,6	11,6	42,2	30

În tabelul 5.5 s-a introdus și valoarea efectivă a tensiunii convertizorului, calculată cu relația (5.27).

Pe baza rezultatelor experimentale din tabelul 5.5 s-a construit diagramele din fig.5.23.

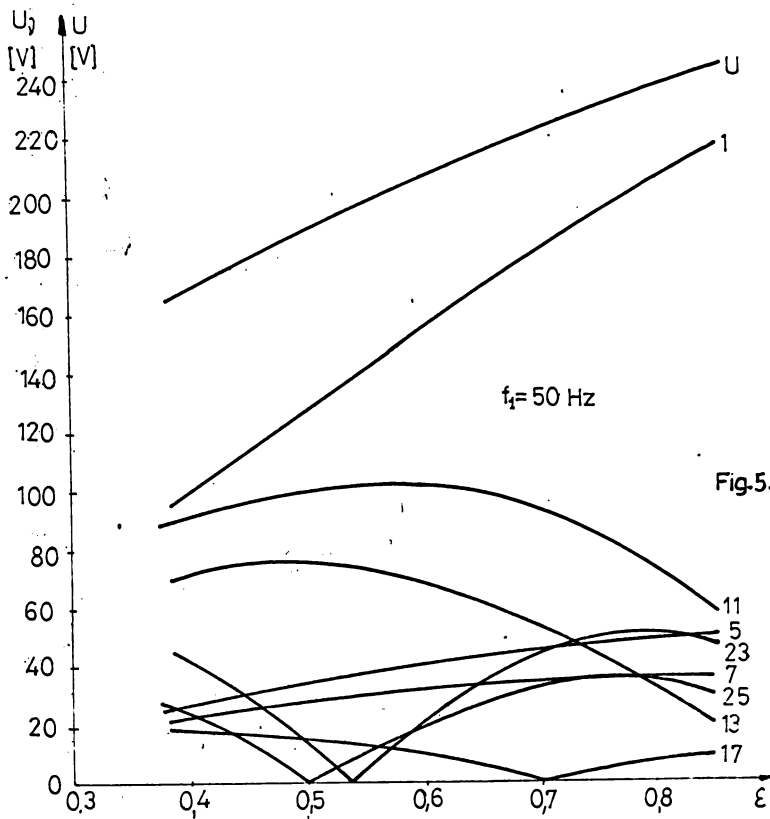


Fig. 5.23a

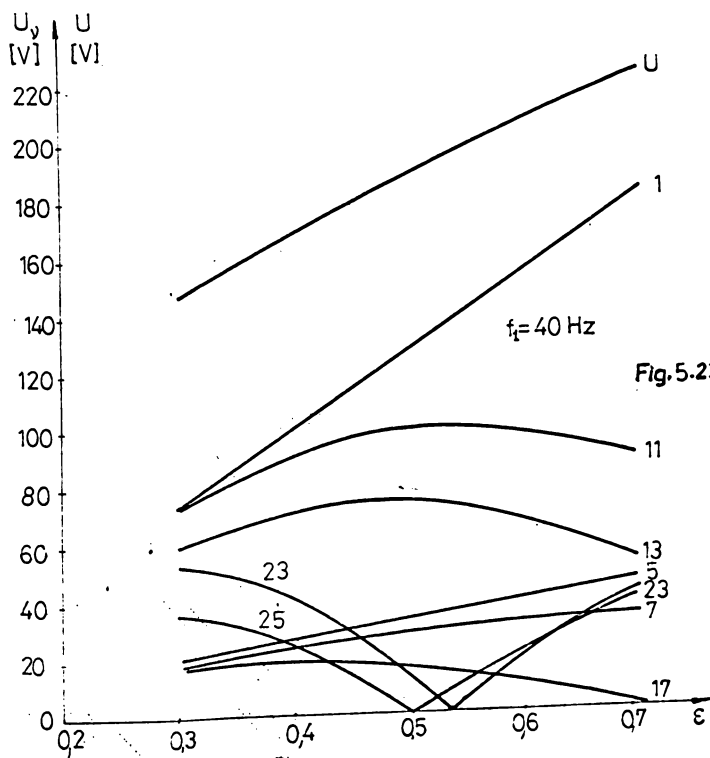


Fig. 5.23 b

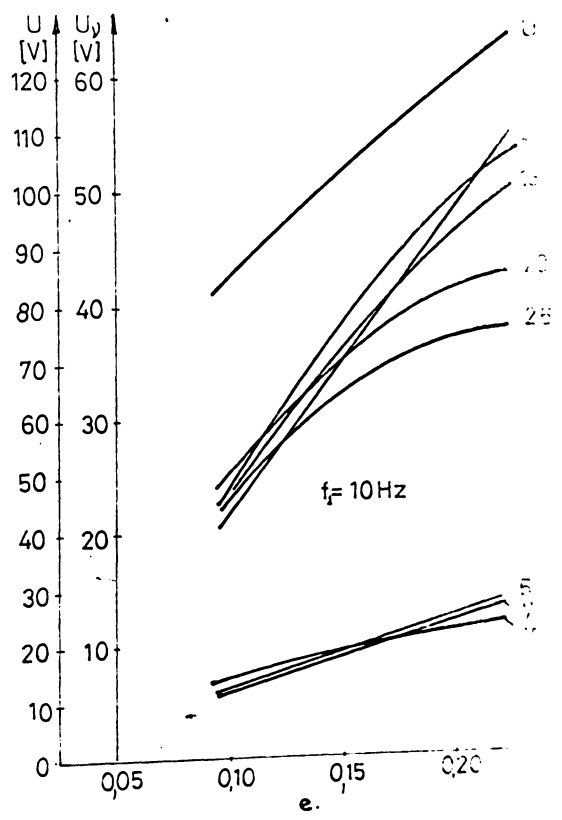
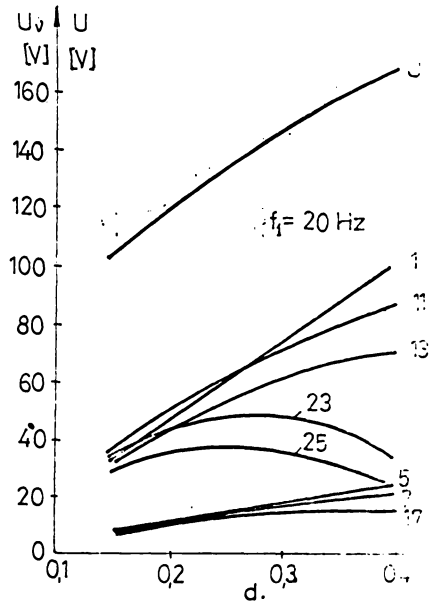
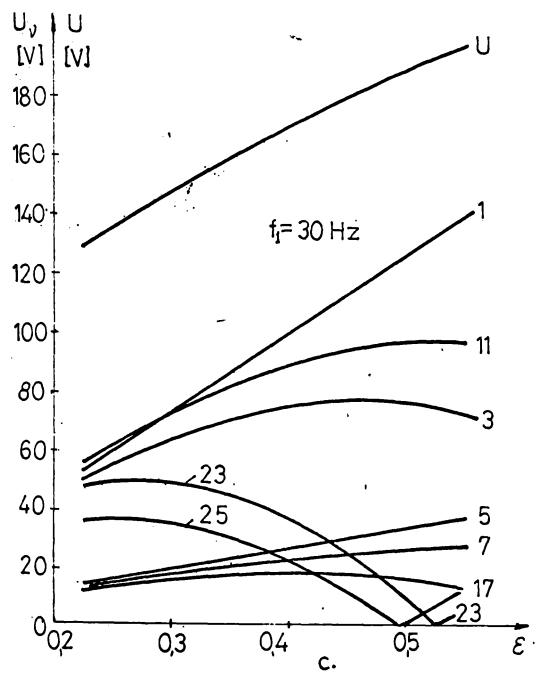


Fig.5.23  
Valoarea efectivă  
a tensiunii de ie-  
șire și a armoni-  
cilor pentru con-  
vertizorul cu  $N=12$   
la diferite frecven-  
te: a - 50 Hz; b -  
40 Hz; c - 30 Hz;  
d - 20 Hz; e - 10 Hz.

Rezultatele experimentale confirmă faptul că valoarea frecvenței tensiunii de ieșire nu influențează conținutul de armonici. Acest conținut de armonici este dependent de valoarea duratei relative a impulsurilor de tensiune.

Rezultatele măsurătorilor experimentale din tabelul 5.5 permit calculul valorii raportate a amplitudinii armonicilor tensiunii de ieșire a convertizorului pentru diferite durate relative ale impulsurilor. Calculele sînt centralizate în tabelul 5.6 și pe baza lor s-au construit curbele din fig.5.24.

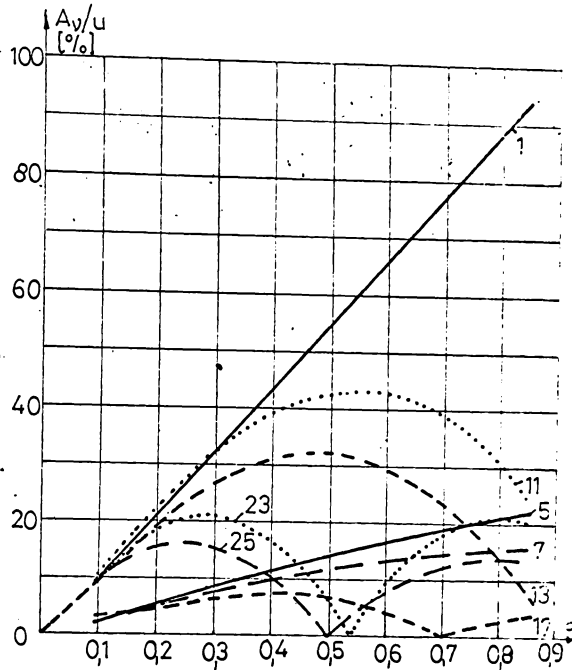
Tabelul 5.6

$U_n$	$\epsilon$	Armonicile de tensiune $U_n$ [V], $A_n/u$ [%]									
		0,1	0,15	0,2	0,25	0,3	0,4	0,5	0,6	0,7	0,85
$U_1$		22	34,5	48	61	74	101	128	157	185	200
$A_1/u$		9,42	14,7	20,5	26,1	31,6	43,2	54,9	67,2	79,2	85,7
$U_5$		6,3	9,4	12,5	16,5	20	27	34	40	45,7	50,0
$A_5/u$		2,69	4,02	5,35	7,06	8,56	11,55	14,5	17,1	20,0	22,2
$U_7$		5,9	9,0	11,8	14,5	17,5	24	28	32	35	37,5
$A_7/u$		2,52	3,84	5,05	6,21	7,50	10,25	11,96	13,7	14,95	15,87
$U_{11}$		24	38	50	62	72,5	92	99,6	101	93	85
$A_{11}/u$		10,25	16,25	21,35	26,50	31	39,3	42,7	43,3	39,8	36,6
$U_{13}$		23	31,5	42,5	54,6	62	73	76	69,6	64	58
$A_{13}/u$		9,85	13,46	18,16	23,33	26,5	31,2	32,41	29,80	27,2	25,0
$U_{17}$		7,3	9,6	11,5	14,3	15,7	18,3	16,0	10,2	0,0	
$A_{17}/u$		3,12	4,11	4,92	6,12	6,72	7,84	6,35	4,36	0,0	
$U_{33}$		25	35	42,5	48,3	50	39	14	19	42,3	
$A_{23}/u$		10,7	14,95	18,16	20,65	21,35	16,65	6,00	8,13	18,2	
$U_{25}$		23	31,7	36,5	37,8	36	24	0,0	20,5	32	
$A_{25}/u$		9,85	13,55	15,60	16,15	15,4	10,25	0,0	8,78	15,33	

Ca prime concluzii ce rezultă în urma măsurătorilor experimentale efectuate și a comparării valorilor obținute cu cele determinate analitic se pot menționa următoarele:

- lipsa armonicilor de ordinul trei și multiplii lui din tensiunea de linie în absența conductorului de nul;
- concordanța bună între valorile experimentale și calculate analitic, erorile ce apar nedeșind  $7\pm 8\%$ ; acestea sînt datorate fenomenului de comutație a tiristoarelor în urma căruia forma impulsurilor de tensiune se modifică puțin față de forma teoretică, așa cum se observă și în fig.5.24.

Fig.5.24  
Amplitudinea relativă a armonicilor tensiunii convertizorului.



- conținutul de armonici crește mult odată cu scăderea duratei relative a impulsurilor, respectiv odată cu micșorarea tensiunii de ieșire;

- ponderea cea mai mare în tensiunea de ieșire, după fundamentală, o au armonicile de ordinul  $\nu = N \mp 1$ , mai ales la valori mici ale duratei relative;

- valorile experimentale ale armonicilor de tensiune pentru funcționarea mașinii asincrone în gol și în sarcină practic nu variază, ceea ce înseamnă că forma tensiunii de ieșire se menține aceeași independent de sarcină mașinii alimentate prin convertizor.

Fig.5.25a

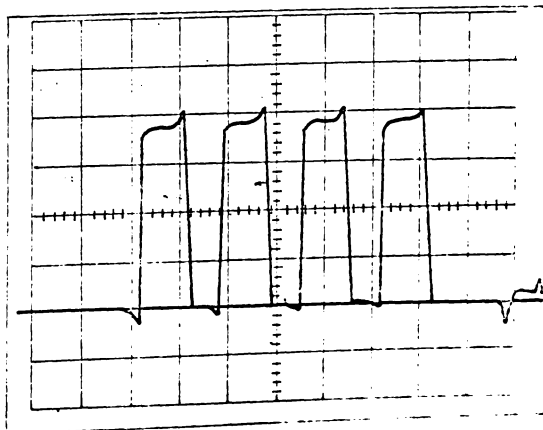


Fig.5.25b

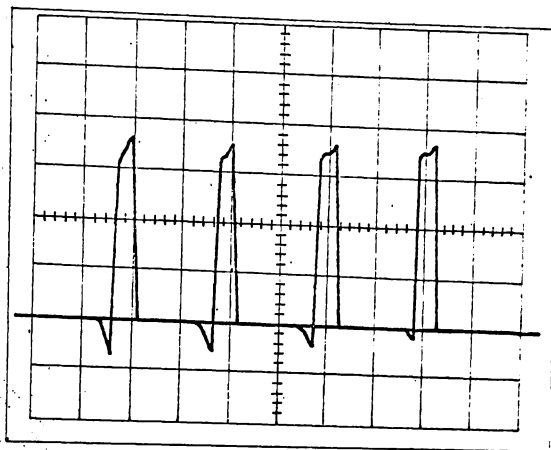


Fig.5.25

Forma reală a impulsurilor de tensiune: a -  $f_1 = 50$  Hz,  
 $X = 1 \cdot 10^{-3}$  s/cm;  $Y = 90$  V/cm,  $\varepsilon = 0,6$ ; b -  $f_1 = 20$  Hz,  
 $X = 2 \cdot 10^{-3}$  s/cm;  $Y = 90$  V/cm,  $\varepsilon = 0,21$ .

Forma reală a impulsurilor din care este formată tensiunea de ieșire a convertizorului pentru două valori ale frecvenței și duratei relative a impulsurilor este prezentată în fig.5.25.

#### 5.4. Armonicile curentului mașinii asincrone alimentate prin convertizoare statice. Influența armonicilor de tensiune și curent asupra cuplului

La alimentarea mașinii asincrone de la convertizoare statice de tensiune și frecvență, tensiunea căroră conține o oarecare de armonici, prin mașină vor circula curenți corespunzători armonicilor din curba tensiunii. Curenții armonici care circulă prin înfășurările mașinii vor determina la rîndul lor cupluri armonice care se vor suprapune peste cuplul fundamental al curentului. Studiul teoretic al armonicilor din tensiune și cuplu poate fi făcut considerînd că asupra mașinii statice acționează o singură armonică [93]. Aceasta înseamnă că din punct de vedere teoretic se poate studia și calcula aștit valoarea cuplului prin mașină determinat de fiecare armonică a tensiunii acționînd separat, cît și cuplurile ce se produc, urmează apoi să se face însumarea efectelor tuturor armonicilor.

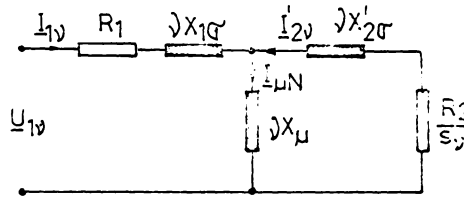
5.4.1. Armonicile de curent

5.4.1.1. Calculul analitic al armonicilor de curent

Pentru calculul analitic al armonicilor de curent prin mașină asincronă este necesar să se cunoască armonicile din curentul tensiunii și impedanța echivalentă a circuitului mașinii corespunzătoare fiecărei armonici. Determinarea valorii impedanței echivalente a circuitului se face considerând schema echivalentă simplificată a mașinii asincrone [15],[86] reprezentată în fig.5.26, pentru armonica  $\nu$ .

Fig.5.26

Schema echivalentă simplificată a mașinii asincrone corespunzătoare armonicii  $\nu$ .



Conform schemei echivalente din fig.5.26 și a ipotezelor simplificatoare prezentate în § 1.2.1, ecuațiile mașinii sincrone, scrise în mărimi complexe corespunzătoare unei armonici oarecare  $\nu$ , sînt:

$$\begin{aligned} \underline{U}_{1\nu} &= R_1 \underline{I}_{1\nu} + j\nu X_{1\sigma} \underline{I}_{1\nu} + j\nu X_\mu \underline{I}_\mu \\ 0 &= R_2' \underline{I}_{2\nu} + j\nu s_\nu X_{2\sigma}' \underline{I}_{2\nu} + j\nu s_\nu X_\mu \underline{I}_\mu \\ \underline{I}_\mu \nu &= \underline{I}_{1\nu} + \underline{I}_{2\nu} \end{aligned}$$

unde s-au notat cu indicele 1 mărimile statorice, cu indicele 2 mărimile rotorice reduse la stator, cu  $\nu$  ordinal armonicii, cu  $s_\nu$  alunecarea corespunzătoare armonicii luat în considerare (față de cea a cîmpului învîrtitor dat de fundamentală).

Rezolvînd acest sistem de ecuații, rezultă rezistența și reactanța circuitului echivalent:

$$R_{e\nu} = R_1 + \frac{R_2'}{s_\nu} + \frac{\nu^2 X_\mu^2}{\left(\frac{R_2'}{s_\nu}\right)^2 + \nu^2 (X_{2\sigma}' + X_\mu)^2} \quad (5.2)$$

$$X_{e\nu} = X_{1\sigma} + X_\mu \frac{\left(\frac{R_2'}{s_\nu}\right)^2 + \nu^2 X_{2\sigma}'(X_{2\sigma}' + X_\mu)}{\left(\frac{R_2'}{s_\nu}\right)^2 + \nu^2 (X_{2\sigma}' + X_\mu)^2}$$

Impedanța echivalentă a mașinii poate fi scrisă

$$\underline{Z}_{e\nu} = R_{e\nu} + j\nu X_{e\nu}$$

al cărei modul și argument sînt:

$$Z_{ev} = \sqrt{R_{ev}^2 + \sqrt{2} X_{ev}^2} \quad (5.41)$$

$$\operatorname{tg} \varphi_v = \frac{X_{ev}}{R_{ev}} \quad (5.42)$$

Cunoscând valoarea armonicilor tensiunii de ieșire a convertizorului și valoarea impedanței echivalente, rezultă curenții statorici corespunzători fiecărei armonici:

$$I_{1v} = \frac{U_{1v}}{Z_{ev}} \quad (5.43)$$

Valoarea efectivă a armonicii  $v$  a curentului se determină cu relația:

$$I_{1v} = \frac{U_{1v}}{Z_{ev}} \quad (5.44)$$

Calculul analitic și verificările experimentale s-au făcut pentru cazul alimentării unei mașini asincrone cu rotorul colivie avînd datele din tabelul 5.7:

Tabelul 5.7

$P_N$ [kW]	$U_{1N}$ [V]	$I_{1N}$ [A]	$n_N$ [rot/min]	$\cos \varphi$	$R_1$ [Ω]	$R_2'$ [Ω]	$X_1$ [Ω]	$X_2'$ [Ω]
7,5	220/380	27,6/15,9	1430	0,85	0,500	0,750	1,33	1,42

Pe baza relațiilor (5.38) și (5.41), pentru diferite valori ale tensiunii de alimentare și diferite armonici calculat valorile impedanțelor echivalente ale mașinii asincrone funcționarea la sarcină nominală, rezultatele calculului centralizate în tabelul 5.8.

Tabelul 5.8

$f_1$	Impedanțele echivalente [Ω]					
	1	5	7	11	23	25
50	15,1	13,4	18,8	29,5	34,9	61,7
40	12,1	10,75	15,05	23,6	27,9	49,4
30	9,2	8,06	11,3	17,7	20,83	37
20	6,25	5,36	7,53	11,8	13,95	24,7
10	3,55	2,63	3,76	5,93	7,01	12,9

Valorile efective ale armonicilor de curent pentru o anumită alimentare a mașinii păstrînd raportul dintre valoarea efectivă a fundamentalei și frecvența constantă, se determină cu relația (5.44), sînt date în tabelul 5.9.

Tabelul 5.9

$f_1$ [Hz]	$U_1$ [V]	Armonicile curentului la $U_1/f_1 = ct$ [A]							
		1	5	7	11	13	17	19	23
50	220	14,6	3,85	1,97	2,03	0,575	0,785	0,4	0,2
40	176	14,6	4,10	2,28	4,20	2,15	0,77	0,5	0,3
30	132	14,4	4,22	2,61	3,64	0,284	0,2	0,2	0,2
20	88	14,0	4,30	2,79	6,95	5,13	1,75	1,10	0,8
10	44	13,2	4,31	2,93	7,71	6,15	3,30	2,75	2,25

Observație: În tabelul 5.8 și 5.9 prin  $U_1$  s-a notat valoarea efectivă a fundamentalei tensiunii de alimentare, iar prin  $f_1$  frecvența acesteia.

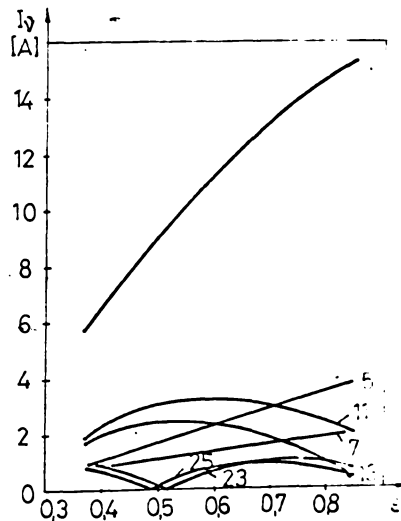
#### 5.4.1.2. Verificări experimentale

Experimental, cu ajutorul unui analizor de armonicii s-a măsurat valorile efective ale armonicilor de curent pentru diferite tensiuni și frecvențe de alimentare, respectiv pentru diferite sarcini ale mașinii asincrone. Rezultatele măsurărilor sînt sistematizate în tabelul 5.10.

Prelucrarea datelor experimentale permite trasarea curbelor de variație ale armonicilor curentului funcție de durata relativă a impulsurilor de tensiune  $\epsilon$ , la diferite sarcini ale mașinii și la diferite frecvențe ale fundamentalei. Forma acestor curbe, avînd în vedere faptul că impedanța mașinii este constantă la o anumită sarcină, este asemănătoare cu cea a curbelor de variație ale armonicilor de tensiune ponderea lor fiind datorită influenței frecvenței asupra impedanței. Pentru frecvența de 50 Hz și sarcină nominală, curbele  $I_n = f(\epsilon)$  sînt reprezentate în fig.5.27.

Fig.5.27

Variația valorii efective a armonicilor de curent la  $f_1 = 50$  Hz și sarcină nominală.



Tabelul 5.10

f <sub>1</sub>	U <sub>1</sub> [V]	ε	M [Nm]	I [A]	Armonicile de curent [A] - valori experimentale						
					1	5	7	11	13	23	25
50	204	0,773	5,1 19,8 35,8	6,61 9,55 13,7	5,35 7,80 12,1	2,14 2,66 3,26	1,25 1,425 1,72	1,82 2,42 2,74	0,745 1,16 1,25	0,605 1,105 0,625	0,66 1,105 0,625
	161	0,617	5,1 13,7 23,75	5,05 7,85 11,9	3,79 6,06 10,1	1,535 1,87 2,315	1 1,01 1,37	2,00 2,77 3,28	1,35 1,84 2,245	0,675 0,675 0,675	0,675 0,675 0,675
	117	0,463	5,1 7,35 15,66	4,33 5,81 9,68	3,26 4,5 8,22	1,005 1,26 1,56	0,712 0,808 0,988	1,95 2,38 2,88	1,56 1,67 2,38	0,578 1,48 0,41	0,578 0,578 0,578
40	183	0,695	4,32 20,22 36,0	8,82 10,9 13,7	6,55 8,50 11,65	2,94 3,16 3,51	1,71 1,81 19,2	2,94 3,52 3,95	1,58 2,12 2,34	0,705 0,705 0,705	0,705 0,705 0,705
	140	0,540	4,32 13,15 23,6	5,81 8,08 11,75	3,86 5,91 9,12	1,75 1,94 2,33	1,01 1,26 1,405	2,581 3,21 3,84	1,52 1,97 2,855	0,575 0,475 0,575	0,575 0,575 0,575
	96	0,386	4,32 8,25 12,75	4,44 6,46 9,24	3,01 4,75 7,27	1,055 1,26 1,48	0,66 0,835 0,96	1,98 2,62 3,04	1,655 2,14 2,43	0,505 0,707 0,707	0,505 0,505 0,505
30	140	0,54	5,5 22,6 35,3	10,4 11,9 13,7	6,66 8,50 11,35	3,26 3,34 3,28	1,78 1,94 1,97	4,55 5,0 5,26	3,29 3,82 3,81	0,575 0,575 0,575	0,575 0,575 0,575
	110	0,435	4,91 12,15 21,8	6,66 8,05 11,2	4,01 5,51 8,78	4,01 2,0 2,285	1,9 1,18 1,44	3,24 3,6 4,47	2,63 2,94 3,62	0,575 0,575 0,575	0,575 0,575 0,575
	75	0,308	4,91 7,85 11,77	4,72 6,12 8,23	3,1 4,2 6,22	1,12 1,265 1,44	0,635 0,837 0,96	2,22 2,68 3,21	1,92 2,28 2,69	0,575 0,575 0,575	0,575 0,575 0,575
20	96	0,386	4,32 17,7 34,6	12,8 12,95 13,7	7,75 7,9 10,85	3,46 3,21 3,29	2,14 2,04 2,37	6,09 5,85 6,45	5,0 4,72 5,04	0,575 0,575 0,575	0,575 0,575 0,575
	75	0,308	4,32 13,75 20,25	8,36 9,46 11,2	4,15 5,54 7,57	2,02 2,04 2,14	1,15 1,245 1,465	3,95 4,16 4,7	3,35 3,65 3,97	0,575 0,575 0,575	0,575 0,575 0,575
	55	0,231	4,72 8,45 12,37	5,6 6,8 8,95	3,0 4,2 6,5	1,22 1,26 1,44	0,714 0,836 1,00	2,64 2,82 3,43	2,34 2,47 2,82	0,575 0,575 0,575	0,575 0,575 0,575
10	46	0,193	3,54 14,7 26,9	11,5 11,8 12,75	6,66 6,61 8,55	3,07 2,72 2,36	1,92 1,74 1,75	5,76 3,5 5,44	5,35 4,85 4,80	0,575 0,575 0,575	0,575 0,575 0,575
	35	0,154	3,54 10,3 18,7	6,7 8,41 10,15	3,82 4,70 6,72	1,73 1,67 1,73	1,00 1,406 1,3	3,62 3,78 4,2	3,29 3,46 3,75	0,575 0,575 0,575	0,575 0,575 0,575
	25,2	0,116	3,93 6,9 8,84	5,02 5,92 7,08	2,70 3,70 4,8	1,00 1,04 1,165	0,604 0,77 0,88	3,19 2,44 2,80	1,92 2,43 2,52	0,575 0,575 0,575	0,575 0,575 0,575

Corespunzător rezultatelor măsurătorilor exper.  
 tab.5.10 pentru cazul unei alimentări a motorului la un curent  
 constant și o încălzire la sarcină nominală, valorile  
 de curent sînt redade în tabelul 5.11.

Tabelul 5.11

$f_1$ [Hz]	$U_1$ [V]	$\varepsilon$	Armonicile curentului [A]						
			1	5	7	11	13	23	25
50	220	0,85	15,3	3,80	2,10	1,98	0,56	0,90	0,71
40	176	0,668	15,5	3,83	2,11	4,20	2,32	0,30	1,71
30	132	0,512	15,7	3,91	2,43	5,56	3,85	0,25	0,61
20	88	0,355	15,9	4,1	2,50	6,55	5,12	1,45	1,60
10	44	0,182	16,2	4,0	2,55	6,98	5,65	2,61	2,1

Aceleași calcule și determinări experimentale privind conținutul de armonici pot fi făcute pentru funcționarea mașinii asincrone la oricare altă sarcină.

Raportind valorile armonicilor de curent calculate analitic (tab.5.9) și determinate experimental (tab.5.11), la valoarea nominală a curentului statoric  $I_{1N}$ , la funcționarea mașinii asincrone la  $U_1/f_1 = \text{constant}$  și sarcină nominală se obțin curbele din fig.5.28.

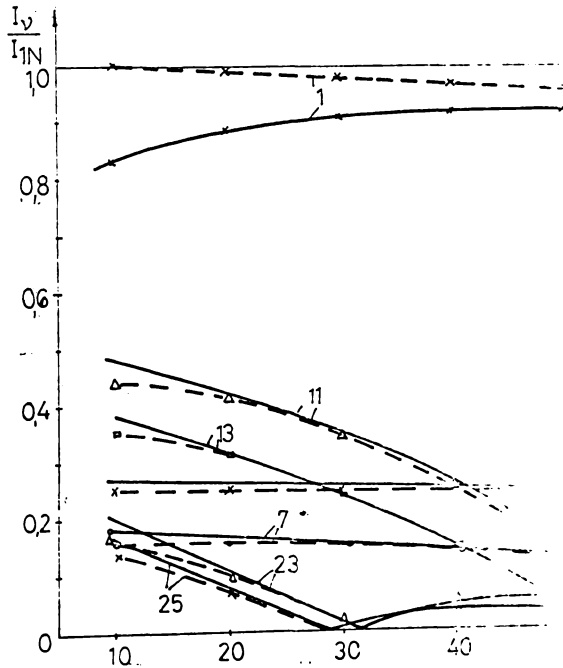


Fig.5.28

Armonicile de curent în valori relative la funcționarea mașinii asincrone la  $U_1/f_1 = \text{ct}$ : ---valori experimentale; — valori calculate analitic.

Din tabelele 5.9 și 5.11 și din fig.5.28 se vede concordanța relativ bună dintre valorile armonicilor calculate analitic și cele obținute experimental. Pentru sarcini mari, care nu depășesc însă 700 %, se observă la funcționarea mașinii la frecvențe și tensiuni mici, unde conținutul de armonici în tensiune și curent este mai pronunțat. Pot fi

zonă diferențele între valorile armonicii fundamentale calculate și măsurate experimental sînt mai mari, fapt datorat în special ipotezelor simplificatoare ce se fac la determinarea impedanței mașinii.

O altă concluzie importantă care rezultă din analiza armonică a curentului este faptul că pentru toate armonicile cu excepția fundamentalei, valorile determinate experimental sînt inferioare celor calculate analitic. Același lucru s-a constatat și pentru cazul alimentării prin convertizor a altor mașini, calculul analitic efectuat conform celor prezentate fiind descriptor.

Calculul și măsurarea armonicilor de curent de ordin superior lui 25 precum și armonicile 17 și 19 a scos în evidență faptul că valoarea lor este redusă (sub 5 %) și de aceea nu neglijate.

Rezultatele calculului analitic și ale măsurătorilor experimentale sînt valabile și pentru alte mașini asincrone din serie de fabricație și cu aceleași date ale parametrilor electrice.

#### 5.4.2. Influența armonicilor de tensiune și curent asupra cuplului mașinii asincrone

Tensiunea nesinusoidală generată de convertizorul de curent și utilizată la alimentarea mașinilor asincrone determină apariția de curenți armonici și cupluri parazite de tip asincron. Cuplurile parazite se suprapun peste cuplul produs de armonică fundamentală, avînd efecte defavorabile asupra curbei cuplului mașinii și asupra valorii cuplului de pornire [93]. În cele ce urmează se va prezenta pe scurt influența armonicilor de tensiune și curent asupra cuplului mașinii asincrone scopul cunoașterii performanțelor acesteia din punct de vedere tehnic - valoarea cuplului la arbore.

##### 5.4.2.1. Cupluri de tip asincron

Cunoașterea armonicilor din curba tensiunii de alimentare și a curentului prin mașină permite determinarea cuplurilor parazite de tip asincron. Pentru aceasta se presupune că fiecare armonică acționează separat asupra mașinii, al cărei rotor rotește cu viteza  $\Omega$ , determinată de armonică fundamentală a tensiunii de alimentare.

În cazul unei alimentări sinusoidale, cuplul dezvoltat de mașina asincronă trifazată corespunde curentului  $J$  este dat de relația:

$$M_{\nu} = \frac{3 U_{\nu}^2}{\Omega_{1\nu}} \frac{R_2'/s_{\nu}}{(R_1 + C_1 \frac{R_2'}{s_{\nu}})^2 + (X_{16\nu} + C_1 X_{26\nu}')^2} = \frac{3}{\Omega_{1\nu}} \cdot \frac{U_{\nu}^2}{s_{\nu}} \cdot \dots \quad (5.45)$$

iar cuplul de răsturnare:

$$M_{kv} = \frac{3 U_{\nu}^2}{\Omega_{1\nu}} \frac{1}{2C_1} \frac{1}{R_1 + \sqrt{R_1^2 + (X_{16\nu} + C_1 X_{26\nu}')^2}} \quad (5.46)$$

unde  $U_{\nu}$  este tensiunea armonică de ordinul  $\nu$ .

Schema echivalentă a mașinii asincrone la alimentarea sinusoidală este aceeași pentru oricare armonică a tensiunii de alimentare [41].

Mașina asincronă poate fi considerată ca un sistem format dintr-o serie de mașini corespunzătoare armonicilor de tensiune cuplate pe același arbore care se rotește cu viteză  $\Omega$  dar alimentate la diferite tensiuni și frecvențe.

Armonicile de curent produse de armonicile de tensiune din stator, determină armonici de bază și superioare ale solenajiei mașinii.

Luând în considerare numai armonicile fundamentale ale solenajiei, viteza de sincronism a acestora este:

$$n_{1\nu} = \nu n_1 \quad (5.47)$$

iar alunecarea corespunzătoare armonicii  $\nu$ :

$$s_{\nu} = \frac{\nu n_1 - n}{\nu n_1} = 1 - \frac{n}{\nu n_1} = 1 - \frac{1-s}{\nu} \quad (5.48)$$

Semnul (-) în (5.48) corespunde armonicilor de rotație în sens direct, iar semnul (+) celor care rotesc în sens invers față de fundamentală.

Datorită faptului că reactanțele mașinii asincrone cresc cu creșterea ordinului armonicilor tensiunii de alimentare, rezultă că armonicile superioare ale curentului au caracteristică negativă. Drept consecință rezultă un factor de putere mic, scăderea randamentului și a cuplului maxim.

Pentru calculul caracteristicilor mecanice ale mașinii asincrone corespunzătoare diferitelor armonici ale tensiunii și curentului se folosesc relațiile (5.45) + (5.48).

La o alimentare cu tensiune nesinusoidală, influența armonicilor de tensiune asupra valorii rezultante a cuplului trebuie să fie apreciată pe baza raportului dintre cuplurile de răsturnare:

[52]: 
$$\frac{M_{kv}}{M_{k1}} \approx \left(\frac{U_{\nu}}{U_1}\right)^2 \frac{1}{\nu} \quad (5.49)$$

relație care ține cont de dependența patrativă a cuplului de răsturnare  $M_{kv}$  de valoarea efectivă a tensiunii (armonica  $k$ -a a tensiunii  $U_1$ ) și de creșterea reactanței mașinii la creșterea frecvenței.

Pentru cazul alimentării unei mașini asincrone de la un convertizor de tensiune și frecvență cu modulare liniară a impulsurilor, la o lege de variație  $U_1/f_1 = \text{ct}$ , se obțin rezultatele din tabelul 5.12.

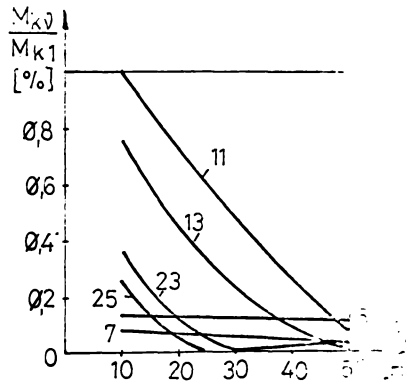
Tabelul 5.12

$f_1$ [Hz]	$U_1$ [V]	Raportul $M_{kv}/M_{k1}$ în %					
		5	7	11	13	23	25
50	220	1,09	0,402	0,62	0,064	0,211	0,211
40	176	1,25	0,540	2,86	0,392	0,202	0,211
30	132	1,33	0,715	5,25	1,92	0,027	0,00
20	98	1,36	0,815	7,90	5,10	1,06	0,40
10	44	1,37	0,895	9,95	7,35	3,01	2,00

Reprezentarea grafică a acestor rezultate este dată în fig.5.29.

Fig.5.29

Variația valorii cuplului de răsturnare al armonicilor funcție de  $f_1$ .



Dintre armonicile care apar,  $\nu = 6k+1$ , unde  $k$  este numărul întreg, cele cu semnul (+) produc cupluri care rotesc în același sens cu armonica fundamentală, cele cu semnul (-) produc cupluri care rotesc în sens invers. Alunecarea rotorului față de armonica fundamentală de ordinul  $\nu$ , dată de relația (5.48) arată că, pentru alunecarea mașinii ca motor, pentru alunecarea fundamentală  $s_1$  și  $s_2$ , alunecarea  $s_\nu$  este apropiată ca valoare de 1 și  $s_1$  și  $s_2$ . În aceste condiții, influența acestor armonici se va face simțită numai la pornirea mașinii, dat fiind valoarea relativ mică a cuplurilor parazite produse de aceste armonici și sincron și influența lor va fi redusă, constatare verificată experimental (v.fig.5.31).

INSTITUTUL DE RECHIZIȚE  
TEHNOLOGICE  
MINISTERUL ENERGIEI CENTRALĂ

Analizând valoarea raportului  $M_{K0}/M_{K1}$  se constată următoarele:

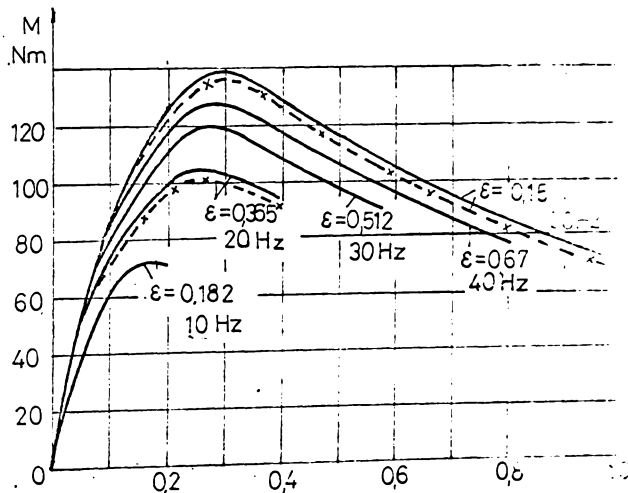
- armonicile de cuplu reprezintă un procentaj relativ redus din cuplul dat de fundamentală, ajungând ca numai la datele rate relative ale impulsurilor mici ( $\varepsilon < 0,2$ ) să reprezinte cel mult 5%; aceasta înseamnă că armonicile de cuplu nu vor modifica mult curba cuplului rezultat;

- funcționarea mașinii ~~xxx~~ la tensiuni ale fundamentalei proporționale cu frecvența, va determina o saturație și o încălzire pronunțată a acesteia;

- dacă se urmărește însă ca mașina asincronă să funcționeze fără saturație exagerată, înseamnă că la reducerea frecvenței va trebui ca valoarea efectivă a tensiunii convertizorului să fie egală cu tensiunea la alimentare sinusoidală; în acest caz valoarea efectivă a fundamentalei tensiunii convertizorului va fi mult mai mică și va afecta serios valoarea cuplului ce poate fi dezvoltat; diminuarea acestui efect se face prin reducerea valorii tensiunii continue și creșterea valorii duratei relative a impulsurilor, prin aceasta reducându-se conținutul de armonici.

Pentru a urmări influența micșorării frecvenței asupra cuplului de răsturnare al mașinii ( $f = 2.3.1$ ) s-au calculat și prezentat în fig.5.30 caracteristicile mecanice  $M = f(\varphi_2)$ , pentru mașina asincronă de 7,5 kW cu datele din tabelul 5.7. Caracteristicile corespund unei legi de variație liniară a fundamentei tensiunii de alimentare funcție de frecvență ( $U_1/f_1 = \text{const}$ ).

Fig.5.30  
Caracteristicile mecanice ale unui motor asincron de 7,5 kW: — valori calculate; --- valori experimentale.



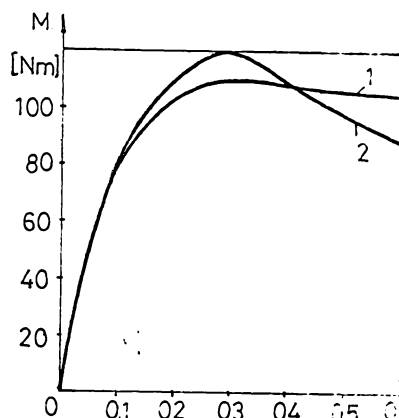
Pentru comparație în fig.5.30 la frecvențele de 30 Hz,  $\epsilon = 0,85$  și 20 Hz,  $\epsilon = 0,355$  sînt indicate și caracteristicile înregistrate experimental.

Se constată o concordanță bună între caracteristicile mecanice calculate și cele determinate experimental.

Pentru frecvențele de 40, 30 și 20 Hz s-au făcut înregistrări experimentale și la alimentarea sinusoidală a mașinii crone de la un grup convertizor rotativ. În fig.5.31 se prezintă pentru comparație caracteristica mecanică  $M = f(\varphi_2)$  pentru frecvența de 30 Hz înregistrată la alimentare sinusoidală <sup>și nesinusoidală</sup> pentru  $U_1/f_1 = ct.$

Fig.5.31

Caracteristica mecanică a mașinii asincrone la  $f_1 = 30$  Hz  $U_1 = 132$  V: 1 - alimentare sinusoidală; 2 - alimentare prin convertizor static.



Analiza caracteristicilor mecanice din fig.5.30 și înregistrărilor experimentale efectuate și pe alte mașini, confirmă faptul că la scăderea frecvenței tensiunii de alimentare, cazul unei legi de variație  $U_1/f_1 = ct$ , cuplul de răsturnare micșorează, întrucît rezistența are o influență tot mai supra impedanței echivalente a mașinii.

Se constată totodată o diferență de 5-6 % între valorile cuplurilor măsurate experimental și cele calculate analitic, explicabil datorită ipotezelor simplificatoare admise în calcul.

În ceea ce privește caracteristicile din fig. 5.31, se observă influența nefavorabilă a armonicilor de tensiune asupra cuplului de pornire a mașinii.

#### 5.4.2.2. Cupluri pendulare

Cuplurile pendulare apar ca urmare a interacțiunii între armonicii de ordinul  $\lambda$  ale cîmpului și armonicii de ordinul  $\lambda$  ale curentului rotoric [41], [93].

Cuplul la funcționarea în gol și în sarcină al mașinilor asincrone alimentate prin convertizor static prezintă oscilații importante, care în amplitudine ajung la cca 30 % din cuplul mediu corespunzător unei sarcini nominale. Experimental s-a constatat că aceste cupluri pendulare nu influențează viteza sistemului de acționare. Acest fapt se explică prin aceea că momentul de inerție al instalațiilor de acționare fiind mare, constanta electromecanică de timp va fi mult mai mare decât perioada cuplurilor pendulare.

Frecvența principală a cuplurilor pendulare care intervine în curba cuplului rezultat este determinată de forma undei de tensiune. Pentru o undă de tensiune cu  $N = 12$  impulsuri pe perioadă, frecvența principală a cuplului pendular este:

$$f_c = N \cdot f_1 = 12 f_1 \quad (5.49)$$

unde  $f_1$  este frecvența fundamentalei tensiunii de alimentare. În fig.5.32 se prezintă cuplul pendular pentru cazul unei mașini de 7,5 kW, la funcționare în gol și la pornire. Se prezintă de asemenea variația tensiunii, curentului și turația mașinii.

Cuplurile pendulare care apar la alimentarea nesinusoidală a mașinilor asincrone deși nu influențează viteza motorului a sistemului de acționare, pot produce în cazul unor frecvențe mici de alimentare fenomene de rezonanță mecanică. De aceea dimensionarea din punct de vedere mecanic a instalațiilor de acționare va trebui să se țină seama de cuplurile pendulare la frecvență joasă și cu amplitudine relativ mare față de cuplul mediu al mașinii.

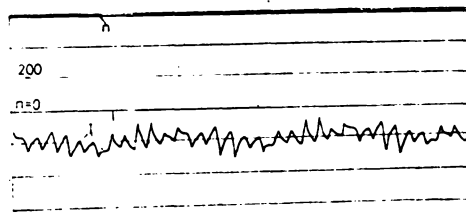
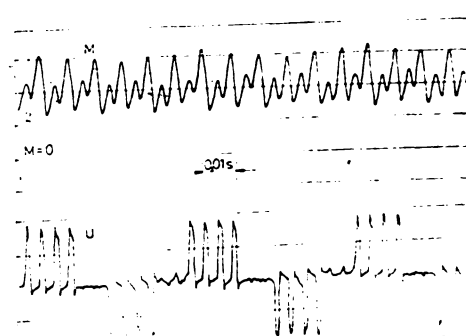


Fig.5.32a



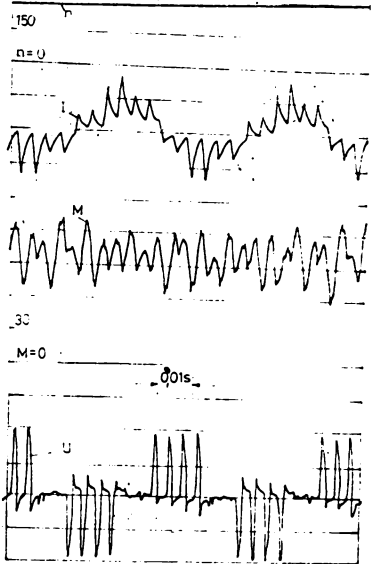


Fig.5.32b

Fig.5.32

Cuplul pendular principal, tensiunea, curentul și temperatura la alimentarea mașinii asincrone prin convertizor static la  $f_1 = 20$  Hz, 38 V: a - funcționare în gol; b - la sarcină.

5.5. Pierderile și randamentul mașinilor asincrone alimentate prin convertizoare statice

Alimentarea mașinilor asincrone prin convertizoare statice cu tensiune de formă nesinusoidală, presupune și o creștere a pierderilor și o reducere a randamentului mașinii față de funcționarea cu tensiune sinusoidală [78], [110], [116]. Determinarea creșterii pierderilor la diferite sarcini ale mașinii asincrone se poate face pe baza comparării pierderilor de la funcționarea în gol, alimentând mașina cu tensiune sinusoidală și nesinusoidală [116]. Pentru verificarea acestei posibilități, în cadrul lucrărilor de cercetare privind caracteristicile de funcționare ale mașinilor asincrone de la un convertizor de tensiune cu frecvență cu modulare liniară a impulsurilor, s-au făcut teste experimentale, determinându-se pierderile totale la funcționare în gol și în sarcină.

Armonicile tensiunii de alimentare a mașinii asincrone de la un convertizor static cu modulare în durată a impulsurilor (v. Fig. 5.3) sînt:  $v = 6k+1$ , cu  $k = 0, \pm 1, \pm 2, \dots$ , a căror valoare statorică este:

$$f_{1v} = v \cdot f_1$$

fiind frecvența fundamentală a tensiunii furnizate de convertizor.

În rotor, considerînd numai unda fundamentală a inducției dată de fiecare armonică în parte, se obțin frecvențele

$$f_{2v} = s_v f_{1v} = v s_v f_1 \quad (5.5)$$

unde  $s_v$  este alunecarea dintre rotor și unda statorică de ordinul  $v$ , avînd valoarea dată de relația (5.48).

Pentru alunecări ale rotorului față de fundamentul cuprinse între 0 și 1 se poate considera cu suficientă aproximație că  $s_v \approx 1$ .

Faptul că pentru alunecarea  $s_v$  se poate admite valoarea 1, înseamnă că față de armonicile de ordinul  $v$  ( $v \neq 1$ ), mașina asincronă se află în scurtcircuit atât la funcționarea în gol cât și la funcționarea în sarcină. Corespunzător acestei situații schema echivalentă a mașinii este indicată în fig.5.33, fiind circuit de magnetizare, prin stator și rotor circuitul fiind același curent [116].

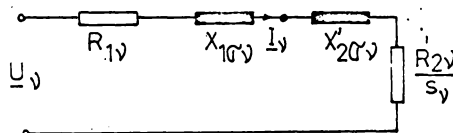


Fig.5.33

Curentul din circuit este dat de (5.44), impedanța valoarea:

$$Z_v = \sqrt{\left(R_{1v} + \frac{R'_{2v}}{s_v}\right)^2 + (vX_{1v} + vX'_{2v})^2} \approx v(X_{1v} + X'_{2v})$$

Cunoscînd valorile efective ale curenților prin rezistența statorului și rotorului se pot calcula pierderile de căldură în înfășurările mașinii și cuplurile determinate de aceste armonici.

La funcționarea în gol a mașinii asincronă la frec. de 50 Hz și tensiune variabilă se pot măsura pierderile relativ simplu. Astfel, se pot determina:

- la alimentație sinusoidală:

$$P_{os} = 3 R_1 I_{os}^2 + \Delta P_m + \Delta P_{Fel}$$

unde  $P_{os}$  este puterea la funcționarea în gol;

$I_{os}$  - curentul de fază prin stator;

$\Delta P_{Fel}$  - pierderile magnetice;

$\Delta P_m$  - pierderile mecanice prin frecare și ventilație.

- la alimentare nesinusoidală de la convertizor:

$$P_{ONS} = 3R_1 I_{ONS}^2 + \Delta P_m + \Delta P_{Fel(1)} + \sum_{\nu(\nu \neq 1)} \Delta P_{R1\nu} + \sum_{\nu(\nu \neq 1)} \Delta P_{Fe2\nu} + \sum_{\nu(\nu \neq 1)} \Delta P_{R2\nu} + \sum_{\nu(\nu \neq 1)} \Delta P_{S\nu} \quad (5.13)$$

unde  $P_{ONS}$  reprezintă puterea absorbită de mașină la funcționare în gol și alimentare nesinusoidală;

$I_{ONS}$  - curentul statoric;

$\sum_{\nu(\nu \neq 1)} \Delta P_{Fe1\nu}$  - pierderile magnetice în stator datorită armonicilor;

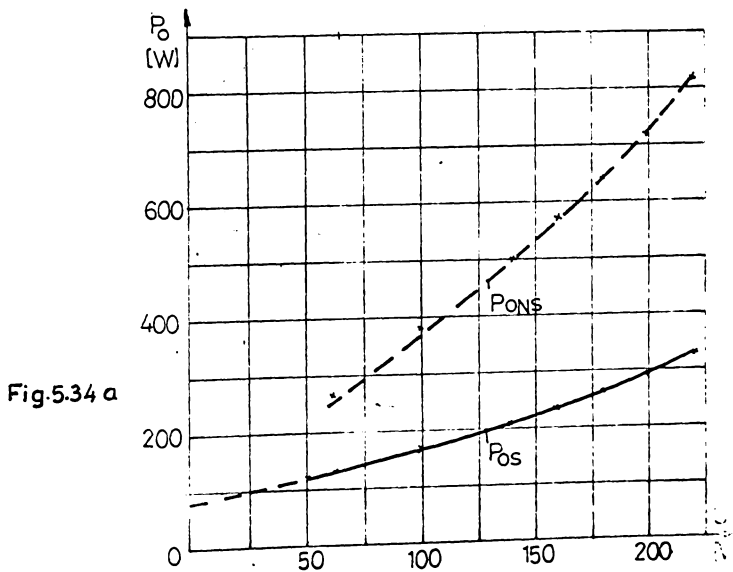
$\sum_{\nu(\nu \neq 1)} \Delta P_{Fe2\nu}$  - pierderile magnetice în rotor;

$\sum_{\nu(\nu \neq 1)} \Delta P_{R2\nu}$  - pierderile de căldură în rotor datoritate armonicilor de curent;

$\sum_{\nu(\nu \neq 1)} \Delta P_{S\nu}$  - pierderile suplimentare la funcționare în gol datoritate armonicilor de curent.

Pentru cazul a două mașini asincrone, avînd datele din tabelul 5.7 și 5.13 s-au măsurat pierderile totale la funcționare în gol, alimentare sinusoidală și nesinusoidală și s-au reprezentat grafic în fig.5.34.

Din curbele de variație ale pierderilor la funcționare în gol se observă o creștere mult mai mare a pierderilor la alimentare nesinusoidală față de alimentarea sinusoidală și în cazul alimentării nesinusoidale. Această creștere este



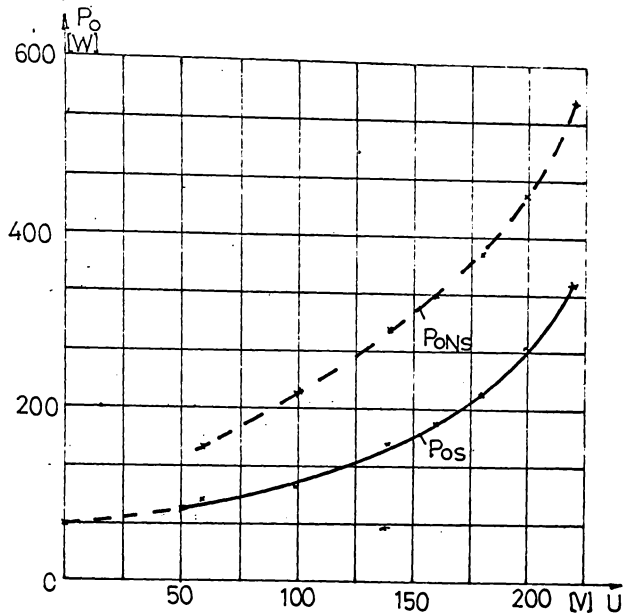


Fig.5.34 b

Fig.5.34

Variația pierderilor la funcționarea în gol;  
 a - mașina 1 de 7,5 kW; b - mașina 2 de 5,5 kW.

Tabelul 5.13

P [kW]	$U_{1N}$ [V]	$I_{1N}$ [A]	$n_N$ [rot/min]	$\cos\varphi$	$R_1$ [ $\Omega$ ]	$R_2'$ [ $\Omega$ ]	$X_1$ [ $\Omega$ ]	$X_2'$ [ $\Omega$ ]	$\sigma$ [ $\Omega$ ]
5,5	220/380	19,7/11,4	1436	0,85	0,750	1,23	1,60	1,65	3

diferență a mașinilor se datorește pierderilor suplimentare  
 rice.

La funcționarea în sarcină a mașinilor asincrone pierderile de putere sînt:

- în regim sinusoidal:

$$\Delta P_S = \Delta P_m + \Delta P_{Fe1} + \Delta P_{R1} + \Delta P_{R2} + \Delta P_{S1} \quad (5)$$

- în regim nesinusoidal:

$$\Delta P_{NS} = \Delta P_m + \Delta P_{Fe1(1)} + \sum_{\nu(\nu \neq 1)} \Delta P_{Fe1\nu} + \sum_{\nu(\nu \neq 1)} \Delta P_{Fe2\nu} + \Delta P_{R1(1)} + \sum_{\nu(\nu \neq 1)} \Delta P_{R1\nu} + \Delta P_{R2(1)} + \sum_{\nu(\nu \neq 1)} \Delta P_{R2\nu} + \Delta P_{S1} + \sum_{\nu(\nu \neq 1)} \Delta P'_{S\nu} \quad (6)$$

În aceste relații prin  $\Delta P_{R1(1)}$  și  $\Delta P_{R2(1)}$  s-au notat pierderile de căldură în stator și în rotor determinate de componenta fundamentală, iar prin  $\Delta P_{S1}$  - pierderile suplimentare de aceeași armonică la funcționarea în sarcină.

Tinându-se seama de faptul că alunecarea mașinii nu variază mult la alimentarea nesinusoidală față de alimentarea sinusoidală, dacă se analizează fiecare termen al relației (5.56) pentru funcționarea în sarcină se pot face următoarele constatări față de funcționarea în gol:

- pierderile mecanice sînt practic constante;
- pierderile magnetice  $\sum_{\nu(\nu \neq 1)} \Delta P_{Fe1\nu} + \sum_{\nu(\nu \neq 1)} \Delta P_{Fe2\nu}$  variază și la funcționarea în sarcină și în gol în același fel și creșterea lor se determină din măsurătoarea în gol;
- creșterea pierderilor de căldură din stator  $\sum_{\nu(\nu \neq 1)} \Delta P_{st\nu}$  nu se schimbă de la funcționarea în gol la funcționarea în sarcină, deoarece tensiunea de alimentare nu depinde de sarcină;
- creșterea pierderilor rotorice la funcționarea în sarcină a mașinii  $\sum_{\nu(\nu \neq 1)} \Delta P_{R2\nu}$ , nu se modifică la fel ca și pierderile statorice, armonicile tensiunii și valoarea impedanței fiind constante, independente de sarcina mașinii;
- creșterea pierderilor suplimentare se modifică la funcționarea în sarcină față de funcționarea în gol; față de totalitatea pierderilor prin mașină această creștere se va neglija.

Conform acestor constatări înseamnă că, admitînd drept creștere a pierderilor măsurate la funcționarea mașinii în gol pentru o tensiune de alimentare nesinusoidală cu valoarea fundamentală de 220 V, se pot determina pierderile și randamentul mașinii corespunzător funcționării în sarcină [116].

Astfel, pentru cele două mașini din fig.5.34 rezultă drept creștere a pierderilor:

$$\Delta P_1 = 490 \text{ W}$$

$$\Delta P_2 = 210 \text{ W.}$$

Cu aceste valori ale creșterii pierderilor în mașini calculează randamentul  $\eta_c$ , la alimentarea nesinusoidală, ca fiind pierderile lor la alimentarea sinusoidală.

Măsurătorile efectuate pentru cele două mașini, ținînd la diferite sarcini, frecvență 50 Hz și tensiune 220 V centralizate în tabelele 5.14 + 5.15 și reprezentate grafic în fig.5.35.

Concordanța bună între valorile pierderilor și randamentului, în special la mașina 2, duc la concluzia foarte importantă că măsurarea pierderilor prin mașină la funcționarea în gol, alimentare sinusoidală și nesinusoidală, și a creșterii acestora la alimentarea nesinusoidală, permite să se tragă concluzii

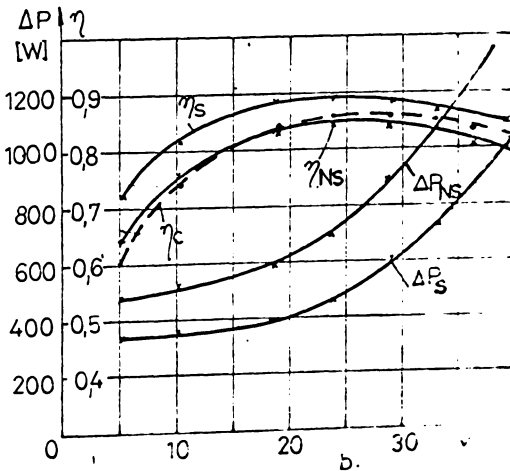
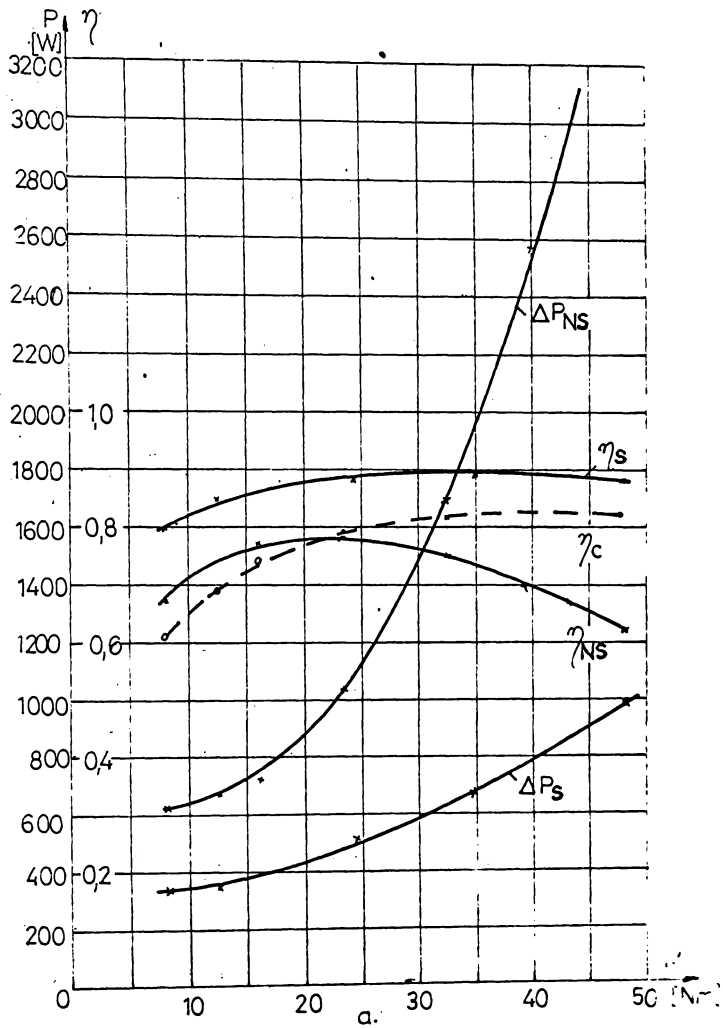


Fig.5.35

Pierderile și randamentul la funcționarea în sarcină a mașinilor asincrone: a - mașina 1; b - mașina 2.

Tabelul 5.14

Alimentare sinusoidală de la rețea - Mașina								
Nr. crt.	P [W]	P <sub>u</sub> [W]	ΔP [W]	n [rot/min]	s	M [Nm]	η	η <sub>stat</sub>
1	1602	1272	330	1487	0,009	8,2	0,80	-
2	2269	1924	345	1486	0,009	12,4	0,85	-
3	3207	2790	417	1480	0,013	18,0	0,87	-
4	4318	3808	510	1470	0,020	24,7	0,88	-
5	5996	5330	666	1456	0,029	35,0	0,89	-
6	8185	7212	973	1433	0,045	48,0	0,80	-
Alimentare nesinusoidală de la conversor								
1	1890	1260	630	1486	0,009	8,1	0,87	0,82
2	2605	1934	671	1486	0,009	12,5	0,74	0,80
3	3203	2483	720	1482	0,012	16,1	0,77	0,74
4	4626	3526	1030	1473	0,018	23,3	0,78	0,72
5	6646	4947	1699	1457	0,029	32,4	0,75	0,70
6	8579	6004	2575	1440	0,040	39,9	0,70	0,70
7	11448	7098	4350	1414	0,057	48,0	0,62	0,63

Tabelul 5.15

Alimentare sinusoidală de la rețea - Mașina								
Nr. crt.	P [W]	P <sub>u</sub> [W]	ΔP [W]	n [rot/min]	s	M [Nm]	η	η <sub>stat</sub>
1	1134	812	322	1488	0,008	5,22	0,715	-
2	1926	1574	352	1487	0,009	10,1	0,816	-
3	3192	2809	383	1476	0,016	18,2	0,83	-
4	4100	3650	450	1465	0,023	23,8	0,89	-
5	5041	4436	605	1451	0,033	29,0	0,83	-
6	5720	4993	727	1447	0,035	33,0	0,87	-
7	6968	5937	1031	1434	0,044	39,5	0,85	-
Alimentare nesinusoidală de la convertor								
1	1257	793	464	1485	0,010	5,1	0,63	-
2	2103	1571	532	1482	0,012	10,2	0,745	-
3	3465	2894	571	1470	0,020	18,7	0,835	-
4	4306	3617	689	1462	0,025	23,6	0,80	-
5	5228	4345	883	1453	0,031	28,5	0,85	-
6	6034	4960	1074	1444	0,037	32,8	0,822	-
7	6740	5420	1320	1428	0,048	36,0	0,804	-

cluzii privind pierderile la funcționarea în sarcină, atât la alimentarea sinusoidală, cât și la alimentarea nesinusoidală. Pe baza acestei constatări înseamnă că și la frecvențe, fără a face încercarea în sarcină poate fi apreciată creșterea pierderilor la alimentarea mașinilor de la conversor static.

Diferențele mai mari care apar la mașina 1 se datorează creșterii mai rapide a pierderilor cu sarcina din cauza pierderilor suplimentare în rotor de care nu s-a ținut cont la în-

în gol a mașinii. Analiza creșterii acestor pierderi este foarte dificil de făcut și din această cauză la mașinile în gol creșterea pierderilor la alimentarea nesinusoidală în gol nu este mai mare de 50 + 65 % față de pierderile în regim sinusoidal, ele pot fi apreciate cu suficientă precizie numai pe baza încercării în gol. Concluziile sînt valabile în ipoteza menținerii aceleiași forme a tensiunii de alimentare a mașinii la funcționare în și sarcină, conținutul de armonici fiind deci constant.

Cunoașterea creșterii pierderilor la alimentarea nesinusoidală este de mare utilitate în scopul aprecierii performanțelor energetice ale mașinii asincrone.

#### 5.6. Comportarea mașinii asincrone alimentate prin convertizoare statice la șocuri de sarcină

Alegerea corectă a mașinilor electrice pentru acționarea diferiților mașini de lucru și mecanisme are o mare importanță din punct de vedere tehnic și economic [16], [17], [103].

Din punct de vedere tehnic este necesar ca mașina de acționare să asigure funcționarea instalației la parametrii impuși de procesul tehnologic de producție.

Din punct de vedere economic se impune funcționarea instalației la parametrii energetici optimi, valoarea investiției fiind minimă. Acest lucru este de foarte mare actualitate, avîndu-se în vedere eforturile ce se fac pe plan mondial pentru utilizarea rațională a rezervelor de energie.

Alegerea și verificarea puterii mașinilor electrice de acționare se face pe baza încălzirii lor. Pentru aceasta este nevoie de cunoașterea diagramei de sarcină, diagramă ce reprezintă variația în timp a curentului prin mașină, a cuplului dezvoltat sau a puterii.

Diagrama de sarcină a mașinii de acționare se obține pe baza diagramei de încărcare a mașinii de lucru.

La funcționarea instalațiilor de acționare într-un regim staționar, ecuația mișcării are forma:

$$M - M_R = 0$$

Adică înseamnă că diagrama de sarcină a mașinii de acționare este identică cu diagrama de încărcare a mașinii de lucru, diferă numai prin pierderile ce au loc în transmisia și în mașina de acționare.

În funcționarea instalațiilor de acționare apar frecvent perioade nestaționare - accelerări, frînări, etc. - perioade în care ecuația mișcării este:

$$M - M_R = M_J = J \frac{d\omega}{dt} \quad (5.58)$$

Corespunzător acestor perioade, dacă momentul de inerție al instalației este nul, ecuația mișcării se reduce la forma (5.57) și cele două diagrame sînt identice. La toate instalațiile reale însă, momentul de inerție este diferit de zero, ceea ce înseamnă că datorită cuplului inerțial  $M_J$  cele două diagrame de sarcină și de încărcare - diferă între ele.

Inerția maselor în mișcare din care este compus sistemul de acționare poate contribui în mod favorabil sau defavorabil asupra desfășurării procesului de producție, în funcție de caracteristicile acestuia. Astfel, în cazul unor instalații de acționare care se cere o urmărire **riguroasă** și rapidă a diagramei de încărcare a mașinii de lucru de către mașina de acționare se vor cere instalații cu moment de inerție mic. Acestea vor produce surturi în rețeaua de alimentare determinate de șocurile de sarcină, fenomen nedorit pentru ceilalți consumatori de energie electrică. În cazul unor instalații cu sarcini sub formă de șocuri la care nu este necesară urmărirea riguroasă a diagramei de încărcare se recomandă cuplarea unui volan pe arborele mașinii de acționare care va acoperi o parte din energia necesară realizării șocului de încărcare a mașinii de lucru, va măări inerția sistemului și va produce o aplatizare a diagramei de sarcină a mașinii de lucru astfel se vor reduce pierderile de energie [16].

Variația în timp a mărimilor electrice și mecanice ale mașinii asincrone depinde de inerția sistemului și anume de inerția electromagnetică și cea electromecanică. Inerția sistemului de acționare se caracterizează prin constantele de timp, care sînt determinate din relațiile:

- constanta electromagnetică de timp:

$$T_e = \frac{L}{R} \quad [s]$$

- constanta electromecanică:

$$T_M = \frac{J_e s_N \Omega_1}{M_N} \quad [s]$$

unde L reprezintă inductivitatea circuitului;

R - rezistența circuitului mașinii;

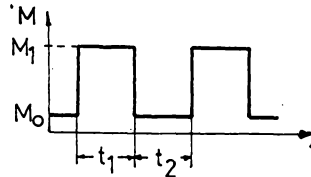
$J_e$  - momentul de inerție echivalent al instalației de acționare.

Dacă se neglijează inerția electromagnetică a circuitului mașinii care este în general mică [13], [15], variația mărimilor va fi determinată numai de inerția electromecanică.

Pornind de la aceste considerente, experimental s-a studiat modul de comportare al mașinii asincrone cu rotorul în celule alimentată prin convertizor static la acționarea unei mașini de lucru care are o diagramă de sarcină sub formă de șocuri cu vârfuri egale (fig.5.36).

Fig.5.36

Diagrama de sarcină sub formă de șocuri cu valori maxime egale ale cuplului.



Problema este de mare importanță, avându-se în vedere faptul că se folosesc sau se pune problema folosirii unor astfel de instalații de acționare în industrie (laminoare, raboteze, etc.) unde încărcarea este întotdeauna sub formă de șocuri.

Dată fiind complexitatea construcției convertizorului, sistemului de comandă și protecție este foarte necesar verificarea funcționării instalației în diferite condiții de încărcare.

Schema de montaj a instalației experimentale este reprezentată în fig.5.37.

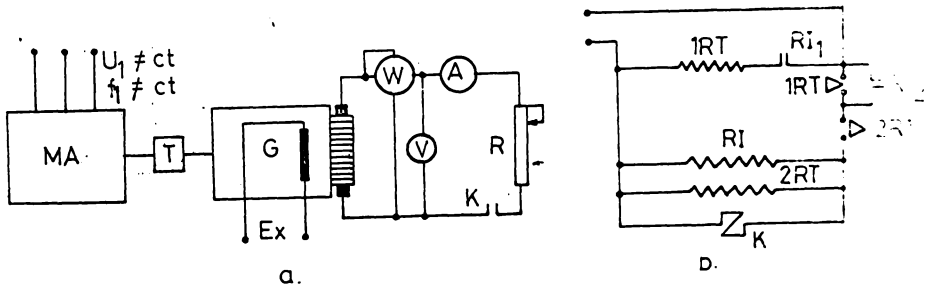


Fig.5.37

Schema de montaj a instalației de încercare:  
a - schema circuitului de forță; b - schema de comandă; MA - mașina asincronă; G - generator de sarcină; T - torsiometru; R - rezistență de sarcină; K - contactor de comandă; 1RT, 2RT - relee de timp; RI - relee intermediar.

Alimentarea mașinilor asincrone s-a asigurat astfel:  
- la frecvența de 50 Hz de la rețea printr-un transformator;  
- la frecvențele de 40, 30 și 20 Hz, tensiune sinusoidală de la un convertizor rotativ de 60 kVA;

- la frecvențele de 50, 40, 30, 20 și 10 Hz, tensiune nesinusoidală de la convertizorul static cu modulare liniară a impulsurilor de tensiune.

Sarcina sub formă de șocuri s-a realizat prin schema de comandă cu contactoare și relee (fig.5.57.b), generatorul debilitând peste rezistența variabilă R.

Pentru acest sistem experimental s-au înregistrat la oscilograf variația tensiunii de linie, curentul, cuplul și turația mașinii.

S-au efectuat încercări pentru cazul acționării cu două mașini asincrone având datele din tabelul 5.16, alimentarea făcându-se la diferite valori ale tensiunii și frecvenței, respectiv la diferite sarcini. Astfel, cuplul maxim de încărcare a avut valori cuprinse între  $(0,3 \div 3) M_N$ , iar sarcina medie determinată din cuplul echivalent între  $(0,3 \div 2) M_N$ .

Cuplul nominal al mașinii s-a determinat pentru fiecare valoare a tensiunii de alimentare din relația:

$$M_{N(U)} = M_N \left( \frac{U}{U_N} \right)^2 \quad (5.61)$$

unde  $M_N$  este cuplul nominal corespunzător tensiunii nominale  $U_N$  la diferite frecvențe de alimentare admitând legea de variație liniară între tensiune și frecvență, respectiv păstrind raportul  $U_1/f_1 = \text{const.}$

Tabelul 5.16

Nr. crt.	$P_N$ [kW]	$n_N$ [rot/min]	$M_N$ [Nm]	J [kgm <sup>2</sup> ]	$J_e$ [kgm <sup>2</sup> ]	$t_m$ [s]
1	7,5	1430	50	0,0384	0,491	0,0688
2	7,5	1434	50	0,034	0,487	0,067

Rezultatele determinărilor experimentale sînt prezentate în tabelele 5.17 pentru mașina 1 și în tabelul 5.18 pentru mașina 2. S-au efectuat măsurători pentru diferite durate relative de

ε .

Forma de variație a tensiunii, curentului, cuplului și turației mașinii 1 pentru diferite situații de alimentare și sarcină este prezentată în fig.5.38.

Analiza rezultatelor experimentale și forma de variație a mărimilor electrice și mecanice funcție de timp, seot în următoarele:

Tabelul 5.17

$f$ [Hz]	$U_1$ [V]	Sursa	$M_1$ [Nm]	$M_2(U)$ [Nm]	$M_e$ [Nm]	$\frac{M_1}{M_e}$	
50	94	Rețea	24	9,1	13,7	1,34	
	130		47	17,5	25,3	1,45	
	170		51	29,9	27,4	0,95	
40	90	Conver- tizer rotativ	38	13,2	20,7	1,53	
	110		42	19,5	22,3	1,16	
30	70		30	14,1	15,6	1,18	
	90		32,5	23,2	17,9	0,771	
20	65		27	11,3	14,9	0,75	
	75		30	36,4	16,6	0,46	
50	130	Conver- tizer static	26	17,5	14,6	0,835	
	150		28	23,2	17,6	0,762	
40	110		26	19,5	14,6	0,75	
	130		29	27,4	16,1	0,59	
30	90		25	23,2	14,1	0,61	
	110		28	34,7	15,6	0,446	
20	60		20	23,2	11,75	0,505	
	30		30	41,4	16,6	0,402	
10	40		20	41,2	17,3	0,42	
	50		21	64,5	18,1	0,28	
50	100		Rețea	31,6	11	23,6	2,84
	170			46	29,9	34,1	1,14
40	107	Conver- tizer rotativ	40	18,5	29,7	1,5	
	125		54	23,2	39,7	1,7	
30	87		36	21,8	26,6	1,22	
	105		42	31,5	30,2	0,96	
20	70	30	32,6	32,2	0,98		
	81	45	42,5	33,2	0,77		
50	130	Conver- tizer static	24,4	17,5	18,4	1,05	
	100		34,4	25,4	25,6	0,75	
40	110		26	19,5	19,5	1,0	
	130		33	27,2	24,5	1,08	
30	90		26	23,2	19,4	0,84	
	110		37	34,8	27,4	0,78	
20	60		21	23,2	15,8	0,68	
	80		32	41,3	24,2	0,59	
10	40		24,2	41,2	18,0	0,44	
	50		31	64,5	22,9	0,36	

- mașinile asincrone alimentate prin rețea comportă bine la diagrame de sarcini și sunt în funcție timpului efectiv în condiții mari de încălzire, după alimentarea mașinilor la o viteză și frecvență mai joasă decât la sarcini nu au apărut defecțiuni în funcționarea mașinilor nu a depășit limitele admise.

- stabilitatea reglării la funcționarea mașinilor asincrone prin curent și viteză este comparabilă cu cea obținută la alimentarea rețelei rotative;

Tabelul 5.18.

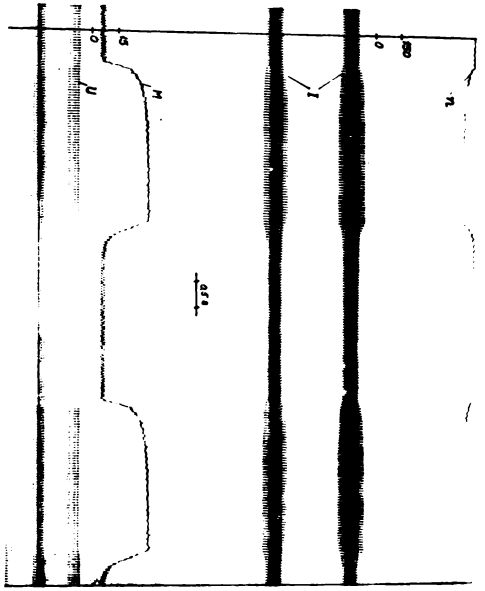
$f_1$ [Hz]	$U_1$ [V]	Sursa	$M_1$ [Nm]	$M_N(U)$ [Nm]	$M_e$ [Nm]	$\frac{M_e}{M_N(U)}$
50	93	Rețea	22,4	9,05	12,1	1,33
	104		31	11,2	17,5	1,56
	131		50	17,7	27,0	1,52
40	107 125	Conver- tizer rotativ	40	12,5	16,4	1,27
			54	25,2	22,0	1,20
30	90 107		34	23,2	19,2	0,83
			42,4	32,0	23,7	0,74
20	71 32		30	32,6	17,1	0,52
			38	43,2	21,4	0,49
50	125 155	Conver- tizer static	25,6	16,2	14,8	0,91
			40,4	24,8	22,0	0,89
40	110 125		17,8	19,5	14,4	0,74
			40	25,2	22,4	0,89
30	85 105		25	20,7	14,5	0,70
			40	21,2	22,4	0,71
20	60 75		20,2	23,2	12,0	0,52
			32	36,4	13,2	0,36
10	35 45		21	31,5	12,5	0,39
			30	52,5	12,5	0,24

- instalația de acționare cu mașină asincron prin convertizor static nu este din funcționare la sarcinilor mari și sistemul de comandă și protecție corespunzător în condițiile grele în care se operează.

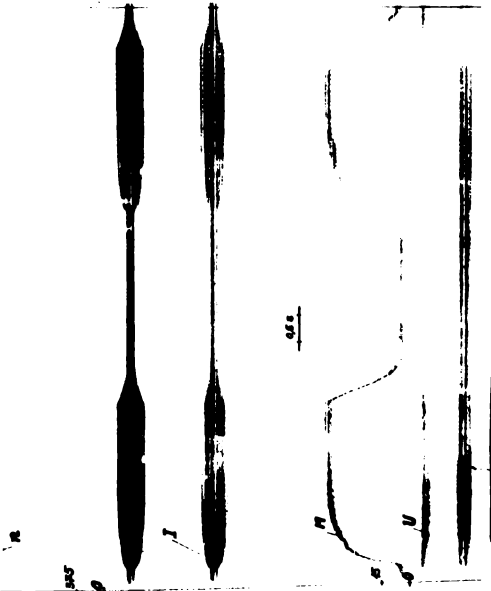
- măsurătorile experimentale atestă faptul că imunitatea electromagnetică a convertizorului este mai bună decât la alimentarea directă, la un același moment de sarcină ale mașinii asincrone se resimt mai puțin la lațea.



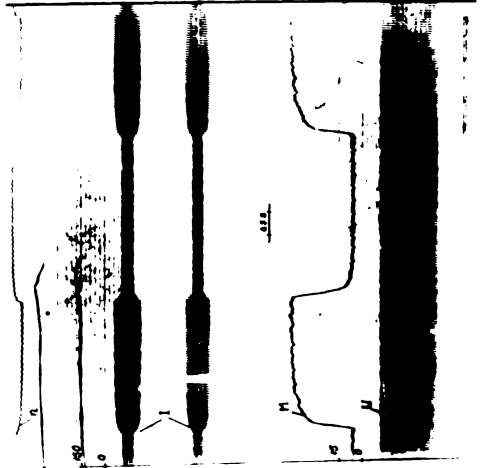
a.



b.



c.



d.

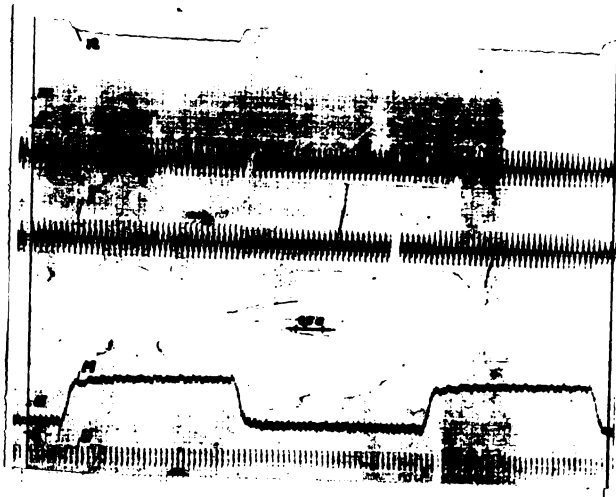


Fig.5.38

Variația în timp a tensiunii, curentului, cu-  
și turației la încălziri de sarcină pentru dar-  
lativă  $\delta = 0,46$ : a -  $f_1 = 50$  Hz - rețea,  $U_1$   
 $M_1/M_N(U) = 1,54$ ,  $M_e/M_N(U) = 1,14$ ; b -  $f_1 = 50$   
vertizor static,  $U_1 = 160$  V,  $M_1/M_N(U) = 1,22$   
 $= 0,97$ ; c -  $f_1 = 20$  Hz - convertizor rect  
 $M_1/M_N(U) = 1,06$ ,  $M_e/M_N(U) = 0,78$ ; d -  $f_1 = 10$   
vertizor static,  $U_1 = 80$  V,  $M_1/M_N(U) = 1,70$   
 $= 0,585$ ; e -  $f_1 = 10$  Hz - convertizor rect  
 $M_1/M_N(U) = 0,48$ ,  $M_e/M_N(U) = 0,36$ .

### 5.7. Concluzii

Instalația experimentală concepută  
verificarea unor calcule teoretice privind  
din tensiunea și curentul de alimentare  
ridicarea caracteristicilor mecanice ale mașinii  
terminarea pierderilor mașinii sincrone în  
vertizor static și urmărirea comporta-  
gocuri de sarcină.

Ca în continuare experimental se pot  
stării de alimentare funcționare frecvență  
este posibilă existența fazei în care se con-  
alimentată corespunzător al mașinii.

Măsurătorile experimentale privind armonicile de tensiune și curent au scos în evidență faptul că:

- conținutul de armonici din tensiunea de alimentare a mașinii asincrone nu depinde decât foarte puțin de sarcina mașinii, deoarece forma impulsurilor de tensiune este practic aceeași la funcționare în gol și în sarcină;

- numărul de impulsuri  $N$  din care este formată tensiunea de alimentare a mașinii influențează direct conținutul de armonici, cele de ordinul  $N \pm 1$  fiind preponderente;

- conținutul de armonici variază cu durata relativă a impulsurilor, crescând odată cu scăderea acesteia;

- conținutul de armonici la modularea în durată a impulsurilor după o lege liniară este comparabil cu cel rezultat la modularea după o lege sinusoidală și tensiune de referință necombinată;

- armonicile de curent depind de valoarea amplitudinii armonicilor de tensiune, de frecvența acestor armonici și de valoarea tensiunii de alimentare precum și de parametrii fizici ai circuitului mașinii;

- curenții armonici au un pronunțat caracter inductiv datorită reactanței măritându-se odată cu creșterea ordinului armonicii;

- dat fiind caracterul inductiv al curenților armonici înseamnă că factorul de putere al acesteia se va micșora;

- influența armonicilor de tensiune și curent asupra caracterului dezvoltat de mașina asincronă se manifestă prin:

- micșorarea cuplului la alimentarea mașinii asincrone cu tensiune nesinusoidală, păstrând aceeași valoare efectivă a tensiunii ca și în cazul alimentării cu tensiune sinusoidală;

- creșterea saturației mașinii, a pierderilor în mașina asincronă, odată cu micșorarea frecvenței, decât în cazul alimentării cu tensiune sinusoidală, păstrând aceeași valoare efectivă a tensiunii și frecvența de alimentare constant;

- apariția de cupluri parazite la alimentare nesinusoidală, datorită caracterului asincron de la astfel de convertizoare a curentului, care influențează relativ puțin funcționarea mașinilor asincrone.

La alimentarea mașinilor asincrone prin convertizoare cu tensiuni nesinusoidale, este posibil să se realizeze o micșorare a pierderilor și randamentului mașinii, la funcționare în sarcină și diferite frecvențe de alimentare, pe lângă avantajele determinate la funcționarea în gol și a pierderilor la alimentare sinusoidală.

Ansamblul convertizor static - mașină asincronă se comportă bine la sarcină constantă și la sarcini sub formă de șocuri la acționarea unor instalații cu moment de inerție relativ mic și cu atât mai mult la cele cu moment de inerție mare.

## 6. CONCLUZII GENERALE

În contextul dezvoltării și perfecționării tot mai accentuate a sistemelor electrice de acționare, crește în importanță și problema modificării vitezei mașinilor electrice, mașina sincronă ocupând în această direcție primul loc. Astăzi se folosesc frecvent sisteme de acționare cu mașini asincrone alimentate prin convertizoare statice de tensiune și frecvență variabilă în industria prelucrătoare de metale, în industria siderurgică, în industria minieră, în industria textilă etc., în scopul adaptării caracteristicilor mecanice de funcționare la cerințele mașinilor de lucru.

Introducerea sistemelor de acționare cu mașini asincrone cu viteză variabilă este direct legată de construcția convertizoarelor statice cu parametri tehnici și economici ridicați. Factorii de care se ține seama la construcția acestor sisteme se referă la valoarea tensiunii și frecvenței, gama lor de modulare, forma tensiunii și conținutul de armonici, complexitatea instalației, prețul de cost și fiabilitatea ei.

În lucrarea de față s-a urmărit modul de comportare a mașinilor asincrone alimentate prin convertizoare statice de tensiune și frecvență. În acest scop au fost prezentate în primul rând probleme privind modul de comportare al mașinilor asincrone la alimentare sinusoidală cu tensiune și frecvență variabilă și s-a făcut o clasificare a convertizoarelor statice ținând seama de tipul mașinilor alimentate, gama de modulare a vitezei și cerințele impuse de instalațiile acționate. Pentru principalele tipuri de convertizoare statice, a căror caracteristică este nesinusoidală, s-a efectuat analiza armonică a tensiunii de ieșire, care se aplică mașinii asincrone, pentru a prezenta în mod concret, în cazuri concrete, așa cum s-a prezentat în partea experimentală, valoarea curenților armonici, cuplurile și modul de comportare al acestora la alimentare nesinusoidală.

Studiul prezentat, calculele și verificările experimentale permit a se trage concluzii utile pentru constructorii de convertizoare statice și mașini electrice folosite în sistemele de acționare cu viteză variabilă. Concluziile rezultate au fost prezentate în detaliu la sfârșitul fiecărui capitol în parte, aici subliniindu-se doar ideile generale ce se desprind din lucrare.

Astfel, pe baza celor prezentate în lucrare se poate deduce în mod corespunzător legea de variație între tensiune și frecvența de alimentare a mașinii asincrone pentru a se obține caracteristici mecanice de funcționare adecvate procesului de producție pe care-l execută mașina de lucru.

Se poate stabili de asemenea schema de principiu a convertizorului static ce urmează a fi construit ținându-se seama de puterea și tipul mașinii electrice de acționare, comanda și sensul de modificare a vitezei, complexitatea schemei, siguranța în funcționare și utilizarea rațională a elementelor semiconductoare. Se fac aprecieri și comparații din punct de vedere tehnic și economic între diferitele instalații de acționare cu mașini asincrone alimentate prin convertizoare statice.

În partea experimentală a lucrării sînt tratate în concret problemele privind alegerea tipului de convertizor, schemei de comandă a tensiunii și frecvenței, armonicile tensiunii de alimentare a mașinilor asincrone și parametrii care depind aceste armonici, armonicile de curent prin mașina și influența armonicilor de tensiune și curent asupra cuplului și pierderilor. Se subliniază modul în care se poate face calculul acestor armonici și importanța cunoașterii lor asupra funcționării mașinilor asincrone, pentru cazul unei anumite legi de variație tensiune-frecvență.

Se evidențiază totodată posibilitatea de a reduce pierderile prin mașina asincronă funcționînd în sarcină mentare nesinusoidală, precum și faptul că astfel de sisteme de acționare pot fi folosite cu rezultate bune și în cazul sarcinilor de sarcină pronunțat variabile.

Studiul efectuat în cadrul acestei lucrări se înscrie în preocupările generale din țara noastră de modernizare a mijloacelor de producție și ridicare a productivității muncii.

## B I B L I O G R A F I E

- 1 ABRAHAM, L. s.a. Wechselrichter zur Drehzahlsteuerung von Käfigläufermotoren. In AEG-Mitt., 54(1964) 1/2, p.37-40.
- 2 ABRAHAM, L. și PATZSCHKE, U. Pulstechnik für die Drehzahlsteuerung von Asynchronmotoren. In AEG-Mitt., 54 (1964), 1/2, p.133-140.
- 3 ABRAHAM, L. s.a. Zwangskommutierte Wechselrichter veränderlicher Frequenz und Spannung. In ETZ-A, Bd.86 (1965), Nr.11, p.269-274.
- 4 ABRAHAM, L. s.a. AC motor supply with thyristor converter. In IEEE Trans.Ind.Gen.Appl. vol IGA-2 (1966); Nr.5, p.334-340.
- 5 AGAFANOV, I.P. Vlianie elektromagnitnih perehodnih protse-  
na dinamichi impulsnogo regulirovaniia asinhronnih dvigatelei.  
In Sb.statei Uralskii polit.institut 1958, fasc.64, p.196-206.
- 6 ANNIES, B. Steuerumrichter für Käfigläufermotoren. In AEG-  
-Mitt., 54 (1964), 1/2, p.123-125.
- 7 ANGOT, A. Elemente de matematici pentru inginerii din e-  
lectrotehnică și din telecomunicații. Ediția 4-a rev. Trad.  
l.franceză, București, Ed.tehnică, 1965.
- 8 BARNES, E.C. Performance and characteristics of induction  
motors for solid-state variable frequency drive. In IEEE  
Trans.Ind.Gen.Appl., vol IGA-7 (1971), Nr.2, p.212-217.
- 9 BEDFORD, B.D. și HOFT, R.G. Principles of inverter circuits.  
New York, J.Wiley, 1964.
- 10 BELLINI, A. și CIOFFI, G. Induction machine frequency converter.  
Three-phase bridge inverter behavior and performance. In  
Trans.Ind.Gen.Appl., vol IGA-7 (1971), Nr.4, p.488-494.
- 11 BERNHARD, I. și KNUPPERTZ. Inițiere în tiristoare. Trad.  
germană, București, Ed.tehnică, 1974.
- 12 BLASCHKE, F. s.a. Regelung umrichter gespeister Asynchron-  
motoren mit eingepprägtem Ständerstrom. In Siemens Zeitschrift  
42 (1963), Nr.9, p.773-77.
- 13 BOTAN, N.V., BEJAN, I. și BALABAN, E. Curs de acționări electrome-  
canice și automatizări. București, E.D.P., 1962.
- 14 BOTAN, N.V. Reglarea vitezei sistemelor de acționare electrome-  
canice. București, Ed.tehnică, 1974.
- 15 PRASOVAN, M. Acționări electromecanice. București, E.D.P., 1962.
- 16 PRASOVAN, M. Contribuții cu privire la dimensionarea  
de acționare și a volanului la instalații care acționează  
cârlă sub formă de jocuri. Dizertație, Timișoara, 1962.

- 17 BRASOVAN, M. și SERACIN, E. Metode noi de proiectare a acționărilor electrice. București. Ed. Academiei, 1968.
- 18 BRASOVAN, M., VAZDAUTEANU, V., SERACIN, E., PRODAN, M. Cercetări experimentale asupra acționărilor cu volan cu o instalație de laborator. In Bul. științific și tehnic I.P. Timișoara, Tom 7(21), 1962, p.197-205.
- 19 BRASOVAN, M., SERACIN, E., BOGOEVICI, N. Acționări electrice. Probleme și aplicații industriale. Ediția a 2-a rev., București, Ed. tehnică, 1963.
- 20 BRECHBUEHLER, M. Convertisseur de fréquence pour l'alimentation à fréquence variable de moteurs asynchrones à cage. In Bull. Scient. de l'AIM, vol. 81 (1968), Nr. 4, p. 93-99.
- 21 BRICHANT, F. La vitesse variable par moteurs à courant alternatif avec alimentations statiques. In Rev. Gen. Elect., (1972), Nr. 12, p. 804-814.
- 22 BRUDERLINK, M. s. a. Umrichterspeisung von Asynchronmaschinen. In ETZ-A, Bd. 91 (1970), Nr. 1, p. 22-28.
- 23 BULGAKOV, A. A. Dispozitive electronice de comandă automată. Trad. l. rusă, București, Ed. tehnică, 1962.
- 24 BULGAKOV, A. A. Ceastotnoe upravlenie asinhronimi elektrodvigateliami. Moscova, Izd. Acad. Nauk, 1955.
- 25 BYSTRON, K. și MEYER, M. Kontaktlose drehzahlregelbare Umrichtertermaschinen für hohe Drehzahlen. In Siemens Zeitschrift, 37 (1963), Nr. 9, p. 660-666.
- 26 BYSTRON, K. și MEISSEN, W. Drehzahlsteuerung von Drehstrommotoren über Zwischenkreisumrichter. In Siemens Zeitschrift, 39 (1965), Nr. 4, p. 254-57.
- 27 DE CARLI, A. s. a. Speed control of induction motors by frequency variation. Lucr. Congr. al 3-lea IFAC, Londra, 1968, sec. 4 C.
- 28 DE CARLI, A. s. a. Cupluri alternative în motoarele asincrone reglate în frecvență. In Electrotehnica I. D. S., 1969, Nr. 1, p. 85-92 (din Elettrotecnica, Italia, 55, 1968, Nr. 4, p. 310-317).
- 29 CHALMERS, B. J. Pierderile în motorul asincron cauzate de curenți nesinusoidală a tensiunii de alimentare. In Electrotehnica I. D. S., 1969, Nr. 3, p. 297-306 (din Proc. I. E. E., Anglia, 1968, Nr. 22, p. 1777-82).
- 30 CHAUPEDE, R. și CAUSSIN, G. Convertisseurs statiques mes courant continu/courant alternatif. In Rev. Gen. Elect., 78 (1969), Nr. 11, p. 1043-1054.
- 31 CHRISTOPIDES, N. și ADKINS, B. Determination of load torque and torques in squirrel-cage induction motors. In Rev. Gen. Elect., 78 (1969), Nr. 12, p. 1995-2005.
- 32 CILIKIN, M. G. s. a. Asinhronni elektropriivod s drevnizatsionnoy regulatsionnoy skhemoy. Moscova, Izd. Energhia, 1964.
- 33 COCKER, J. P. Regulation de la vitesse d'un moteur asynchrone au moyen de semi-conducteurs. In Rev. E., vol. V (1969), p. 327-346.
- 34 DORDEA, T. Mașini electrice. București, T. B. P., 1970.

- 35 ECKHARDT, H. Fourieranalyse der ideellen Spannung eines Steuerumrichters. In ETZ-A, 92 (1971), Nr.2, p.70 - 72.
- 36 ERLICKI, M.S. s.a. Switching drive of induction motors. In Proc. I.E.E., 110(1963), Nr.8, p.1441-1450.
- 37 ESPELAGE, P.M. s.a. A wide-range static inverter suitable for AC induction motor drives. In IEEE Trans. Ind. Gen. Appl., vol. IGA-5 (1969), Nr.4, p.438-445.
- 38 GAVAT, ST. Convertorul tensiune-durață și convertorul tensiune-frecvență în instalațiile de reglare automată. In Probleme de automatizare, 1969, Nr.6, p.155-162.
- 39 GEISSING, H. și WAGNER, R. Umformung elektrischer Energie mit Thyristorstromrichter. In Siemens-Zeitschrift, 42 (1968), Nr.9, p.769-772.
- 40 GERVAIS, C. Vitesse variable par tension et fréquence variables. In Techniques CEM, 1969, martie, Nr.72, p.49-63.
- 41 GHEORGHIU, I.S. și FRANSUA, AL.S. Tratat de mașini electrice vol.III. Mașini asincrone. București, Ed. Academiei, 1971.
- 42 GOBEL, H.J. și STRUNZE, M. Die untersynchrone Stromrichter-kaskade in der Antriebstechnik. In AEG-Mitt. Bd.56 (1964), Nr.6, p.392-394.
- 43 GOLDENBERG, I.M. Teoria și calculul circuitelor de impulsuri Trad. l.rusă, București, Ed. tehnică, 1972.
- 44 GRUBB, D.F. Why growth of ac adjustable speed. In Power, 1969, nov., p.43-46.
- 45 HASAEV, O.I. Rabota esinhronogo dvigatelia ot preobrazovatel'ia ciastot' na poluprovodnicovii triodah. In Electricit'no vo, 1961, Nr.9, p.29-36.
- 46 HEUMANN, K. și JORDAN, K.G. Das Verhalten des Käfigläufermotors bei veränderlicher Speisefrequenz und Stromregelung. In AEG-Mitt., 54 (1964), 1/2, p.107-116.
- 47 HEUMANN, K. și JORDAN, K.G. Einfluss von Spannungs- und Stromüberschwingungen auf den Betrieb von Asynchronmaschinen. AEG-Mitt., 54 (1964), 1/2, p. 117-122.
- 48 HEUMANN, K. Variable frequency speed control of induction motors. Lucr. Congr. al 3-lea IFAC, Londra, 1966, ser. 1, p. 117-122.
- 49 HEUMANN, K. Development of inverters with forced commutation for AC motor speed control up to the megawatt range. In IEEE Trans. Ind. Gen. Appl. vol IGA-5, 1969, Nr.1, p. 117-122.
- 50 HUMPHREY, A.J. Inverter commutation circuits. In IEEE Trans. Ind. Gen. Appl., vol IGA-4 (1968), Nr.4, p.104-110.
- 51 Jain, G.C. The effect of voltage waveshape on the performance of a 3-phase induction motor. In IEEE Trans. Power Appar. Syst., vol. PAS-83 (1964), Nr.6, p.561-566.
- 52 JARDAN, K.R. s.a. General analysis of three-phase inverter. In IEEE Trans. Ind. Gen. Appl., vol. IGA-5 (1969), Nr.1, p.672-679.
- 53 JARDAN, K.R. Modes of operation of three-phase inverter. In IEEE Trans. Ind. Gen. Appl., vol. IGA-5 (1969), Nr.6, p.117-122.
- 54 JAUQUET, C. Onduleurs à thyristors. In SERE, 35 (1968), p.93-103.

- 55 KIEFER, R. Drehstrommotoren mit Käfigläufer für ...  
Antriebe. In Elektro-Anzeiger, 23 Jg., 1970, Nr. 1, p. 42-46.
- 56 KLINGSHIRN, E.A. și JORDAN, H.E. Polyphase induction motor performance and losses on nonsinusoidal voltage sources. In IEEE Trans. Power App.Syst., vol PAS-87 (1968), Nr. 3, p. 624-631.
- 57 KOPPELMAN, F. și MICHEL, M. Kontaktlose Steuerung der Drehzahl von Asynchronmotoren mit Hilfe antiparalleler Thyristoren. In AEG-Mitt., 54 (1964), 1/2, p.126-132.
- 58 KORB, F. Einstellung der Drehzahl von Induktionsmotoren durch antiparallele Ventile auf der Netzseite. In ETZ-A, 86 (1965), Nr. 8, p.275-279.
- 59 KOSTENKO, M. și PIOTROVSKI, L. Machines électriques. Tome 77. Machines à courant alternatif. Trad.l.rusă, Moscova, Ed. 19, 1969.
- 60 KOTRIKOV, K.P. O vlianii velikini magnitnogo potoca na koeffitsient asinhronogo dvigatelja pri ceastotnom regulirovanii. In Izv. vîssik.uceb.zaved.Energ.SSSR, 1963, Nr.9, p.30-36.
- 61 KOTRIKOV, K.P. Crugovaia diagrama asinhronogo dvigatelja pri peremenoj ceastote. In Izv.vîssih.uceb.zaved.Electromechanic SSSR, 1964, Nr.2, p.166-173.
- 62 KOVACS, K.P. și RACZ, I. Transiente Vorgänge in Wechselstrommaschinen, vol.11. Budapest, 1959.
- 63 KRATZ, P. Steuerung und Regelung von Asynchronmotoren. In ETZ-B vol.13 (1961), Nr.1, p.1-7.
- 64 KRAUSE, P.C. și THOMAS, C.H. Simulation of symmetrical induction machinery. In IEEE Trans.Power App.Syst., vol.PAS-84 (1965) nr.11, p.1038-1053.
- 65 KRAUSE, P.C. Method of multiple reference frames applied to the analysis of symmetrical induction machinery. In IEEE Trans. Power App.Syst., vol PAS- 87 (1968), Nr.1, p.218-227.
- 66 KRAUSE, P.C. și LIPO, T.A. Analysis and simplified representations of a rectifier-inverter induction motor drive. In IEEE Trans.Power App.Syst., vol PAS-88 (1969), Nr.5, p.588-593.
- 67 KRAUSE, P.C. și HAKE, J.R. Method of multiple reference frames applied to the Analysis of a rectifier-inverter induction motor drive. In IEEE Trans.Power App.Syst., vol. PAS-88 (1969) Nr.11, p.1635-1641.
- 68 KRECETOVICI, M.N. Electroprivod s impulsnim upravljanim asinhronogo dvigatelja. In Electricstvo, 1960, Nr. 1, p.23-28.
- 69 LACROUX, M.G. La moteur asynchrone à rotor massif. In Gen.Electr., 70(1961), Nr.10, p.511-516.
- 70 LANDAU, I.D. Wide-range speed control of three-phase induction motors using static Frequency converter. In IEEE Trans.Ind.Gen.Appl., vol IGA-5 (1969), Nr.1, p. 1-6.
- 71 LANDAU, I.S.a. Reglarea automată a vitezei motorului asincron prin variația tensiunii și frecvenței curentului de alimentare static cu tiristoare. In Electricitate (1966), Nr.7, p.240-251.

- 72 LANDAU, I. g. a. Scheme de reglare a vitezei motoarelor asincrone cu rotorul în scurtcircuit alimentate prin convertizoare cu tiristoare. In *Automatica și Electronica*, 11(1968) Nr.4, p.169-173.
- 73 LARGIARDER, H. Quelques aspects du dimensionnement des moteurs asynchrones alimentés par convertisseurs statiques de fréquence pour la traction électrique. In *Rev. Brown Boveri*, 57 (1970), Nr.4, p.152-167.
- 74 LAZU, C. *Mașini electrice*. București, E.D.P., 1966.
- 75 LIPO, T.A. și KRAUSE, P.C. Stability analysis of rectifier-inverter induction motor drive. In *IEEE Trans. Power App. Syst.*, vol. PAS-88 (1969), Nr.1, p.55-63.
- 76 LIPO, T.A. ș.a. Harmonic torque and speed pulsations in a rectifier-inverter induction motor drive. In *IEEE Trans. Power App. Syst.* vol PAS-88(1969), Nr.5, p.579-587.
- 77 LOOCKE, G. Probleme der Spannungsanpassung beim Betrieb von Asynchronmotoren mit variabler Frequenz. In *AEG-Mitt.*, 50 (1964), 1/2, p.47-54.
- 78 MAGGENTO, G. Contribution a l'etude du comportement des moteurs asynchrones alimentés par convertisseurs statiques. Teză, Universit te Libre de Bruxelles, 1973.
- 79 MEYER, M. Tiristoarele în practică. Mutatoare cu comutație forțată. Trad. l. germană, București, Ed. tehnică, 1970.
- 80 MIJION, C. și DROUIN, G. Application industrielle des convertisseurs autonomes courant continu/courant alternatif. *Rev. Gen. Elect.*, 78(1969), Nr.11, p.1055-1065.
- 81 MOKRYTZKI, B. Pulse width modulated inverters for AC motor drives. In *IEEE Trans. Ind. Gen. Appl.*, vol. IGA-3 (1967), Nr.3, p.493-504.
- 82 MOKRYTZKI, B. The controlled slip static inverter drive. *IEEE Trans. Ind. Gen. Appl.*, vol. IGA-4 (1968), Nr.3, p.312-317.
- 83 MOLTGEN, G. Tiristoarele în practică. Mutatoare cu comutație de la rețea. Trad. l. germană, București, Ed. tehnică, 1970.
- 84 NICOLESCU, E. Comportarea mașinilor asincrone trifazate la variația turației prin variația frecvenței tensiunii de alimentare. In *Electrotehnica*, 20 (1972), Nr.1, p.3-9.
- 85 OTTO, H. Antriebe mit Halbleiter-Stromrichter. *Elektronische f hrte Stromrichter*. In *ETZ-A*, 88 (1967), Nr.10, p.176-177.
- 86 PREISS, A. Darstellung der stationären Betriebskennlinien Induktionsmaschine am Netz variabler Spannung und Frequenz. In *ETZ-A*, 88 (1967), Nr.2, p.55-59.
- 87 PRODAN, M. Considerații asupra modificării vitezei motoarelor asincrone în scurtcircuit, alimentate prin impulsuri. *Rev. științific și tehnic I.P.T.*, Seria *Electrotehnică*, Nr.1, 1970, fasc.1, p.137-142.
- 88 PRODAN, M. Analiza armonică a tensiunii la alimentare a motoarelor asincrone prin convertizor de tensiune și frecvență. *Rev. științific și tehnic al I.P.T.*, Seria *Electrotehnică*, Nr.18(32), 1973, fasc.2, p.171-178.
- 89 PRODAN, M. Analiza armonică a curentului mașinilor asincrone alimentate prin convertizare de tensiune și frecvență. Manuscris.

- 90 REKUS, G.G. și CIRKOV, M.P. O peredela regulirovani  
rosti asinhronogo dvigatelja pri ceastotnom upravlenii. In  
Electricestvo, 1964, Nr.5, p.77-81.
- 91 REKUS, G.G. ș.a. C voprosu ceastotnogo upravlenia asinhrono-  
mi dvigateliami. In Electricestvo, 1966, Nr.10, p.14-17.
- 92 REINHARDT, D. Die Drehzahlsteuerung und Regelung von Käfig-  
läufermotoren mit Frequenzumrichtern. In Bull.Scient.de  
l'AIM, 81(1968), Nr.4, p.115-122.
- 93 RICHTER, R. Mașini electrice, vol.IV. Trad.l.germană, Bucu-  
rești, Ed.tehnică, 1960.
- 94 ROTKOP, L.L. Impulsnii metod regulirovania scrosti asinhro-  
nogo dvigatelja s primeneniem bezcontactnoi aparatury upra-  
vlenia. In Vestnik electropromislenosti, 1958, Nr.1, p.5-8.
- 95 SABAC, I.GH. Matematici speciale, vol.II; București, E.D.P.  
1965.
- 96 SABBAGH, E.M. și SHEWAN, W. Characteristics of on-adjustable  
speed polyphase induction machine. In IEEE Trans.Power and  
Syst., vol.PAS-87 (1968), Nr.3, p.613-623.
- 97 SANDLER, A.S. ș.a. Razvitie electropriwodov peremennogo toka s  
ceastotnim upravleniem. In Electricestvo, 1973, Nr.5, p.1-4.
- 98 SANDLER, A.S. și SARDÁTOV, R.S. Ceastotnoe upravlenie asinhro-  
nimi dvigateliami. Moscova, Izd.Energhia, 1966.
- 99 SATTLER, P.K. Parasitäre Drehmomente von Stromrichter-  
motoren. In ETZ-A, 88(1967), Nr.4, p.89-93.
- 100 SCHEIDER, U. și TAPPEINER, H. Convertisseurs de fréquence  
thyristors à circuit intermédiaire pour le réglage de vi-  
tesse de commandes à moteurs multiples. In Rev.Siemens  
25 (1967), Nr.10, p.361-367.
- 101 SEEFRIED, E. Untersuchungen an einem über einem indirekten  
Umrichter gespeisten Drehstrom-Asynchronmotor. In Inter-  
Kolloquium Elmenau, 1964, p.47-56.
- 102 SEEFRIED, E. Ströme und Drehmomente eines umrichter-  
flussgeregelten Drehstromasynchronmotors im stationären  
trieb. In Elektrie, 1966, Nr.8, p.301-306.
- 103 SERACIN, E. Contribuții cu privire la metodele de coman-  
dare ale acțiunilor cu mecanism bielă-manivelă. Disertatie,  
Timișoara, 1964.
- 104 SERGL, J. Theoretische Überlegungen über das Verhalten  
über einen sechspulsigen, selbstgeführten Stromrichter-  
speisten Asynchronmaschine im stationären Betrieb. In  
SEV, 60 (1969), Nr.9, aprilie, p.391-399.
- 105 SERGL, J. Experimentelle Untersuchungen über das Ver-  
halten einer über einen sechspulsigen, selbstgeführten  
speisten Asynchronmaschine im stationären Betrieb. In  
SEV, 60 (1969), Nr.11, mai, p.438-499.
- 106 SCHONUNG, A. și STEMMLER, H. Geregelter Drehstrom-  
motor mit gesteuertem Umrichter nach dem Unterschwingen  
In Brown Boveri Mitt., 51 (1964) Nr.8/9, p.550-557.
- 107 SHEPHERD, W. On the Analysis of the three-phase in-  
duction motor with voltage control by thyristor switching.  
Ind.Gen.Appl, vol.IGA-4 (1968), Nr.3, p.504-511.

- 108 SIROMIATNIKOV, I.A. Regulirovanie napravlennia avtonomno ustanovoe pri peremenoj ceastote. In *Electricestvo*, 1966, nr.1c, p.1-6.
- 109 TAPPEINER, H. La machine à champ tournant alimentée par un redresseur. Un nouvel élément de la technique d'entraînement par moteur. In *Bull.Scient. de l'AIM*, 81 (1969), Nr.4, p.101-113.
- 110 TSIVITSE, P.J. și KLINGSHIRN, E.A. Optimum voltage and frequency for poliphase induction motors operating with variable frequency power supplies. In *IEEE Trans.Ind.Gen.Appl*, vol. 7 (1971), Nr.4, p.880-887.
- 111 TURIC, L. Contribuții la comanda de frecvență a motoarelor sincrone cu invertoare care funcționează pe principiul TEZ. Teză de doctorat. I.P.Iași, 1971.
- 112 VARZARU, E. ș.a. Reglarea vitezei motoarelor asincrone cu inele colectoare prin cascadă subsincronă cu mutatoare. In *Automatica și Electronica*, 11 (1967), Nr.4, p.163-169.
- 113 VERES, R.P. New inverter supplies for high horsepower drives. In *IEEE Trans.Ind.Gen.Appl.*, vol IGA-6 (1970), Nr.2, p.121-127.
- 114 WALDINGER, H. Entraînements alimentés par convertisseurs statiques. In *Rev.Siemens* 29 (1971), Nr.6, p.231-241.
- 115 WARD, E.E. ș.a. Time-domain analysis of the inverter-fed induction motor. In *Proc.IEE*, 114 (1967), Nr.3, p.361-369.
- 116 ZWEYGBERCK, S. și SOKOLOV, E. Verlustermittlung im stromrichtergespeisten Asynchronmotor. In *ETZ-A*, 90 (1969), Nr.22, p.612-616.